# SCHWEIFSTERN

Mitteilungsblatt der

Vereinigung der Sternfreunde e.V.
**FACHGRUPPE KOMETEN**

**Heft 208** (42. Jahrgang) ISSN (Online) 2511-1043 November 2026



Komet **220P/McNaught** am 15. August 2026 um 01:50 UT, 12 x 2 Minuten belichtet, 10" f4,6 und 8" f4,6, QHY268M bzw. QHY268C, Ampflwang, Thomas Schönpos

Liebe Kometenfreunde,

nun sind es nur noch ein paar Tage bis zu unserem Fachgruppentreff in Kirchheim. Ich freue mich sehr darauf, und auch das Vortragsprogramm ist vielfältig. Am Freitag Abend werden wir neben dem gemütlichen Zusammensein ein paar Experimente zur Kometenspektroskopie ausführen, mit dem Smart-teleskop. Ich bringe alles mit.

Wer sich noch entscheiden möchte dabei zu sein: 20. und 21. November, Volkssternwarte Kirchheim, Zur Sternwarte 1, D-99334 Amt Wachsenburg OT Kirchheim (Thür.).

Eurer Uwe Pilz.

---

Liebe Leser des Schweifsterns,

die vorliegende Ausgabe des Schweifsterns deckt die **Aktivitäten der Fachgruppe Kometen der VdS im Zeitraum vom 01.08.2026 bis zum 31.10.2026** ab. Berücksichtigt wurden alle bis zum Stichtag bereitgestellten Fotos, Daten und Beiträge (siehe Impressum am Ende des Schweifsterns).

Für die einzelnen Kometen lassen sich die Ephemeriden der Kometen auf der Internet-Seite

https://minorplanetcenter.net//iau/MPEph/MPEph.html

selbst errechnen.

Beachtet bitte, dass das Minor Planet Center in der MPEC 2026-R15 vom 3. September 2026 Folgendes bekannt gegeben hat:

*„Gleichzeitig wird das MPC ab dem 7. Dezember 2026 die Praxis einstellen, bei der Wiederentdeckung eines zuvor bekannten Kometen eine neue vorläufige Bezeichnung zu vergeben. MPECs zur Wiederentdeckung werden weiterhin wie gewohnt herausgegeben, jedoch wird darin das Objekt als Wiederentdeckung des zuvor benannten Kometen identifiziert, anstatt eine zusätzliche Bezeichnung für das neue Erscheinungsbild zu vergeben. Sobald die Umlaufbahn ausreichend genau bestimmt ist und das Objekt die Anforderungen für eine dauerhafte Nummerierung erfüllt, wird der Komet im Rahmen des üblichen Rundschreibenverfahrens nummeriert.“*

Dieser Vorschlag, keine neuen Bezeichnungen zu vergeben, widerspricht der historischen Praxis der letzten paar Jahrhunderte bei den ersten Wiederkehren periodischer Kometen und erfolgte offenbar ohne angemessene Rücksprache mit der IAU (über solche Angelegenheiten wird üblicherweise nach einer Diskussion auf den alle drei Jahre stattfindenden Generalversammlungen abgestimmt). Das MPC hat in den letzten Jahren (seit 2020) zahlreiche MPECs herausgegeben, in denen Wiederentdeckungs-beobachtungen in den halbjährlich erscheinenden MPECs „Observations and Orbits of Comets and A/Objects“ veröffentlicht wurden, ohne zuvor spezielle MPECs zu den wiederentdeckten Kometen herauszugeben. Das CBAT wird weiterhin in seinen CBETs auf die äußerst wichtigen ersten Wieder-entdeckungen kurzperiodischer Kometen mit vollständigen Details zur Wiederentdeckung aufmerksam machen (Quelle: CBET 5745).

Viele liebe Grüße,
Euer Michael Hauss

# Allgemeine Hinweise zum Schweifstern

In jedem Schweifstern werden alle Kometen aufgeführt, die im jeweiligen Berichtszeitraum, also diesmal vom 01.08.2026 bis zum 31.10.2026, von der VdS-Fachgruppe fotografiert bzw. beobachtet wurden. Zusätzlich werden alle neu entdeckten Kometen (aktuell in den CBETs 5720 bis 5773) und alle periodischen Kometen, die eine neue permanente Nummer verliehen bekommen haben, angegeben.

Zu jedem Kometen werden neben einem kurzen Abriss der Entdeckungsgeschichte die aktuellen Bahnelemente inkl. der Epoche angegeben.

Für die Kometen wird eine Liste der Fotos und Zeichnungen angegeben, die bis zum angegebenen Stichtag für den relevanten Zeitraum auf die Homepage der FG Kometen hochgeladen wurden. Die besten Fotos werden zudem – meist als geeigneter Ausschnitt – zur Illustration der Kometen und deren Entwicklung verwendet.

Helligkeitsschätzungen der Fachgruppe werden ebenfalls bei den einzelnen Kometen angegeben. Dabei gibt es drei Möglichkeiten:

- Helligkeitsschätzungen im ICQ-Format wurden separat zur Veröffentlichung auf der Homepage der FG eingesendet und hochgeladen und werden auch hier 1:1 ohne redaktionelle Überarbeitung abgedruckt.
- Helligkeiten werden beim Hochladen der Fotos oder Beobachtungen zur Veröffentlichung auf der Homepage der Fachgruppe in der Beschreibung der Fotos angegeben.
- Helligkeitsmessungen nach der Multiapertur-Methode werden an die Redaktion gesendet (siehe Impressum). Alle vorliegenden Messungen werden in dem separaten Abschnitt „Helligkeits-messungen nach der Multiapertur-Methode“ angegeben.

Sofern Fachgruppen-Teilnehmer Auswertungen einzelner Kometen erstellt habe, werden diese bei den jeweiligen Kometen eingefügt. Eigene Berichte von Fachgruppen-Teilnehmern werden sehr gerne als separate Abschnitte berücksichtigt.

Die Bildbeschreibungen und die Details bei den Helligkeitsbeobachtungen der Fachgruppe wurden weitgehend so, wie von den Autoren bereitgestellt, übernommen. Es wurde bestenfalls versucht, grobe Rechtschreibfehler weitgehend zu korrigieren. Jedoch möchte ich darauf hinweisen, dass die jeweiligen Autoren für die Korrektheit und für eine korrekte Rechtschreibung selbst verantwortlich sind. Wenngleich der Schweifstern in deutscher Sprache verfasst ist, sind vor allem bei den Bildbeschreibungen und den Details bei den Helligkeitsbeobachtungen auch englischsprachige Begriffe vorhanden, die i.a. unverändert übernommen werden.

Bei der Nomenklatur der Kometen ist zu beachten, dass aus redaktioneller Vereinfachung auf die tiefgestellten Ziffern weitgehend verzichtet wird. Anstatt der eigentlich korrekten Bezeichnung wie etwa C/2010 $US_{10}$ (Catalina) wird hier – wie durchaus allgemein üblich – die Bezeichnung C/2010 US10 (Catalina) verwendet (auch die alternative Bezeichnung C/2010 US_10 (Catalina) wird hier nicht verwendet). *Anmerkung: Bei seinen Auswertungen verwendet Andreas Kammerer durchweg die tiefgestellten Bezeichnungen*.

Wie gewohnt stammen von Andreas Kammerer wieder die umfangreichen und sehr detaillierten Auswertungen der Kometensichtungen (Abschnitte mit den Kometenbezeichnungen in Fettschrift). Als Datenbasis für die Auswertungen verwendet er neben den Beobachtungen, welche von den Beobachtern der Fachgruppe Kometen eingereicht werden folgende weitere Datenquellen: Comet Observation Database (COBS), The Astronomer (TA), Astrosite Groningen sowie gegebenenfalls Beobachtungen, welche in den Central Bureau Electronic Telegrams (CBETs) veröffentlicht werden.

# Teil 1: Kometen ohne permanente Nummer

## Komet P/2009 Y2 (Kowalski) - Wiederentdeckung

Am 20. Dezember 2009 entdeckte R.A. Kowalski auf Catalina Sky Survey Aufnahmen den 19,0 mag hellen Kometen P/2009 Y2. Siehe Schweifstern 134. Krisztian Sarneczky entdeckte am 15.09.2026 einen etwa 19,5 mag hellen Kometen am Piszkesteto Observatory in Ungarn. T. Kobayashi erkannte, dass es sich dabei um die Wiederentdeckung des Kometen P/2009 Y2 handelte. Siehe CBET 5745.

Bahnelemente:

| T [UT] | ω [°] | Ω [°] | i [°] | q [AE] | e [AE] | P [a] | Epoche |
|---|---|---|---|---|---|---|---|
| 2026 12 13,0951 | 172,3204 | 262,0512 | 29,9849 | 2,3699 | 0,637627 | 16,72 | 12.11.2026 |

Fotos und Beobachtungen der FG Kometen liegen im Berichtszeitraum nicht vor.

## Komet P/2013 T2 (Schwartz) - Wiederentdeckung

Am 15.10.2013 entdeckte der Amerikaner Michael Schwartz mit dem Tenagra III-Astrographen den etwa 17,0 mag hellen Kometen. Siehe Schweifstern 153. R. Weryk konnte den etwa 21 mag hellen Kometen zufällig auf Aufnahmen vom 25.07.2026 mit dem Pan-STARRS2-Teleskop wiederentdecken, wobei er den Kometen nachträglich auch auf Aufnahmen vom 27.06.2026 identifizieren konnte. Siehe CBET 5749.

Bahnelemente:

| T [UT] | ω [°] | Ω [°] | i [°] | q [AE] | e [AE] | P [a] | Epoche |
|---|---|---|---|---|---|---|---|
| 2026 06 11,3071 | 345,5786 | 0,7761 | 9,4472 | 1,7465 | 0,499983 | 6,53 | 12.11.2026 |

Fotos und Beobachtungen der FG Kometen liegen im Berichtszeitraum nicht vor.

## Komet C/2014 UN271 (Bernardinelli-Bernstein)

Das am 14.08.2014 mit dem PanSTARRS1-Teleskop entdeckte 22,6 mag helle asteroidale Objekt 2014 UN271 (bzw. CK14UR1N) zeigte bereits in einer Entfernung von 23,8 AE kometare Eigenschaften. Wie in Atel #14759 berichtet wird, wurde dies durch Beobachtungen mit dem Transiting Exoplanet Survey Satellite (TESS) im Zeitraum zwischen dem 21.09.2018 bis zum 18.10.2018 nahegelegt. Dies wurde bei nachträglichen Analysen festgestellt, nachdem bekannt wurde, dass L. Buzzi und auch T. Lister am 22.06.2021 kometare Eigenschaften von 2014 UN271 beschrieben. Siehe MPEC 2021-M83.

Bahnelemente:

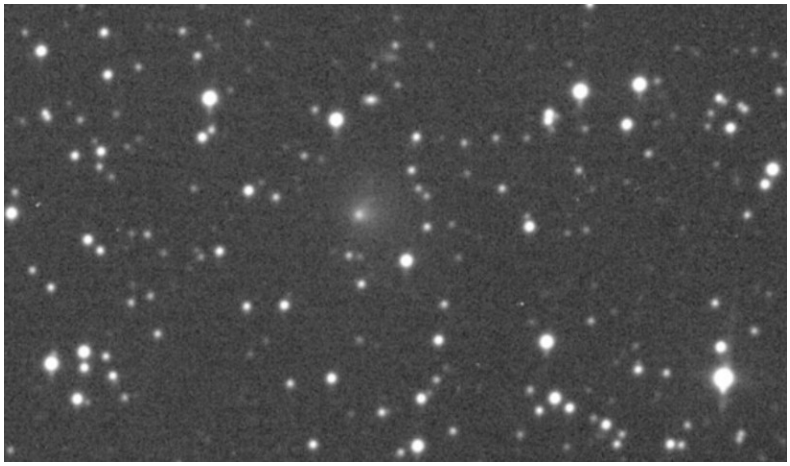
| T [UT] | ω [°] | Ω [°] | i [°] | q [AE] | e [AE] | P [a] | Epoche |
|---|---|---|---|---|---|---|---|
| 2031 01 16,7079 | 326,0965 | 190,0096 | 95,4456 | 10,9592 | 1,004031 | n/a | 12.11.2026 |

Fotos und Beobachtungen der FG Kometen:

| Zeitpunkt | Details zur Aufnahme |
|---|---|
| 2026 August 14 18:17 UT | Planewave 20" CDK, FLI Proline 16803, 300s, Koma 45", T 13,8 mag, Siding Spring, Australien, Remote, Michael Hauss |
| 2026 September 07 18:01 UT | Planewave 20" CDK f/6,8, FLI 16200, 300s, Koma 45", T 13,0 mag, T32, Siding Spring, Australien, Remote, Michael Hauss |
| 2026 October 10 16:15 UT | Planewave 20" CDK f/6,8, FLI 16200, 300s, Koma 50", Schweifansatz PA 46°, T 13,5 mag, T32, Siding Spring, Australien, Remote, Michael Hauss |

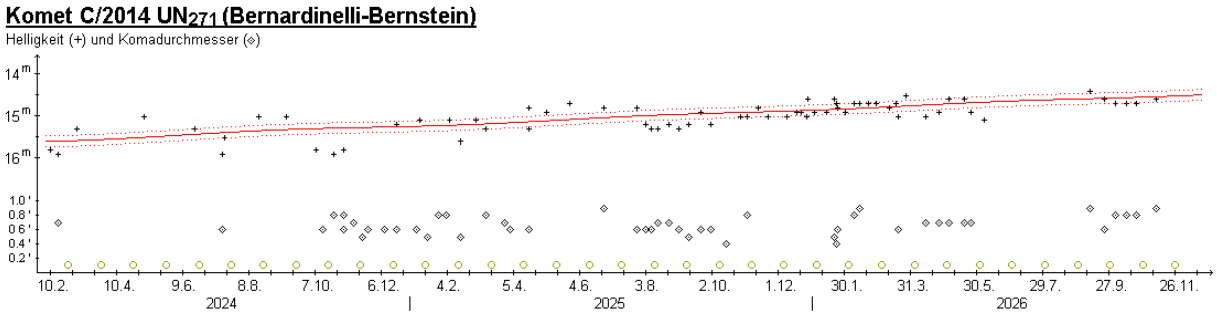
Helligkeitsmeldungen der FG Kometen im ICQ-Format:

| Zeitpunkt<br>YYYY MM DD.Dd | Beobachtungsdaten<br>M[mm.m:rfAAA.ATF/xxxx >dd.ddnDC >t.tt GGG: | Beobachter | Mag | Bemerkungen |
|---|---|---|---|---|
| 2026 08 16.14 | Z 13.9 BG 10.6R 5a540 2.4 | LEH02I | C 2.4 | mMC3 IMX AIR 5 1.5s 1.5 Location: Hakos (remote); Comment: CMOS/G, mlim=19.9 |



Komet **C/2014 UN271 (Bernardinelli-Bernstein)** am 14. August 2026 um 18:17 UT, Planewave 20" CDK, FLI Proline 16803, 300 Sekunden belichtet, Siding Spring, Australien, Michael Hauss

Der aktuell tief am Südhimmel positionierte Komet **C/2014 $UN_{271}$ (Bernardinelli-Bernstein)** wird langsam aber stetig heller. Er wies Anfang November eine Helligkeit von 14,5$^m$ auf. Auf der Basis von 93 Beobachtungen von 8 Beobachtern kann die bisherige Helligkeitsentwicklung sehr gut mit den Parametern $m_0$ = 1,8$^m$ / n = 2,5 dargestellt werden. Damit dürfte er in den Jahren 2030 bis 2032 eine Maximalhelligkeit von 13,5$^m$ erreichen. Der aktuelle Durchmesser der merklich verdichteten (DC 5) Koma beträgt 0,8‘ (450.000 km).




## C/2017 K2 (PANSTARRS)

Dieser etwa 21 mag helle Komet wurde auf Aufnahmen vom 21.05.2017 mit dem Pan-STARRS1-Teleskop entdeckt. Der Komet war bei der Entdeckung noch 16 AE von der Sonne entfernt. Siehe CBET 4393.

Bahnelemente:

| T [UT] | ω [°] | Ω [°] | i [°] | q [AE] | e [AE] | P [a] | Epoche |
|---|---|---|---|---|---|---|---|
| 2022 12 17,5831 | 236,1403 | 88,2246 | 87,6563 | 1,8007 | 0,998254 | 33000 | 12.11.2026 |

Fotos und Beobachtungen der FG Kometen:

| Zeitpunkt | Details zur Aufnahme |
|---|---|
| 2026 September 19 00.47-01.47 UT | 28x2 min, Gain 160, Touptek SkyEye 62 AC, RASA 11, erstellt mit AIRTOOLS, Köditz centered on comet Steffen Fritsche |

Helligkeitsmeldungen der FG Kometen im ICQ-Format:

| Zeitpunkt YYYY MM DD.Dd | Beobachtungsdaten M[mm.m:rfAAA.ATF/xxxx >dd.ddnDC >t.tt GGG: | Beobachter | Mag | Bemerkungen |
|---|---|---|---|---|
| 2026 09 19.05 | Z 18.4 BG 27.9L 2C360 0.5 | FRI02I | C 0.5 | mTSC IMX AIR 5 1.3s 1.3 Location: Koeditz; Comment: CMOS OSC/G, mlim=21.1 |

Auf der Aufnahme von Steffen Fritsche erscheint der etwa 18,4 mag schwache Komet praktisch sternförmig.

## P/2018 VN2 (Leonard) = P/2026 M2 = P/2010 W10 - Wiederentdeckung

G. J. Leonard meldete die Entdeckung des 19 mag hellen Kometen auf Aufnahmen vom 05.11.2018 mit dem 1,5m Reflektor am Mount Lemmon. Versehentlich wurde vom MPC zunächst die Bezeichnung 2018 VN2 für einen Asteroiden vergeben. J.-F. Soulier (Frankreich) meldete die Wiederentdeckung des etwa 19,0 mag hellen Kometen auf Aufnahmen vom 22.06.2026. Zudem identifizierte R. Weryk den Kometen

auf Aufnahmen mit dem Pan-STARRS1-Teleskop bis zurück zum 27.11.2020, wo er etwa 22,1 mag hell war. Siehe CBET 4573 und CBET 5710.

Bahnelemente:

| T [UT] | ω [°] | Ω [°] | i [°] | q [AE] | e [AE] | P [a] | Epoche |
|---|---|---|---|---|---|---|---|
| 2026 08 15,6939 | 138,9365 | 226,4256 | 18,2557 | 2,1196 | 0,477834 | 8,18 | 12.11.2026 |

Fotos und Beobachtungen der FG Kometen:

| Zeitpunkt | Details zur Aufnahme |
|---|---|
| 2026 August 12 22.15 UT | 17x100sec. 16"/3.2 QHY 600 Michael Jäger, Gerald Rhemann |
| 2026 September 05 23:55 UT | 10x4min, 16" f/2.5, ASI6200MC Roland Fichtl |
| 2026 September 07 02.24 UT | 13x100sec. 12"/3.3 QHY 600 Michael Jäger, Gerald Rhemann |
| 2026 October 14 19:32-22:00 UT | 30cm RC + Fuji GFX 72x2min Amateursternwarte Schönebeck Uwe Wohlrab |

Auf den Aufnahmen der Fachgruppe zeigt der etwa 17,8 mag einen Schweif.

## Komet C/2021 G2 (ATLAS)

M. Micheli meldete die Beobachtung kometarer Aktivitäten am 29.09.2021 beim asteroidalen Objekt A/2021 G2, das mit einer Helligkeit von 19,4 mag auf Aufnahmen vom 11.04.2021 mit dem ATLAS-MLO entdeckt wurde. Nachträglich wurde der Komet auf Aufnahmen bis zurück zum 03.11.2020 identifiziert. Siehe MPEC 2021-T206.

Bahnelemente:

| T [UT] | ω [°] | Ω [°] | i [°] | q [AE] | e [AE] | P [a] | Epoche |
|---|---|---|---|---|---|---|---|
| 2024 09 9,2604 | 343,2804 | 221,0772 | 48,4517 | 4,9821 | 1,001365 | n/a | 12.11.2026 |

Fotos und Beobachtungen der FG Kometen:

| Zeitpunkt | Details zur Aufnahme |
|---|---|
| 2026 August 02 21.32-22.27 UT | 26x2 min, Gain 160, Touptek SkyEye 62 AC, RASA 11, erstellt mit AIRTOOLS, Köditz centered on comet Steffen Fritsche |
| 2026 August 06 22.28 UT | 9x120 sec, 0.4-m f/3.8 Orion Optics AG16, SBIG STL6303E, B96 BRIXIIS observatory Kruibeke Belgium Erik Bryssinck |
| 2026 August 11 22.20 UT | 9x120 sec, 0.4-m f/3.8 Orion Optics AG16, SBIG STL6303E, B96 BRIXIIS observatory Kruibeke Belgium Erik Bryssinck |
| 2026 August 11 23:38 UT | Planewave CDK24, FLI ProLine KAF-16803, 120s, Koma 37", Schweif 1' PA 221°, T 15,3 mag, Teneriffa, Remote, Michael Hauss |
| 2026 August 19 21:50 UT | Planewave CDK24, FLI ProLine KAF-16803, 120s, Koma 35", Schweifansatz PA 200°, T 15,4 mag, Teneriffa, Remote, Michael Hauss |
| 2026 August 23 21:23 UT | Planewave CDK24, FLI ProLine KAF-16803, 120s, Koma 10", T 16,1 mag, Teneriffa, Remote, Michael Hauss |
| 2026 August 23 21.24-22.14 UT | 24x2 min, Gain 160, Touptek SkyEye 62 AC, RASA 11, erstellt mit AIRTOOLS, Köditz centered on comet Steffen Fritsche |
| 2026 August 31 21:47 UT | Planewave CDK24, FLI ProLine KAF-16803, 120s, Koma 33", T 15,2 mag, Teneriffa, Remote, Michael Hauss |
| 2026 September 15 18.50-19.32 UT | 20x2 min, Gain 160, Touptek SkyEye 62 AC, RASA 11, erstellt mit AIRTOOLS, Köditz centered on comet Steffen Fritsche |
| 2026 October 05 18.34-19.18 UT | 11x4 min, Gain160, Touptek SkyEye 62 AC, RASA 11, erstellt mit AIRTOOLS, Köditz centered on comet Steffen Fritsche |
| 2026 October 11 17.41-18.09 UT | 13x2 min, Gain 160, Touptek SkyEye 62 AC, RASA 11, erstellt mit AIRTOOLS, Köditz centered on comet Steffen Fritsche |

Helligkeitsmeldungen der FG Kometen im ICQ-Format:

| Zeitpunkt YYYY MM DD.Dd | Beobachtungsdaten M[mm.m:rfAAA.ATF/xxxx >dd.ddnDC >t.tt GGG: | Beobachter | Mag | Bemerkungen |
|---|---|---|---|---|
| 2026 08 02.90 | V 15.5 AV 5.0R 5A880 0.7 ICQ XX | MEY I | C 0.7 | 1mS50 IM2 TYT 0 U9*0.20 15.7 2.4s 2.4 |
| 2026 08 02.92 | Z 15.5 BG 27.9L 2C120 1.1 0.04 233 | FRI02I | C 1.1 | mTSC IMX AIR 5 1.3s 1.3 Location: Koeditz; Comment: CMOS OSC/G, mlim=20.9, moon 82% dist 103 deg |
| 2026 08 04.81 | Z 15.4 BG 10.6R 5a900 1.2 2.4 m220 | LEH02I | C 1.2 | mMC3 IMX AIR 5 1.5s 1.5 Location: Hakos (remote); Comment: CMOS/G, mlim=20.5 |
| 2026 08 06.94 | V 15.6 AV 5.0R 5B510 1.0 ICQ XX | MEY I | C 1.0 | 3mS50 IM2 TYT 0 U9*0.07 15.7 2.4s 2.4 |
| 2026 08 07.87 | Z 15.6 BG 03.5R 4B790 1.0 | PIL01I | C 1.0 | mDW3 IM6 AIR 5 2.8s 2.8 Location: Leipzig; Comment: CMOS OSC/G |
| 2026 08 07.94 | V 15.2 AV 5.0R 5B220 0.9 ICQ XX | MEY I | C 0.8 | 7mS50 IM2 TYT 0 U9*0.11 15.2 2.4s 2.4 |
| 2026 08 11.94 | Z 15.6 BG 27.9L 2C840 1.2 0.09 232 | LEH02I | C 1.2 | mZCP IMX AIR 5 1.2s 1.2 Location: Weimar; Comment: CMOS OSC/G, mlim=21.2 |
| 2026 08 23.91 | Z 15.8 BG 27.9L 2B880 1.0 1.2 m229 | FRI02I | C 1.0 | mTSC IMX AIR 5 1.3s 1.3 Location: Koeditz; Comment: CMOS OSC/G, mlim=20.6, moon 83% dist 50 deg |
| 2026 09 03.80 | Z 15.8 BG 10.6R 5A260 1.2 0.05 227 | LEH02I | C 1.2 | mMC3 IMX AIR 5 1.5s 1.5 Location: Hakos (remote); Comment: CMOS/G, mlim=20.6 |
| 2026 09 05.86 | V 16.6 AV 5.0R 5A870 0.7 ICQ XX | MEY I | C 0.7 | 1mS50 IM2 TYT 0 U9*0.12 16.7 2.4s 2.4 |
| 2026 09 08.86 | Z 15.9 BG 27.9L 2C000 1.1 0.06 227 | LEH02I | C 1.1 | mZCP IMX AIR 5 1.2s 1.2 Location: Weimar; Comment: CMOS OSC/G, mlim=20.4 |
| 2026 09 15.80 | Z 15.8 BG 27.9L 2B400 1.2 0.05 232 | FRI02I | C 1.2 | mTSC IMX AIR 5 1.3s 1.3 Location: Koeditz; Comment: CMOS OSC/G, mlim=21.4 |
| 2026 10 05.79 | Z 15.8 BG 27.9L 2B640 1.4 1.9 m225 | FRI02I | C 1.4 | mTSC IMX AIR 5 1.3s 1.3 Location: Koeditz; Comment: CMOS OSC/G, mlim=21.2 |
| 2026 10 11.75 | Z 15.7 BG 27.9L 2A560 1.5 | FRI02I | C 1.5 | mTSC IMX AIR 5 1.3s 1.3 Location: Koeditz; Comment: CMOS OSC/G, mlim=20.7 |



Komet **C/2021 G2 (ATLAS)** am 11. August 2026 um 23:38 UT, Planewave CDK24, FLI ProLine KAF-16803, 120 Sekunden belichtet, Teneriffa, Michael Hauss

## Komet P/2021 N1 (ZTF)

B. Bolin meldete die Entdeckung eines 18,9 mag hellen Kometen auf Aufnahmen vom 02.07.2021 mit dem Palomar Mountain-ZTF. Nachträglich wurden Aufnahmen vom 17.06.2021 mit dem Zwicky Transient Facility (ZTF) am Palomar Observatory bekannt. Der 16,6 mag helle Komet wurde zufällig auf Aufnahmen vom 22.06.2026 im Rahmen des ATLAS-Programms wiederentdeckt. Siehe MPEC 2021-N115 und CBET 5707.

Bahnelemente:

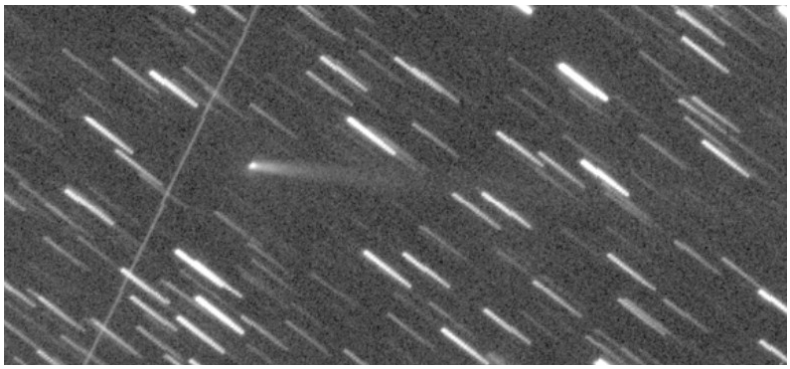
| T [UT] | ω [°] | Ω [°] | i [°] | q [AE] | e [AE] | P [a] | Epoche |
|---|---|---|---|---|---|---|---|
| 2026 07 28,4842 | 21,2189 | 301,1133 | 11,4854 | 0,9663 | 0,675725 | 5,14 | 12.11.2026 |

Fotos und Beobachtungen der FG Kometen:

| Zeitpunkt | Details zur Aufnahme |
|---|---|
| 2026 August 07 01.21 UT | 12x120 sec, 0.4-m f/3.8 Orion Optics AG16, SBIG STL6303E, B96 BRIXIIS observatory Kruibeke Belgium Erik Bryssinck |
| 2026 August 08 23.42 UT | UT, 13x150sec. 16"/3.2 ASI 2600MC Michael Jäger, Gerald Rhemann |
| 2026 August 11 23:36-00:51 UT | 25cm F/3.3 Deltagraph + Fuji XT30 38x2min ISO 6400 Hochgurgl/Ötztaler Alpen Uwe Wohlrab |
| 2026 August 12 01.29 UT | 9x120 sec, 0.4-m f/3.8 Orion Optics AG16, SBIG STL6303E, B96 BRIXIIS observatory Kruibeke Belgium Erik Bryssinck |
| 2026 August 12 01.58 UT | 15x120sec. 16"/3.2 QHY 600 Michael Jäger und Gerald Rhemann |
| 2026 August 14 23:18-00:50 UT | Fuji GFX + 4/250 21x2min ISO 3200 + Californian. Hochgurgl/Ötztaler Alpen Uwe Wohlrab |
| 2026 August 14 23:30-00:34 UT | 25cm F/3.3 Deltagraph + Fuji XT30 32x2min ISO 6400 Hochgurgl/Ötztaler Alpen Uwe Wohlrab |
| 2026 August 16 00.07 UT | 8x100sec. 16"/3.2 QHY 600 Michael Jäger, Gerald Rhemann |
| 2026 August 22 23.26 UT | 2x90sec. 16"/3.2 QHY600 Michael Jäger, Gerald Rhemann |
| 2026 August 23 23.17-00.10 UT | 25x2 min, Gain 160, Touptek SkyEye 62 AC, RASA 11, erstellt mit AIRTOOLS, Köditz centered on comet Steffen Fritsche |

Helligkeitsmeldungen der FG Kometen im ICQ-Format:

| Zeitpunkt<br>YYYY MM DD.Dd | Beobachtungsdaten<br>M[mm.m:rfAAA.ATF/xxxx >dd.ddnDC >t.tt GGG: | Beobachter Mag | Bemerkungen |
|---|---|---|---|
| 2026 08 23.99 | Z 17.5 BG 27.9L 2C000 0.5 0.7 m269 | FRI02I C 0.5 | mTSC IMX AIR 5 1.3s 1.3 Location: Koeditz; Comment: CMOS OSC/G, mlim=21.1 |



Komet **P/2021 N1 (ZTF)** am 12. August 2026 um 01:58 UT, 15 x 120 Sekunden belichtet, 16"/3,2 QHY 600, Michael Jäger und Gerald Rhemann

## Komet C/2022 E2 (ATLAS)

Ein scheinbar asteroidales Objekt der Helligkeit 18,7 mag, das im Rahmen des ATLAS-Programms am 07.03.2022 entdeckt wurde, zeigte kometare Eigenschaften. Nachträglich wurde der Komet auch auf bereits gemeldeten Aufnahmen vom 23.02.2022 als dieser identifiziert. Siehe CBET 5109.

Bahnelemente:

| T [UT] | ω [°] | Ω [°] | i [°] | q [AE] | e [AE] | P [a] | Epoche |
|---|---|---|---|---|---|---|---|
| 2024 09 14,4373 | 41,8073 | 125,3996 | 137,1392 | 3,6685 | 1,000989 | n/a | 12.11.2026 |

Fotos und Beobachtungen der FG Kometen:

| Zeitpunkt | Details zur Aufnahme |
|---|---|
| 2026 August 07 00.05-00.47 UT | 20x2 min, Gain 160, Touptek SkyEye 62 AC, RASA 11, erstellt mit AIRTOOLS, Köditz centered on comet Steffen Fritsche |
| 2026 August 07 00.09 UT | 9x120 sec, 0.4-m f/3.8 Orion Optics AG16, SBIG STL6303E, B96 BRIXIIS observatory Kruibeke Belgium Erik Bryssinck |
| 2026 August 12 00.07 UT | 9x120 sec, 0.4-m f/3.8 Orion Optics AG16, SBIG STL6303E, B96 BRIXIIS observatory Kruibeke Belgium Erik Bryssinck |
| 2026 August 22 21.57-22.46 UT | 12x4 min, Gain 160, Touptek SkyEye 62 AC, RASA 11, erstellt mit AIRTOOLS, Köditz centered on comet Steffen Fritsche |
| 2026 September 01 21.21-22.15 UT | 26x2 min, Gain 160, Touptek SkyEye 62AC, RASA 11, erstellt mit AIRTOOLS, Köditz Steffen Fritsche |
| 2026 October 13 19.45 UT | 11x120 sec, 0.4-m f/3.8 Orion Optics AG16, SBIG STL6303E, B96 BRIXIIS Observatory Kruibeke Belgium Erik Bryssinck |

Helligkeitsmeldungen der FG Kometen im ICQ-Format:

| Zeitpunkt YYYY MM DD.Dd | Beobachtungsdaten M[mm.m:rfAAA.ATF/xxxx | >dd.ddnDC | >t.tt | GGG: | Beobachter | Mag | Bemerkungen |
|---|---|---|---|---|---|---|---|
| 2026 08 03.07 | Z 16.4 BG 27.9L 2D080 | 1.1 | 0.05 | 23 | LEH02I | C 1.1 | mZCP IMX AIR 5 1.2s 1.2 Location: Weimar; Comment: CMOS OSC/G, mlim=20.7, moon 81% dist 34 deg |
| 2026 08 07.02 | Z 16.7 BG 27.9L 2B400 | 1.1 | 0.09 | 36 | FRI02I | C 1.1 | mTSC IMX AIR 5 1.3s 1.3 Location: Koeditz; Comment: CMOS OSC/G, mlim=21.5, moon 40% dist 63 deg |
| 2026 08 09.00 | Z 16.6 BG 27.9L 2D800 | 1.2 | 0.19 | 36 | LEH02I | C 1.2 | mZCP IMX AIR 5 1.2s 1.2 Location: Weimar; Comment: CMOS OSC/G, mlim=21.8, moon 19% dist 87 deg |
| 2026 08 22.93 | Z 16.7 BG 27.9L 2B880 | 1.0 | 1.3 m | 35 | FRI02I | C 1.0 | mTSC IMX AIR 5 1.3s 1.3 Location: Koeditz; Comment: CMOS OSC/G, mlim=21.4, moon 76% dist 86 deg |
| 2026 09 01.91 | Z 16.8 BG 27.9L 2C120 | 0.9 | 1.4 m | 36 | FRI02I | C 0.9 | mTSC IMX AIR 5 1.3s 1.3 Location: Koeditz; Comment: CMOS OSC/G, mlim=21.4, moon 76% dist 54 deg |
| 2026 09 07.93 | Z 16.9 BG 27.9L 2B880 | 1.0 | 0.16 | 35 | LEH02I | C 1.0 | mZCP IMX AIR 5 1.2s 1.2 Location: Weimar; Comment: CMOS OSC/G, mlim=21.1 |
| 2026 10 12.85 | Z 17.2 BG 27.9L 2C720 | 1.0 | 0.05 | 31 | LEH02I | C 1.0 | mZCP IMX AIR 5 1.2s 1.2 Location: Weimar; Comment: CMOS OSC/G, mlim=21.4 |

Auf den Aufnahmen der Fachgruppe zeigt sich der etwa 17 mag helle Komet einen schwachen Schweif.

## Komet C/2022 N2 (PANSTARRS)

R. Weryk meldete die Entdeckung des 20,6 mag hellen Kometen auf Aufnahmen mit dem Pan-STARRS2-Teleskop vom 04.07.2022. Der Komet konnte auf weiteren Aufnahmen bis zurück zum 02.06.2022 identifiziert werden. Siehe CBET 5148.

Bahnelemente:

| T [UT] | ω [°] | Ω [°] | i [°] | q [AE] | e [AE] | P [a] | Epoche |
|---|---|---|---|---|---|---|---|
| 2025 08 1,3906 | 75,5195 | 319,7267 | 5,5035 | 3,8284 | 1,004773 | n/a | 12.11.2026 |

Fotos und Beobachtungen der FG Kometen:

| Zeitpunkt | Details zur Aufnahme |
|---|---|
| 2026 September 03 04:39 UT | Planewave CDK24, FLI ProLine KAF-16803, 120s, T 16,7 mag, Open University, ART, Teneriffa, Remote, Michael Hauss |
| 2026 October 09 11:39 UT | Planewave 17" CDK f/4,5, FLI-PL 6303E, 300s, Koma 15", Schweifansatz PA 69°, T 15,9 mag, T21, Utah, USA, Remote, Michael Hauss |

Helligkeitsmeldungen der FG Kometen im ICQ-Format:

| Zeitpunkt YYYY MM DD.Dd | Beobachtungsdaten M[mm.m:rfAAA.ATF/xxxx | >dd.ddnDC | >t.tt | GGG: | Beobachter | Mag | Bemerkungen |
|---|---|---|---|---|---|---|---|
| 2026 09 23.14 | Z 15.9 BG 27.9L 2C240 | 0.8 | 0.06 | 279 | LEH02I | C 0.8 | mZCP IMX AIR 5 1.2s 1.2 Location: Weimar; Comment: CMOS OSC/G, mlim=21.2 |

Auf den Aufnahmen von Michael Hauss zeigt der etwa 16 mag helle Komet eine Koma.

## Komet C/2023 H5 (Lemmon)

Ein scheinbar asteroidales Objekt der Helligkeit 20,2 mag, das im Rahmen des Mt. Lemmon Programms am 19.04.2023 entdeckt wurde, zeigte kometare Eigenschaften. Nachträglich konnte R. Weryk das Objekt bis zurück zu einer Aufnahme vom 01.12.2022 mit dem Pan-STARRS1-Teleskop identifizieren. Siehe CBET 5274.

Bahnelemente:

| T [UT] | ω [°] | Ω [°] | i [°] | q [AE] | e [AE] | P [a] | Epoche |
|---|---|---|---|---|---|---|---|
| 2025 06 30,5415 | 60,1374 | 159,4684 | 97,8566 | 4,3133 | 1,000846 | n/a | 12.11.2026 |

Helligkeitsmeldungen der FG Kometen im ICQ-Format:

| Zeitpunkt YYYY MM DD.Dd | Beobachtungsdaten M[mm.m:rfAAA.ATF/xxxx | >dd.ddnDC | >t.tt | GGG: | Beobachter | Mag | Bemerkungen |
|---|---|---|---|---|---|---|---|
| 2026 08 07.00 | Z 18.4 BG 27.9L 2D920 | 0.4 | 1.5 | m335 | LEH02I | C 0.4 | mZCP IMX AIR 5 1.2s 1.2 Location: Weimar; Comment: CMOS OSC/G, mlim=21.7, moon 40% dist 70 deg |

Aufnahmen des Kometen seitens der Fachgruppe liegen im Berichtszeitraum nicht vor.

## Komet C/2023 R1 (PANSTARRS)

R. Weryk meldete die Entdeckung des 20,1 mag hellen Kometen auf Aufnahmen mit dem Pan-STARRS2-Teleskop vom 07.09.2023. Nachträglich konnte er den Kometen auch auf Aufnahmen bis zurück zum 29.07.2023 identifizieren. Siehe CBET 5293.

Bahnelemente:

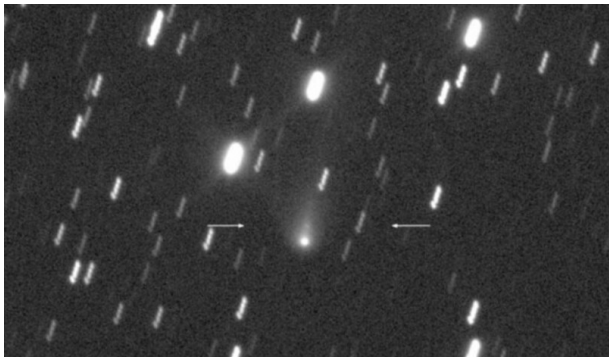
| T [UT] | ω [°] | Ω [°] | i [°] | q [AE] | e [AE] | P [a] | Epoche |
|---|---|---|---|---|---|---|---|
| 2026 04 13,3437 | 144,2546 | 62,5712 | 149,3123 | 3,57 | 1,002178 | n/a | 12.11.2026 |

Fotos und Beobachtungen der FG Kometen:

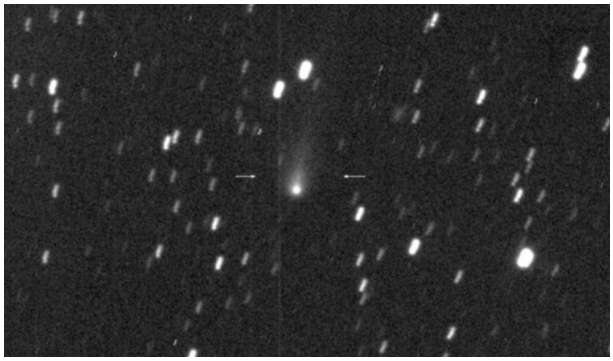
| Zeitpunkt | Details zur Aufnahme |
|---|---|
| 2026 August 01 09:41 UT | Richey-Chrétien 12,5" f/9, Apogee Aspen Alta U16, 4x300s, Koma 33", Schweif 74" PA 78°, T 13,5 mag, mit Fragment B 13,7" PA 82° vom Kern, Vollmond, T33, Siding Spring, Australien, Remote, Michael Hauss |
| 2026 August 02 20.26-21.24 UT | 28x2 min, Gain 160, Touptek SkyEye 62 AC, RASA 11, erstellt mit AIRTOOLS, Köditz centered on comet Steffen Fritsche |
| 2026 August 06 20.35 UT | 9x120 sec, 0.4-m f/3.8 Orion Optics AG16, SBIG STL6303E, B96 BRIXIIS observatory Kruibeke Belgium Erik Bryssinck |
| 2026 August 13 10:52 UT | Richey-Chrétien 12,5" f/9, Apogee Aspen Alta U16, 4x300s, Koma 25", Schweif 66" PA 82°, T 13,9 mag, mit Fragment B 13" PA 78° vom Kern und 18,0 mag, T33, Siding Spring, Australien, Remote, Michael Hauss |
| 2026 August 28 09:53 UT | Planewave 20" CDK f/6,8, FLI 16200, 3x300s, Koma 16", Schweif 30" PA 79°, T 14,2 mag, mit Fragment B 16" PA 81° vom Kern und ca. 17,6 mag, T32, Siding Spring, Australien, Remote, Michael Hauss |

Helligkeitsmeldungen der FG Kometen im ICQ-Format:

| Zeitpunkt YYYY MM DD.Dd | Beobachtungsdaten M[mm.m:rfAAA.ATF/xxxx | >dd.ddnDC | >t.tt | GGG: | Beobachter | Mag | Bemerkungen |
|---|---|---|---|---|---|---|---|
| 2026 08 02.87 | Z 14.1 BG 27.9L 2C000 | 1.0 | 0.06 | 74 | LEH02I | C 1.0 | mZCP IMX AIR 5 1.2s 1.2 Location: Weimar; Comment: CMOS OSC/G, mlim=19.9, moon 82% dist 120 deg |
| 2026 08 02.87 | Z 13.9 BG 27.9L 2C360 | 1.3 | 1.3 m | 78 | FRI02I | C 1.3 | mTSC IMX AIR 5 1.3s 1.3 Location: Koeditz; Comment: CMOS OSC/G, mlim=19.9, moon 82% dist 120 deg |
| 2026 08 07.78 | Z 14.1 BG 10.6R 5A080 | 1.3 | 2.4 m | 78 | LEH02I | C 1.3 | mMC3 IMX AIR 5 1.5s 1.5 Location: Hakos (remote); Comment: CMOS/G, mlim=20.0 |
| 2026 08 11.86 | Z 14.2 BG 27.9L 2B160 | 1.0 | 0.06 | 85 | LEH02I | C 1.0 | mZCP IMX AIR 5 1.2s 1.2 Location: Weimar; Comment: CMOS OSC/G, mlim=19.8 |
| 2026 08 17.90 | Z 14.3 BG 10.6R 5A080 | 1.0 | 0.10 | 75 | LEH02I | C 1.0 | mMC3 IMX AIR 5 1.5s 1.5 Location: Hakos (remote); Comment: CMOS/G, mlim=20.1 |
| 2026 09 03.77 | Z 14.5 BG 10.6R 5A080 | 1.1 | 0.07 | 76 | LEH02I | C 1.1 | mMC3 IMX AIR 5 1.5s 1.5 Location: Hakos (remote); Comment: CMOS/G, mlim=20.2 |



Komet **C/2023 R1 (PANSTARRS)** am 01. August 2026 um 09:41 UT, Richey-Chrétien 12,5" f/9, Apogee Aspen Alta U16, 4 x 300 Sekunden belichtet, **mit Fragment B**, Siding Spring, Australien, Michael Hauss



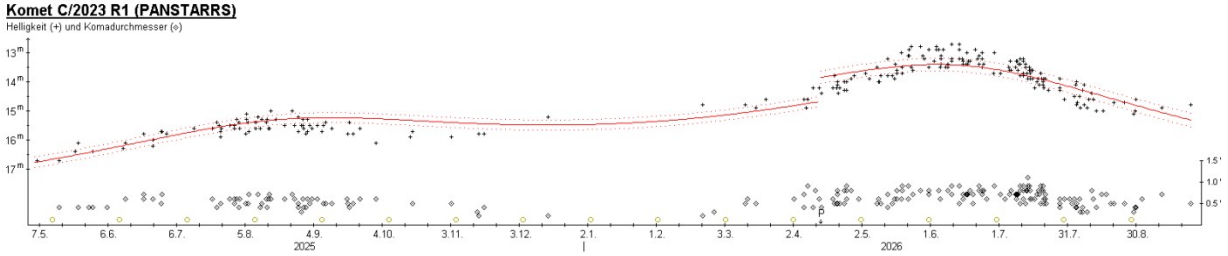
Komet **C/2023 R1 (PANSTARRS)** am 13. August 2026 um 10:52 UT, Richey-Chrétien 12,5" f/9, Apogee Aspen Alta U16, 4 x 300 Sekunden belichtet, **mit Fragment B**, Siding Spring, Australien, Michael Hauss

Der Komet **C/2023 R1 (PANSTARRS)** wurde Anfang November schwächer als $16^m$. Die Aktivität nahm bei diesem Kometen vor dem Perihel deutlich langsamer zu als sie nach dem Perihel abnahm, wie 292 Beobachtungen (ganz überwiegend per CCD gewonnen) von 42 Beobachtern ausweisen. Die Helligkeitsparameter lauten:

vor dem Perihel: $m_0 = +6{,}5^m$ / n = 4
nach dem Perihel: $m_0 = -4{,}0^m$ / n = 11

Damit erreichte der Komet Anfang Juni 2026 eine Maximalhelligkeit von $13{,}2^m$. Der scheinbare Komadurchmesser betrug über einen längeren Zeitraum im Jahr 2026 hinweg 0,8‘, ging aber bis Mitte September auf 0,5‘ zurück. Der absolute Komadurchmesser maß damit ziemlich konstant 100.000 km.

Dabei war die Koma merklich verdichtet (DC 5). Der nach ONO gerichtete Schweif erreichte auf CCD-Aufnahmen eine Länge von lediglich 2‘ (700.000 km).




## Komet C/2024 G4 (PANSTARRS)

R. Weryk berichtet über die Entdeckung eines etwa 21 mag hellen Kometen auf Bildern, die mit dem Pan-STARRS2 1.8-m Ritchey-Chretien-Reflektor auf dem Haleakala gemacht wurden. Nachträglich wurde der Komet auch auf anderen Aufnahmen bis zurück zum 09.02.2022 identifiziert. Siehe CBET 5390.

Bahnelemente:

| T [UT] | ω [°] | Ω [°] | i [°] | q [AE] | e [AE] | P [a] | Epoche |
|---|---|---|---|---|---|---|---|
| 2026 03 21,3778 | 131,3992 | 152,9695 | 33,0308 | 4,9005 | 0,998809 | 260000 | 12.11.2026 |

Fotos und Beobachtungen der FG Kometen:

| Zeitpunkt | Details zur Aufnahme |
|---|---|
| 2026 August 06 23.17 UT | 9x120 sec, 0.4-m f/3.8 Orion Optics AG16, SBIG STL6303E, B96 BRIXIIS observatory Kruibeke Belgium Erik Bryssinck |
| 2026 August 09 22:50 UT | 8x3min, 16" f/2.5, CDS-5D Roland Fichtl |
| 2026 August 11 23.17 UT | 9x120 sec, 0.4-m f/3.8 Orion Optics AG16, SBIG STL6303E, B96 BRIXIIS observatory Kruibeke Belgium Erik Bryssinck |
| 2026 August 15 13:59 UT | Planewave 20" CDK, FLI Proline 16803, 300s, T 17,8 mag, Siding Spring, Australien, Remote, Michael Hauss |
| 2026 August 31 22:12 UT | Planewave CDK24, FLI ProLine KAF-16803, 120s, T 18,0 mag, Teneriffa, Remote, Michael Hauss |
| 2026 October 10 11:56 UT | Planewave 20" CDK f/6,8, FLI 16200, 300s, T 18,3 mag, T32, Siding Spring, Australien, Remote, Michael Hauss |

Auf den Aufnahmen der Fachgruppe zeigt der etwa 18 mag helle Komet eine kleine Koma.

## Komet C/2024 G6 (ATLAS)

A. Fritzsimmons meldete die Entdeckung des 19 mag hellen Kometen auf Aufnahmen vom 10.04.2024 mit dem 0,5m-Schmidtteleskop am Rio Hurtado (Chile) im Rahmen des ATLAS-Programms. Siehe CBET 5392.

Bahnelemente:

| T [UT] | ω [°] | Ω [°] | i [°] | q [AE] | e [AE] | P [a] | Epoche |
|---|---|---|---|---|---|---|---|
| 2026 02 20,5064 | 23,4157 | 250,9454 | 120,4442 | 6,43 | 1,001117 | n/a | 12.11.2026 |

Fotos und Beobachtungen der FG Kometen:

| Zeitpunkt | Details zur Aufnahme |
|---|---|
| 2026 August 06 21.38 UT | 9x120 sec, 0.4-m f/3.8 Orion Optics AG16, SBIG STL6303E, B96 BRIXIIS observatory Kruibeke Belgium Erik Bryssinck |
| 2026 August 11 21.30 UT | 9x120 sec, 0.4-m f/3.8 Orion Optics AG16, SBIG STL6303E, B96 BRIXIIS observatory Kruibeke Belgium Erik Bryssinck |
| 2026 August 17 22:49 UT | Planewave CDK24, FLI ProLine KAF-16803, 120s, Schweif 18" PA 144°, T 17,3 mag, Teneriffa, Remote, Michael Hauss |
| 2026 August 23 21:07 UT | Planewave CDK24, FLI ProLine KAF-16803, 120s, T 17,6 mag, Teneriffa, Remote, Michael Hauss |

Helligkeitsmeldungen der FG Kometen im ICQ-Format:

| Zeitpunkt YYYY MM DD.Dd | Beobachtungsdaten M[mm.m:rfAAA.ATF/xxxx >dd.ddnDC >t.tt GGG: | Beobachter Mag | Bemerkungen |
|---|---|---|---|
| 2026 08 06.87 | Z 17.7 BG 27.9L 2B160 0.4 0.3 m168 | LEH02I C 0.4 | mZCP IMX AIR 5 1.2s 1.2 Location: Weimar; Comment: CMOS OSC/G, mlim=20.6 |

Auf den Aufnahmen der Fachgruppe zeigt der etwa 17,5 mag helle Komet eine kleine Koma.

## Komet C/2024 J3 (ATLAS)

Der etwa 18 mag helle Komet wurde auf Aufnahmen vom 06.05.2024 mit dem 0,5m-Schmidtteleskop am Rio Hurtado (Chile) im Rahmen des ATLAS-Programms entdeckt. Siehe CBET 5398.

Bahnelemente:

| T [UT] | ω [°] | Ω [°] | i [°] | q [AE] | e [AE] | P [a] | Epoche |
|---|---|---|---|---|---|---|---|
| 2026 11 25,4292 | 74,0908 | 285,9593 | 75,639 | 3,8655 | 0,999868 | 5 Mio. | 12.11.2026 |

## Fotos und Beobachtungen der FG Kometen:

| Zeitpunkt | Details zur Aufnahme |
|---|---|
| 2026 August 03 23.35 UT | 26x30sec. 130mm Newton F3 QHY 290mm ( 82% Mond ) Walter Kutschera |
| 2026 August 06 20:32 UT | 45x30 sec., RASA 8, ZWO ASI2600MC Pro, Roßtal Klemens Waldhör |
| 2026 August 06 22:27 UT | 8x2min, 16" f/2.5, ASI6200MM Roland Fichtl |
| 2026 August 06 22.52 UT | 9x120 sec, 0.4-m f/3.8 Orion Optics AG16, SBIG STL6303E, B96 BRIXIIS observatory Kruibeke Belgium Erik Bryssinck |
| 2026 August 07 05:44 UT | Planewave DeltaRho 500mm f/3,0, ZWO ASI 6200, 300s, Koma 50", Schweif 2,2‘ PA 182°, T 13,3 mag, Utah, USA, Remote, Michael Hauss |
| 2026 August 08 21.41-22.14 UT | 8x4 min, Gain 160, Touptek SkyEye 62 AC, RASA 11, erstellt mit AIRTOOLS, Köditz centered on comet Steffen Fritsche |
| 2026 August 09 22:10 UT | 10x3min, 16" f/2.5, CDS-5D Roland Fichtl |
| 2026 August 10 22:25 UT | 24x60 sec., RASA 8, ZWO ASI2600MC Pro, Roßtal Klemens Waldhör |
| 2026 August 11 20:51 UT | 58x30 sec., Seestar S50, Seestar S50, Roßtal Klemens Waldhör |
| 2026 August 11 21.30 UT | 22x30sec. 130mm Newton F3 QHY 290mm Walter Kutschera |
| 2026 August 13 22.45 UT | 22x30sec. 130mm Newton F3 QHY290mm Walter Kutschera |
| 2026 August 14 23:07-00:09 UT | 60x60 s, 15.3 mag, motion 0.7 arcmin/h NW, Refractor 4" f/5.0, ASI 585MM Pro, Erding 11.9 E 48.4 N Rolf Stadelmaier |
| 2026 August 19 20:41 UT | 28x30 sec., Seestar S50, ZWO ASI462MC / Seestar S50, Roßtal Klemens Waldhör |
| 2026 August 22 20.49-21.51 UT | 15x4 min, Gain 160, Touptek SkyEye 62 AC, RASA 11, erstellt mit AIRTOOLS, Köditz centered on comet Steffen Fritsche |
| 2026 August 23 20:39 UT | 36x30 sec., Seestar S50, ZWO ASI462MC / Seestar S50, Roßtal Klemens Waldhör |
| 2026 August 23 21.50 UT | 22x30sec. 130mm Newton F3 QHY 290mm ( 80% Mond) Walter Kutschera |
| 2026 August 24 01:15 UT | Planewave CDK24, FLI ProLine KAF-16803, 120s, Koma 34", T 13,5 mag, Komet unmittelbar neben 16,0 mag Stern, Teneriffa, Remote, Michael Hauss |
| 2026 August 26 22.09 UT | (mid time), 216x6 s, C8 (Celestar 8), ZWO ASI 1600MM Pro, Maremma countryside-Italy-Fabrizio Montanucci |
| 2026 August 27 02:02 UT | Planewave CDK24, FLI ProLine KAF-16803, 120s, Koma 27", Schweif 2,2‘ PA 180°, T 13,4 mag, Teneriffa, Remote, Michael Hauss |
| 2026 August 27 21:38 UT | Planewave CDK24, FLI ProLine KAF-16803, 120s, Koma 38", Schweif 2‘ PA 173°, T 13,5 mag, Teneriffa, Remote, Michael Hauss |
| 2026 August 29 21.15 UT | (mid time), 281x6 s, C8 (Celestar 8), ZWO ASI 1600MM Pro, Maremma countryside-Italy-Fabrizio Montanucci |
| 2026 August 30 21.04 UT | Newton 40 cm, 10 min, Koralmsternwarte Traütten, Austria Gerhard Balda |
| 2026 August 31 22:50 UT | Planewave CDK24, FLI ProLine KAF-16803, 120s, Koma 50", Schweif 4‘ PA 171°, T 13,4 mag, Teneriffa, Remote, Michael Hauss |
| 2026 September 01 20.13-21.10 UT | 27x2 min, Gain 160, Touptek SkyEye 62AC, RASA 11, erstellt mit AIRTOOLS, Köditz centered on comet Steffen Fritsche |
| 2026 September 01 20.49 UT | 30x10 s, SeeStar S50, Garbsen Volker Kasten |
| 2026 September 01 21:20 UT | 10x3min, 16" f/2.5, ASI6200MC Roland Fichtl |
| 2026 September 03 02:03 UT | Planewave CDK24, FLI ProLine KAF-16803, 2x120s, Koma 43", Schweif 2,5‘ PA 173°, T 13,4 mag, Open University, ART, Teneriffa, Remote, Michael Hauss |
| 2026 September 04 21.00 UT | 16x5min, 10" f4.6, QHY268M, Ampflwang Thomas Schönpos |
| 2026 September 04 21.00 UT | 12x5min, 10" f4.6, QHY268M, Ampflwang, Animation Thomas Schönpos |
| 2026 September 05 20.55 UT | 29x 30sec. 130mmNewton F3 QHY 290mm Walter Kutschera |
| 2026 September 05 21:02-22:15 UT | 70x60 s, 15.5 mag, motion 0.44 arcmin/h SW, Refractor 4" f/5.0, ASI 585MM Pro, Erding 11.9 E 48.4 N Rolf Stadelmaier |
| 2026 September 05 21.07 UT | 9x120sec. 16min "/3.2 QHY 600 Michael Jäger, Gerald Rhemann |
| 2026 September 06 19.50 UT | 11x100sec. 12"/3.3 QHY600 Michael Jäger, Gerald Rhemann |
| 2026 September 08 20.20-20.49 UT | 7x4 min, Gain 160, Touptek SkyEye 62 AC, RASA 11, erstellt mit AIRTOOLS, Köditz centered on comet Steffen Fritsche |
| 2026 September 14 19:51-21:30 UT | 96x60 s, 15.5 mag, motion 0.30 arcmin/h SW, Refractor 4" f/5.0, ASI 585MM Pro, Erding 11.9 E 48.4 N Rolf Stadelmaier |
| 2026 September 14 19.23 UT | 9x120 sec, 0.4-m f/3.8 Orion Optics AG16, SBIG STL6303E, B96 BRIXIIS observatory Kruibeke Belgium Erik Bryssinck |
| 2026 September 14 19.34-20.42 UT | 14x4 min, Gain 160, Touptek SkyEye 62 AC, RASA 11, erstellt mit AIRTOOLS, Köditz centered on comet Steffen Fritsche |
| 2026 September 14 20.34 UT | 11x100sec. 12"/3.3 QHY 600 Michael Jäger, Gerald Rhemann |
| 2026 September 16 20.50 UT | 28x30 sec. 130mm Newton F5 QHY 290mm Walter Kutschera |
| 2026 September 18 19.22-20.16 UT | 11x4 min, Gain 160, Touptek SkyEye 62 AC, RASA 11, erstellt mit AIRTOOLS, Köditz centered on comet Steffen Fritsche |
| 2026 September 19 22.45 UT | 12x90sec. 16"/3.2 QHY 600 Michael Jäger, Gerald Rhemann |
| 2026 September 20 19.07 UT | 24x10s, SeeStar S50, Garbsen Volker Kasten |
| 2026 September 22 19:50 UT | Newton 8" f/4, Canon EOS 600D, exp. 62x30s, scale 1.1arcsec/px, North is up. Miroslav Lošťák, Karlovy Vary, Czech Rep., SMPH |
| 2026 September 22 21.06-22.03 UT | 27x2 min, Gain 160, Touptek SkyEye 62 AC, RASA 11, erstellt mit AIRTOOLS, Köditz centered on comet Steffen Fritsche |
| 2026 September 23 18.59 UT | 9x120 sec, 0.4-m f/3.8 Orion Optics AG16, SBIG STL6303E, B96 BRIXIIS Observatory Kruibeke Belgium Erik Bryssinck |
| 2026 September 23 22:25 UT | 123x30 sec., Seestar S50, Seestar S50, Roßtal Klemens Waldhör |
| 2026 September 24 23:49 UT | 47x30 sec., Seestar S50, Seestar S50, Roßtal Klemens Waldhör |
| 2026 September 25 20:36 UT | 42x30 sec., Seestar S50, Seestar S50, Roßtal Klemens Waldhör |
| 2026 September 27 19:21 UT | 27x30 sec., RASA 8, ZWO ASI2600MC Pro, Roßtal Klemens Waldhör |
| 2026 September 29 19:24-20:34 UT | 35x120 s, 15.5 mag, motion 8.4 arcsec/h SW, Refractor 4" f/5.0, ASI 585MM Pro, Erding 11.9 E 48.4 N Rolf Stadelmaier |
| 2026 September 30 19:36-20:40 UT | 32x120 s, 15.5 mag, motion 7.2 arcsec/h SW, Refractor 4" f/5.0, ASI 585MM Pro, Erding 11.9 E 48.4 N Rolf Stadelmaier |
| 2026 September 30 19.57-20.46 UT | 23x2 min, Gain 160, Touptek SkyEye 62 AC, RASA 11, erstellt mit AIRTOOLS, Köditz centered on comet Steffen Fritsche |
| 2026 September 30 20:54 UT | 50x30 sec., Seestar S50, Seestar S50, Roßtal Klemens Waldhör |
| 2026 October 03 20:52 UT | 70x30 sec., Seestar S50, Seestar S50, Roßtal Klemens Waldhör |
| 2026 October 03 20.10 UT | 28x30sec. 130mm Newton F3 QHY 290mm Walter Kutschera |
| 2026 October 05 18.44 UT | 30x10 s, SeeStar S50, Garbsen Volker Kasten |
| 2026 October 05 19.41-20.34 UT | 27x2 min, Gain160, Touptek SkyEye 62 AC, RASA 11, erstellt mit AIRTOOLS, Köditz centered on comet Steffen Fritsche |
| 2026 October 11 18.28 UT | 24x10 s, SeeStar S50, Garbsen Volker Kasten |
| 2026 October 13 18.10 UT | 11x120 sec, 0.4-m f/3.8 Orion Optics AG16, SBIG STL6303E, B96 BRIXIIS Observatory Kruibeke Belgium Erik Bryssinck |
| 2026 October 14 21.18 UT | 32x30sec. 13mm Newton F3 QHY 290mm Walter Kutschera |
| 2026 October 24 18.33-19.27 UT | 26x2 min, Gain 160, Touptek SkyEye 62 AC, RASA 11, erstellt mit AIRTOOLS, Köditz centered on comet Steffen Fritsche |
| 2026 October 27 19.55-20.39 UT | 18x2 min, Gain 160, Touptek SkyEye 62 AC, RASA 11, erstellt mit AIRTOOLS, Köditz centered on comet Steffen Fritsche |
| 2026 October 28 18.30 UT | 25x 30sec. 130mm Newton F3 QHY 290mm (90% Mond) Walter Kutschera |
| 2026 October 30 19:17-19:47 UT | 60x30,APO 150mm (f/7.3),Altair Hypercam A26M + IR-blocking filter,L30 Lohbach-Observatory T. Zilch |

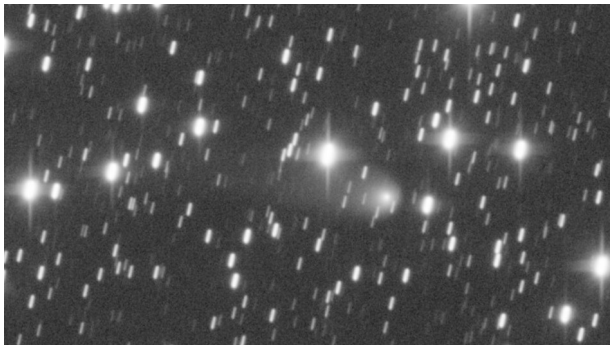
## Helligkeitsmeldungen der FG Kometen im ICQ-Format:

| Zeitpunkt YYYY MM DD.Dd | Beobachtungsdaten M[mm.m:rfAAA.ATF/xxxx | >dd.ddnDC | >t.tt | GGG: | | Beobachter | Mag | Bemerkungen |
|---|---|---|---|---|---|---|---|---|
| 2026 08 02.95 | Z 13.9 BG 27.9L 2B040 | 1.2 | 0.15 | 182 | | LEH02I | C 1.2 | mZCP IMX AIR 5 1.2s 1.2 Location: Weimar; Comment: CMOS OSC/G, mlim=20.8, moon 82% dist 75 deg |
| 2026 08 02.95 | Z 13.7 BG 03.5R 4C870 | 1.6 | | | | PIL01I | C 1.6 | mDW3 IM6 AIR 5 2.8s 2.8 Location: Leipzig; Comment: CMOS OSC/G, moon 82% dist 75 deg |
| 2026 08 02.98 | V 13.8 AV 5.0R 5B280 | 1.1 | 0.3m181 | ICQ XX | | MEY I | C 1.1 | 1mS50 IM2 TYT 0 U9*0.08 14.0 2.4s 2.4 |
| 2026 08 02.99 | V 14.7:HS 25.0L 5 a20 | 0.8 | 4 | | | KUT | 5.6 | Mond 82 % |
| 2026 08 06.98 | V 13.7 AV 5.0R 5B380 | 0.9 | | ICQ XX | | MEY I | C 0.9 | 5mS50 IM2 TYT 0 U9*0.04 13.9 2.4s 2.4 |
| 2026 08 07.93 | Z 13.5 BG 03.5R 4D140 | 1.7 | | | | PIL01I | C 1.7 | mDW3 IM6 AIR 5 2.8s 2.8 Location: Leipzig; Comment: CMOS OSC/G, moon 30% dist 101 deg |
| 2026 08 07.98 | V 13.9 AV 5.0R 5B300 | 0.8 | | ICQ XX | | MEY I | C 0.7 | 9mS50 IM2 TYT 0 U9*0.02 13.9 2.4s 2.4 |
| 2026 08 08.91 | Z 13.7 BG 27.9L 2A920 | 2.0 | 0.11 | 179 | | FRI02I | C 2.0 | mTSC IMX AIR 5 1.3s 1.3 Location: Koeditz; Comment: CMOS OSC/G, mlim=21.5 |
| 2026 08 08.98 | V 14.1 AV 5.0R 5B670 | 0.8 | | ICQ XX | | MEY I | C 0.7 | 9mS50 IM2 TYT 0 U9*0.06 14.1 2.4s 2.4 |
| 2026 08 09.98 | V 14.0 AV 5.0R 5B620 | 0.9 | | ICQ XX | | MEY I | C 0.8 | 7mS50 IM2 TYT 0 U9*0.03 14.1 2.4s 2.4 |
| 2026 08 11.97 | V 13.9 HS 50.8L 5 a10 | 0.9 | 4 | | | KUT | 6.4 | Deutlicher Heller |
| 2026 08 11.98 | Z 13.8 BG 27.9L 2B880 | 1.6 | 0.19 | 177 | | LEH02I | C 1.6 | mZCP IMX AIR 5 1.2s 1.2 Location: Weimar; Comment: CMOS OSC/G, mlim=21.5 |
| 2026 08 13.03 | S 13.8 HS 76.0L 4 150 | 0.9 | 7 | | | KUT | 6.4 | Verwaschenes Sternchen deutlich Sichtbar |
| 2026 08 14.84 | S 13.5 AV 44.0L5 200 | 0.2 | 4 | | ICQXXX | HAS02 | | |

| Zeitpunkt | Beobachtungsdaten | | | | | | | | Bemerkungen |
|---|---|---|---|---|---|---|---|---|---|
| YYYY MM DD.Dd | M[mm.m:rfAAA.ATF/xxxx | >dd.ddnDC | >t.tt | GGG: | | | Beobachter | Mag | |
| 2026 08 14.87 | Z 14.2 BG 03.5R 4C630 | 1.2 | | | | | PIL01I | C 1.2 | mDW3 IM6 AIR 5 2.8s 2.8 Location: Leipzig; Comment: CMOS OSC/G |
| 2026 08 22.89 | Z 13.8 BG 27.9L 2C600 | 1.7 | 0.10 | 174 | | | FRI02I | C 1.7 | mTSC IMX AIR 5 1.3s 1.3 Location: Koeditz; Comment: CMOS OSC/G, mlim=21.7, moon 75% dist 72 deg |
| 2026 08 23.95 | V 14.0 AV 5.0R 5C970 | 0.9 | | | ICQ | XX | MEY I | C 0.8 | 7mS50 IM2 TYT 0 U9*0.03 14.0 2.4s 2.4 |
| 2026 08 23.95 | C 14.1:AV 13.0L 5 a10 | 0.7 7 | | | | | KUT | 5.8 | Mond 80% |
| 2026 09 01.86 | Z 13.7 BG 27.9L 2C240 | 1.9 | 0.11 | 170 | | | FRI02I | C 1.9 | mTSC IMX AIR 5 1.3s 1.3 Location: Koeditz; Comment: CMOS OSC/G, mlim=21.4, moon 77% dist 93 deg |
| 2026 09 05.94 | V 13.8 AV 5.0R 5B470 | 0.9 | | | ICQ | XX | MEY I | C 0.8 | 7mS50 IM2 TYT 0 U9*0.03 13.8 2.4s 2.4 |
| 2026 09 05.95 | V 13.6 HS 50.8L 5 a10 | 1.0 5 | 0.024 | | | | KUT | 6.4 | Visuell sichtbar |
| 2026 09 07.89 | Z 13.9 BG 27.9L 2B160 | 1.3 | 0.15 | 170 | | | LEH02I | C 1.3 | mZCP IMX AIR 5 1.2s 1.2 Location: Weimar; Comment: CMOS OSC/G, mlim=20.9 |
| 2026 09 08.86 | Z 13.7 BG 27.9L 2A680 | 2.0 | 0.08 | 169 | | | FRI02I | C 2.0 | mTSC IMX AIR 5 1.3s 1.3 Location: Koeditz; Comment: CMOS OSC/G, mlim=21.1 |
| 2026 09 09.92 | Z 13.5 BG 03.5R 4a420 | 1.9 | | | | | PIL01I | C 1.9 | mDW3 IM6 AIR 5 2.8s 2.8 Location: Jessnigk; Comment: CMOS OSC/G |
| 2026 09 10.86 | V 13.9 AV 5.0R 5B730 | 1.0 | 0.9m186 | | ICQ | XX | MEY I | C 1.0 | 3mS50 IM2 TYT 0 U9*0.09 13.8 2.4s 2.4 |
| 2026 09 11.86 | Z 13.9 BG 03.5R 4a630 | 1.2 | | | | | PIL01I | C 1.2 | mDW3 IM6 AIR 5 2.8s 2.8 Location: Jessnigk; Comment: CMOS OSC/G |
| 2026 09 14.83 | Z 13.7 BG 27.9L 2C360 | 1.9 | 0.11 | 170 | | | FRI02I | C 1.9 | mTSC IMX AIR 5 1.3s 1.3 Location: Koeditz; Comment: CMOS OSC/G, mlim=21.9 |
| 2026 09 15.85 | Z 13.9 BG 27.9L 2A800 | 1.4 | 0.15 | 170 | | | LEH02I | C 1.4 | mZCP IMX AIR 5 1.2s 1.2 Location: Weimar; Comment: CMOS OSC/G, mlim=21.1 |
| 2026 09 15.88 | V 14.0 AV 5.0R 5B120 | 0.9 | | | ICQ | XX | MEY I | C 0.8 | 7mS50 IM2 TYT 0 U9*0.06 14.0 2.4s 2.4 |
| 2026 09 15.95 | S 13.1 HS 50.8L 5 120 | 1.3 4 | | | | | KUT | 6.0 | Kleine kontensierte Koma visuell gut Sichtbar |
| 2026 09 16.88 | V 14.1 AV 5.0R 5A720 | 0.9 | | | ICQ | XX | MEY I | C 0.8 | 7mS50 IM2 TYT 0 U9*0.05 14.1 2.4s 2.4 |
| 2026 09 18.83 | Z 13.7 BG 27.9L 2B640 | 1.8 | 0.07 | 169 | | | FRI02I | C 1.8 | mTSC IMX AIR 5 1.3s 1.3 Location: Koeditz; Comment: CMOS OSC/G, mlim=21.5, moon 50% dist 72 deg |
| 2026 09 18.94 | V 14.1 AV 5.0R 5B480 | 0.9 | 0.6m177 | | ICQ | XX | MEY I | C 0.8 | 7mS50 IM2 TYT 0 U9*0.14 14.1 2.4s 2.4 |
| 2026 09 20.90 | V 14.2 AV 5.0R 5B480 | 0.6 | | | ICQ | XX | MEY I | C 0.5 | 9mS50 IM2 TYT 0 U9*0.08 14.3 2.4s 2.4 |
| 2026 09 22.84 | Z 13.9 BG 27.9L 2A800 | 1.4 | 0.10 | 166 | | | LEH02I | C 1.4 | mZCP IMX AIR 5 1.2s 1.2 Location: Weimar; Comment: CMOS OSC/G, mlim=20.9, moon 85% dist 71 deg |
| 2026 09 22.90 | Z 13.7 BG 27.9L 2C240 | 2.1 | 0.09 | 168 | | | FRI02I | C 2.1 | mTSC IMX AIR 5 1.3s 1.3 Location: Koeditz; Comment: CMOS OSC/G, mlim=21.4, moon 85% dist 71 deg |
| 2026 09 22.92 | V 14.1 AV 5.0R 5B 80 | 0.8 | | | ICQ | XX | MEY I | C 0.7 | 9mS50 IM2 TYT 0 U9*0.03 14.0 2.4s 2.4 |
| 2026 09 25.90 | V 14.2 AV 5.0R 5B150 | 0.7 | 0.4m158 | | ICQ | XX | MEY I | C 0.6 | 7mS50 IM2 TYT 0 U9*0.04 14.2 2.4s 2.4 |
| 2026 09 26.78 | Z 14.2 BG 03.5R 4a930 | 1.2 | | | | | PIL01I | C 1.2 | mDW3 IM6 AIR 5 2.8s 2.8 Location: Leipzig; Comment: CMOS OSC/G, moon 100% dist 84 deg |
| 2026 09 27.83 | Z 14.2 BG 03.5R 4A980 | 1.3 | | | | | PIL01I | C 1.3 | mDW3 IM6 AIR 5 2.8s 2.8 Location: Leipzig; Comment: CMOS OSC/G, moon 98% dist 89 deg |
| 2026 09 30.85 | Z 13.9 BG 27.9L 2A800 | 1.4 | 0.08 | 166 | | | LEH02I | C 1.4 | mZCP IMX AIR 5 1.2s 1.2 Location: Weimar; Comment: CMOS OSC/G, mlim=20.7, moon 80% dist 104 deg |
| 2026 09 30.85 | Z 13.7 BG 27.9L 2B760 | 2.1 | 0.06 | 164 | | | FRI02I | C 2.1 | mTSC IMX AIR 5 1.3s 1.3 Location: Koeditz; Comment: CMOS OSC/G, mlim=21.2, moon 79% dist 104 deg |
| 2026 10 03.92 | V 13.9 HS 50.8L 5 a20 | 1.1 5 | 0.017 | | | | KUT | 6.0 | |
| 2026 10 05.84 | Z 13.5 BG 27.9L 2C120 | 2.8 | 0.12 | 167 | | | FRI02I | C 2.8 | mTSC IMX AIR 5 1.3s 1.3 Location: Koeditz; Comment: CMOS OSC/G, mlim=21.7 |
| 2026 10 14.90 | S 13.3 HS 50.8L 5 120 | 1.2 4 | | | | | KUT | 5.8 | |
| 2026 10 24.79 | Z 13.9 BG 27.9L 2C120 | 1.9 | 0.07 | 164 | | | FRI02I | C 1.9 | mTSC IMX AIR 5 1.3s 1.3 Location: Koeditz; Comment: CMOS OSC/G, mlim=20.8, moon 98% dist 86 deg |
| 2026 10 27.69 | Z 14.0 BG 03.5R 4A530 | 1.2 | | | | | PIL01I | C 1.2 | mDW3 IM6 AIR 5 2.8s 2.8 Location: Leipzig; Comment: CMOS OSC/G, moon 97% dist 102 deg |
| 2026 10 27.84 | Z 13.8 BG 27.9L 2B160 | 2.0 | 0.04 | 168 | | | FRI02I | C 2.0 | mTSC IMX AIR 5 1.3s 1.3 Location: Koeditz; Comment: CMOS OSC/G, mlim=20.5, moon 96% dist 102 deg |
| 2026 10 27.84 | Z 13.8 BG 27.9L 2B160 | 2.0 | 0.04 | 168 | | | FRI02I | C 2.0 | mTSC IMX AIR 5 1.3s 1.3 Location: Koeditz; Comment: CMOS OSC/G, mlim=20.5, moon 96% dist 102 deg |
| 2026 10 28.86 | V 13.8:AV 13.0L 5 a30 | 0.8 5 | | | | | KUT | 5.5 | Mond 90% |



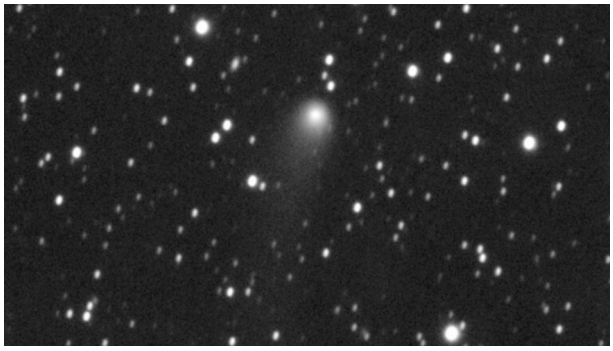
Komet **C/2024 J3 (ATLAS)** am 06. August 2026 um 22:27 UT, 8 x 2 Minuten belichtet, 16" f/2,5, ASI6200MM, Roland Fichtl



Komet **C/2024 J3 (ATLAS)** am 04. September 2026 um 21:00 UT, 16 x 5 Minuten belichtet, 10" f4,6, QHY268M, Ampflwang, Thomas Schönpos

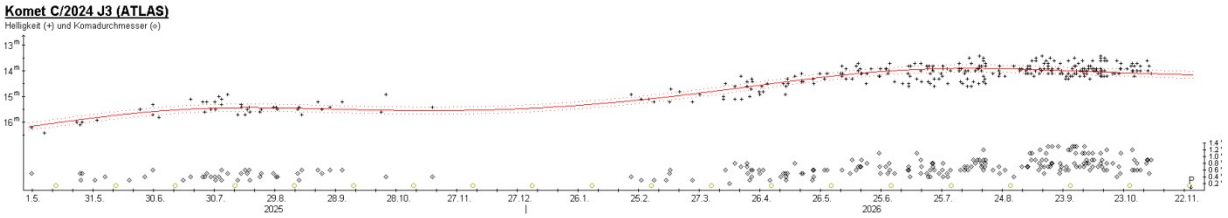


Komet **C/2024 J3 (ATLAS)** am 19. September 2026 um 22:45 UT, 12 x 90 Sekunden belichtet, 16"/3,2 QHY 600, Michael Jäger und Gerald Rhemann



Komet **C/2024 J3 (ATLAS)** am 05. Oktober 2026 um 19:41 - 20:34 UT, 27 x 2 Minuten belichtet, Gain160, Touptek SkyEye 62 AC, RASA 11, Steffen Fritsche

Der Komet **C/2024 J3 (ATLAS)** erreichte Anfang August 2026 seine Maximalhelligkeit von 13,9$^m$. Obwohl sich die Zahl der Beobachtungen seit der letzten Sst-Ausgabe verdoppelt hat, ergeben sich weiterhin die gleichen Parameterwerte. Auf der Basis von 347 (überwiegend per CCD gewonnenen) Beobachtungen von 47 Beobachtern ergeben sich die Helligkeitsparameter zu $m_0$=7,6$^m$ / n=2,4. Nachdem der Durchmesser der mäßig verdichteten (DC 4) Koma 2025 konstant bei 0,5‘ (100.000 km) lag, nahm dieser 2026 zu und erreichte Ende September den Maximalwert von 1,2‘ (175.000 km). Ein kurzer Schweif konnte von CCD-Beobachtern praktisch während der gesamten Sichtbarkeit festgestellt werden. Dieser erreichte im Herbst 2026 eine maximale Länge von 5‘ (3 Mill. km). Seine Orientierung veränderte sich 2026 von Südwest nach OSO.




Im Winter 2026/27, d.h. von Mitte November 2026 bis Mitte Februar 2027, bewegt sich der Komet vom Sternbild Leier ins Sternbild Schwan. Damit ist er zunächst am Abendhimmel beobachtbar, wechselt aber Mitte Januar an den Morgenhimmel. Er wird sehr langsam schwächer; die Helligkeit sollte von 14,1$^m$ auf 14,3$^m$ zurückgehen. Am 6. Januar 2027 kreuzt die Erde die Kometenbahnebene.

## Komet C/2024 R4 (PANSTARRS)

R. Weryk meldete die Entdeckung des 21,2 mag hellen Kometen auf Aufnahmen, die mit dem 1,8-m-Reflektor Pan-STARRS1 auf dem Haleakala am 11.09.2024 aufgenommen wurden. Nachträglich konnte der Komet auch auf Aufnahmen bis zurück zum 03.07.2024 identifiziert werden. S. Deen (USA) konnte den sternförmigen Kometen zudem auf Aufnahmen mit dem 4m-Teleskop am Cerro Tololo bis zurück zum 23.08.2024 identifizieren. Siehe CBET 5450.

Bahnelemente:

| T [UT] | ω [°] | Ω [°] | i [°] | q [AE] | e [AE] | P [a] | Epoche |
|---|---|---|---|---|---|---|---|
| 2027 10 26,8653 | 109,0215 | 345,9497 | 95,3811 | 4,4082 | 1,002072 | n/a | 12.11.2026 |

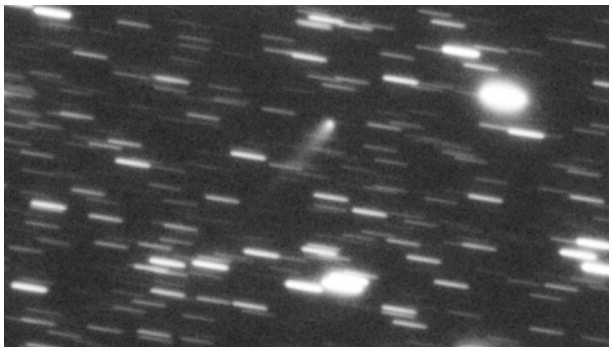
Fotos und Beobachtungen der FG Kometen:

| Zeitpunkt | Details zur Aufnahme |
|---|---|
| 2026 August 06 23.43 UT | 9x120 sec, 0.4-m f/3.8 Orion Optics AG16, SBIG STL6303E, B96 BRIXIIS observatory Kruibeke Belgium Erik Bryssinck |
| 2026 August 07 06:20 UT | Planewave DeltaRho 500mm f/3,0, ZWO ASI 6200, 300s, Koma 16", Schweif 40" PA 154°, T 14,4 mag, Utah, USA, Remote, Michael Hauss |
| 2026 August 11 23.53 UT | 9x120 sec, 0.4-m f/3.8 Orion Optics AG16, SBIG STL6303E, B96 BRIXIIS observatory Kruibeke Belgium Erik Bryssinck |
| 2026 August 27 09:15 UT | Planewave 20" CDK f/4,5, FLI ProLine PL11002M, 3x300s, Koma 8", T 15,1 mag, Utah, USA, Remote, Michael Hauss |
| 2026 August 31 21.07 UT | (mid time), 411x6 s, C8 (Celestar 8), ZWO ASI 1600MM Pro, Maremma countryside-Italy-Fabrizio Montanucci |
| 2026 September 01 23.18-00.13 UT | 26x2 min, Gain 160, Touptek SkyEye 62AC, RASA 11, erstellt mit AIRTOOLS, Köditz centered on comet Steffen Fritsche |
| 2026 September 04 21.58 UT | 16x3min, 10" f4.6, QHY268M, Ampflwang Thomas Schönpos |
| 2026 September 04 21.58 UT | 12x3min, 10" f4.6, QHY268M, Ampflwang, Animation Thomas Schönpos |
| 2026 September 05 20:35 UT | 10x3min, 16" f/2.5, ASI6200MC Roland Fichtl |
| 2026 September 05 20.50 UT | (mid time), 108x30 s, C11, ZWO ASI 1600MM Pro, Rome-Italy-Fabrizio Montanucci |
| 2026 September 05 20.50 UT | (mid time), 10x30 s (each frame, animation, H264 codec), C11, ZWO ASI 1600MM Pro, Rome-Italy-Fabrizio Montanucci |
| 2026 September 05 23.31-00.26 UT | 26x2 min, Gain 160, Touptek SkyEye 62 AC, RASA 11, erstellt mit AIRTOOLS, Köditz centered on comet Steffen Fritsche |
| 2026 September 06 20.16 UT | 4x120sec. 12"/3.3 QHY 600 Michael Jäger, Gerald Rhemann |
| 2026 September 08 19.00 UT | 7x90sec. 12" f=4 QHY 600 Michael Jäger, Gerald Rhemann |
| 2026 September 09 21.30 UT | 26x30sec. 130mm Newton F5 QHY 290mm Walter Kutschera |
| 2026 September 14 20.14 UT | 9x120 sec, 0.4-m f/3.8 Orion Optics AG16, SBIG STL6303E, B96 BRIXIIS observatory Kruibeke Belgium Erik Bryssinck |

| | |
|---|---|
| 2026 September 15 21.30 UT | 27x30 sec. 130mm Newton F5 QHY 290mm Walter Kutschera |
| 2026 September 15 21.55 UT | (mid time), 90x30 s, C8, ZWO ASI 1600MM Pro, Rome-Italy-Fabrizio Montanucci |
| 2026 September 18 22.16-23.16 UT | 28x2 min, Gain 160, Touptek SkyEye 62 AC, RASA 11, erstellt mit AIRTOOLS, Köditz centered on comet Steffen Fritsche |
| 2026 September 22 22.06-23.05 UT | 28x2 min, Gain 160, Touptek SkyEye 62 AC, RASA 11, erstellt mit AIRTOOLS, Köditz centered on comet Steffen Fritsche |
| 2026 September 25 20:29 UT | 1x30 sec., Seestar S50, Seestar S50, Roßtal Klemens Waldhör |
| 2026 September 26 07:27 UT | 18x30 sec., iTelescope 68, ZWO ASI2600C, Roßtal, Remote, Klemens Waldhör |
| 2026 September 26 21.43 UT | (mid time), 80x30 s, C8, ZWO ASI 1600MM Pro, Rome-Italy-Fabrizio Montanucci |
| 2026 September 29 19.03-20.14 UT | 34x2 min, Gain 160, Touptek SkyEye 62 AC, RASA 11, erstellt mit AIRTOOLS, Köditz centered on comet Steffen Fritsche |
| 2026 September 30 20.48-21.47 UT | 28x2 min, Gain 160, Touptek SkyEye 62 AC, RASA 11, erstellt mit AIRTOOLS, Köditz centered on comet Steffen Fritsche |
| 2026 October 03 00.10 UT | 27x30sec. 130mm Newton F3 QHY 290mm (51% Mond) Walter Kutschera |
| 2026 October 05 21.41-22.34 UT | 25x2 min, Gain160, Touptek SkyEye 62 AC, RASA 11, erstellt mit AIRTOOLS, Köditz centered on comet Steffen Fritsche |
| 2026 October 12 20.15-21.33 UT | 37x2 min, Gain 160, Touptek SkyEye 62 AC, RASA 11, erstellt mit AIRTOOLS, Köditz centered on comet Steffen Fritsche |
| 2026 October 27 21.33-22.23 UT | 12x2 min, Gain 160, Touptek SkyEye 62 AC, RASA 11, erstellt mit AIRTOOLS, Köditz centered on comet Steffen Fritsche |

## Helligkeitsmeldungen der FG Kometen im ICQ-Format:

| Zeitpunkt YYYY MM DD.Dd | Beobachtungsdaten M[mm.m:rfAAA.ATF/xxxx | >dd.ddnDC | >t.tt GGG: | Beobachter | Mag | Bemerkungen |
|---|---|---|---|---|---|---|
| 2026 08 02.99 | Z 15.3 BG 27.9L 2B760 | 0.5 | 1.5 m158 | LEH02I | C 0.5 | mZCP IMX AIR 5 1.2s 1.2 Location: Weimar; Comment: CMOS OSC/G, mlim=20.9, moon 81% dist 57 deg |
| 2026 08 08.95 | Z 15.3 BG 27.9L 2B760 | 0.5 | 1.9 m150 | LEH02I | C 0.5 | mZCP IMX AIR 5 1.2s 1.2 Location: Weimar; Comment: CMOS OSC/G, mlim=21.4 |
| 2026 09 01.99 | Z 15.1 BG 27.9L 2C120 | 0.7 | 2.0 m140 | FRI02I | C 0.7 | mTSC IMX AIR 5 1.3s 1.3 Location: Koeditz; Comment: CMOS OSC/G, mlim=21.2, moon 75% dist 73 deg |
| 2026 09 07.99 | Z 15.2 BG 27.9L 2a840 | 0.5 | 1.9 m134 | LEH02I | C 0.5 | mZCP IMX AIR 5 1.2s 1.2 Location: Weimar; Comment: CMOS OSC/G, mlim=20.3 |
| 2026 09 09.89 | V 14.7 HS 50.8 5 a20 | 0.4 7 | 0.02 | KUT | 6.2 | |
| 2026 09 14.88 | Z 14.8 BG 03.5R 4E190 | 1.5 | | PIL01I | C 1.5 | mDW3 IM6 AIR 5 2.8s 2.8 Location: Leipzig; Comment: CMOS OSC/G |
| 2026 09 15.92 | Z 15.0 BG 27.9L 2B160 | 0.7 | 2.1 m130 | LEH02I | C 0.7 | mZCP IMX AIR 5 1.2s 1.2 Location: Weimar; Comment: CMOS OSC/G, mlim=20.9 |
| 2026 09 15.98 | V 14.6 HS 50.8L 5 a20 | 0.6 6 | 0.034 | KUT | 6.0 | |
| 2026 09 17.08 | V 15.4 AV 5.0R 5B460 | 0.48 | 0.4m135 ICQ XX | MEY I | C 0.4 | 8mS50 IM2 TYT 0 U9*0.06 15.5 2.4s 2.4 |
| 2026 09 18.90 | V 14.9 AV 5.0R 5B530 | 0.6 | 0.6m132 ICQ XX | MEY I | C 0.5 | 9mS50 IM2 TYT 0 U9*0.08 14.8 2.4s 2.4 |
| 2026 09 18.95 | Z 15.0 BG 27.9L 2C360 | 0.7 | 2.2 m130 | FRI02I | C 0.7 | mTSC IMX AIR 5 1.3s 1.3 Location: Koeditz; Comment: CMOS OSC/G, mlim=21.5 |
| 2026 09 20.94 | V 14.7 AV 5.0R 5B480 | 0.32 | 0.3m129 ICQ XX | MEY I | C 0.3 | 2mS50 IM2 TYT 0 U9*0.17 14.7 2.4s 2.4 |
| 2026 09 22.87 | Z 15.1 BG 27.9L 2B880 | 0.6 | 2.5 m126 | LEH02I | C 0.6 | mZCP IMX AIR 5 1.2s 1.2 Location: Weimar; Comment: CMOS OSC/G, mlim=21.0, moon 85% dist 68 deg |
| 2026 09 22.94 | Z 15.0 BG 27.9L 2C360 | 0.7 | 1.6 m128 | FRI02I | C 0.7 | mTSC IMX AIR 5 1.3s 1.3 Location: Koeditz; Comment: CMOS OSC/G, mlim=21.2, moon 85% dist 67 deg |
| 2026 09 22.96 | V 15.0 AV 5.0R 5B310 | 0.47 | ICQ XX | MEY I | C 0.4 | 7mS50 IM2 TYT 0 U9*0.06 14.8 2.4s 2.4 |
| 2026 09 25.85 | Z 14.9 BG 03.5R 4D950 | 0.9 | | PIL01I | C 0.9 | mDW3 IM6 AIR 5 2.8s 2.8 Location: Leipzig; Comment: CMOS OSC/G, moon 99% dist 66 deg |
| 2026 09 25.94 | V 15.3 AV 5.0R 5B310 | 0.48 | 0.5m121 ICQ XX | MEY I | C 0.4 | 8mS50 IM2 TYT 0 U9*0.15 15.3 2.4s 2.4 |
| 2026 09 29.82 | Z 14.9 BG 27.9L 2D080 | 0.9 | 1.7 m126 | FRI02I | C 0.9 | mTSC IMX AIR 5 1.3s 1.3 Location: Koeditz; Comment: CMOS OSC/G, mlim=20.6, moon 88% dist 82 deg |
| 2026 09 30.89 | Z 14.9 BG 27.9L 2C360 | 0.8 | 1.9 m124 | FRI02I | C 0.8 | mTSC IMX AIR 5 1.3s 1.3 Location: Koeditz; Comment: CMOS OSC/G, mlim=21.1, moon 79% dist 89 deg |
| 2026 10 03.09 | V 15.1 HS 50.8L 5 a20 | 0.5 7 | 0.016 | KUT | 5.5 | 51% Mond |
| 2026 10 05.92 | Z 15.0 BG 27.9L 2C000 | 0.7 | 1.3 m121 | FRI02I | C 0.7 | mTSC IMX AIR 5 1.3s 1.3 Location: Koeditz; Comment: CMOS OSC/G, mlim=21.4 |
| 2026 10 12.87 | Z 15.0 BG 27.9L 2D440 | 0.7 | 2.2 m119 | FRI02I | C 0.7 | mTSC IMX AIR 5 1.3s 1.3 Location: Koeditz; Comment: CMOS OSC/G, mlim=21.5 |
| 2026 10 12.89 | Z 14.9 BG 27.9L 2B400 | 0.7 | 0.05 119 | LEH02I | C 0.7 | mZCP IMX AIR 5 1.2s 1.2 Location: Weimar; Comment: CMOS OSC/G, mlim=21.1 |
| 2026 10 19.78 | Z 15.2 BG 03.5R 4C660 | 0.5 | | PIL01I | C 0.5 | mDW3 IM6 AIR 5 2.8s 2.8 Location: Leipzig; Comment: CMOS OSC/G, moon 61% dist 66 deg |
| 2026 10 27.92 | Z 15.0 BG 27.9L 2A440 | 0.7 | 1.4 m112 | FRI02I | C 0.7 | mTSC IMX AIR 5 1.3s 1.3 Location: Koeditz; Comment: CMOS OSC/G, mlim=19.7, moon 96% dist 91 deg |
| 2026 10 27.92 | Z 15.0 BG 27.9L 2A440 | 0.7 | 1.4 m112 | FRI02I | C 0.7 | mTSC IMX AIR 5 1.3s 1.3 Location: Koeditz; Comment: CMOS OSC/G, mlim=19.7, moon 96% dist 91 deg |



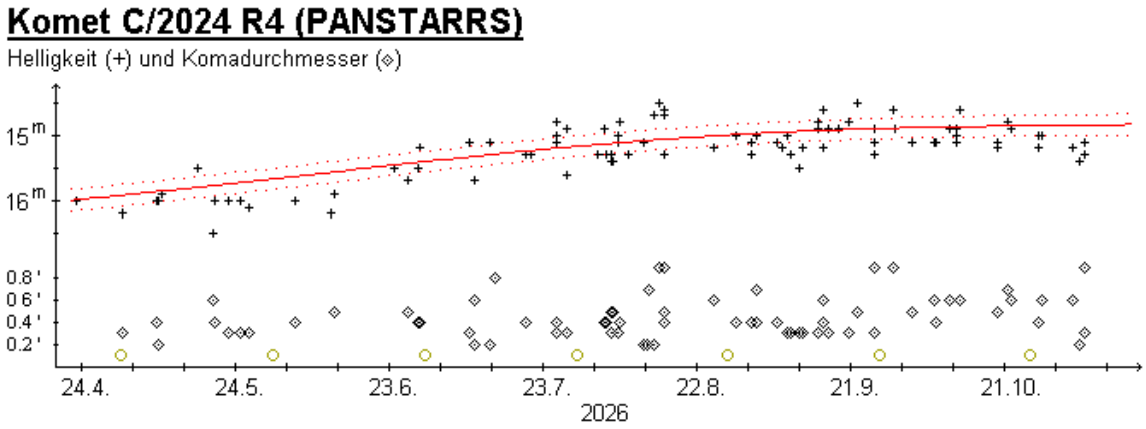
Komet **C/2024 R4 (PANSTARRS)** am 01. September 2026 um 23:18 - 00:13 UT, 26 x 2 Minuten belichtet, Gain 160, Touptek SkyEye 62AC, RASA 11, Steffen Fritsche



Komet **C/2024 R4 (PANSTARRS)** am 08. September 2026 um 19:00 UT, 7 x 90 Sekunden belichtet, 12" f=4 QHY 600, Michael Jäger und Gerald Rhemann

Der Komet **C/2024 R4 (PANSTARRS)** zeigte einen durchschnittlichen Helligkeitsverlauf, wie 93 (überwiegend per CCD gewonnene) Beobachtungen von 26 Beobachtern ausweisen. Die Helligkeits-

entwicklung kann gut mit der Formel m = 5,5$^m$ +5·log Δ + 8,0·log r dargestellt werden. Damit sollte der Komet Anfang März 2028 eine Maximalhelligkeit von 13,8$^m$ erreichen. Ende Oktober war er 14,8$^m$ hell und wies einen Durchmesser der mäßig verdichteten (DC 3-4) Koma von 0,7‘ (150.000 km) auf. Bislang zeigt der Komet lediglich einen Schweifansatz, dessen Orientierung sich 2026 von Süd nach OSO änderte. Im Winter 2026/27 bewegt sich der Komet durch das Sternbild Schwan. Damit ist er zunächst am Abendhimmel beobachtbar, wechselt aber Mitte Januar an den Morgenhimmel. Er wird sehr langsam heller; die Helligkeit sollte lediglich von 14,8$^m$ auf 14,6$^m$ ansteigen.




## Komet C/2024 T5 (ATLAS)

Ein etwa 19,0 mag helles, scheinbar asteroidales Objekt, das auf CCD-Bildern entdeckt wurde, die am 02.10.2024 mit einem 0,5-m f/2 Schmidt-Reflektor in Sutherland, Südafrika, im Rahmen des des Suchprogramms „Asteroid Terrestrial-Impact Last Alert System“ (ATLAS) entdeckt wurde, zeigte nach der Entdeckung kometare Eigenschaften. Siehe CBET 5472.

Bahnelemente:

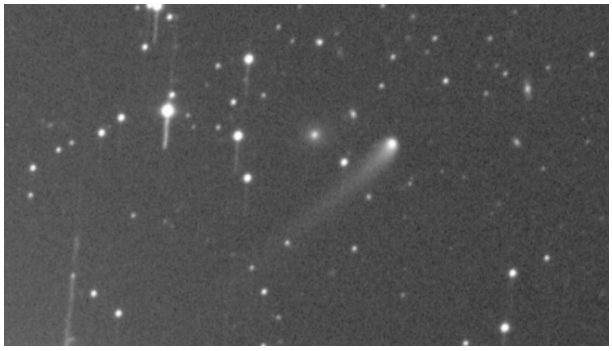
| T [UT] | ω [°] | Ω [°] | i [°] | q [AE] | e [AE] | P [a] | Epoche |
|---|---|---|---|---|---|---|---|
| 2027 05 6,3291 | 352,4887 | 100,6772 | 52,3876 | 3,8393 | 1,002301 | n/a | 12.11.2026 |

Fotos und Beobachtungen der FG Kometen:

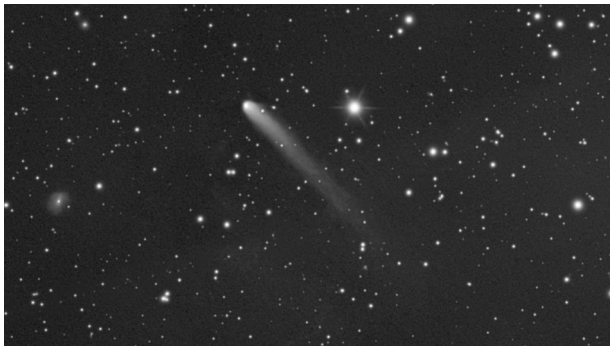
| Zeitpunkt | Details zur Aufnahme |
|---|---|
| 2026 August 14 18:34 UT | Planewave 20" CDK, FLI Proline 16803, 300s, Koma 25", Schweif 2,6‘ PA 225°, T 13,8 mag, Siding Spring, Australien, Remote, Michael Hauss |
| 2026 September 05 18:11 UT | Richey-Chrétien 12,5" f/9, Apogee Aspen Alta U16, 4x300s, Koma 24", Schweif 2,2‘ PA 229°, T 12,6 mag, Siding Spring, Australien, Remote, Michael Hauss |
| 2026 September 06 02:17-03:12 UT | 30cm RC+Fuji GFX 55x60s Amateursternwarte Schönebeck Uwe Wohlrab |
| 2026 September 15 03:05 UT | 10x2min, 16" f/2.5, ASI6200MM Roland Fichtl |
| 2026 September 17 18:11 UT | Richey-Chrétien 12,5" f/9, Apogee Aspen Alta U16, 4x300s, Koma 28", Schweif 2,7‘ PA 230°, T 13,1 mag, Siding Spring, Australien, Remote, Michael Hauss |
| 2026 September 18 02.25 UT | 25x80sec. 12"/3.3 QHY 600 13m7 coma 27” tail 10’ pa 228 Michael Jäger, Gerald Rhemann |
| 2026 September 23 02.43-03.41 UT | 15x4 min, Gain 160, Touptek SkyEye 62 AC, RASA 11, erstellt mit AIRTOOLS, Köditz centered on comet Steffen Fritsche |
| 2026 September 27 03.15 UT | (mid time), 108x30 s, C8, ZWO ASI 1600MM Pro, Rome-Italy-Fabrizio Montanucci |
| 2026 October 01 01.58-02.51 UT | 25x2 min, Gain 160, Touptek SkyEye 62 AC, RASA 11, erstellt mit AIRTOOLS, Köditz centered on comet Steffen Fritsche |
| 2026 October 09 11:23 UT | Planewave 17" CDK f/4,5, FLI-PL 6303E, 300s, Koma 30", Schweif 3‘ PA 234°, T 13,5 mag, T21, Utah, USA, Remote, Michael Hauss |
| 2026 October 13 02.50-03.34 UT | 8x4 min, Gain 160, Touptek SkyEye 62 AC, RASA 11, erstellt mit AIRTOOLS, Köditz centered on comet Steffen Fritsche |

Helligkeitsmeldungen der FG Kometen im ICQ-Format:

| Zeitpunkt YYYY MM DD.Dd | Beobachtungsdaten M[mm.m:rfAAA.ATF/xxxx | >dd.ddnDC | >t.tt GGG: | Beobachter | Mag | Bemerkungen |
|---|---|---|---|---|---|---|
| 2026 08 13.13 | Z 14.1 BG 10.6R 5a900 | 0.9 | 0.08 226 | LEH02I | C 0.9 | mMC3 IMX AIR 5 1.5s 1.5 Location: Hakos (remote); Comment: CMOS/G, mlim=20.1 |
| 2026 09 23.13 | Z 13.7 BG 27.9L 2C360 | 1.1 | 0.09 229 | FRI02I | C 1.1 | mTSC IMX AIR 5 1.3s 1.3 Location: Koeditz; Comment: CMOS OSC/G, mlim=21.1 |
| 2026 09 26.13 | V 13.9 AV 5.0R 5B300 | 0.6 | 0.7m237 ICQ XX | MEY I | C 0.5 | 9mS50 IM2 TYT 0 U9*0.07 13.9 2.4s 2.4 |
| 2026 10 01.10 | Z 13.7 BG 27.9L 2C000 | 1.1 | 0.09 231 | FRI02I | C 1.1 | mTSC IMX AIR 5 1.3s 1.3 Location: Koeditz; Comment: CMOS OSC/G, mlim=20.1, moon 77% dist 46 deg |
| 2026 10 13.10 | Z 13.6 BG 27.9L 2B040 | 1.0 | 0.09 235 | LEH02I | C 1.0 | mZCP IMX AIR 5 1.2s 1.2 Location: Weimar; Comment: CMOS OSC/G, mlim=20.4 |
| 2026 10 13.13 | Z 13.4 BG 27.9L 2A920 | 1.6 | 0.10 231 | FRI02I | C 1.6 | mTSC IMX AIR 5 1.3s 1.3 Location: Koeditz; Comment: CMOS OSC/G, mlim=20.8 |
| 2026 10 20.07 | Z 13.5 BG 03.5R 4E580 | 1.7 | | PIL01I | C 1.7 | mDW3 IM6 AIR 5 2.8s 2.8 Location: Leipzig; Comment: CMOS OSC/G |

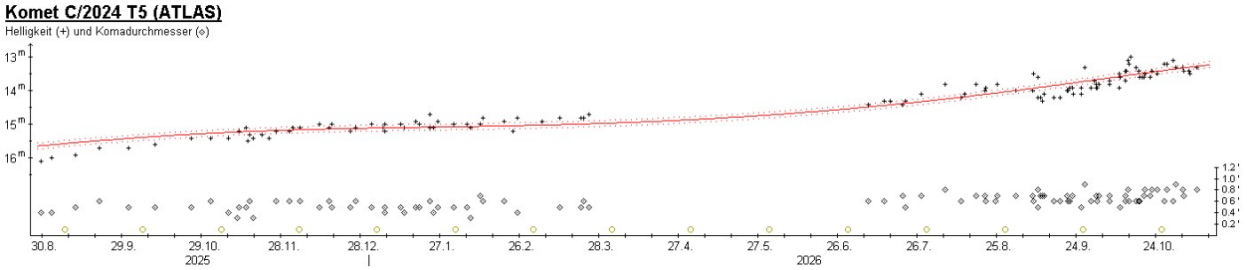


Komet **C/2024 T5 (ATLAS)** am 14. August 2026 um 18:34 UT, Planewave 20" CDK, FLI Proline 16803, 300 Sekunden belichtet, Siding Spring, Australien, Michael Hauss



Komet **C/2024 T5 (ATLAS)** am 18. September 2026 um 02:25 UT, 25 x 80 Sekunden belichtet, 12"/3,3 QHY 600, Michael Jäger und Gerald Rhemann

Eine weiterhin sehr stetige Entwicklung weist der Komet **C/2024 T5 (ATLAS)** auf, basierend auf 121 CCD-Beobachtungen von 25 Beobachtern. Die Helligkeitsentwicklung kann sehr gut mit den Parametern $m_0$=6,7$^m$ / n=2,5 dargestellt werden, was eine maximale Helligkeit von 13,0$^m$ zum Jahreswechsel 2026/27 bedeutet, und ein sekundäres Maximum von 13,5$^m$ zum Jahreswechsel 2027/28 ergibt. Anfang November wies der Komet eine Helligkeit von 13,2$^m$ auf. Während der scheinbare Durchmesser der bislang nur mäßig verdichteten (DC 3-4) Koma 2025/26 konstant bei 0,6‘ lag, stieg er in der zweiten Jahreshälfte 2026 von 0,7‘ auf 0,8‘ an. Damit wies die Koma 2025/26 einen konstanten absoluten Durchmesser von 125.000 km auf, während dieser in der zweiten Jahreshälfte 2026 von 150.000 km auf 125.000 km schrumpfte. Einen Schweifansatz konnten CCD-Beobachter von Beginn an feststellen. Seit Ende des Sommers 2026 stieg die Schweiflänge signifikant an und erreichte Anfang November eine Länge von knapp 6‘ (knapp 5 Mill. km). Der Schweif wies 2025/26 nach West, in der zweiten Jahreshälfte 2026 nach Südwest.




Der Komet bewegt sich im Winter 2026/27 nach Norden, vom Sternbild Hase durch den Eridanus bis zum Sternbild Orion. Er ist somit anfangs ein Objekt der ganzen Nacht, gegen Ende des Zeitraums des Abendhimmels. Die Helligkeit sollte ziemlich konstant 13,0$^m$ betragen. Am 1. Januar kreuzt die Erde die Kometenbahnebene.

## Komet C/2025 B2 (Borisov)

Gennady Borisov meldete die Entdeckung des 20,3 mag hellen Kometen auf Aufnahmen vom 20.01.2025 mit einem 0,5m f/1,9 Reflektor, dessen komentare Eigenschaften er auf einer lang belichteten Aufnahme des Folgetags nachweisen konnte. Siehe CBET 5501.

Bahnelemente:

| T [UT] | ω [°] | Ω [°] | i [°] | q [AE] | e [AE] | P [a] | Epoche |
|---|---|---|---|---|---|---|---|
| 2026 09 12,1108 | 78,8811 | 84,8749 | 91,7471 | 8,2388 | 1,002796 | n/a | 12.11.2026 |

Fotos und Beobachtungen der FG Kometen:

| Zeitpunkt | Details zur Aufnahme |
|---|---|
| 2026 August 07 06:01 UT | Planewave DeltaRho 500mm f/3,0, ZWO ASI 6200, 300s, T 18,0 mag, Utah, USA, Remote, Michael Hauss |
| 2026 September 11 20:50 UT | 10x3min, 16" f/2.5, ASI6200MM Roland Fichtl |

Auf den Aufnahmen der Fachgruppe zeigt der etwa 18 mag helle Komet einen Schweifansatz.

## Komet C/2025 M2 (PANSTARRS)

R. Weryk meldete die Entdeckung des etwa 20,6 mag hellen Kometen auf Aufnahmen vom 22.06.2025 mit dem Pan-STARRS2-Teleskop. Nachträglich identifizierte S. Deen den Kometen auf einer Aufnahme vom 29.05.2025 mit dem 4-m Reflektor am Cerro Tololo. Siehe CBET 5576.

Bahnelemente:

| T [UT] | ω [°] | Ω [°] | i [°] | q [AE] | e [AE] | P [a] | Epoche |
|---|---|---|---|---|---|---|---|
| 2027 11 23,5748 | 96,7583 | 305,5342 | 173,2154 | 2,7211 | 1,001685 | n/a | 12.11.2026 |

Fotos und Beobachtungen der FG Kometen:

| Zeitpunkt | Details zur Aufnahme |
|---|---|
| 2026 August 30 09:20 UT | Richey-Chrétien 12,5" f/9, Apogee Aspen Alta U16, 3x300s, T 16,4 mag, T33, Siding Spring, Australien, Remote, Michael Hauss |
| 2026 August 30 09:20 UT | Richey-Chrétien 12,5" f/9, Apogee Aspen Alta U16, 3x300s, T 16,4 mag, gif, T33, Siding Spring, Australien, Remote, Michael Hauss |

Helligkeitsmeldungen der FG Kometen im ICQ-Format:

| Zeitpunkt YYYY MM DD.Dd | Beobachtungsdaten M[mm.m:rfAAA.ATF/xxxx | >dd.ddnDC | >t.tt GGG: | Beobachter | Mag | Bemerkungen |
|---|---|---|---|---|---|---|
| 2026 08 06.87 | Z 16.4 BG 10.6R 5A080 | 0.5 | 0.3 m105 | LEH02I | C 0.5 | mMC3 IMX AIR 5 1.5s 1.5 Location: Hakos (remote); Comment: CMOS/G, mlim=20.3 |
| 2026 08 16.98 | Z 16.8 BG 10.6R 5A080 | 0.5 | 0.5 m 86 | LEH02I | C 0.5 | mMC3 IMX AIR 5 1.5s 1.5 Location: Hakos (remote); Comment: CMOS/G, mlim=19.9 |
| 2026 09 01.82 | Z 16.9 BG 10.6R 5a540 | 0.4 | | LEH02I | C 0.4 | mMC3 IMX AIR 5 1.5s 1.5 Location: Hakos (remote); Comment: CMOS/G, mlim=19.5 |
| 2026 09 03.84 | Z 16.2 GG 10.6R 5A260 | 0.5 | | LEH02I | C 0.5 | mMC3 IMX AIR 5 1.5s 1.5 Location: Hakos (remote); Comment: CMOS/R, mlim=19.1 |
| 2026 09 08.81 | Z 16.4 BG 27.9L 2B400 | 0.5 | | LEH02I | C 0.5 | mZCP IMX AIR 5 1.2s 1.2 Location: Weimar; Comment: CMOS OSC/G, mlim=19.4 |

Auf der Aufnahme von Michael Hauss zeigt der etwa 16,4 mag helle Komet eine kompakte Koma.

## Komet C/2025 R3 (PANSTARRS)

Yudish Ramanjooloo meldete die Entdeckung des 20 mag hellen Kometen auf Aufnahmen vom 08.09.2025 mit dem Pan-STARRS2-Teleskop. Siehe CBET 5607.

Bahnelemente:

| T [UT] | ω [°] | Ω [°] | i [°] | q [AE] | e [AE] | P [a] | Epoche |
|---|---|---|---|---|---|---|---|
| 2026 04 19,8898 | 162,2266 | 38,7021 | 124,7293 | 0,4986 | 1,000324 | n/a | 12.11.2026 |

Fotos und Beobachtungen der FG Kometen:

| Zeitpunkt | Details zur Aufnahme |
|---|---|
| 2026 September 17 17:52 UT | Richey-Chrétien 12,5" f/9, Apogee Aspen Alta U16, 300s, T 18,8 mag, Siding Spring, Australien, Remote, Michael Hauss |

Helligkeitsmeldungen der FG Kometen im ICQ-Format:

| Zeitpunkt YYYY MM DD.Dd | Beobachtungsdaten M[mm.m:rfAAA.ATF/xxxx | >dd.ddnDC | >t.tt GGG: | Beobachter | Mag | Bemerkungen |
|---|---|---|---|---|---|---|
| 2026 08 15.17 | Z 13.4 BG 10.6R 5A080 | 3.4 | 0.09 134 | LEH02I | C 3.4 | mMC3 IMX AIR 5 1.5s 1.5 Location: Hakos (remote); Comment: CMOS/G, mlim=19.3 |

Auf der Aufnahme von Michael Hauss erscheint der etwa 18,8 mag helle Komet diffus.

## Komet C/2025 V2 (Rankin)

David Rankin meldete die Entdeckung des 19,8 mag hellen Kometen auf Aufnahmen vom 02.11.2025 mit dem 1,5-m Reflektor am Mt. Lemmon. Nachträglich konnte der Komet auf diversen Aufnahmen bis zurück zum 29.11.2025 identifiziert werden. Siehe CBET 5639.

Bahnelemente:

| T [UT] | ω [°] | Ω [°] | i [°] | q [AE] | e [AE] | P [a] | Epoche |
|---|---|---|---|---|---|---|---|
| 2027 03 23,1094 | 102,8042 | 138,0877 | 37,3066 | 1,95 | 0,999804 | 1 Mio. | 12.11.2026 |

Fotos und Beobachtungen der FG Kometen liegen im Beobachtungszeitraum nicht vor.

Der Komet **C/2025 V2 (Rankin)** wird langsamer heller als erwartet. Anfang November wies er erst eine Helligkeit von $16{,}5^m$ auf. Damit wird er im März 2027 wohl nur eine Maximalhelligkeit um $14{,}5^m$ erreichen. Der Komet kann im Winter 2026/27 am Morgenhimmel aufgesucht werden. Er bewegt sich vom Sternbild Jungfrau bis in den Grenzbereich der Sternbilder Herkules/Schlangenträger. Seine Helligkeit sollte zwischen Mitte November 2026 und Mitte Februar 2027 von $16{,}5^m$ auf $14{,}5^m$ ansteigen. Die Erde kreuzt die Kometenbahnebene am 7. Februar.

# Komet C/2025 Y1 (ATLAS)

Das scheinbar asteriodale, etwa 18,7 mag helle Objekt wurde im Rahmen des ATLAS-Programms auf Aufnahmen mit dem 0,5m f/2 Schmidt Reflektor vom 26.12.2025 auf Hawaii entdeckt. Nachträglich identifizierte S. Deen den Kometen auf weiteren Aufnahmen bis zurück zum 01.05.2025. Am 12.01.2026 berichten M. Serra-Ricart et al. In Atel, dass sie auf einer Aufnahme vom 11.01.2026 einen schwachen Schweif nachweisen konnten. T. Prystavski (Ukraine) gelang der Nachweis eines 7“ langen Schweifs auf Aufnahmen am Rio Hurtado (Chile) vom 30. und 31.01.2026. Siehe Schweifstern 205 (als A/2025 Y1), CBET 5651, ATel#17593 und CBET 5671.

Bahnelemente:

| T [UT] | ω [°] | Ω [°] | i [°] | q [AE] | e [AE] | P [a] | Epoche |
|---|---|---|---|---|---|---|---|
| 2027 10 13,9726 | 124,2888 | 166,549 | 14,5559 | 2,6021 | 0,99983 | 1,9 Mio. | 12.11.2026 |

Helligkeitsmeldungen der FG Kometen im ICQ-Format:

| Zeitpunkt YYYY MM DD.Dd | Beobachtungsdaten M[mm.m:rfAAA.ATF/xxxx >dd.ddnDC >t.tt GGG: | Beobachter | Mag | Bemerkungen |
|---|---|---|---|---|
| 2026 08 03.75 | Z 16.4 BG 10.6R 5A440 0.5 | LEH02I | C 0.5 | mMC3 IMX AIR 5 1.5s 1.5 Location: Hakos (remote); Comment: CMOS/G, mlim=20.1 |
| 2026 08 04.75 | Z 16.4 BG 10.6R 5A260 0.5 | LEH02I | C 0.5 | mMC3 IMX AIR 5 1.5s 1.5 Location: Hakos (remote); Comment: CMOS/G, mlim=19.9 |
| 2026 08 13.75 | Z 16.3 BG 10.6R 5A260 0.5 | LEH02I | C 0.5 | mMC3 IMX AIR 5 1.5s 1.5 Location: Hakos (remote); Comment: CMOS/G, mlim=20.1 |

Aufnahmen des Kometen liegen im Berichtszeitraum nicht vor.

Der Komet **C/2025 Y1 (ATLAS)** erscheint Anfang Dezember wieder am Morgenhimmel. Der Komet kann in der Folge in geringer Höhe am Morgenhimmel aufgefunden werden. Er bewegt sich im Winter 2026/27 vom Sternbild Jungfrau bis in den Grenzbereich der Sternbilder Skorpion/Schlangenträger. Seine Helligkeit sollte von 15,5$^{m}$ auf 13,5$^{m}$ ansteigen.

# Komet C/2026 A2 (BOK)

Ein scheinbar asteroidales Objekt der Helligkeit 20,3 mag wurde am 15.01.2026 mit dem 2,25m Bok-Reflektor entdeckt. Bei Folgebeobachtungen zeigten sich kometare Eigenschaften. Siehe CBET 5672.

Bahnelemente:

| T [UT] | ω [°] | Ω [°] | i [°] | q [AE] | e [AE] | P [a] | Epoche |
|---|---|---|---|---|---|---|---|
| 2026 12 22,3547 | 155,9388 | 206,5873 | 82,3062 | 1,9378 | 0,997664 | 24000 | 12.11.2026 |

Fotos und Beobachtungen der FG Kometen:

| Zeitpunkt | Details zur Aufnahme |
|---|---|
| 2026 August 02 21:47 UT | 52x30 sec., RASA 8, ZWO ASI2600MC Pro, Roßtal Klemens Waldhör |
| 2026 August 02 23.06-00.23 UT | 37x2 min, Gain 160, Touptek SkyEye 62 AC, RASA 11, erstellt mit AIRTOOLS, M13, Köditz centered on comet Steffen Fritsche |
| 2026 August 05 20:59 UT | 9x30 sec., RASA 8, ZWO ASI2600MC Pro, Roßtal Klemens Waldhör |
| 2026 August 05 21.34 UT | (start), 80x30 s, C11, ZWO ASI 1600MM Pro, Rome-Italy-Fabrizio Montanucci |
| 2026 August 06 22.24-23.09 UT | 11x4 min, Gain 160, Touptek SkyEye 62 AC, RASA 11, erstellt mit AIRTOOLS, Köditz centered on comet Steffen Fritsche |
| 2026 August 06 23:40 UT | 25x2min, 16" f/2.5, ASI6200MM Roland Fichtl |
| 2026 August 07 23.52 UT | 28x30sec. 130mm Newton F3 QHY 290mm (39% Mond) Walter Kutschera |
| 2026 August 08 01.10 UT | 28x30sec. 130mm Newton F3 QHY 290mm Walter Kutschera |
| 2026 August 08 22.18-23.08 UT | 12x4 min, Gain 160, Touptek SkyEye 62 AC, RASA 11, erstellt mit AIRTOOLS, Köditz centered on comet Steffen Fritsche |
| 2026 August 11 20:41 UT | 19x30 sec., RASA 8, ZWO ASI2600MC Pro, Roßtal Klemens Waldhör |
| 2026 August 11 21.48 UT | 13x70sec. 16"/3.2 QHY 600 Michael Jäger und Gerald Rhemann |
| 2026 August 12 00.30 UT | 9x120 sec, 0.4-m f/3.8 Orion Optics AG16, SBIG STL6303E, B96 BRIXIIS observatory Kruibeke Belgium Erik Bryssinck |
| 2026 August 13 21:23 UT | 53x30 sec., Seestar S50, Seestar S50, Roßtal Klemens Waldhör |
| 2026 August 13 23.50 UT | 28x30sec. 130mm Newton F3 QHY290mm Walter Kutschera |
| 2026 August 19 20:58 UT | 29x30 sec., Seestar S50, ZWO ASI462MC / Seestar S50, Roßtal Klemens Waldhör |
| 2026 August 21 00.52-01.29 UT | 18x2 min, Gain 160, Touptek SkyEye 62 AC, RASA 11, erstellt mit AIRTOOLS, Köditz centered on comet Steffen Fritsche |
| 2026 August 22 22.50-23.48 UT | 14x4 min, Gain 160, Touptek SkyEye 62 AC, RASA 11, erstellt mit AIRTOOLS, Köditz centered on comet Steffen Fritsche |
| 2026 August 23 20:48 UT | 38x30 sec., Seestar S50, ZWO ASI462MC / Seestar S50, Roßtal Klemens Waldhör |
| 2026 August 23 22.21-23.15 UT | 26x2 min, Gain 160, Touptek SkyEye 62 AC, RASA 11, erstellt mit AIRTOOLS, Köditz centered on comet Steffen Fritsche |
| 2026 August 25 06:07 UT | Planewave 20" CDK f/4,5, FLI ProLine PL11002M, 4x300s, T 15,5 mag, T11, Utah, USA, Remote, Michael Hauss |
| 2026 September 01 20:35 UT | 16x3min, 16" f/2.5, ASI6200MC Roland Fichtl |
| 2026 September 01 22.19-22.59 UT | 19x2 min, Gain 160, Touptek SkyEye 62AC, RASA 11, erstellt mit AIRTOOLS, Köditz centered on comet Steffen Fritsche |
| 2026 September 04 19.46 UT | 26x2min, Hypergraph8, Canon Ra, 30% crop, St. Ulrich 500m, Austria centered on comet Helmut Dannbauer |
| 2026 September 04 19.50 UT | 18x5min, 10" f4.6, QHY268M, Ampflwang Thomas Schönpos |
| 2026 September 04 UT | C2026_A2_Bok_04_09_2026_QHY268M_250-1150_12x5min_Animation Thomas Schönpos |
| 2026 September 05 21.45 UT | 29x 30sec. 130mmNewton F3 QHY 290mm Walter Kutschera |
| 2026 September 08 19.25-20.19 UT | 13x4 min, Gain 160, Touptek SkyEye 62 AC, RASA 11, erstellt mit AIRTOOLS, Köditz centered on comet Steffen Fritsche |
| 2026 September 11 22:15 UT | 12x4min, 16" f/2.5, ASI6200MM Roland Fichtl |
| 2026 September 12 20.40 UT | (mid time), 105x30 s, C11, ZWO ASI 1600MM Pro, Rome-Italy-Fabrizio Montanucci |
| 2026 September 14 19.48 UT | 9x120 sec, 0.4-m f/3.8 Orion Optics AG16, SBIG STL6303E, B96 BRIXIIS observatory Kruibeke Belgium Erik Bryssinck |
| 2026 September 14 21.40 UT | 23x100sec. 12”/3.3 QHY 600 Michael Jäger, Gerald Rhemann |
| 2026 September 15 20.17 UT | (mid time), 140x30 s, C11, ZWO ASI 1600MM Pro, Rome-Italy-Fabrizio Montanucci |
| 2026 September 15 20.17 UT | (mid time), 10x30 s (each frame, animation, H264 codec), C8, ZWO ASI 1600MM Pro, Rome-Italy-Fabrizio Montanucci |
| 2026 September 15 20.33-21.06 UT | 8x4 min, Gain 160, Touptek SkyEye 62 AC, RASA 11, erstellt mit AIRTOOLS, Köditz centered on comet Steffen Fritsche |
| 2026 September 16 20.36 UT | (mid time), 136x30 s, C11, ZWO ASI 294MC Pro, Rome-Italy-Fabrizio Montanucci |

| Zeitpunkt | Details zur Aufnahme |
|---|---|
| 2026 September 16 20.36 UT | (mid time), 10x30 s (each frame, animation, H264 codec), C11, ZWO ASI 294MC Pro, Rome-Italy-Fabrizio Montanucci |
| 2026 September 18 20.17-21.15 UT | 14x4 min, Gain 160, Touptek SkyEye 62 AC, RASA 11, erstellt mit AIRTOOLS, Köditz centered on comet Steffen Fritsche |
| 2026 September 18 21.00 UT | 22x30 sec. 130mm Newton F3 QHY 290mm Walter Kutschera |
| 2026 September 19 21.56 UT | 21x120sec. 16"/3.2 QHY 600 Michael Jäger, Gerald Rhemann |
| 2026 September 20 22:07-23:32 UT | 30cm RC+Fuji XT30 85x1min Amateursternwarte Schönebeck Uwe Wohlrab |
| 2026 September 21 19.24 UT | 9x120 sec, 0.4-m f/3.8 Orion Optics AG16, SBIG STL6303E, B96 BRIXIIS Observatory Kruibeke Belgium Erik Bryssinck |
| 2026 September 22 18:43-22:11 UT | 30cm RC+Fuji GFX 96x2min Mond 85% Amateursternwarte Schönebeck Uwe Wohlrab |
| 2026 September 22 20.17-21.03 UT | 22x2 min, Gain 160, Touptek SkyEye 62 AC, RASA 11, erstellt mit AIRTOOLS, Köditz centered on comet Steffen Fritsche |
| 2026 September 22 20.17-21.03 UT | 22x2 min, Gain 160, Touptek SkyEye 62 AC, RASA 11, erstellt mit AIRTOOLS, NGC 6395, Köditz Steffen Fritsche |
| 2026 September 23 21:23 UT | 38x30 sec., Seestar S50, Seestar S50, Roßtal Klemens Waldhör |
| 2026 September 25 19:19 UT | 54x30 sec., Seestar S50, Seestar S50, Roßtal Klemens Waldhör |
| 2026 September 25 19.37-20.18 UT | 16x2 min, Gain 160, Touptek SkyEye 62 AC, RASA 11, erstellt mit AIRTOOLS, Köditz centered on comet Steffen Fritsche |
| 2026 September 25 23:25 UT | Askar91F 91/609mm F6.7: ASI662MM, Iseltwald, Schweiz, Remote, Martin Bill |
| 2026 September 26 20.26 UT | (mid time), 135x30 s, C8, ZWO ASI 1600MM Pro, Rome-Italy-Fabrizio Montanucci |
| 2026 September 26 20.26 UT | 10x30 s (each frame, animation, H264 codec), C11, ZWO ASI 1600MM Pro, Rome-Italy-Fabrizio Montanucci |
| 2026 September 26 20.26 UT | 10x30 s (each frame, animation, H264 codec), C8, ZWO ASI 1600MM Pro, Rome-Italy-Fabrizio Montanucci |
| 2026 September 27 19:04 UT | 23x30 sec., RASA 8, ZWO ASI2600MC Pro, Roßtal Klemens Waldhör |
| 2026 September 28 19.09-20.00 UT | 25x2 min, Gain 160, Touptek SkyEye 62 AC, RASA 11, erstellt mit AIRTOOLS, Köditz centered on comet Steffen Fritsche |
| 2026 September 28 20.47 UT | (mid time), 141x30 s, C11, ZWO ASI 1600MM Pro, Rome-Italy-Fabrizio Montanucci |
| 2026 September 30 18.48-19.49 UT | 15x4 min, Gain 160, Touptek SkyEye 62 AC, RASA 11, erstellt mit AIRTOOLS, Köditz centered on comet Steffen Fritsche |
| 2026 September 30 20:09 UT | 45x30 sec., Seestar S50, Seestar S50, Roßtal Klemens Waldhör |
| 2026 October 03 19:17 UT | 58x30 sec., Seestar S50, Seestar S50, Roßtal Klemens Waldhör |
| 2026 October 03 21.10 UT | 26x30sec. 130mm Newton F3 QHY 290mm Walter Kutschera |
| 2026 October 05 19.59 UT | 39x2 min, Hypergraph8, Canon Ra, 30% crop, St. Ulrich 500m, Austria centered on comet Helmut Dannbauer |
| 2026 October 05 20.37-21.34 UT | 27x2 min, Gain160, Touptek SkyEye 62 AC, RASA 11, erstellt mit AIRTOOLS, Köditz centered on comet Steffen Fritsche |
| 2026 October 06 19:35 UT | 162x15s, Canon EOS 600D + Samyang T/2.2 135mm @f/2.6, centered on comet, North is up. Miroslav Lošťák, Karlovy Vary, Czech Rep., SMPH |
| 2026 October 11 19:23 UT | 1x30 sec., Seestar S50, Seestar S50, Roßtal Klemens Waldhör |
| 2026 October 11 20:30 UT | 24x2min, 16" f/2.5, ASI6200MM Roland Fichtl |
| 2026 October 12 18.46-19.39 UT | 25x2 min, Gain 160, Touptek SkyEye 62 AC, RASA 11, erstellt mit AIRTOOLS, Köditz centered on comet Steffen Fritsche |
| 2026 October 12 19:04 UT | 1x30 sec., Seestar S50, Seestar S50, Roßtal Klemens Waldhör |
| 2026 October 12 20.23 UT | (mid time), 121x30 s, C11, ZWO ASI 1600MM Pro, Rome-Italy-Fabrizio Montanucci |
| 2026 October 12 20.23 UT | (mid time), 10x30 s (each frame, animation, H264 codec), C11, ZWO ASI 1600 MM Pro-Fabrizio Montanucci |
| 2026 October 13 19.13 UT | 11x120 sec, 0.4-m f/3.8 Orion Optics AG16, SBIG STL6303E, B96 BRIXIIS Observatory Kruibeke Belgium Erik Bryssinck |
| 2026 October 14 21.45 UT | 22x30sec. 13mm Newton F3 QHY 290mm Walter Kutschera |
| 2026 October 15 19.39-20.33 UT | 13x4 min, Gain 160, Touptek SkyEye 62 AC, RASA 11, erstellt mit AIRTOOLS, Köditz centered on comet Steffen Fritsche |
| 2026 October 15 20:09 UT | 1x30 sec., Seestar S50, Seestar S50, Roßtal Klemens Waldhör |
| 2026 October 16 19.11 UT | (mid time), 136x30 s, C11, ZWO ASI 1600MM Pro, Rome-Italy-Fabrizio Montanucci |
| 2026 October 16 19.11 UT | (mid time), 10x30 s (each frame, animation, H264 codec), C11, ZWO ASI 1600MM Pro, Rome-Italy-Fabrizio Montanucci |
| 2026 October 16 20:25-20:45 UT | 5x2 min, RASA 20 cm F 400 mm, ASI 2600 C Dídac Mesa Romeu, Comiols, Lleida |
| 2026 October 16 20:25-21:55 UT | 30x2 min, RASA 20 cm F 400 mm, ASI 2600 C Dídac Mesa Romeu, Comiols, Lleida |
| 2026 October 16 20:25-21:55 UT | 30x2 min, RASA 20 cm F 400 mm, ASI 2600 C Dídac Mesa Romeu, Comiols, Lleida |
| 2026 October 19 23.20 UT | 21" Dobson V 162x, Jeersdorf Christian Harder |
| 2026 October 22 18:29 UT | 34x30 sec., Seestar S50, Seestar S50, Roßtal Klemens Waldhör |
| 2026 October 24 20.46 UT | (mid time), 136x30 s, C11, ZWO ASI 1600MM Pro, Rome-Italy-Fabrizio Montanucci |
| 2026 October 27 20.47-21.31 UT | 16x2 min, Gain 160, Touptek SkyEye 62 AC, RASA 11, erstellt mit AIRTOOLS, Köditz centered on comet Steffen Fritsche |
| 2026 October 27 20.57 UT | (mid time), 135x30 s, C11, ZWO ASI 294MC Pro, Rome-Italy-Fabrizio Montanucci |
| 2026 October 27 20.57 UT | (mid time), 135x30 s (median filtering), C11, ZWO ASI 294MC Pro, Rome-Italy-Fabrizio Montanucci |
| 2026 October 27 21 UT | 90 Sek, 0,55 m Newton. ASI 2600 MM, Graz-Austria Gerhard Balda |
| 2026 October 28 19.30 UT | 20x 30sec. 130mm Newton F3 QHY 290mm (90% Mond) Walter Kutschera |
| 2026 October 29 17.07-18.20 UT | 32x2 min, Gain 160, Touptek SkyEye 62 AC, RASA 11, erstellt mit AIRTOOLS, Köditz centered on comet Steffen Fritsche |
| 2026 October 29 17.07-18.20 UT | 32x2 min, Gain 160, Touptek SkyEye 62 AC, RASA 11, erstellt mit AIRTOOLS, Köditz Steffen Fritsche |
| 2026 October 30 19:52-20:22 UT | 60x30,APO 150mm (f/7.3),Altair Hypercam A26M + IR-blocking filter,L30 Lohbach-Observatory T. Zilch |
| 2026 October 30 19.00 UT | 8" / 3.0 Newton Touptek 2600 MP , L 5x180 s. Crop. Norbert Mrozek |
| 2026 October 30 19.00 UT | 8" / 3.0 Newton Touptek 2600 MP , LRGB 900/360/360/360 s. Norbert Mrozek |
| 2026 October 31 UT | Obere Reihe: 30.10.2026 23:15 UT, 531x20 s, SLOAN r, Untere Reihe: 31.10.2026 02:43 UT, 177x20 s, SLOAN i, Newton-Reflektor 150/600 mm, QHY1253P, Wetter (Ruhr) Christian Wöhler |

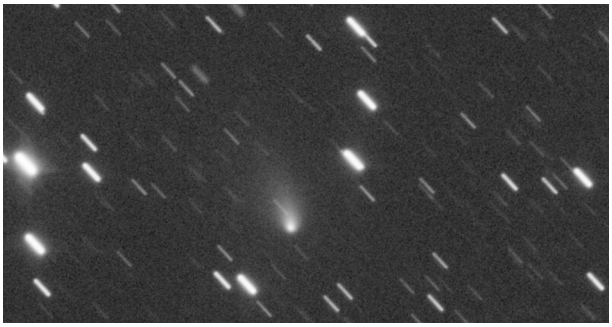
## Helligkeitsmeldungen der FG Kometen im ICQ-Format:

| Zeitpunkt | Beobachtungsdaten | | | | Bemerkungen |
|---|---|---|---|---|---|
| YYYY MM DD.Dd | M[mm.m:rfAAA.ATF/xxxx | >dd.ddnDC | >t.tt GGG: | Beobachter Mag | |
| 2026 08 02.91 | Z 15.7 BG 27.9L 2B760 | 0.6 | 1.1 m132 | LEH02I C 0.6 | mZCP IMX AIR 5 1.2s 1.2 Location: Weimar; Comment: CMOS OSC/G, mlim=21.1, moon 82% dist 93 deg |
| 2026 08 02.99 | Z 15.5 BG 27.9L 2D440 | 1.1 | 1.2 m137 | FRI02I C 1.1 | mTSC IMX AIR 5 1.3s 1.3 Location: Koeditz; Comment: CMOS OSC/G, mlim=21.0, moon 81% dist 93 deg |
| 2026 08 03.02 | V 16.0 AV 5.0R 5B690 | 0.6 | ICQ XX | MEY I C 0.5 | 9mS50 IM2 TYT 0 U9*0.14 16.1 2.4s 2.4 |
| 2026 08 05.91 | Z 15.8 BG 03.5R 4D170 | 1.6 | | PIL01I C 1.6 | mDW3 IM6 AIR 5 2.8s 2.8 Location: Leipzig; Comment: CMOS OSC/G, moon 52% dist 81 deg |
| 2026 08 06.95 | Z 15.1 BG 27.9L 2B640 | 1.6 | 1.7 m138 | FRI02I C 1.6 | mTSC IMX AIR 5 1.3s 1.3 Location: Koeditz; Comment: CMOS OSC/G, mlim=21.4, moon 40% dist 78 deg |
| 2026 08 06.99 | V 15.6 HS 50.8L 5 a20 | 0.5 8 | | KUT 6.4 | Kometenkern ist im 30 Zöller bei v400x deutlich visuell sichtbar |
| 2026 08 07.02 | V 15.8 AV 5.0R 5B510 | 0.47 | 0.4m119 ICQ XX | MEY I C 0.4 | 7mS50 IM2 TYT 0 U9*0.08 15.8 2.4s 2.4 |
| 2026 08 08.02 | V 16.0 AV 5.0R 5B710 | 0.47 | 0.3m122 ICQ XX | MEY I C 0.4 | 7mS50 IM2 TYT 0 U9*0.11 16.0 2.4s 2.4 |
| 2026 08 08.90 | Z 15.3 BG 27.9L 2B880 | 1.0 | 1.9 m132 | LEH02I C 1.0 | mZCP IMX AIR 5 1.2s 1.2 Location: Weimar; Comment: CMOS OSC/G, mlim=21.4 |
| 2026 08 08.95 | Z 15.2 BG 27.9L 2B880 | 1.3 | 2.1 m140 | FRI02I C 1.3 | mTSC IMX AIR 5 1.3s 1.3 Location: Koeditz; Comment: CMOS OSC/G, mlim=21.7 |
| 2026 08 09.02 | V 15.6 AV 5.0R 5B560 | 0.6 | 0.4m116 ICQ XX | MEY I C 0.6 | 3mS50 IM2 TYT 0 U9*0.10 15.6 2.4s 2.4 |
| 2026 08 10.02 | V 15.6 AV 5.0R 5B680 | 0.47 | 0.3m129 ICQ XX | MEY I C 0.4 | 7mS50 IM2 TYT 0 U9*0.08 15.6 2.4s 2.4 |
| 2026 08 13.08 | V 15.8 HS 50.8L 5 a20 | 0.5 7 | 0.015 | KUT 6.2 | |
| 2026 08 21.05 | Z 14.7 BG 27.9L 2B160 | 1.5 | 1.7 m120 | FRI02I C 1.5 | mTSC IMX AIR 5 1.3s 1.3 Location: Koeditz; Comment: CMOS OSC/G, mlim=21.3 |
| 2026 08 22.97 | Z 14.6 BG 27.9L 2C120 | 1.8 | 2.3 m124 | FRI02I C 1.8 | mTSC IMX AIR 5 1.3s 1.3 Location: Koeditz; Comment: CMOS OSC/G, mlim=21.6 |
| 2026 08 23.88 | V 15.1 AV 5.0R 5E270 | 0.48 | 0.6m113 ICQ XX | MEY I C 0.4 | 8mS50 IM2 TYT 0 U9*0.08 15.2 2.4s 2.4 |
| 2026 08 23.95 | Z 14.5 BG 27.9L 2C120 | 2.1 | 0.05 128 | FRI02I C 2.1 | mTSC IMX AIR 5 1.3s 1.3 Location: Koeditz; Comment: CMOS OSC/G, mlim=21.5, moon 83% dist 106 deg |
| 2026 09 01.94 | Z 14.2 BG 27.9L 2B280 | 1.9 | 2.1 m126 | FRI02I C 1.9 | mTSC IMX AIR 5 1.3s 1.3 Location: Koeditz; Comment: CMOS OSC/G, mlim=21.0, moon 76% dist |

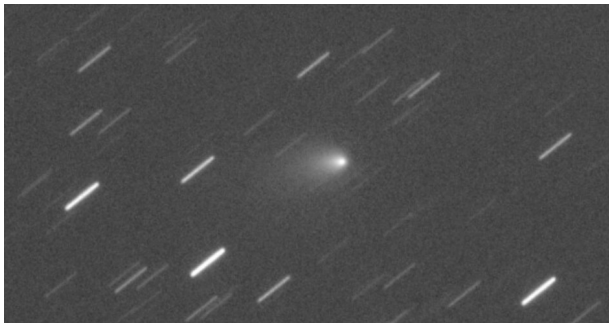
| | | | | | | | | | | |
|---|---|---|---|---|---|---|---|---|---|---|
| | | | | | | | | | | 84 deg |
| 2026 09 05.90 | V | 14.9 | AV | 5.0R | 5B560 | 0.47 | | 0.7m | 108 ICQ XX | MEY I C 0.4 7mS50 IM2 TYT 0 U9*0.08 14.8 2.4s 2.4 |
| 2026 09 05.99 | V | 14.7 | HS | 50.8L | 5 a20 | 0.3 | 4 | 0.011 | | KUT 6.4 |
| 2026 09 07.82 | Z | 14.4 | BG | 27.9L | 2B040 | 1.2 | | 2.3 | m109 | LEH02I C 1.2 mZCP IMX AIR 5 1.2s 1.2 Location: Weimar; Comment: CMOS OSC/G, mlim=21.0 |
| 2026 09 08.83 | Z | 13.8 | BG | 27.9L | 2C120 | 3.1 | | 0.05 | 122 | FRI02I C 3.1 mTSC IMX AIR 5 1.3s 1.3 Location: Koeditz; Comment: CMOS OSC/G, mlim=21.7 |
| 2026 09 10.91 | V | 14.6 | AV | 5.0R | 5B900 | 0.8 | | 0.6m | 100 ICQ XX | MEY I C 0.7 9mS50 IM2 TYT 0 U9*0.06 14.5 2.4s 2.4 |
| 2026 09 14.80 | Z | 14.1 | BG | 03.5R | 4B520 | 1.3 | | | | PIL01I C 1.3 mDW3 IM6 AIR 5 2.8s 2.8 Location: Leipzig; Comment: CMOS OSC/G |
| 2026 09 15.81 | Z | 13.6 | BG | 27.9L | 2B520 | 3.0 | | 0.06 | 114 | LEH02I C 3.0 mZCP IMX AIR 5 1.2s 1.2 Location: Weimar; Comment: CMOS OSC/G, mlim=21.2 |
| 2026 09 15.83 | V | 14.5 | AV | 5.0R | 5B450 | 0.7 | | 0.5m | 100 ICQ XX | MEY I C 0.7 1mS50 IM2 TYT 0 U9*0.08 14.4 2.4s 2.4 |
| 2026 09 15.87 | Z | 13.5 | BG | 27.9L | 2A920 | 3.2 | | 0.05 | 119 | FRI02I C 3.2 mTSC IMX AIR 5 1.3s 1.3 Location: Koeditz; Comment: CMOS OSC/G, mlim=21.4 |
| 2026 09 16.83 | V | 14.3 | AV | 5.0R | 5B440 | 0.7 | | 0.7m | 101 ICQ XX | MEY I C 0.7 1mS50 IM2 TYT 0 U9*0.05 14.4 2.4s 2.4 |
| 2026 09 18.86 | Z | 13.6 | BG | 27.9L | 2C360 | 2.3 | | 0.06 | 110 | FRI02I C 2.3 mTSC IMX AIR 5 1.3s 1.3 Location: Koeditz; Comment: CMOS OSC/G, mlim=21.8 |
| 2026 09 18.86 | V | 14.3 | AV | 5.0R | 5A810 | 0.6 | | 0.5m | 102 ICQ XX | MEY I C 0.6 3mS50 IM2 TYT 0 U9*0.07 14.2 2.4s 2.4 |
| 2026 09 18.96 | V | 13.9 | HS | 50.8L | 5 a10 | 0.7 | 6 | 0.018 | | KUT 5.8 Kometen ist im 20zöller visuell sichtbar |
| 2026 09 20.86 | V | 14.4 | AV | 5.0R | 5B550 | 0.7 | | 0.8m | 95 ICQ XX | MEY I C 0.7 1mS50 IM2 TYT 0 U9*0.09 14.7 2.4s 2.4 |
| 2026 09 20.89 | Z | 13.8 | BG | 03.5R | 4C720 | 1.6 | | | | PIL01I C 1.6 mDW3 IM6 AIR 5 2.8s 2.8 Location: Leipzig; Comment: CMOS OSC/G, moon 69% dist 99 deg |
| 2026 09 22.81 | Z | 13.5 | BG | 27.9L | 2B040 | 2.4 | | 0.05 | 107 | LEH02I C 2.4 mZCP IMX AIR 5 1.2s 1.2 Location: Weimar; Comment: CMOS OSC/G, mlim=21.1, moon 84% dist 96 deg |
| 2026 09 22.86 | Z | 13.3 | BG | 27.9L | 2B640 | 3.1 | | 0.05 | 97 | FRI02I C 3.1 mTSC IMX AIR 5 1.3s 1.3 Location: Koeditz; Comment: CMOS OSC/G, mlim=21.4, moon 85% dist 96 deg |
| 2026 09 22.88 | V | 14.1 | AV | 5.0R | 5B430 | 0.9 | | 0.7m | 94 ICQ XX | MEY I C 0.8 7mS50 IM2 TYT 0 U9*0.04 13.9 2.4s 2.4 |
| 2026 09 25.83 | Z | 13.3 | BG | 27.9L | 2A920 | 2.8 | | 0.04 | 104 | FRI02I C 2.8 mTSC IMX AIR 5 1.3s 1.3 Location: Koeditz; Comment: CMOS OSC/G, mlim=20.6, moon 99% dist 90 deg |
| 2026 09 25.86 | V | 14.1 | AV | 5.0R | 5B520 | 0.6 | | 1.2m | 90 ICQ XX | MEY I C 0.6 3mS50 IM2 TYT 0 U9*0.03 14.0 2.4s 2.4 |
| 2026 09 28.82 | Z | 13.0 | BG | 27.9L | 2C000 | 3.6 | | 0.05 | 113 | FRI02I C 3.6 mTSC IMX AIR 5 1.3s 1.3 Location: Koeditz; Comment: CMOS OSC/G, mlim=21.0, moon 94% dist 84 deg |
| 2026 09 30.80 | Z | 12.8 | BG | 27.9L | 2C600 | 4.5 | | 0.07 | 106 | FRI02I C 4.5 mTSC IMX AIR 5 1.3s 1.3 Location: Koeditz; Comment: CMOS OSC/G, mlim=21.4, moon 80% dist 83 deg |
| 2026 09 30.81 | Z | 12.8 | BG | 27.9L | 2B040 | 4.4 | | 0.06 | 102 | LEH02I C 4.4 mZCP IMX AIR 5 1.2s 1.2 Location: Weimar; Comment: CMOS OSC/G, mlim=21.0, moon 80% dist 83 deg |
| 2026 10 03.97 | V | 13.5 | HS | 50.8L | 5 a20 | 0.6 | 7 | 0.019 | | KUT 6.0 |
| 2026 10 05.80 | Z | 12.9 | BG | 03.5R | 4C030 | 2.5 | | | | PIL01I C 2.5 mDW3 IM6 AIR 5 2.8s 2.8 Location: Leipzig; Comment: CMOS OSC/G |
| 2026 10 05.88 | Z | 12.8 | BG | 27.9L | 2C240 | 3.8 | | 0.06 | 99 | FRI02I C 3.8 mTSC IMX AIR 5 1.3s 1.3 Location: Koeditz; Comment: CMOS OSC/G, mlim=21.9 |
| 2026 10 12.77 | Z | 12.5 | BG | 27.9L | 2B280 | 3.9 | | 0.07 | 96 | LEH02I C 3.9 mZCP IMX AIR 5 1.2s 1.2 Location: Weimar; Comment: CMOS OSC/G, mlim=21.2 |
| 2026 10 12.80 | Z | 12.2 | BG | 27.9L | 2C000 | 7.7 | | 0.06 | 94 | FRI02I C 7.7 mTSC IMX AIR 5 1.3s 1.3 Location: Koeditz; Comment: CMOS OSC/G, mlim=21.6 |
| 2026 10 14.97 | S | 12.7 | HS | 50.8L | 5 120 | 0.7 | 7 | | | KUT 6.0 Sternartig mit Ansatz |
| 2026 10 15.84 | Z | 12.4 | BG | 27.9L | 2C120 | 4.1 | | 0.07 | 87 | FRI02I C 4.1 mTSC IMX AIR 5 1.3s 1.3 Location: Koeditz; Comment: CMOS OSC/G, mlim=20.8 |
| 2026 10 26.75 | Z | 12.6 | BG | 03.5R | 4E280 | 1.8 | | | | PIL01I C 1.8 mDW3 IM6 AIR 5 2.8s 2.8 Location: Leipzig; Comment: CMOS OSC/G, moon 100% dist 79 deg |
| 2026 10 27.88 | Z | 12.1 | BG | 27.9L | 2A920 | 4.8 | | 0.06 | 71 | FRI02I C 4.8 mTSC IMX AIR 5 1.3s 1.3 Location: Koeditz; Comment: CMOS OSC/G, mlim=20.7, moon 96% dist 83 deg |
| 2026 10 27.88 | Z | 12.1 | BG | 27.9L | 2A920 | 4.8 | | 0.06 | 71 | FRI02I C 4.8 mTSC IMX AIR 5 1.3s 1.3 Location: Koeditz; Comment: CMOS OSC/G, mlim=20.7, moon 96% dist 83 deg |
| 2026 10 28.90 | V | 12.4: | AV | 13.0L | 5 a30 | 0.6 | 4 | 0.024 | | KUT 5.5 90% Mond |
| 2026 10 29.74 | Z | 11.9 | BG | 27.9L | 2C840 | 5.4 | | 0.09 | 69 | FRI02I C 5.4 mTSC IMX AIR 5 1.3s 1.3 Location: Koeditz; Comment: CMOS OSC/G, mlim=21.5 |



Komet **C/2026 A2 (BOK)** am 06. August 2026 um 23:40 UT, 25 x 2 Minuten belichtet, 16" f/2,5, ASI6200MM, Roland Fichtl



Komet **C/2026 A2 (BOK)** am 04. September 2026 um 19:50 UT, 18 x 5 Minuten belichtet, 10" f4,6, QHY268M, Ampflwang, Thomas Schönpos

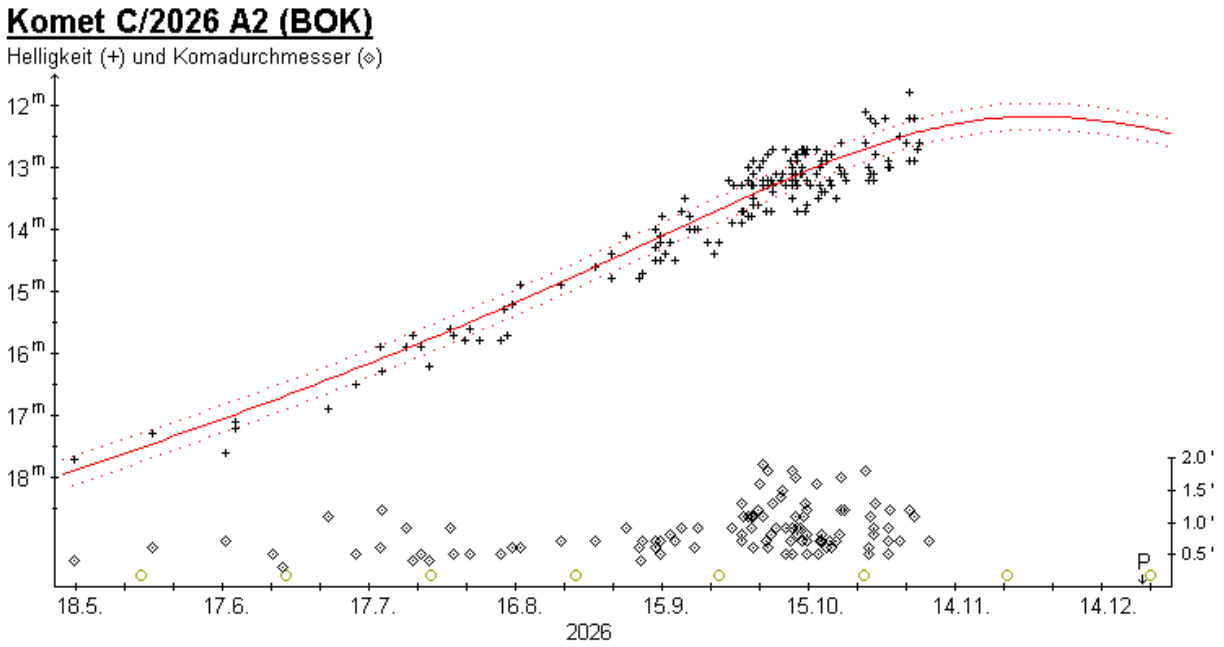


Komet **C/2026 A2 (BOK)** am 22. September 2026 um 20:17 - 21:03 UT, 22 x 2 Minuten belichtet, Gain 160, Touptek SkyEye 62 AC, RASA 11, Steffen Fritsche



Komet **C/2026 A2 (BOK)** am 24. Oktober um 20:46 UT, 136 x 30 Sekunden belichtet, C11, ZWO ASI 1600MM Pro, Rome-Italy, Fabrizio Montanucci

Der Komet **C/2026 A2 (BOK)** zeigt bislang eine überdurchschnittliche Aktivitätssteigerung, basierend auf 167 Beobachtungen von 37 Beobachtern. Die Helligkeitsentwicklung kann gut mit den Parametern $m_0$ = 5,3$^m$ / n = 8 dargestellt werden. Damit ergibt sich eine Maximalhelligkeit von 12,2$^m$ Anfang Dezember 2026. Anfang November war er 12,5$^m$ hell. Der Durchmesser der mäßig verdichteten (DC 4) Koma wuchs von 0,4‘ (50.000 km) zu Sichtbarkeitsbeginn bis Mitte Oktober auf 1,5‘ (120.000 km) an. CCD-Beobachter stellen seit Sichtbarkeitsbeginn einen kurzen Schweifansatz fest. Bis Anfang November hatte der Schweif eine Länge von 3‘ (600.000 km) erreicht. Über die gesamte Sichtbarkeit hinweg drehte der Schweif kontinuierlich von Südwest über Süd nach ONO.




Der Komet wird am 22. Dezember 2026 sein Perihel passieren. Im Winter 2026/27 kann er am Abendhimmel aufgesucht werden. Er bewegt sich vom Sternbild Schwan bis in den westlichen Teil des Sternbilds Fische. Seine Helligkeit sollte von 12,2$^m$ auf 13,5$^m$ zurückgehen.

## Komet C/2026 AZ17 (Bok)

Ein scheinbar asteroidales Objekt der Helligkeit 22 mag, das am 13.01.2026 mit dem BOK-Refektor (Kitt Peak) entdeckt wurde, zeigte kometare Eigenschaften. Siehe CBET 5701.

Bahnelemente:

| T [UT] | ω [°] | Ω [°] | i [°] | q [AE] | e [AE] | P [a] | Epoche |
|---|---|---|---|---|---|---|---|
| 2026 11 23,2080 | 146,9094 | 149,9734 | 36,234 | 2,4727 | 0,961996 | 524,8 | 12.11.2026 |

Fotos und Beobachtungen der FG Kometen:

| Zeitpunkt | Details zur Aufnahme |
|---|---|
| 2026 August 05 20:24 UT | 12x60 sec., RASA 8, ZWO ASI2600MC Pro, Roßtal Klemens Waldhör |
| 2026 August 06 21:55 UT | 15x2min, 16" f/2.5, ASI6200MM Roland Fichtl |
| 2026 August 06 22.03 UT | 9x120 sec, 0.4-m f/3.8 Orion Optics AG16, SBIG STL6303E, B96 BRIXIIS observatory Kruibeke Belgium Erik Bryssinck |
| 2026 August 07 06:09 UT | Planewave DeltaRho 500mm f/3,0, ZWO ASI 6200, 300s, T 17,1 mag, Utah, USA, Remote, Michael Hauss |

| Zeitpunkt | Details zur Aufnahme |
|---|---|
| 2026 August 08 20.09-21.06 UT | 27x2 min, Gain 160, Touptek SkyEye 62 AC, RASA 11, erstellt mit AIRTOOLS, Köditz centered on comet Steffen Fritsche |
| 2026 August 11 21.55 UT | 9x120 sec, 0.4-m f/3.8 Orion Optics AG16, SBIG STL6303E, B96 BRIXIIS observatory Kruibeke Belgium Erik Bryssinck |
| 2026 August 13 20.40 UT | 28x90sec. 16"/3.2 QHY 600 Michael Jäger, Gerald Rhemann |
| 2026 August 22 19.55-20.46 UT | 24x2 min, Gain 160, Touptek SkyEye 62 AC, RASA 11, erstellt mit AIRTOOLS, Köditz centered on comet Steffen Fritsche |
| 2026 September 01 19.16-20.11 UT | 26x2 min, Gain 160, Touptek SkyEye 62AC, RASA 11, erstellt mit AIRTOOLS, Köditz centered on comet Steffen Fritsche |
| 2026 September 14 18.44-19.31 UT | 22x2 min, Gain 160, Touptek SkyEye 62 AC, RASA 11, erstellt mit AIRTOOLS, Köditz centered on comet Steffen Fritsche |
| 2026 September 22 19.17-20.08 UT | 24x2 min, Gain 160, Touptek SkyEye 62 AC, RASA 11, erstellt mit AIRTOOLS, Köditz centered on comet Steffen Fritsche |
| 2026 October 07 18.00 UT | 18x100sec. 12" f=4 QHY 600 Michael Jäger, Gerald Rhemann |

Helligkeitsmeldungen der FG Kometen im ICQ-Format:

| Zeitpunkt YYYY MM DD.Dd | Beobachtungsdaten M[mm.m:rfAAA.ATF/xxxx | >dd.ddnDC | >t.tt GGG: | Beobachter | Mag | Bemerkungen |
|---|---|---|---|---|---|---|
| 2026 08 06.93 | Z 17.3 BG 27.9L 2C240 | 0.6 | | LEH02I | C 0.6 | mZCP IMX AIR 5 1.2s 1.2 Location: Weimar; Comment: CMOS OSC/G, mlim=20.9, moon 41% dist 134 deg |
| 2026 08 08.86 | Z 16.9 BG 27.9L 2C240 | 0.8 | 0.7 m160 | FRI02I | C 0.8 | mTSC IMX AIR 5 1.3s 1.3 Location: Koeditz; Comment: CMOS OSC/G, mlim=21.4 |
| 2026 08 22.85 | Z 17.1 BG 27.9L 2B880 | 0.7 | 0.4 m113 | FRI02I | C 0.7 | mTSC IMX AIR 5 1.3s 1.3 Location: Koeditz; Comment: CMOS OSC/G, mlim=21.1, moon 75% dist 47 deg |
| 2026 09 01.82 | Z 16.7 BG 27.9L 2C120 | 1.0 | 0.6 m117 | FRI02I | C 1.0 | mTSC IMX AIR 5 1.3s 1.3 Location: Koeditz; Comment: CMOS OSC/G, mlim=21.0, moon 77% dist 131 deg |
| 2026 09 07.84 | Z 16.9 BG 27.9L 2a840 | 0.5 | | LEH02I | C 0.5 | mZCP IMX AIR 5 1.2s 1.2 Location: Weimar; Comment: CMOS OSC/G, mlim=19.8 |
| 2026 09 14.80 | Z 16.8 BG 27.9L 2B640 | 0.8 | 0.5 m118 | FRI02I | C 0.8 | mTSC IMX AIR 5 1.3s 1.3 Location: Koeditz; Comment: CMOS OSC/G, mlim=21.4 |
| 2026 09 22.82 | Z 16.8 BG 27.9L 2B880 | 0.8 | 0.4 m 75 | FRI02I | C 0.8 | mTSC IMX AIR 5 1.3s 1.3 Location: Koeditz; Comment: CMOS OSC/G, mlim=22.3, moon 85% dist 62 deg |

Auf den Aufnahmen der Fachgruppe zeigt der etwa 17,0 mag helle Komet einen kurzen Schweif.

## Komet C/2026 B4 (SWAN) - Neuentdeckung

Ein bereits am 22. Januar 2026 von Hanjie Tan (China) in SWAN-Aufnahmen entdeckter, sonnennaher Komet konnte auf SWAN- und PUNCH-Aufnahmen zwischen dem 16. Januar und 14. Februar als Objekt der 10.-11. Größenklasse nachgewiesen werden. Der Komet **C/2026 B4 (SWAN)** passierte die Sonne am 28. Januar 2026 im Abstand von 0,32 AE, löste sich aber auf, bevor er mit erdgebundenen Teleskopen beobachtet werden konnte (CBET 5769). Die Entdeckung dieses Kometen wurde vom CBAT erst Anfang November gemeldet. Die absolute Helligkeit von $m_0$=13,0$^m$ (n=3) bzw. $m_0$=12,0$^m$ (n=2) liegt deutlich unter dem Bortle-Limit.

Bahnelemente:

| T [UT] | ω [°] | Ω [°] | i [°] | q [AE] | e [AE] | P [a] | Epoche |
|---|---|---|---|---|---|---|---|
| 2026 01 28,2109 | 89,8767 | 310,9492 | 80,6778 | 0,3153 | 0,99483 | 476,2 | 12.11.2026 |

Im Berichtszeitraum liegen keine Fotos oder Beobachtungen der Fachgruppe vor.

## Komet C/2026 C1 (Tsuchinshan)

Ein scheinbar asteroidales Objekt der Helligkeit 19,3 mag wurde am 11.02.2026 mit dem 1,04m Reflektor am Purple Mountain Observatory entdeckt. Das Objekt konnte nachträglich auf Aufnahmen bis zurück zum 22.12.2025 identifiziert werden. Bei Folgebeobachtungen zeigten sich kometare Eigenschaften. Siehe CBET 5673.

Bahnelemente:

| T [UT] | ω [°] | Ω [°] | i [°] | q [AE] | e [AE] | P [a] | Epoche |
|---|---|---|---|---|---|---|---|
| 2028 11 6,8583 | 310,7171 | 3,6216 | 99,5742 | 1,1522 | 1,000005 | n/a | 12.11.2026 |

Helligkeitsmeldungen der FG Kometen im ICQ-Format:

| Zeitpunkt YYYY MM DD.Dd | Beobachtungsdaten M[mm.m:rfAAA.ATF/xxxx | >dd.ddnDC | >t.tt GGG: | Beobachter | Mag | Bemerkungen |
|---|---|---|---|---|---|---|
| 2026 08 01.74 | Z 18.2 BG 10.6R 5A260 | 0.4 | | LEH02I | C 0.4 | mMC3 IMX AIR 5 1.5s 1.5 Location: Hakos (remote); Comment: CMOS/G, mlim=19.8 |
| 2026 08 14.75 | Z 17.9 BG 10.6R 5A260 | 0.4 | | LEH02I | C 0.4 | mMC3 IMX AIR 5 1.5s 1.5 Location: Hakos (remote); Comment: CMOS/G, mlim=19.3, moon 5% dist 14 deg |

Im Berichtszeitraum liegen keine Fotos der Fachgruppe vor.

## Komet C/2026 L1 (PANSTARRS)

R. Weryk meldete die Entdeckung des 20,0 mag hellen Kometen auf Aufnahmen mit dem Pan-STARRS1-Teleskop vom 08.06.2026. Nachträglich wurde der Komet auf weiteren Aufnahmen bis zurück zum 25.05.2026 identifiziert. Siehe CBET 5700.

Bahnelemente:

| T [UT] | ω [°] | Ω [°] | i [°] | q [AE] | e [AE] | P [a] | Epoche |
|---|---|---|---|---|---|---|---|
| 2027 04 11,4369 | 200,6042 | 130,5035 | 67,264 | 4,8789 | 0,993761 | 22000 | 12.11.2026 |

Fotos und Beobachtungen der FG Kometen:

| Zeitpunkt | Details zur Aufnahme |
|---|---|
| 2026 August 15 21.57 UT | 15x2min 16"/3.2 QHY 600 Michael Jäger, Gerald Rhemann |

Auf der Aufnahme von Michael Jäger und Gerald Rhemann erscheint der etwa 18,6 mag helle Komet praktisch sternförmig.

## Komet C/2026 M3 (MASTER)

Y. Kechin und V. Lipunov meldeten die Entdeckung eines 20,3 mag helles asteroidales Objekt auf Aufnahmen vom 19. und 26.06.2026 mit dem Twin MASTER 0,4m Teleskp (Mexiko). Kurz darauf konnten kometare Eigenschaften nachgewiesen werden. Siehe CBET 5717.

Bahnelemente:

| T [UT] | ω [°] | Ω [°] | i [°] | q [AE] | e [AE] | P [a] | Epoche |
|---|---|---|---|---|---|---|---|
| 2027 02 14,7707 | 51,1213 | 282,3731 | 93,9025 | 12,0528 | 1,00073 | n/a | 12.11.2026 |

Fotos und Beobachtungen der FG Kometen:

| Zeitpunkt | Details zur Aufnahme |
|---|---|
| 2026 August 06 22:55 UT | 10x3min, 16" f/2.5, ASI6200MM Roland Fichtl |

Auf der Aufnahme von Roland Fichtl erscheint der etwa 19,8 mag helle Komet praktisch sternförmig.

## Komet C/2026 M5 (PANSTARRS) - Neuentdeckung

R. Weryk meldete die Entdeckung des etwa 21 mag hellen Kometen auf Aufnahmen mit dem Pan-STARRS2-Teleskop vom 14.06.2026. Nachträglich wurde der Komet auf weiteren Aufnahmen bis zurück zum 18.09.2025 identifiziert. Siehe CBET 5720.

Bahnelemente:

| T [UT] | ω [°] | Ω [°] | i [°] | q [AE] | e [AE] | P [a] | Epoche |
|---|---|---|---|---|---|---|---|
| 2026 10 8,6550 | 144,2663 | 114,5009 | 147,4545 | 4,9837 | 0,936179 | 690,1 | 12.11.2026 |

Fotos und Beobachtungen der FG Kometen:

| Zeitpunkt | Details zur Aufnahme |
|---|---|
| 2026 August 12 22.50 UT | 15x100sec. 16"/3.2 QHY 600 Michael Jäger, Gerald Rhemann |

Auf der Aufnahme von Michael Jäger und Gerald Rhemann erscheint der etwa 20,1 mag helle Komet praktisch sternförmig.

## Komet C/2026 N1 (PANSTARRS) - Neuentdeckung

R. Weryk meldete die Entdeckung des etwa 20,8 mag hellen Kometen auf Aufnahmen mit dem Pan-STARRS1-Teleskop vom 14.07.2026. Nachträglich wurde der Komet auf weiteren Aufnahmen bis zurück zum 12.07.2026 identifiziert. Siehe CBET 5725.

Bahnelemente:

| T [UT] | ω [°] | Ω [°] | i [°] | q [AE] | e [AE] | P [a] | Epoche |
|---|---|---|---|---|---|---|---|
| 2028 01 30,7904 | 74,3162 | 265,6918 | 86,0717 | 5,2114 | 0,999392 | 0,8 Mio. | 12.11.2026 |

Fotos und Beobachtungen der FG Kometen:

| Zeitpunkt | Details zur Aufnahme |
|---|---|
| 2026 August 15 20.30 UT | UT, 34x120sec. 16"/3.2 QHY600 Michael Jäger, Gerald Rhemann |
| 2026 September 11 19:55 UT | 10x3min, 16" f/2.5, ASI6200MM Roland Fichtl |

Auf den Aufnahmen der Fachgruppe erscheint der etwa 20,0 mag helle Komet praktisch sternförmig.

## Komet P/2026 N2 - Neuentdeckung

Madeleine K. McLeod meldete am 17.07.2026 die Entdeckung des Kometen auf Aufnahmen vom 06.07.2026 im Rahmen des "Legacy Survey of Space and Time" (LSST) mit dem Simonyi Survey Teleskop am Vera Rubin Observatorium in Chile. R. Weryk entdeckte den Kometen unabhängig am 15.07.2026. Nachträglich wurde der Komet auf zahlreichen weiteren Aufnahmen sogar bis zurück zum 04.08.2021 identifiziert. Siehe CBET 5726.

Bahnelemente:

| T [UT] | ω [°] | Ω [°] | i [°] | q [AE] | e [AE] | P [a] | Epoche |
|---|---|---|---|---|---|---|---|
| 2026 09 25,7568 | 218,8605 | 96,3812 | 2,2496 | 2,4221 | 0,212153 | 5,39 | 12.11.2026 |

Im Berichtszeitraum liegen keine Beobachtungen und Fotos der Fachgruppe vor.

## Komet C/2026 O1 (PANSTARRS) - Neuentdeckung

Auf Aufnahmen vom 19. Juli 2026 entdeckte das PANSTARRS-Team einen Kometen der 20. Größenklasse im westlichen Teil des Sternbilds Walfisch. Komet **C/2026 O1 (PANSTARRS)** zeigte eine winzige Koma und die Andeutung eines Schweifs. Der Komet wird am 18. Juli 2027 sein Perihel in der Sonnendistanz von 1,50 AE passieren und könnte im Juni 2027 eine Maximalhelligkeit von 13,0$^m$ erreichen (CBET 5721). Heller als 16$^m$ wäre er zwischen Anfang April und Mitte Oktober 2027. In diesem Zeitraum steht er tief am Südhimmel und wandert vom Sternbild Kranich bis ins Sternbild Luftpumpe, und dann weiter durch Wasserschlange, Becher und Jungfrau. Von mitteleuropäischen Standorten aus kann er nicht beobachtet werden.

Bahnelemente:

| T [UT] | ω [°] | Ω [°] | i [°] | q [AE] | e [AE] | P [a] | Epoche |
|---|---|---|---|---|---|---|---|
| 2027 07 18,4180 | 304,422 | 177,9232 | 137,2519 | 1,4995 | 1,000811 | n/a | 12.11.2026 |

Fotos und Beobachtungen der FG Kometen:

| Zeitpunkt | Details zur Aufnahme |
|---|---|
| 2026 August 12 23.30 UT | 25x100sec. 16"/3.2 QHY 600 Michael Jäger, Gerald Rhemann |

Auf der Aufnahme von Michael Jäger und Gerald Rhemann erscheint der etwa 19,0 mag helle Komet praktisch sternförmig.

## Komet P/2026 P1 (PANSTARRS) - Neuentdeckung

R. Weryk meldete die Entdeckung des etwa 20,4 mag hellen Kometen auf Aufnahmen mit dem Pan-STARRS1-Teleskop vom 09.08.2026. Siehe CBET 5728.

Bahnelemente:

| T [UT] | ω [°] | Ω [°] | i [°] | q [AE] | e [AE] | P [a] | Epoche |
|---|---|---|---|---|---|---|---|
| 2026 11 26,8855 | 337,7679 | 19,4576 | 8,4746 | 3,6139 | 0,536394 | 21,76 | 12.11.2026 |

Fotos und Beobachtungen der FG Kometen:

| Zeitpunkt | Details zur Aufnahme |
|---|---|
| 2026 August 11 22.47 UT | UT, 37x120sec. 16"/3.2 QHY600 Michael Jäger, Gerald Rhemann |
| 2026 September 11 22:15 UT | 12x4min, 16" f/2.5, ASI6200MM Roland Fichtl |

Auf den Aufnahmen der Fachgruppe zeigt der etwa 19 mag helle Komet einen Schweifansatz.

## Komet C/2026 P2 (PANSTARRS) - Neuentdeckung

Am 11. August 2026 entdeckte das PANSTARRS-Team einen Kometen im Sternbild Walfisch. Das Team meldete ein 20,0$^m$ helles Objekt mit einer hochverdichteten, 2“ großen Koma und einem breiten, 25“ langen Schweif in PW=210-240°. Nachfolgebeobachtungen des Kometen **C/2026 P2 (PANSTARRS)** zeigten eine hochverdichtete, 10“ große Koma der Gesamthelligkeit 18,5$^m$ und einen 25“ langen Schweif in PW=204°. Der Komet wird sein Perihel in der Sonnendistanz von 2,48 AE am 21. November 2027 passieren und sollte dann 14,5$^m$ hell sein. Heller als 16$^m$ dürfte er zwischen Mitte Juni 2027 und Mitte Juni 2028 sein. In diesem Zeitraum bewegt er sich durch die Sternbilder Perseus, Giraffe, Kleiner Bär (Perihel),

Drache, Kleiner Bär, Drache und Großer Bär. Er kann somit von mitteleuropäischen Standorten aus während des gesamten Zeitraums gut verfolgt werden, wobei er zeitweise große Horizonthöhen aufweist.

Bahnelemente:

| T [UT] | ω [°] | Ω [°] | i [°] | q [AE] | e [AE] | P [a] | Epoche |
|---|---|---|---|---|---|---|---|
| 2027 11 21,7055 | 78,8837 | 23,4437 | 63,0187 | 2,4802 | 0,999773 | 1 Mio. | 12.11.2026 |

Fotos und Beobachtungen der FG Kometen:

| Zeitpunkt | Details zur Aufnahme |
|---|---|
| 2026 September 14 22:55 UT | 16x5min, 16" f/2.5, ASI6200MM Roland Fichtl |
| 2026 September 23 01.46-02.36 UT | 12x4 min, Gain 160, Touptek SkyEye 62 AC, RASA 11, erstellt mit AIRTOOLS, Köditz centered on comet Steffen Fritsche |
| 2026 October 06 00.11-01.05 UT | 13x4 min, Gain160, Touptek SkyEye 62 AC, RASA 11, erstellt mit AIRTOOLS, Köditz centered on comet Steffen Fritsche |
| 2026 October 07 23.00 UT | 22x120sec. 12" f=4 QHY 600 Michael Jäger, Gerald Rhemann |
| 2026 October 09 09:06 UT | Planewave 17" CDK f/4,5, FLI-PL 6303E, 300s, T 17,0 mag, T21, Utah, USA, Remote, Michael Hauss |
| 2026 October 27 08:53 UT | 58x30 sec., iTelescope 26, T26 ZWO6200MM, Utah, USA, Remote, Klemens Waldhör |
| 2026 October 29 07:43 UT | 39x30 sec., iTelescope 5, SBIG Universal, Utah, USA, Remote, Klemens Waldhör |

Helligkeitsmeldungen der FG Kometen im ICQ-Format:

| Zeitpunkt YYYY MM DD.Dd | Beobachtungsdaten M[mm.m:rfAAA.ATF/xxxx >dd.ddnDC >t.tt GGG: | Beobachter | Mag | Bemerkungen |
|---|---|---|---|---|
| 2026 09 23.09 | Z 17.9 BG 27.9L 2B880 0.5 | FRI02I | C 0.5 | mTSC IMX AIR 5 1.3s 1.3 Location: Koeditz; Comment: CMOS OSC/G, mlim=21.6 |
| 2026 10 06.02 | Z 17.5 BG 27.9L 2C120 0.5 0.3 m202 | FRI02I | C 0.5 | mTSC IMX AIR 5 1.3s 1.3 Location: Koeditz; Comment: CMOS OSC/G, mlim=21.5, moon 24% dist 114 deg |

Auf den Aufnahmen der Fachgruppe zeigt der etwa 18 mag helle Komet eine kompakte Koma.

## Komet C/2026 P3 (SWAN) - Neuentdeckung

Auf SWAN-Aufnahmen vom 22.-26. August 2026 entdeckte R.D. Matson einen möglichen neuen Kometen, nur 16° von der Sonne entfernt, der unabhängig auch von Hanjie Tan gemeldet wurde. Diese öffentlich verfügbaren H-Lyman-alpha-Aufnahmen besitzen allerdings nur eine Auflösung von 1°. In den folgenden Tagen wurde der Komet in weiteren SWAN-Aufnahmen sowie in Aufnahmen von STEREO und CCOR gefunden. Am 3. September gelangen Zhang Aufnahmen des Kometen mit einem speziell für sonnennahe Kometen konzipierten 152mm-Ritchey-Chretien-Teleskop von Cedar Breaks (USA) aus. Archivdaten des ATLAS-Projekts zeigten den Kometen am 21. Juli 18,5$^m$ und am 1. August 17,0$^m$ hell, mit einer sehr diffusen, etwa 40“ großen Koma. Der Komet **C/2026 P3 (SWAN)** passierte sein sonnennahes Perihel (in 0,32 AE Distanz) am 3. September 2026, wobei er eine Maximalhelligkeit von etwa 11,0$^m$ aufgewiesen haben sollte (CBET 5767). Nach dem 9. September wurden keine gesicherten Beobachtungen mehr bekannt, so dass er sich aufgelöst haben dürfte, was bei einer absoluten Helligkeit von etwa 15,0$^m$ auch nicht überraschend ist.

Bahnelemente:

| T [UT] | ω [°] | Ω [°] | i [°] | q [AE] | e [AE] | P [a] | Epoche |
|---|---|---|---|---|---|---|---|
| 2026 09 3,6997 | 72,8079 | 328,5874 | 108,9952 | 0,3246 | 0,99787 | 1880 | 12.11.2026 |

Im Berichtszeitraum liegen keine Fotos oder Beobachtungen der Fachgruppe vor.

## Komet C/2026 P4 (PANSTARRS) - Neuentdeckung

R. Weryk meldete die Entdeckung des 19,9 mag hellen Kometen auf Aufnahmen mit dem Pan-STARRS2-Teleskop vom 06.08.2026. Siehe CBET 5771.

Bahnelemente:

| T [UT] | ω [°] | Ω [°] | i [°] | q [AE] | e [AE] | P [a] | Epoche |
|---|---|---|---|---|---|---|---|
| 2026 06 11,0528 | 233,1587 | 210,1807 | 174,1417 | 3,0918 | 0,97714 | 1570 | 12.11.2026 |

Im Berichtszeitraum liegen keine Fotos oder Beobachtungen der Fachgruppe vor.

## Komet C/2026 Q1 (ATLAS) - Neuentdeckung

Das scheinbar asteriodale Objekt der Helligkeit 18,7 mag wurde am 19.08.2026 im Rahmen des ATLAS-Programms mit dem 0,5m f/2 Astrograph in Sutherland (Südafrika) entdeckt und zeigte bei weiteren Beobachtungen kometare Eigenschaften. Siehe CBET 5762.

Bahnelemente:

| T [UT] | ω [°] | Ω [°] | i [°] | q [AE] | e [AE] | P [a] | Epoche |
|---|---|---|---|---|---|---|---|
| 2026 07 17,0359 | 302,4735 | 273,0423 | 65,7681 | 2,1226 | 0,944299 | 235,2 | 12.11.2026 |

Im Berichtszeitraum liegen keine Fotos oder Beobachtungen der Fachgruppe vor.

## Komet P/2026 R1 (PANSTARRS) - Neuentdeckung

R. Weryk meldete die Entdeckung des etwa 20,6 mag hellen Kometen auf Aufnahmen mit dem Pan-STARRS1-Teleskop vom 14.07.2026. Siehe CBET 5740.

Bahnelemente:

| T [UT] | ω [°] | Ω [°] | i [°] | q [AE] | e [AE] | P [a] | Epoche |
|---|---|---|---|---|---|---|---|
| 2026 06 27,4177 | 237,6903 | 93,6418 | 27,2133 | 1,7969 | 0,426191 | 5,54 | 12.11.2026 |

Im Berichtszeitraum liegen keine Fotos oder Beobachtungen der Fachgruppe vor.

## Komet P/2026 R2 (Leonard) - Neuentdeckung

Gregory J. Leonard berichtet über seine Entdeckung des etwa 18,0 mag hellen Kometen C46K1R1 auf CCD-Bildern, die am 14.09.2026 mit dem 0,68-m-Reflektor im Rahmen des Catalina Sky Surveys aufgenommen wurden. Der Komet konnte nachträglich auf Aufnahmen bis zurück zum 01.09.2026 identifiziert werden. Erst etwa eine Woche später wurde die Bezeichnung P/2026 R2 für diesen Kometen vergeben. Siehe CBET 5753 und CBET 5754.

Bahnelemente:

| T [UT] | ω [°] | Ω [°] | i [°] | q [AE] | e [AE] | P [a] | Epoche |
|---|---|---|---|---|---|---|---|
| 2026 10 25,2368 | 205,5274 | 179,2308 | 78,0988 | 0,7895 | 0,898701 | 21,76 | 12.11.2026 |

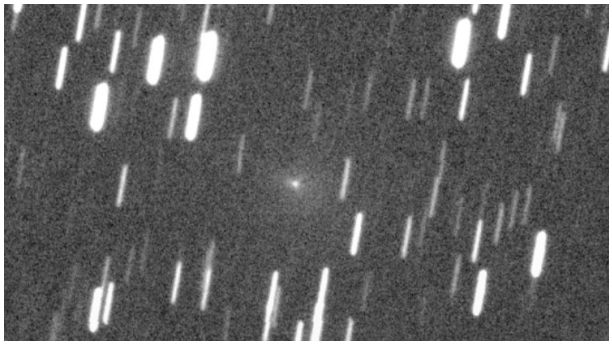
Fotos und Beobachtungen der FG Kometen:

| Zeitpunkt | Details zur Aufnahme |
|---|---|
| 2026 September 14 19.48 UT | 50x60 sec, 0.4-m f/3.8 Orion Optics AG16, SBIG STL6303E, B96 BRIXIIS Observatory Kruibeke Belgium Erik Bryssinck |
| 2026 September 14 20.08 UT | 14x80sec. 12"/f-3.3 QHY 600 Michael Jäger, Gerald Rhemann |
| 2026 September 15 19.04 UT | 20x90sec. 12"/f-3.3 QHY 600 Michael Jäger, Gerald Rhemann |
| 2026 September 18 18.48 UT | 12x80sec. 12"/f-3.3 QHY 600 Michael Jäger, Gerald Rhemann |
| 2026 September 19 20.57-21.32 UT | 48x30 s, Gain 160, Touptek SkyEye 62 AC, RASA 11, erstellt mit AIRTOOLS, Köditz centered on comet Steffen Fritsche |
| 2026 September 19 21.42 UT | 11x90sec. 16"/f-3.2 QHY 600 Michael Jäger, Gerald Rhemann |
| 2026 September 20 20.09 UT | (mid time), 72x30 s, C11, ZWO ASI 1600MM Pro, Rome-Italy Fabrizio Montanucci |
| 2026 September 20 20.44-21.20 UT | 60x30 s, Gain 160, Touptek SkyEye 62 AC, RASA 11, erstellt mit AIRTOOLS, Köditz centered on comet Steffen Fritsche |
| 2026 September 21 20.16 UT | 90x30 sec, 0.4-m f/3.8 Orion Optics AG16, SBIG STL6303E, B96 BRIXIIS Observatory Kruibeke Belgium Erik Bryssinck |
| 2026 September 22 18.30-19.05 UT | 60x30 s, Gain 160, Touptek SkyEye 62 AC, RASA 11, erstellt mit AIRTOOLS, Köditz centered on comet Steffen Fritsche |
| 2026 September 25 18.26-19.01 UT | 83x20 s, Gain 160, Touptek SkyEye 62 AC, RASA 11, erstellt mit AIRTOOLS, Köditz centered on comet Steffen Fritsche |
| 2026 September 28 18.39-19.00 UT | 50x20 s, Gain 160, Touptek SkyEye 62 AC, RASA 11, erstellt mit AIRTOOLS, Köditz centered on comet Steffen Fritsche |
| 2026 September 29 18.27-19.00 UT | 80x20 s, Gain 160, Touptek SkyEye 62 AC, RASA 11, erstellt mit AIRTOOLS, Köditz centered on comet Steffen Fritsche |
| 2026 September 29 18.27-19.00 UT | 80x20 s, Gain 160, Touptek SkyEye 62 AC, RASA 11, erstellt mit AIRTOOLS, Köditz Steffen Fritsche |
| 2026 September 30 18.10-18.46 UT | 87x20 s, Gain 160, Touptek SkyEye 62 AC, RASA 11, erstellt mit AIRTOOLS, Köditz centered on comet Steffen Fritsche |
| 2026 October 03 18:54 UT | 12x30 sec., RASA 8, ZWO ASI2600MC Pro, Roßtal Klemens Waldhör |
| 2026 October 03 18.16 UT | 20x1 min, Hypergraph8, Canon Ra, 20% crop, Fuchsenkogel 745m, Austria centered on comet Helmut Dannbauer |
| 2026 October 03 18.16 UT | 20x1 min, Hypergraph8, Canon Ra, 30% crop, Fuchsenkogel 745m, Austria centered on comet Helmut Dannbauer |
| 2026 October 05 17.59-18.31 UT | 77x20 s, Gain160, Touptek SkyEye 62 AC, RASA 11, erstellt mit AIRTOOLS, Köditz Steffen Fritsche |
| 2026 October 05 18.10 UT | 2x30min 16"/3.2 QHY 600 and 8" RASA/ASI 2600MC Michael Jäger, Gerald Rhemann |
| 2026 October 05 18.15 UT | 85x30 s, Hypergraph8, Canon Ra, 30% crop, St. Ulrich 500m, Austria centered on comet Helmut Dannbauer |
| 2026 October 05 19:20 UT | 19x30 sec., Seestar S50, Seestar S50, Roßtal (sehr schwach, lange benötigt um zu finden!) Klemens Waldhör |
| 2026 October 05 19:20 UT | 8x30 sec., RASA 8, ZWO ASI2600MC Pro, Roßtal Klemens Waldhör |
| 2026 October 05 19:26 UT | 24x30 sec., Seestar S50, Seestar S50, Roßtal Klemens Waldhör |
| 2026 October 06 17.50-18.29 UT | 95x15 s, Gain 160, Touptek SkyEye 62 AC, RASA 11, erstellt mit AIRTOOLS, Köditz centered on comet Steffen Fritsche |
| 2026 October 06 17.50-18.29 UT | 95x15 s, Gain 160, Touptek SkyEye 62 AC, RASA 11, erstellt mit AIRTOOLS, Köditz Steffen Fritsche |

Helligkeitsmeldungen der FG Kometen im ICQ-Format:

| Zeitpunkt<br>YYYY MM DD.Dd | Beobachtungsdaten<br>M[mm.m:rfAAA.ATF/xxxx >dd.ddnDC >t.tt GGG: | Beobachter | Mag | Bemerkungen |
|---|---|---|---|---|
| 2026 09 20.81 | Z 14.9 BG 03.5R 4E010 1.6 | PIL01I | C 1.6 | mDW3 IM6 AIR 5 2.8s 2.8 Location: Leipzig; Comment: CMOS OSC/G |
| 2026 09 22.78 | Z 12.9 BG 27.9L 2A800 5.4 1.1 m 66 | FRI02I | C 5.4 | mTSC IMX AIR 5 1.3s 1.3 Location: Koeditz; Comment: CMOS OSC/G, mlim=21.0 |
| 2026 09 22.81 | Z 14.9 BG 03.5R 4E580 1.2 | PIL01I | C 1.2 | mDW3 IM6 AIR 5 2.8s 2.8 Location: Leipzig; Comment: CMOS OSC/G |
| 2026 09 23.81 | Z 13.0 BG 27.9L 2D140 4.7 1.0 m 75 | LEH02I | C 4.7 | mZCP IMX AIR 5 1.2s 1.2 Location: Weimar; Comment: CMOS OSC/G, mlim=21.1 |
| 2026 09 25.78 | Z 12.8 BG 27.9L 2A660 5.7 0.7 m 60 | FRI02I | C 5.7 | mTSC IMX AIR 5 1.3s 1.3 Location: Koeditz; Comment: CMOS OSC/G, mlim=20.6 |
| 2026 09 27.77 | Z 12.7 BG 27.9L 2B760 5.4 2.1 m 68 | LEH02I | C 5.4 | mZCP IMX AIR 5 1.2s 1.2 Location: Weimar; Comment: CMOS OSC/G, mlim=20.6 |
| 2026 09 27.78 | Z 13.7 BG 03.5R 4B760 1.7 | PIL01I | C 1.7 | mDW3 IM6 AIR 5 2.8s 2.8 Location: Leipzig; Comment: CMOS OSC/G |
| 2026 09 28.77 | Z 12.3 BG 27.9L 2A000 5.5 | FRI02I | C 5.5 | mTSC IMX AIR 5 1.3s 1.3 Location: Koeditz; Comment: CMOS OSC/G, mlim=20.0 |

| | | | | | | | |
|---|---|---|---|---|---|---|---|
| 2026 09 28.78 | Z 12.2 BG 27.9L 2a980 | 6.9 | | | FRI02I | C 6.9 | mTSC IMX AIR 5 1.3s 1.3 Location: Koeditz; Comment: CMOS OSC/G, mlim=19.8 |
| 2026 09 28.85 | Z 12.4 BG 27.9L 2A120 | 4.1 | | | FRI02I | C 4.1 | mTSC IMX AIR 5 1.3s 1.3 Location: Koeditz; Comment: CMOS OSC/G, mlim=19.7 |
| 2026 09 29.78 | Z 11.8 BG 27.9L 2A600 | 7.4 | | | FRI02I | C 7.4 | mTSC IMX AIR 5 1.3s 1.3 Location: Koeditz; Comment: CMOS OSC/G, mlim=20.3 |
| 2026 09 30.77 | Z 11.7 BG 27.9L 2C330 | 8.3 | 0.05 | 70 | LEH02I | C 8.3 | mZCP IMX AIR 5 1.2s 1.2 Location: Weimar; Comment: CMOS OSC/G, mlim=20.9, moon 80% dist 126 deg |
| 2026 09 30.77 | Z 11.6 BG 27.9L 2A720 | 7.5 | 0.7 m | 67 | FRI02I | C 7.5 | mTSC IMX AIR 5 1.3s 1.3 Location: Koeditz; Comment: CMOS OSC/G, mlim=20.9, moon 80% dist 126 deg |
| 2026 10 05.75 | S 13.8 AV 44.0L5 250 | 0.9 4 | | ICQXXX | HAS02 | | |
| 2026 10 06.76 | Z 11.8 BG 27.9L 2A425 | 6.1 | 1.5 m | 77 | FRI02I | C 6.1 | mTSC IMX AIR 5 1.3s 1.3 Location: Koeditz; Comment: CMOS OSC/G, mlim=20.1 |

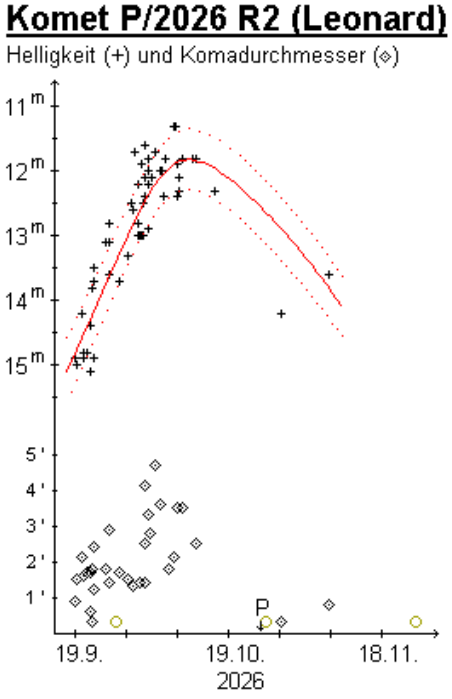


Komet **P/2026 R2 (Leonard)** am 14. September 2026 um 20:08 UT, 14 x 80 Sekunden belichtet, 12"/f-3,3 QHY 600, Michael Jäger und Gerald Rhemann



Komet **P/2026 R2 (Leonard)** am 05. Oktober 2026 um 18:10 UT, 2 x 30 Minuten belichtet 16"/3,2 QHY 600 und 8" RASA/ASI 2600MC, Michael Jäger und Gerald Rhemann

Gregory J. Leonard entdeckte auf Aufnahmen des Catalina Sky Survey vom 14. September 2026 einen Kometen der 18. Größenklasse im Sternbild Drache, der eine hochverdichtete, 4“ große innere und eine 10“ große äußere Koma aufwies. Werner Hasubick und E. Bryssinck stellten am gleichen Tag eine 70“ große Koma der Gesamthelligkeit von etwa 18,0$^m$ fest. Am 16. September fotografierte K. Yoshimoto eine 64“ große, sehr diffuse Koma der Gesamthelligkeit 15,7$^m$, während M. Masek eine 3,8‘ große Koma der Gesamthelligkeit 13,2$^m$ meldete. Michael Jäger und Gerald Rhemann ermittelten aus ihren Aufnahmen vom 15. September eine 3‘ große Koma der Gesamthelligkeit 14,9$^m$ und einen 100“ langen Schweif in PW=65°. Am 20. September stellte K. Yoshimoto eine sehr diffuse, 2‘ große Koma der Gesamthelligkeit 14,2$^m$ fest. Diese Meldungen zeigen, dass die Helligkeit aufgrund der extrem diffusen Koma schwer zu bestimmen ist. Der Komet **P/2026 R2 (Leonard)** ist aber ziemlich sicher während eines Ausbruchs entdeckt worden. Am 3. Oktober meldete K. Yoshimoto eine 3,3‘ große Koma der Gesamthelligkeit 12,0$^m$ und einen 1,0‘ langen Schweif in PW=70°. Weitere Beobachtungen bestätigten in etwa diese Angaben. Der Komet wird das Perihel seiner Bahn mit einer Umlaufszeit von 21,8 Jahren am 25. Oktober 2026 in der Sonnendistanz von 0,79 AE passieren. Bereits am 7. Oktober nähert er sich der Erde bis auf 0,32 AE. In diesen Tagen sollte er seine maximale Helligkeit erreichen, die aber mit etwa 11,5$^m$ nur sehr grob festgelegt werden kann (CBET 5753/54). Ob er sein Perihel erreichen wird, ist sehr unsicher, da es sich um einen sehr kleinen Kometen handelt. Bei angenommenen Helligkeitsparametern von $m_0$=14,5$^m$ / n=4 würde der Komet zwischen Mitte September und Ende November heller als 16$^m$ sein. In diesem Zeitraum läuft er durch die Sternbilder Drache, Nördliche Krone, Herkules, Schlangenträger (Erdnähe), Skorpion, Winkelmaß und Südliches Dreieck. Von mitteleuropäischen Standorten aus kann er bis um den 10. Oktober am Abendhimmel aufgefunden werden.




Auf der Basis von 63 Beobachtungen von 22 Beobachtern kann die Helligkeitsentwicklung grob mit den Parametern $m_0$ = 15,8$^m$ / n = 8 dargestellt werden. Damit ergibt sich eine Maximalhelligkeit von 11,8$^m$ am 11. Oktober. Aufgrund der großen Erdnähe erfolgte sowohl der Anstieg der scheinbaren Helligkeit bei der Annäherung als auch deren (bislang nicht gut dokumentierter) Rückgang nach der größten Erdnähe sehr rasch. Der scheinbare Durchmesser der mäßig verdichteten (DC 3-4) Koma stieg von 1‘ Anfang September auf den Maximalwert von 4‘ am 7. Oktober an. Bis Anfang November war dieser auf unter 1‘

zurückgegangen. Der absolute Durchmesser stieg lediglich von 35.000 km Mitte September auf den Maximalwert von 55.000 km um den 5. Oktober; Anfang November lag er bei etwa 30.000 km. Ein nach ONO gerichteter Schweif von maximal 3‘ (50.000 km) Länge wurde von CCD-Beobachtern in den ersten drei Wochen der Sichtbarkeit ausgemacht. Der Komet bewegt sich tief am Südhimmel und dürfte Ende November schwächer als $16^m$ werden.

## Komet P/2026 R3 (PANSTARRS) - Neuentdeckung

R. Weryk meldete die Entdeckung des 20,2 mag hellen Kometen auf Aufnahmen mit dem Pan-STARRS1-Teleskop vom 02.09.2026. Siehe CBET 5772.

Bahnelemente:

| T [UT] | ω [°] | Ω [°] | i [°] | q [AE] | e [AE] | P [a] | Epoche |
|---|---|---|---|---|---|---|---|
| 2026 05 24,0685 | 276,1849 | 356,549 | 17,593 | 2,4071 | 0,416735 | 8,38 | 12.11.2026 |

Im Berichtszeitraum liegen keine Fotos oder Beobachtungen der Fachgruppe vor.

## Komet C/2026 S1 (Euclid) - Neuentdeckung

Mikko S. Pöntinen (Helsinki) meldete die Entdeckung des etwa 20,6 mag hellen Kometen auf Aufnahmen vom 16.09.2026 mit dem 1,2m Korsch Teleskops auf der Euclid-Sonde der ESA. Unter anderem konnten Michael Jäger und Gerald Rhemann eine Koma des Kometen am 05.10.2026 nachweisen. Siehe CBE 5756.

Bahnelemente:

| T [UT] | ω [°] | Ω [°] | i [°] | q [AE] | e [AE] | P [a] | Epoche |
|---|---|---|---|---|---|---|---|
| 2027 09 13,2644 | 102,3849 | 304,1691 | 85,2283 | 8,7438 | 0,99636 | 120000 | 12.11.2026 |

Im Berichtszeitraum liegen keine Fotos oder Beobachtungen der Fachgruppe vor.

## Komet C/2026 S2 (ATLAS) - Neuentdeckung

Im Rahmen des ATLAS-Programms wurde ein zunächst asteroidales Objekt der Helligkeit 18,8 mag auf Aufnahmen vom 19.09.2026 entdeckt, das am 06.10.2026 von Michael Jäger als Komet identifiziert wurde. Siehe CBET 5757.

Bahnelemente:

| T [UT] | ω [°] | Ω [°] | i [°] | q [AE] | e [AE] | P [a] | Epoche |
|---|---|---|---|---|---|---|---|
| 2027 06 2,3375 | 304,1285 | 351,9764 | 158,463 | 4,3742 | 0,995849 | 34000 | 12.11.2026 |

Im Berichtszeitraum liegen keine Fotos oder Beobachtungen der Fachgruppe vor.

## Komet P/2026 T1 (ATLAS) - Neuentdeckung

Das scheinbar asteriodale Objekt der Helligkeit 14,2 mag wurde am 12.10.2026 im Rahmen des ATLAS-Programms mit dem 0,56m f/2,2 Astrograph am Teide Observatorium (Teneriffa) entdeckt und zeigte bei weiteren Beobachtungen kometare Eigenschaften. Siehe CBET 5761.

Bahnelemente:

| T [UT] | ω [°] | Ω [°] | i [°] | q [AE] | e [AE] | P [a] | Epoche |
|---|---|---|---|---|---|---|---|
| 2026 08 10,5517 | 70,2685 | 226,1661 | 16,7976 | 3,5145 | 0,324687 | 11,87 | 12.11.2026 |

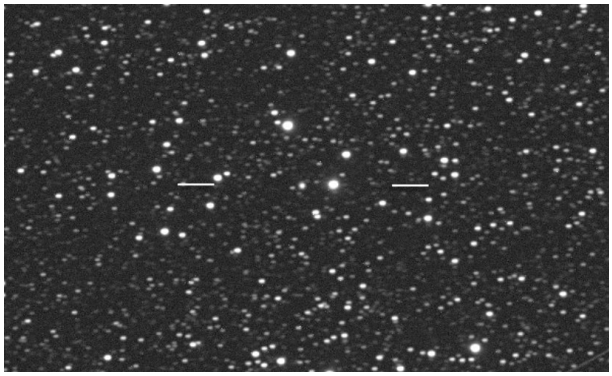
Fotos und Beobachtungen der FG Kometen:

| Zeitpunkt | Details zur Aufnahme |
|---|---|
| 2026 October 13 18.30 UT | 9x90sec. 12"/3.3 QHY600 Michael Jäger, Gerald Rhemann |
| 2026 October 14 17.48 UT | 10x15sec. 12" f=4 ASI 2600 MC green channel Michael Jäger, Gerald Rhemann |
| 2026 October 14 18.00 UT | 21" Dobson V 242x, Jeersdorf Christian Harder |
| 2026 October 14 19:50 UT | je 4x2min RGB, 16" f/2.5, ASI6200MM Roland Fichtl |
| 2026 October 15 18.31-19.26 UT | 21x2 min, Gain 160, Touptek SkyEye 62 AC, RASA 11, erstellt mit AIRTOOLS, Köditz centered on comet Steffen Fritsche |
| 2026 October 16 05.08 UT | 05:08 UT, Planewave 24“ CDK f/6,5, FLI 16200, Koma 15“, T 13,7 mag, 120s, 25° über Horizont, T24, California, USA, Michael Hauss |
| 2026 October 16 17.17 UT | 15x90sec. 12"/3.3 ASI 2600 MC green channel Michael Jäger, Gerald Rhemann |
| 2026 October 18 17.36 UT | 50x20sec. 16"/3.2 QHY 600 Michael Jäger, Gerald Rhemann |
| 2026 October 19 19.51 UT | (mid time), 111x30 s, C11, ZWO ASI 1600MM Pro, Rome-Italy-Fabrizio Montanucci |
| 2026 October 22 17.18 UT | 39x30sec. 12"/3.3 QHY 600 Michael Jäger, Gerald Rhemann |
| 2026 October 24 17.39-18.31 UT | 23x2 min, Gain 160, Touptek SkyEye 62 AC, RASA 11, erstellt mit AIRTOOLS, Köditz centered on comet Steffen Fritsche |
| 2026 October 24 17.48 UT | (mid time), 67x30 s, C11, ZWO ASI 1600MM Pro, Rome-Italy-Fabrizio Montanucci |

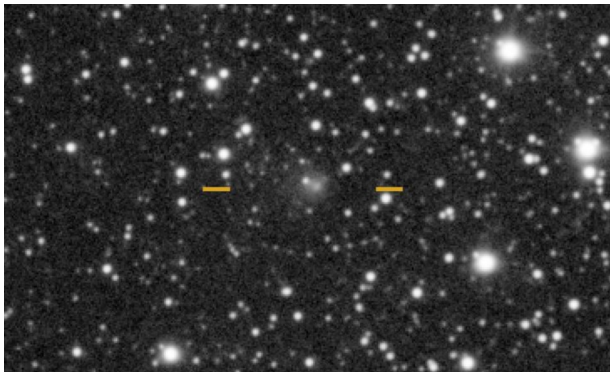
| Zeitpunkt | Details zur Aufnahme |
|---|---|
| 2026 October 27 17:30 UT | 8x90sec, 16" f/2.5, ASI6200MM Roland Fichtl |
| 2026 October 27 17.22-18.36 UT | 28x2 min, Gain 160, Touptek SkyEye 62 AC, RASA 11, erstellt mit AIRTOOLS, Köditz centered on comet Steffen Fritsche |
| 2026 October 28 18.50-19.38 UT | 17x2 min, Gain 160, Touptek SkyEye 62 AC, RASA 11, erstellt mit AIRTOOLS, Köditz centered on comet Steffen Fritsche |
| 2026 October 30 17:54-18:24 UT | 60x30,APO 150mm (f/7.3),Altair Hypercam A26M + IR-blocking filter,L30 Lohbach-Observatory T. Zilch |

Helligkeitsmeldungen der FG Kometen im ICQ-Format:

| Zeitpunkt YYYY MM DD.Dd | Beobachtungsdaten M[mm.m:rfAAA.ATF/xxxx >dd.ddnDC >t.tt GGG: | Beobachter | Mag | Bemerkungen |
|---|---|---|---|---|
| 2026 10 14.82 | Z 13.9 BG 03.5R 4A650 1.3 | PIL01I | C 1.3 | mDW3 IM6 AIR 5 2.8s 2.8 Location: Leipzig; Comment: CMOS OSC/G |
| 2026 10 14.83 | S 13.8 AQ 39.7L 4 271 0.12 6 | KAM01 | 5.2 | bei indirektem Sehen als schwaches, merklich verdichtetes Objekt zu erkennen, sicher aber erst bei 271x. |
| 2026 10 15.77 | Z 13.5 BG 03.5R 4A290 1.1 | PIL01I | C 1.1 | mDW3 IM6 AIR 5 2.8s 2.8 Location: Leipzig; Comment: CMOS OSC/G |
| 2026 10 15.77 | S 13.5 AQ 39.7L 4 271 0.30 5 | KAM01 | 5.2 | nur bei indirektem Sehen erkennbar; der Komet zeigte sich im Vergleich zur vorangegangenen Nacht größer und leicht diffuser. |
| 2026 10 15.79 | Z 14.2 BG 27.9L 2B520 0.8 | FRI02I | C 0.8 | mTSC IMX AIR 5 1.3s 1.3 Location: Koeditz; Comment: CMOS OSC/G, mlim=20.2 |
| 2026 10 24.75 | Z 14.6 BG 27.9L 2B760 1.1 | FRI02I | C 1.1 | mTSC IMX AIR 5 1.3s 1.3 Location: Koeditz; Comment: CMOS OSC/G, mlim=20.0, moon 97% dist 79 deg |
| 2026 10 27.75 | Z 14.4 BG 27.9L 2C360 1.3 | FRI02I | C 1.3 | mTSC IMX AIR 5 1.3s 1.3 Location: Koeditz; Comment: CMOS OSC/G, mlim=20.2, moon 97% dist 119 deg |
| 2026 10 27.75 | Z 14.4 BG 27.9L 2C360 1.3 | FRI02I | C 1.3 | mTSC IMX AIR 5 1.3s 1.3 Location: Koeditz; Comment: CMOS OSC/G, mlim=20.2, moon 97% dist 119 deg |
| 2026 10 28.80 | Z 14.7 BG 27.9L 2B040 1.1 | FRI02I | C 1.1 | mTSC IMX AIR 5 1.3s 1.3 Location: Koeditz; Comment: CMOS OSC/G, mlim=19.5, moon 91% dist 133 deg |

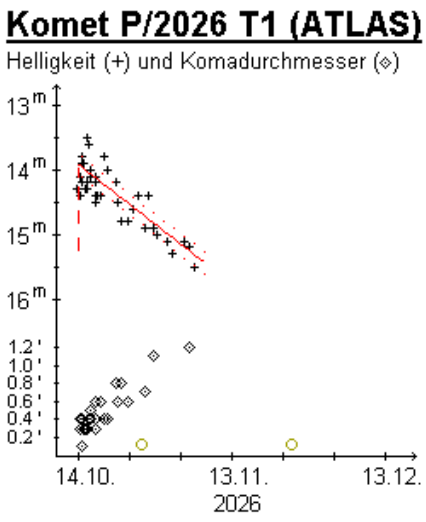


Komet **P/2026 T1 (ATLAS)** am 13. Oktober 2026 um 18:30 UT, 9 x 90 Sekunden belichtet, 12"/3,3 QHY600, Michael Jäger und Gerald Rhemann



Komet **P/2026 T1 (ATLAS)** am 27. Oktober 2026 um 17:30 UT, 8 x 90 Sekunden belichtet, 16" f/2,5, ASI6200MM, Roland Fichtl

Am 12. Oktober 2026 wurde ein asteroidales Objekt im Rahmen des Asteroid Terrestrial-Impact Last Alert System (ATLAS) im südöstlichen Bereich des Sternbilds Adler entdeckt. Das Objekt zeigte eine winzige Koma der Helligkeit 14,3$^m$, aber keinen Schweif. Auf Aufnahmen bis hin zum Okt. 10,8 UT konnte der Komet nicht nachgewiesen werden, musste somit schwächer als 20,0$^m$ gewesen sein. In den folgenden Tagen wurde der Komet von zahlreichen Beobachtern verfolgt, meist mittels CCD. Dabei wurde die Helligkeit zu 13,5-14,0$^m$ bestimmt. Die hochverdichtete Koma wies zunächst einen Durchmesser von nur wenigen Bogensekunden auf, dehnte sich in den folgenden Tagen sehr langsam aus, blieb aber in den ersten Wochen hochverdichtet. Der Komet **P/2026 T1 (ATLAS)** befindet sich somit in einem Ausbruch, womit seine weitere Entwicklung sehr unsicher ist. Mit großer Wahrscheinlichkeit wird seine Helligkeit langsam zurückgehen, während sich die Koma weiter ausdehnen und damit diffuser werden wird. Der periodische Komet mit einer Umlaufszeit von 11,8 Jahren passierte sein Perihel in der Sonnendistanz von 3,51 AE am 9. August 2026 (CBET 5761 / MPECs). Der Komet wird kurz vor Jahresende ins Sternbild Wassermann eintreten und im März 2027 den Grenzbereich der Sternbilder Pegasus/Fische erreichen. Von mitteleuropäischen Standorten aus kann er noch bis Anfang Januar 2027 am Abendhimmel beobachtet werden.




Auf der Basis von 38 Beobachtungen (überwiegend per CCD) von 14 Beobachtern ergibt sich ein zeitabhängiger Verlauf der Helligkeitsentwicklung, was typisch für einen Ausbruch ist. Die Helligkeitsentwicklung kann gut mit der Formel

$$m = 7{,}8^m + 5 \cdot \log \Delta + 0{,}053 \cdot |t\text{-}T|$$

dargestellt werden, womit sich eine Maximalhelligkeit von 13,8-14,0$^m$ am 14. Oktober ergibt. Der Komadurchmesser stieg von 0,1‘ (15.000 km) am 14. Oktober auf 1,2‘ (190.000 km) am 5. November an, wobei sich die Ausdehnung im Laufe der Zeit verlangsamte. Parallel hierzu wurde die Koma diffuser; der Kondensationsgrad ging bis zum 5. November von DC 9 auf DC 3 zurück. Ein Schweif wurde bislang nicht gemeldet.

Am **Abend des 14.10.26** konnte Andreas Kammerer den Kometen im 39,7L erst bei V=271x bei indirektem Sehen als schwaches, merklich verdichtetes Objekt erkennen. Am **15.10.** war der Komet im 39,7L erneut erst ab V=271x bei indirektem Sehen sicher erkennbar; der Komet zeigte sich im Vergleich zur vorangegangenen Nacht größer und leicht diffuser. Die weitere Entwicklung des Kometen ist unklar. Falls sich die skizzierte Entwicklung fortsetzt, wird er Mitte November schwächer als 16$^m$. Eventuell zeigt er aber einen weiteren Ausbruch. Im Winter 2026/27 wandert der Komet vom Sternbild Adler ins Sternbild Wassermann, ist somit ein Objekt am Abendhimmel.

## Komet P/2026 U1 (Gafton) - Neuentdeckung

Emanuel Gafton (Hawaii) meldete die Entdeckung des 17,3 mag hellen Kometen auf Aufnahmen vom 24.10.2026 im Rahmen des ATLAS-Programms mit dem 0,5m f/2 Astrograph auf Hawaii. Siehe CBET 5770.

Bahnelemente:

| T [UT] | ω [°] | Ω [°] | i [°] | q [AE] | e [AE] | P [a] | Epoche |
|---|---|---|---|---|---|---|---|
| 2027 08 1,9146 | 15,3058 | 221,4813 | 5,4789 | 1,872 | 0,473443 | 6,7 | 12.11.2026 |

Fotos und Beobachtungen der FG Kometen:

| Zeitpunkt | Details zur Aufnahme |
|---|---|
| 2026 October 26 03.10 UT | 45x30 and 20x35sec. 12" f=4 QHY 600 Michael Jäger, Gerald Rhemann |
| 2026 October 27 03.10 UT | 50x30sec. 12" f=4 QHY 600 Michael Jäger, Gerald Rhemann |

Auf den Aufnahmen von Michael Jäger und Gerald Rhemann zeigt der etwa 17,4 mag helle Komet einen Schweifansatz.

Auf Aufnahmen vom 24. Oktober 2026, die im Rahmen des ATLAS-Programms aufgenommen worden waren, entdeckte Emanuel Gafton bei einer genaueren Analyse, dass ein vom Programm im Grenzbereich der Sternbilder Sextant/Löwe gemeldetes Objekt tatsächlich ein Komet ist. Der Komet zeigte auf den Aufnahmen eine elliptische Koma (18x9“ mit der Längsachse in PW=280°) der Gesamthelligkeit 17,5$^m$. Michael Jäger meldete am 26./27. Oktober eine 10“ große Koma der Gesamthelligkeit 17,0$^m$ und einen 40“ langen Schweif in PW=300°. Der Komet **P/2026 U1 (Gafton)** wird das Perihel seiner Bahn mit einer Umlaufszeit von 6,7 Jahren am 01. August 2027 in der Sonnendistanz von 1,87 AE passieren und sollte dann die 13. Größenklasse aufweisen (s.o.). Heller als 16$^m$ sollte er zwischen Anfang Januar 2027 und Mitte Januar 2028 sein. In diesem Zeitraum bewegt er sich entlang der Ekliptik vom Grenzbereich der Sternbilder Löwe/Jungfrau bis zum Grenzbereich der Sternbilder Steinbock/Wassermann, wobei er sich während der Phase der größten Helligkeit in den Sternbildern Jungfrau und Waage aufhalten wird. Von mitteleuropäischen Standorten aus wird er zunächst am Morgenhimmel zu beobachten sein, im Februar zum Objekt der ganzen Nacht werden und im April am Abendhimmel stehen. Im Juni 2027 wird er dann Höhen von unter 10° über dem West- bzw. Südwesthorizont aufweisen. Die Erde wird sich Ende April / Anfang Mai 2027 nahe der Kometenbahnebene aufhalten.

.

# Teil 2: Periodische Kometen mit permanenter Nummer

## Komet 2P/Encke

Der Komet wurde am 17.01.1786 von P. F. A. Méchain (Paris) entdeckt. In 1822 unternahm J. F. Encke Berechnungen, die zeigten, dass die Kometen 1786 I, 1795 (entdeckt von Caroline Herschel am 07.11.1795), 1805 (entdeckt von J. L. Pons am 20.10.1805) und 1819 I (entdeckt von J. L. Pons am 26.11.1818) ein und dasselbe Objekt zeigten. Am 02.06.1822 konnte C. K. L. Rümker (Australien) den Kometen 2P/Encke auf Basis der Berechnungen von Encke wiederentdecken. Der Komet ist der Prototyp der Klasse der Encke-Typ-Kometen. Siehe Cometography Vol. 1 und 2.

Bahnelemente:

| T [UT] | ω [°] | Ω [°] | i [°] | q [AE] | e [AE] | P [a] | Epoche |
|---|---|---|---|---|---|---|---|
| 2027 02 10,2278 | 187,2879 | 334,0196 | 11,3479 | 0,338594 | 0,847326 | 3,3 | 12.11.2026 |

Fotos und Beobachtungen der FG Kometen:

| Zeitpunkt | Details zur Aufnahme |
|---|---|
| 2026 August 22 21.41 UT | 44x90sec. 16"/3.2 QHY600 Michael Jäger, Gerald Rhemann |
| 2026 September 05 18:06 UT | Planewave 20" CDK f/4, FLI PL6303E, 300s, T 18,3 mag, Siding Spring, Australien, Remote, Michael Hauss |
| 2026 September 07 23.20 UT | 14x120sec. 12" f=4 QHY 600 Michael Jäger und Gerald Rhemann |
| 2026 September 08 23.51 UT | 13x180sec. green 12" f=4 QHY 600 Michael Jäger, Gerald Rhemann |
| 2026 September 14 21:50 UT | 10x4min, 16" f/2.5, ASI6200MM Roland Fichtl |
| 2026 September 15 20.44 UT | 37x90sec. 12"/3.3 QHY 600 Michael Jäger, Gerald Rhemann |
| 2026 September 19 23.22 UT | 16x120sec. 16"/3.2 QHY 600 Michael Jäger, Gerald Rhemann |
| 2026 September 22 20:48 UT | Newton 8" f/4, Canon EOS 600D, exp. 180x30s, scale 1.1arcsec/px, North is up. Miroslav Lošťák, Karlovy Vary, Czech Rep., SMPH |
| 2026 October 03 09:35 UT | 18x30 sec., iTelescope 24, T24 FLI PL09000, Roßtal, Remote, Klemens Waldhör |
| 2026 October 05 20.53 UT | 32x2 min, Hypergraph8, Canon Ra, 20% crop, St. Ulrich 500m, Austria centered on comet Helmut Dannbauer |
| 2026 October 05 23.12 UT | 30x120sec. 12" f=4 QHY 600 Michael Jäger, Gerald Rhemann |
| 2026 October 06 01.15-02.04 UT | 23x2 min, Gain160, Touptek SkyEye 62 AC, RASA 11, erstellt mit AIRTOOLS, Köditz centered on comet Steffen Fritsche |
| 2026 October 07 22.23 UT | 16x120sec. 12" f=4 QHY 600 Michael Jäger, Gerald Rhemann |
| 2026 October 08 20:02 UT | 1x1350 sec., Seestar S50, Seestar S50, Roßtal Klemens Waldhör |
| 2026 October 11 21:28 UT | 1x30 sec., Seestar S50, Seestar S50, Roßtal Klemens Waldhör |
| 2026 October 12 22.37-23.46 UT | 33x2 min, Gain 160, Touptek SkyEye 62 AC, RASA 11, erstellt mit AIRTOOLS, Köditz centered on comet Steffen Fritsche |
| 2026 October 13 20.16 UT | 9x120 sec, 0.4-m f/3.8 Orion Optics AG16, SBIG STL6303E, B96 BRIXIIS Observatory Kruibeke Belgium Erik Bryssinck |
| 2026 October 13 20.30 UT | 17x120sec. 12"/3.3 QHY 600 from G00 Martinsberg Michael Jäger, Gerald Rhemann |
| 2026 October 17 00:25-04:45 UT | 120x2 min, RASA 20 cm F 400 mm, ASI 2600 C Dídac Mesa Romeu, Comiols, Lleida |
| 2026 October 18 19.42 UT | 32x120sec. 16"/3.2 QHY 600 Michael Jäger, Gerald Rhemann |
| 2026 October 19 18:35-22:00 UT | 30cm RC+FujiGFX 200x1min Amateursternwarte Schönebeck Uwe Wohlrab |
| 2026 October 20 23.50 UT | 26x 30sec. 130mm Newton F3 QHY 290mm Walter Kutschera |
| 2026 October 27 21.59 UT | (mid time), 60x30 s, C11, ZWO ASI 294MC Pro, Rome-Italy-Fabrizio Montanucci |
| 2026 October 29 18:48 UT | ASA UWF 600mm f1.7 Kamera: Moravian C5A-150M Bel.: 11x 90 sec., Remote, Gerald Rhemann, Michael Jäger |
| 2026 October 30 20:31-21:01 UT | 60x30,APO 150mm (f/7.3),Altair Hypercam A26M + IR-blocking filter,L30 Lohbach-Observatory T. Zilch |

Helligkeitsmeldungen der FG Kometen im ICQ-Format:

| Zeitpunkt YYYY MM DD.Dd | Beobachtungsdaten M[mm.m:rfAAA.ATF/xxxx >dd.ddnDC >t.tt GGG: | Beobachter | Mag | Bemerkungen |
|---|---|---|---|---|
| 2026 09 08.09 | Z 18.6 BG 27.9L 2a840 0.6 | LEH02I | C 0.6 | mZCP IMX AIR 5 1.2s 1.2 Location: Weimar; Comment: CMOS OSC/G, mlim=20.4, moon 12% dist 98 deg |
| 2026 09 15.98 | Z 17.9 BG 27.9L 2B040 0.6 | LEH02I | C 0.6 | mZCP IMX AIR 5 1.2s 1.2 Location: Weimar; Comment: CMOS OSC/G, mlim=21.0 |
| 2026 09 22.93 | Z 15.9 BG 27.9L 2F000 2.4 | LEH02I | C 2.4 | mZCP IMX AIR 5 1.2s 1.2 Location: Weimar; Comment: CMOS OSC/G, mlim=21.5, moon 85% dist 69 deg |
| 2026 10 06.07 | Z 16.0 BG 27.9L 2B760 1.8 | FRI02I | C 1.8 | mTSC IMX AIR 5 1.3s 1.3 Location: Koeditz; Comment: CMOS OSC/G, mlim=21.6, moon 23% dist 117 deg |
| 2026 10 12.94 | Z 14.0 BG 27.9L 2D320 5.3 | LEH02I | C 5.3 | mZCP IMX AIR 5 1.2s 1.2 Location: Weimar; Comment: CMOS OSC/G, mlim=21.6 |
| 2026 10 12.97 | Z 13.6 BG 27.9L 2C960 5.8 | FRI02I | C 5.8 | mTSC IMX AIR 5 1.3s 1.3 Location: Koeditz; Comment: CMOS OSC/G, mlim=21.9 |
| 2026 10 19.88 | Z 16.8 BG 03.5R 4D830 0.6 | PIL01I | C 0.6 | mDW3 IM6 AIR 5 2.8s 2.8 Location: Leipzig; Comment: CMOS OSC/G, moon 62% dist 61 deg |
| 2026 10 20.03 | V 13.8 AV 50.8L 5 a20 0.4 7 | KUT | 6.0 | |

Der Komet **2P/Encke** (P=3,30[a]) wird am 10. Februar 2027 ein weiteres Mal sein Perihel in der Sonnendistanz von 0,34 AE passieren. Bis Ende Januar kann er von mitteleuropäischen Standorten aus am Abendhimmel beobachtet werden, wobei er vom südlichen Teil des Sternbilds Pegasus bis an die Grenze zum Sternbild Wassermann läuft. In den interessantesten Wochen wird er daher nur geringe Horizonthöhen aufweisen. Die Helligkeit dürfte in den Tagen kurz vor dem Verschwinden über dem südwestlichen Abendhorizont etwa 7[m] betragen.



Komet **2P/Encke** am 29. Oktober 2026 um 18:48 UT, ASA UWF 600mm f1,7, Kamera: Moravian C5A-150M, LRGB 16/8/8/8 Minuten belichtet, Gerald Rhemann und Michael Jäger

## Komet 10P/Tempel

E.W.L. Tempel (Mailand) entdeckte den Kometen am 04.07.1873. Die ersten elliptischen Bahnen wurden unabhängig voneinander von K. C. Bruhns und J. R. Hind berechnet. Am 19.07.1878 gelang E.W.L. Tempel die Wiederentdeckung des Kometen. Siehe Cometography Vol. 2.

Bahnelemente:

| T [UT] | ω [°] | Ω [°] | i [°] | q [AE] | e [AE] | P [a] | Epoche |
|---|---|---|---|---|---|---|---|
| 2026 08 2,1007 | 195,4579 | 117,7967 | 12,0271 | 1,4177 | 0,537436 | 5,37 | 12.11.2026 |

Fotos und Beobachtungen der FG Kometen:

| Zeitpunkt | Details zur Aufnahme |
|---|---|
| 2026 August 02 20:11 UT | ASA Astrograph 12" f=3.6 Kamera: ZWO ASI 6200 MM Pro Bel.: LRGB 24/12/12/12 min., Remote, Gerald Rhemann und Michael Jäger |
| 2026 August 02 20:13 UT | ASA Astrograph 12" f=3.6 Kamera: ZWO ASI 6200 MM Pro Bel.: 12x2 min., Remote, Gerald Rhemann und Michael Jäger |
| 2026 August 03 00.34-01.25 UT | 46x1 min, Gain 160, Touptek SkyEye 62 AC, RASA 11, erstellt mit AIRTOOLS, Köditz centered on comet Steffen Fritsche |
| 2026 August 03 00.34-01.25 UT | 46x1 min, Gain 160, Touptek SkyEye 62 AC, RASA 11, erstellt mit AIRTOOLS, Köditz Steffen Fritsche |
| 2026 August 03 21:45 UT | ASA Astrograph 12" f=3.6 Kamera: ZWO ASI 6200 MM Pro Bel.: LRGB 24/9/9/9 min., Remote, Gerald Rhemann und Michael Jäger |
| 2026 August 04 13:03 UT | Richey-Chrétien 12,5" f/9, Apogee Aspen Alta U16, 4x300s, Koma 8', T 8,7 mag, T33, Siding Spring, Australien, Remote, Michael Hauss |
| 2026 August 04 13:03 UT | Richey-Chrétien 12,5" f/9, Apogee Aspen Alta U16, 4x300s, Koma 8', T 8,7 mag, invertiert, T33, Siding Spring, Australien, Remote, Michael Hauss |
| 2026 August 04 19:52 UT | Teleskop: ASA Astrograph 12" f=3.6 Kamera: ZWO ASI 6200 MM Pro Bel.: LRGB 24/9/9/9 min., Remote, Gerald Rhemann und Michael Jäger |
| 2026 August 04 22.14 UT | Takahashi Epsilon 160ED, 530 mm, Antlia Triband, 30x30 s, Lacerta DeepSkyPro2600c, Astrofarm Hakos, Namibia, Remote, Kai-Oliver Detken |
| 2026 August 04 22.14 UT | 30x30s, Takahashi Epsilon 160ED, 530 mm, Antlia Triband, Astrofarm Hakos, Namibia, Remote, Kai-Oliver Detken |
| 2026 August 06 23.15-23.56 UT | 19x2 min, Gain 160, Touptek SkyEye 62 AC, RASA 11, erstellt mit AIRTOOLS, Köditz centered on comet Steffen Fritsche |
| 2026 August 07 22.40 UT | 5 min. a 10sec-subs, Seestar S50, Eurasburg Augsburg Markus Büchler |
| 2026 August 07 23.26 UT | (mid time), 8x30 s (each frame, animation, H264 codec), C11, ZWO ASI 294MC Pro, Rome-Italy-Fabrizio Montanucci |
| 2026 August 08 00:09 UT | 23 min. a 20sec-subs, Seestar S30 Pro Coburg, 12° above horizon Jochen Schreeck |
| 2026 August 08 20:03 UT | ASA Astrograph 12" f=3.6 Kamera: ZWO ASI 6200 MM Pro Bel.: LRGB 36/12/12/12 min., Remote, Gerald Rhemann und Michael Jäger |
| 2026 August 08 23.12-00.04 UT | 25x2 min, Gain 160, Touptek SkyEye 62 AC, RASA 11, erstellt mit AIRTOOLS, Köditz centered on comet Steffen Fritsche |
| 2026 August 08 23.12-00.04 UT | 25x2 min, Gain 160, Touptek SkyEye 62 AC, RASA 11, erstellt mit AIRTOOLS, Köditz Steffen Fritsche |
| 2026 August 08 23.26 UT | (mid time), 100x30 s, C11, ZWO ASI 294MC Pro, Rome-Italy-Fabrizio Montanucci |
| 2026 August 09 00.24 UT | 42x10s, SeeStar S50, Garbsen, Höhe 10 deg Volker Kasten |
| 2026 August 09 20:50 UT | ASA Astrograph 12" f=3.6 Kamera: ZWO ASI 6200 MM Pro Bel.: LRGB 36/12/12/12 min., Remote, Gerald Rhemann und Michael Jäger |
| 2026 August 10 01:14 UT | 327x15 s, Newton-Reflektor 150/600 mm, QHY1253P, Wetter (Ruhr) Christian Wöhler |
| 2026 August 11 01.33 UT | 24x10 s, SeeStar S50, Garbsen Volker Kasten |
| 2026 August 11 22.40 UT | 18x3min 8" RASA ASI2600MC Michael Jäger, Gerald Rhemann |
| 2026 August 11 23:52 UT | Montierung: Star-Adventure Kamera: Canoen Eos Ra Objektiv: Sigma Art: 135mm/f1.8 ISO 1200 Belichtungszeit: 21 min. 42 Aufnahmen (Lights) Aufnahmeort: Gahberg / OÖ Rudolf Conrad |
| 2026 August 11 23.15 UT | 5 min. a 10sec-subs, Seestar S50, Eurasburg Augsburg Markus Büchler |
| 2026 August 12 21.48 UT | 37x2min, Canon EF 500/4.5L, Canon 5Da Mk2, 50% crop, Glasenberg 770m, Austria centered on comet Helmut Dannbauer |
| 2026 August 12 23:01-23:53 UT | 25cm F/3.3 Deltagraph + Fuji XT30 52x1min Tiefenbachgletscher/Ötztaler Alpen Uwe Wohlrab |
| 2026 August 14 15:22 UT | Planewave 20" CDK, FLI Proline 16803, 300s, Koma 6', T 8,3 mag, Siding Spring, Australien, Remote, Michael Hauss |
| 2026 August 14 20:19 UT | ASA Astrograph 12" f=3.6 Kamera: ZWO ASI 6200 MM Pro Bel.: LRGB 48/21/21/21 min., Remote, Gerald Rhemann und Michael Jäger |

| Zeitpunkt | Details zur Aufnahme |
|---|---|
| 2026 August 16 19:37 UT | ASA Astrograph 12" f=3.6, ZWO ASI 6200 MM Pro Bel.: LRGB 48/21/21/21 min., Remote, Gerald Rhemann und Michael Jäger |
| 2026 August 17 20:40 UT | ASA Astrograph 12" f=3.6, ZWO ASI 6200 MM Pro Bel.: LRGB 48/21/21/21 min., Remote, Gerald Rhemann und Michael Jäger |
| 2026 August 19 23:39 UT | ASA Astrograph 12" f=3.6, ZWO ASI 6200 MM Pro Bel.: LRGB 48/21/21/21 min., Remote, Gerald Rhemann und Michael Jäger |
| 2026 August 20 23:59 UT | Astrograph 12" f=3.6 Kamera: ZWO ASI 6200 MM Pro Bel.: LRGB 24/12/12/12 min., Remote, Gerald Rhemann und Michael Jäger |
| 2026 August 22 14:48 UT | Richey-Chrétien 12,5" f/9, Apogee Aspen Alta U16, 4x300s, Koma 5', T 8,5 mag, T33, Siding Spring, Australien, Remote, Michael Hauss |
| 2026 August 22 23.15 UT | 12x4min 8" RASA ASI 2600 MC UHC-L-Filter Michael Jäger, Gerald Rhemann |
| 2026 August 24 02:44 UT | Astrograph 12" f=3.6 Kamera: ZWO ASI 6200 MM Pro Bel.: LRGB 24/12/12/12 min., Remote, Gerald Rhemann und Michael Jäger |
| 2026 September 01 12:56 UT | Planewave 20" CDK, FLI Proline 16803, 4x300s, Koma 6', Schweif 10' PA 333°, T 8,9 mag, Siding Spring, Australien, Remote, Michael Hauss |
| 2026 September 03 19:26 UT | Astrograph 12" f=3.6 Kamera: ZWO ASI 6200 MM Pro Bel.: LRGB 24/12/12/12 min., Remote, Gerald Rhemann und Michael Jäger |
| 2026 September 04 21.00 UT | 24x1min, Hypergraph8, Canon Ra, 30% crop, St. Ulrich 500m, Austria centered on comet Helmut Dannbauer |
| 2026 September 11 10:31 UT | Richey-Chrétien 12,5" f/9, Apogee Aspen Alta U16, 4x300s, 4,8', T 9,4 mag, Siding Spring, Australien, Remote, Michael Hauss |
| 2026 September 16 22:07 UT | ASA Astrograph 12" f=3.6 Kamera: ZWO ASI 6200 MM Pro Bel.: LRGB 36/12/12/12 min., Remote, Gerald Rhemann, Michael Jäger |
| 2026 September 27 17:04 UT | 5x30 sec., iTelescope 32, T72 FLI 16200, Roßtal, Remote, Klemens Waldhör |
| 2026 October 05 21.23 UT | 13x90sec. 8" RASA ASI 2600MC low Michael Jäger, Gerald Rhemann |
| 2026 October 10 11:38 UT | Planewave 20" CDK f/6,8, FLI 16200, 300s, Koma 6', T 10,9 mag, T32, Siding Spring, Australien, Remote, Michael Hauss |
| 2026 October 12 20.26 UT | 18x10 s, SeeStar S50, Garbsen, nur 6 deg hoch, im Dunst Volker Kasten |
| 2026 October 13 20.04 UT | 10x80sec. 12"/3.3 QHY 600 from G00 Martinsberg Michael Jäger, Gerald Rhemann |
| 2026 October 18 20.50 UT | 12x60-80sec. 16"/3.2 QHY 600 Michael Jäger, Gerald Rhemann |

## Helligkeitsmeldungen der FG Kometen im ICQ-Format:

| Zeitpunkt | Beobachtungsdaten | | | | | | | | Bemerkungen |
|---|---|---|---|---|---|---|---|---|---|
| YYYY MM DD.Dd | M[mm.m:rfAAA.ATF/xxxx | >dd.ddnDC | >t.tt | GGG: | | Beobachter | Mag | | |
| 2026 08 01.79 | Z 7.3 BG 10.6R 5a720 | 34 | >2.0 | 260 | | LEH02I | C34 | | mMC3 IMX AIR 5 1.5s 1.5 Location: Hakos (remote); Comment: CMOS/G, mlim=19.5, plasma tail (?) 1.18 deg at pa=288, dust trail crossing comet |
| 2026 08 02.83 | Z 7.2 BG 10.6R 5a720 | 35 | >2.0 | 260 | | LEH02I | C35 | | mMC3 IMX AIR 5 1.5s 1.5 Location: Hakos (remote); Comment: CMOS/G, mlim=19.8, plasma tail (?) 0.32 deg at pa=267, dust trail crossing comet |
| 2026 08 03.02 | Z 7.4 BG 27.9L 2B400 | 25 | >2.0 | 260 | | LEH02I | C25 | | mZCP IMX AIR 5 1.2s 1.2 Location: Weimar; Comment: CMOS OSC/G, mlim=18.7, moon 81% dist 42 deg, plasma tail (?) 0.26 deg at pa=282, dust trail crossing comet |
| 2026 08 03.04 | Z 7.7 BG 27.9L 2B760 | 18 | | | | FRI02I | C18 | | mTSC IMX AIR 5 1.3s 1.3 Location: Koeditz; Comment: CMOS OSC/G, mlim=19.0, moon 81% dist 43 deg |
| 2026 08 06.81 | Z 7.3 BG 10.6R 5a840 | 32 | >2.0 | 259 | | LEH02I | C32 | | mMC3 IMX AIR 5 1.5s 1.5 Location: Hakos (remote); Comment: CMOS/G, mlim=20.0, plasma tail 0.49 deg at pa=272, dust trail crossing comet |
| 2026 08 06.98 | Z 7.3 BG 27.9L 2B280 | 31 | | | | FRI02I | C31 | | mTSC IMX AIR 5 1.3s 1.3 Location: Koeditz; Comment: CMOS OSC/G, mlim=19.6, moon 40% dist 95 deg |
| 2026 08 07.00 | Z 7.2 BG 10.6R 5a720 | 35 | >2.0 | 259 | | LEH02I | C35 | | mMC3 IMX AIR 5 1.5s 1.5 Location: Hakos (remote); Comment: CMOS/G, mlim=20.0, plasma tail 0.24 deg at pa=277, dust trail crossing comet |
| 2026 08 07.01 | Z 7.4 BG 27.9L 2B400 | 30 | >2.0 | 260 | | LEH02I | C30 | | mZCP IMX AIR 5 1.2s 1.2 Location: Weimar; Comment: CMOS OSC/G, mlim=19.6, moon 40% dist 95 deg, plasma tail 0.38 deg at pa=281, dust trail crossing comet |
| 2026 08 07.81 | Z 7.2 BG 10.6R 5a840 | 33 | >2.0 | 259 | | LEH02I | C33 | | mMC3 IMX AIR 5 1.5s 1.5 Location: Hakos (remote); Comment: CMOS/G, mlim=19.8, plasma tail 0.8 deg at pa=288, dust trail crossing comet |
| 2026 08 07.90 | Z 7.2 BG 10.6R 5a720 | 34 | >2.0 | 259 | | LEH02I | C34 | | mMC3 IMX AIR 5 1.5s 1.5 Location: Hakos (remote); Comment: CMOS/G, mlim=20.0, plasma tail 0.9 deg at pa=285, dust trail crossing comet |
| 2026 08 08.04 | Z 7.2 BG 10.6R 5a720 | 36 | >2.0 | 259 | | LEH02I | C36 | | mMC3 IMX AIR 5 1.5s 1.5 Location: Hakos (remote); Comment: CMOS/G, mlim=20.1, plasma tail 0.9 deg at pa=280, dust trail crossing comet |
| 2026 08 08.84 | Z 7.2 BG 10.6R 5a720 | 33 | >2.0 | 259 | | LEH02I | C33 | | mMC3 IMX AIR 5 1.5s 1.5 Location: Hakos (remote); Comment: CMOS/G, mlim=20.0, plasma tail 1.4 deg at pa=283, dust trail crossing comet |
| 2026 08 08.96 | Z 7.2 BG 10.6R 5a720 | 31 | >2.0 | 259 | | LEH02I | C31 | | mMC3 IMX AIR 5 1.5s 1.5 Location: Hakos (remote); Comment: CMOS/G, mlim=20.3, plasma tail 1.4 deg at pa=289, dust trail crossing comet |
| 2026 08 08.98 | Z 7.7 BG 27.9L 2C000 | 29 | | | | FRI02I | C29 | | mTSC IMX AIR 5 1.3s 1.3 Location: Koeditz; Comment: CMOS OSC/G, mlim=20.0, moon 19% dist 123 deg |
| 2026 08 09.09 | Z 7.2 BG 10.6R 5a600 | 31 | >2.0 | 259 | | LEH02I | C31 | | mMC3 IMX AIR 5 1.5s 1.5 Location: Hakos (remote); Comment: CMOS/G, mlim=20.0, plasma tail 0.7 deg at pa=293, dust trail crossing comet |
| 2026 08 09.86 | Z 7.2 BG 10.6R 5a720 | 33 | >2.0 | 259 | | LEH02I | C33 | | mMC3 IMX AIR 5 1.5s 1.5 Location: Hakos (remote); Comment: CMOS/G, mlim=20.2, plasma tail 1.1 deg at pa=308, dust trail crossing comet |
| 2026 08 10.84 | Z 7.2 BG 10.6R 5a480 | 34 | >2.0 | 259 | | LEH02I | C34 | | mMC3 IMX AIR 5 1.5s 1.5 Location: Hakos (remote); Comment: CMOS/G, mlim=19.6, plasma tail 0.49 deg at pa=289, dust trail crossing comet |
| 2026 08 11.81 | Z 7.3 BG 10.6R 5a720 | 34 | >2.0 | 259 | | LEH02I | C34 | | mMC3 IMX AIR 5 1.5s 1.5 Location: Hakos (remote); Comment: CMOS/G, mlim=20.0, plasma tail 0.32 deg at pa=319, dust trail crossing comet |
| 2026 08 12.02 | B 8.5 TK 10.0R5 | 20 | 8.5 | 4 | ICQXXX | HAS02 | | | |
| 2026 08 12.78 | Z 7.2 BG 10.6R 5a600 | 36 | >2.0 | 259 | | LEH02I | C36 | | mMC3 IMX AIR 5 1.5s 1.5 Location: Hakos (remote); Comment: CMOS/G, mlim=19.8, plasma tail 0.81 deg at pa=297, dust trail crossing |

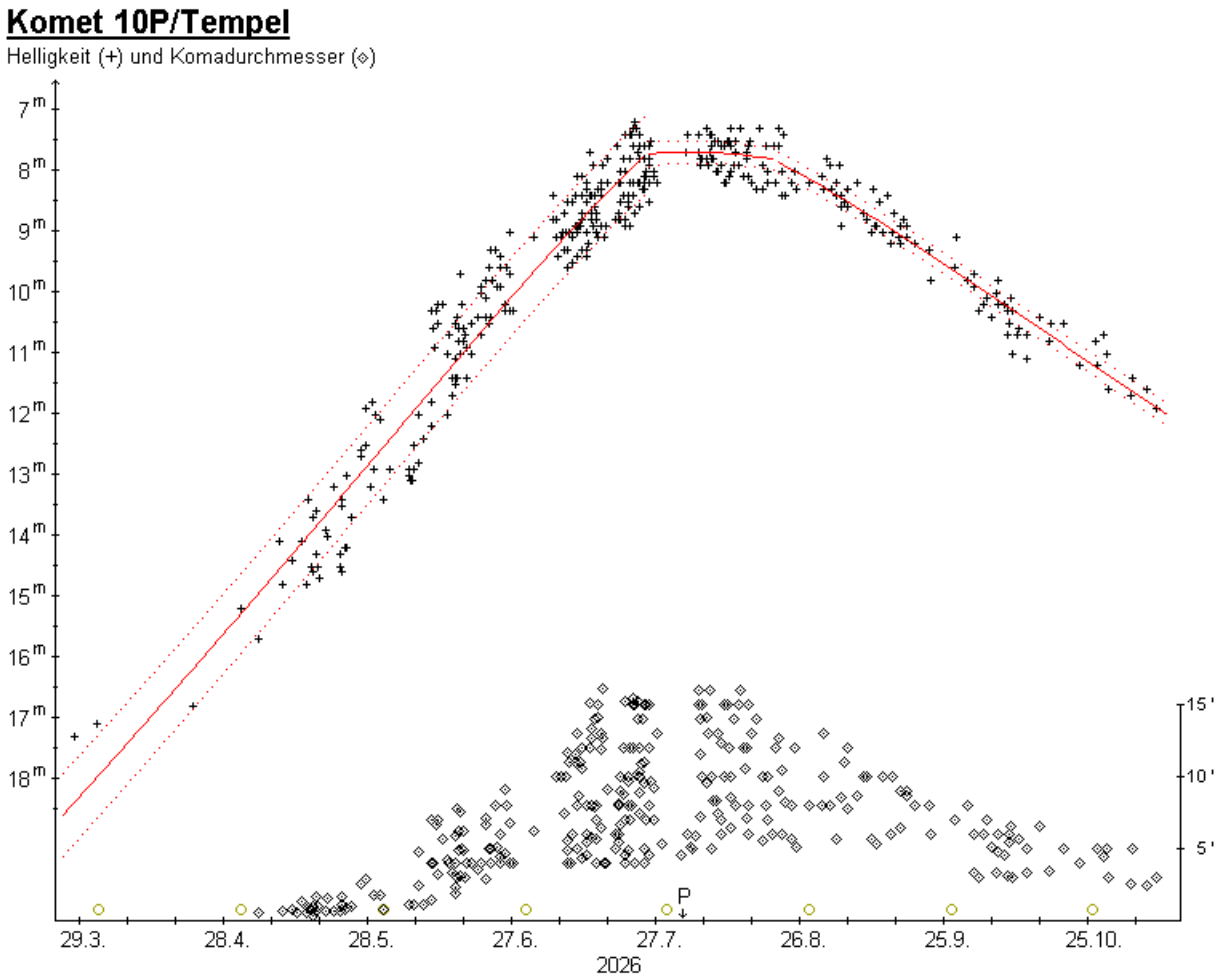
| Zeitpunkt YYYY MM DD.Dd | Beobachtungsdaten M[mm.m:rfAAA.ATF/xxxx | >dd.ddnDC | >t.tt | GGG: | Beobachter | Mag | Bemerkungen |
|---|---|---|---|---|---|---|---|
| | | | | | | | comet |
| 2026 08 12.92 | Z 7.2 BG 10.6R 5a480 | 34 | >2.0 | 258 | LEH02I | C34 | mMC3 IMX AIR 5 1.5s 1.5 Location: Hakos (remote); Comment: CMOS/G, mlim=19.8, plasma tail 0.41 deg at pa=280, dust trail crossing comet |
| 2026 08 12.99 | S 8.6 TK 23.5T10 112 | 8 4/ | | | SCH19 | 4.6 | Location: Leonberg. |
| 2026 08 13.04 | Z 7.2 BG 10.6R 5a480 | 37 | >2.0 | 258 | LEH02I | C37 | mMC3 IMX AIR 5 1.5s 1.5 Location: Hakos (remote); Comment: CMOS/G, mlim=20.0, plasma tail 0.65 deg at pa=280, dust trail crossing comet |
| 2026 08 13.15 | Z 7.2 BG 10.6R 5a480 | 33 | >2.0 | 258 | LEH02I | C33 | mMC3 IMX AIR 5 1.5s 1.5 Location: Hakos (remote); Comment: CMOS/G, mlim=19.7, plasma tail 0.69 deg at pa=282, dust trail crossing comet |
| 2026 08 13.83 | Z 7.2 BG 10.6R 5a600 | 35 | >2.0 | 258 | LEH02I | C35 | mMC3 IMX AIR 5 1.5s 1.5 Location: Hakos (remote); Comment: CMOS/G, mlim=20.0, plasma tail 0.40 deg at pa=321, dust trail crossing comet |
| 2026 08 13.97 | Z 7.3 BG 10.6R 5a480 | 33 | >2.0 | 258 | LEH02I | C33 | mMC3 IMX AIR 5 1.5s 1.5 Location: Hakos (remote); Comment: CMOS/G, mlim=20.0, plasma tail 0.69 deg at pa=309, dust trail crossing comet |
| 2026 08 14.13 | Z 7.3 BG 10.6R 5a360 | 31 | >2.0 | 258 | LEH02I | C31 | mMC3 IMX AIR 5 1.5s 1.5 Location: Hakos (remote); Comment: CMOS/G, mlim=19.8, plasma tail 0.57 deg at pa=307, dust trail crossing comet |
| 2026 08 14.83 | Z 7.2 BG 10.6R 5a600 | 35 | >2.0 | 258 | LEH02I | C35 | mMC3 IMX AIR 5 1.5s 1.5 Location: Hakos (remote); Comment: CMOS/G, mlim=19.9, plasma tail 0.81 deg at pa=303, dust trail crossing comet |
| 2026 08 14.91 | Z 7.2 BG 10.6R 5a600 | 35 | >2.0 | 258 | LEH02I | C35 | mMC3 IMX AIR 5 1.5s 1.5 Location: Hakos (remote); Comment: CMOS/G, mlim=20.0, plasma tail 0.89 deg at pa=305, dust trail crossing comet |
| 2026 08 15.02 | Z 7.2 BG 10.6R 5a600 | 35 | >2.0 | 258 | LEH02I | C35 | mMC3 IMX AIR 5 1.5s 1.5 Location: Hakos (remote); Comment: CMOS/G, mlim=20.0, plasma tail 0.40 deg at pa=302, dust trail crossing comet |
| 2026 08 15.84 | Z 7.3 BG 10.6R 5a600 | 32 | >2.0 | 258 | LEH02I | C32 | mMC3 IMX AIR 5 1.5s 1.5 Location: Hakos (remote); Comment: CMOS/G, mlim=20.0, plasma tail 0.61 deg at pa=309, dust trail crossing comet |
| 2026 08 15.98 | Z 7.3 BG 10.6R 5a600 | 32 | >2.0 | 258 | LEH02I | C32 | mMC3 IMX AIR 5 1.5s 1.5 Location: Hakos (remote); Comment: CMOS/G, mlim=20.1, plasma tail 1.54 deg at pa=314, dust trail crossing comet |
| 2026 08 16.08 | Z 7.2 BG 10.6R 5a600 | 35 | >2.0 | 258 | LEH02I | C35 | mMC3 IMX AIR 5 1.5s 1.5 Location: Hakos (remote); Comment: CMOS/G, mlim=20.2, plasma tail 1.5 deg at pa=321, dust trail crossing comet |
| 2026 08 16.88 | Z 7.3 BG 10.6R 5a600 | 34 | >2.0 | 258 | LEH02I | C34 | mMC3 IMX AIR 5 1.5s 1.5 Location: Hakos (remote); Comment: CMOS/G, mlim=20.0, plasma tail 1.5 deg at pa=323, dust trail crossing comet |
| 2026 08 17.09 | Z 7.2 BG 10.6R 5a600 | 34 | >2.0 | 258 | LEH02I | C34 | mMC3 IMX AIR 5 1.5s 1.5 Location: Hakos (remote); Comment: CMOS/G, mlim=20.2, plasma tail 1.3 deg at pa=328, dust trail crossing comet |
| 2026 08 17.80 | Z 7.3 BG 10.6R 5a720 | 36 | >2.0 | 258 | LEH02I | C36 | mMC3 IMX AIR 5 1.5s 1.5 Location: Hakos (remote); Comment: CMOS/G, mlim=19.9, moon 28% dist 112 deg, plasma tail 0.49 deg at pa=311, dust trail crossing comet |
| 2026 08 17.93 | Z 7.3 BG 10.6R 5a600 | 33 | >2.0 | 258 | LEH02I | C33 | mMC3 IMX AIR 5 1.5s 1.5 Location: Hakos (remote); Comment: CMOS/G, mlim=20.0, plasma tail 1.2 deg at pa=311, dust trail crossing comet |
| 2026 08 18.12 | Z 7.3 BG 10.6R 5a600 | 33 | >2.0 | 258 | LEH02I | C33 | mMC3 IMX AIR 5 1.5s 1.5 Location: Hakos (remote); Comment: CMOS/G, mlim=19.9, plasma tail 0.85 deg at pa=308, dust trail crossing comet |
| 2026 08 18.93 | Z 7.3 BG 10.6R 5a600 | 35 | >2.0 | 258 | LEH02I | C35 | mMC3 IMX AIR 5 1.5s 1.5 Location: Hakos (remote); Comment: CMOS/G, mlim=20.0, plasma tail 0.77 deg at pa=324, dust trail crossing comet |
| 2026 08 19.12 | Z 7.2 BG 10.6R 5a600 | 38 | >2.0 | 258 | LEH02I | C38 | mMC3 IMX AIR 5 1.5s 1.5 Location: Hakos (remote); Comment: CMOS/G, mlim=19.9, plasma tail 1.5 deg at pa=324, dust trail crossing comet |
| 2026 08 19.86 | Z 7.4 BG 10.6R 5a720 | 34 | >2.0 | 258 | LEH02I | C34 | mMC3 IMX AIR 5 1.5s 1.5 Location: Hakos (remote); Comment: CMOS/G, mlim=19.7, moon 48% dist 88 deg, plasma tail 0.61 deg at pa=330, dust trail crossing comet |
| 2026 08 20.13 | Z 7.4 BG 10.6R 5a600 | 35 | >2.0 | 258 | LEH02I | C35 | mMC3 IMX AIR 5 1.5s 1.5 Location: Hakos (remote); Comment: CMOS/G, mlim=19.8, plasma tail 0.65 deg at pa=327, dust trail crossing comet |
| 2026 08 20.87 | Z 7.5 BG 10.6R 5a840 | 31 | >2.0 | 258 | LEH02I | C31 | mMC3 IMX AIR 5 1.5s 1.5 Location: Hakos (remote); Comment: CMOS/G, mlim=19.7, moon 56% dist 76 deg, plasma tail 0.32 deg at pa=291, dust trail crossing comet |
| 2026 08 22.84 | Z 7.4 BG 10.6R 5a960 | 28 | >2.0 | 258 | LEH02I | C28 | mMC3 IMX AIR 5 1.5s 1.5 Location: Hakos (remote); Comment: CMOS/G, mlim=19.2, moon 75% dist 55 deg, dust trail crossing comet |
| 2026 09 03.86 | Z 8.6 GG 10.6R 5a720 | 20 | >2.0 | 258 | LEH02I | C20 | mMC3 IMX AIR 5 1.5s 1.5 Location: Hakos (remote); Comment: CMOS/R, mlim=19.7, plasma tail 1.1 deg at pa=0, dust trail crossing comet |



Komet **10P/Tempel** am 03. August 2026 um 21:45 UT, ASA Astrograph 12" f=3,6, ZWO ASI 6200 MM Pro, LRGB 24/9/9/9 Minuten belichtet, Gerald Rhemann und Michael Jäger



Komet **10P/Tempel** am 09. August 2026 um 20:50 UT, ASA Astrograph 12" f=3,6, ZWO ASI 6200 MM Pro, LRGB 36/12/12/12 Minuten belichtet, Gerald Rhemann und Michael Jäger




Der Komet **10P/Tempel** (P=5,37ª) zeigte ein weiteres Mal drei Phasen in seiner Helligkeitsentwicklung, die einen zeitabhängigen Term aufweist. Nach einer raschen Aktivitätssteigerung bis 7 Tage vor dem Perihel (bis zum 26. Juli) folgte eine dreiwöchige Phase mit konstanter heliozentrischer Helligkeit. Seit dem 22. August geht die Aktivität wieder zurück, allerdings deutlich langsamer als diese vor dem Perihel zunahm. Auf der Basis von 418 Beobachtungen von 66 Beobachtern können die drei Phasen mit den folgenden Formeln recht gut dargestellt werden:

| | | | | |
|---|---|---|---|---|
| | t | < | $-7^d$: | $m = 9{,}1^m + 5 \cdot \log \Delta + 0{,}066 \cdot \lvert t-T \rvert$ |
| $-7^d$ < | t | < | $+20^d$: | $m = 9{,}6^m + 5 \cdot \log \Delta$ |
| | t | > | $+20^d$: | $m = 9{,}1^m + 5 \cdot \log \Delta + 0{,}027 \cdot \lvert t-T \rvert$ |

Die Maximalhelligkeit von $7{,}7^m$ wurde im Zeitraum 26. Juli bis 22. August praktisch konstant gehalten. Bis zum 10. November war die Helligkeit wieder auf $12{,}0^m$ zurückgegangen.

Der Komadurchmesser stieg von 0,5‘ (25.0000 km) Mitte Mai bis Mitte Juli auf den Maximalwert von 15‘ (280.000 km) an. Danach blieb dieser bis Mitte August konstant. Seitdem geht der Komadurchmesser zurück; Anfang November maß er nur noch 4‘ (200.000 km). Auch in dieser Sichtbarkeit wies der Komet eine ziemlich diffuse Koma auf. Der Kondensationsgrad nahm während der Sichtbarkeit von DC 3-4 auf DC 2-3 ab. CCD-Beobachter konnten zwischen Ende Juli und Anfang September einen schwachen, bis zu 0,6° (3 Mill. km) langen Schweif ausmachen. Dieser änderte seine Orientierung von West nach Nord.

In der Nacht **23./24.7.26** schätzte Gerhard Scheerle die Helligkeit des false nucleus im 23,5T, 181x zu 11,6$^{m}$. Mit dem TRAPPIST-Teleskop wurden am 20. Oktober 2026 (r = 1,64 AE, ΔT = +80$^{d}$) die folgenden Produktionsraten (Moleküle/s) festgestellt: CN: 9,6·10$^{24}$, $C_2$: 1,0·10$^{25}$, Staub: 220 cm, OH wurde nicht detektiert (ATel 18116).

Der Komet dürfte Anfang Februar 2027 schwächer als 16$^{m}$ werden. Bis dahin bewegt er sich vom Sternbild Wassermann ins Sternbild Walfisch, ist somit ein Objekt am Abendhimmel. Um den 18. Januar befindet sich die Erde nahe der Kometenbahnebene.

## Komet 11P/Tempel-Swift-LINEAR

E. W. L. Tempel (Marseille, Frankreich) entdeckte den verhältnismäßig schwachen Kometen am 27.11.1869. L. Swift (Rochester, New York, USA) entdeckte am 11.10.1880 einen Kometen, der sich als Wiederentdeckung des Kometen von Tempel entpuppte. In Europa wurde der Komet unabhängig von J. G. Lohse (Dun Echt Observatory, Schottland) entdeckt, der auch zusammen mit R. Copeland die Identität mit dem Kometen Swift zeigte. Die erste elliptische Bahn, die die beiden Kometen miteinander in Verbindung brachte, stammt von L. Schulhof und J. F. Bossert. Siehe Cometography, Vol. 2. Im Rahmen des LINEAR-Programms wurde ein 20 mag heller Komet C/2001 X3 (LINEAR) auf Aufnahmen vom 07.12.2001 entdeckt. Auf der Basis eines Hinweises von C. Hergenrother und K. Muraoka gelang es S. Nakano schließlich, die Identität des letzmals im Jahre 1908 beobachteten Kometen 11D/Tempel-Swift bestätigen. In der Folge wurde der Komet als 11P/Tempel-Swift-LINEAR bezeichnet. Siehe Schweifstern 95.

Bahnelemente:

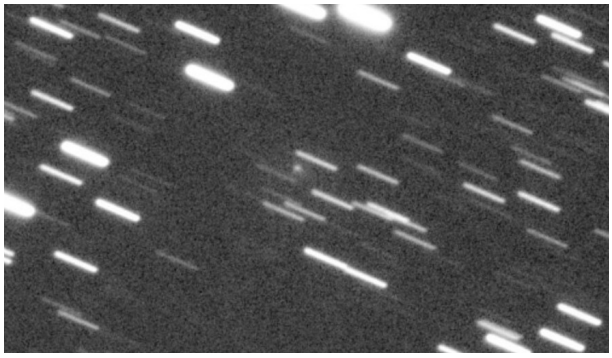
| T [UT] | ω [°] | Ω [°] | i [°] | q [AE] | e [AE] | P [a] | Epoche |
|---|---|---|---|---|---|---|---|
| 2026 11 9,9528 | 168,062 | 238,85 | 14,4308 | 1,3876 | 0,577014 | 5,94 | 12.11.2026 |

Fotos und Beobachtungen der FG Kometen:

| Zeitpunkt | Details zur Aufnahme |
|---|---|
| 2026 August 22 21.05 UT | 17x90sec. 16"/3.2 QHY600 Michael Jäger, Gerald Rhemann |
| 2026 September 05 21:15 UT | 18x4min, 16" f/2.5, ASI6200MC Roland Fichtl |
| 2026 September 05 22.11-23.23 UT | 34x2 min, Gain 160, Touptek SkyEye 62 AC, RASA 11, erstellt mit AIRTOOLS, Köditz centered on comet Steffen Fritsche |
| 2026 September 06 20.38 UT | 30x120sec. 12"/3.3 QHY600 Michael Jäger, Gerald Rhemann |
| 2026 September 08 23.51 UT | 15x120sec. and 6x180sec. green 12" f=4 QHY 600 Michael Jäger, Gerald Rhemann |
| 2026 September 14 19:55 UT | 12x4min, 16" f/2.5, ASI6200MM Roland Fichtl |
| 2026 September 14 22.15 UT | 12x120 sec, 0.4-m f/3.8 Orion Optics AG16, SBIG STL6303E, B96 BRIXIIS observatory Kruibeke Belgium Erik Bryssinck |
| 2026 September 18 21.17-22.15 UT | 14x4 min, Gain 160, Touptek SkyEye 62 AC, RASA 11, erstellt mit AIRTOOLS, Köditz centered on comet Steffen Fritsche |
| 2026 September 20 19:38-21:38 UT | 30cm RC+Fuji XT30 60x2min Amateursternwarte Schönebeck Uwe Wohlrab |
| 2026 September 22 23.09-00.03 UT | 26x2 min, Gain 160, Touptek SkyEye 62 AC, RASA 11, erstellt mit AIRTOOLS, Köditz centered on comet Steffen Fritsche |
| 2026 September 30 21.57-22.20 UT | 11x2 min, Gain 160, Touptek SkyEye 62 AC, RASA 11, erstellt mit AIRTOOLS, Köditz centered on comet Steffen Fritsche |
| 2026 October 05 22.40-23.34 UT | 13x4 min, Gain160, Touptek SkyEye 62 AC, RASA 11, erstellt mit AIRTOOLS, Köditz centered on comet Steffen Fritsche |
| 2026 October 05 23.06 UT | 10x150sec. 8" RASA ASI 2600MC Michael Jäger, Gerald Rhemann |
| 2026 October 09 08:51 UT | Planewave 17" CDK f/4,5, FLI-PL 6303E, 300s, T 16,5 mag, T21, Utah, USA, Remote, Michael Hauss |
| 2026 October 12 21.36-22.34 UT | 14x4 min, Gain 160, Touptek SkyEye 62 AC, RASA 11, erstellt mit AIRTOOLS, Köditz centered on comet Steffen Fritsche |
| 2026 October 12 22:15 UT | 11x3min, 16" f/2.5, ASI6200MM Roland Fichtl |
| 2026 October 12 23.15 UT | 7x120sec. 12"/3.3 QHY 600 Michael Jäger, Gerald Rhemann |
| 2026 October 13 20.46 UT | 11x120 sec, 0.4-m f/3.8 Orion Optics AG16, SBIG STL6303E, B96 BRIXIIS Observatory Kruibeke Belgium Erik Bryssinck |
| 2026 October 15 22.35 UT | 25x30sec. 13mm Newton F3 QHY 290mm Walter Kutschera |
| 2026 October 16 22:25-23:35 UT | 25x2 min, RASA 20 cm F 400 mm, ASI 2600 C Dídac Mesa Romeu, Comiols, Lleida |
| 2026 October 30 21:49-22:19 UT | 60x30,APO 150mm (f/7.3),Altair Hypercam A26M + IR-blocking filter,L30 Lohbach-Observatory T. Zilch |

Helligkeitsmeldungen der FG Kometen im ICQ-Format:

| Zeitpunkt<br>YYYY MM DD.Dd | Beobachtungsdaten<br>M[mm.m:rfAAA.ATF/xxxx >dd.ddnDC >t.tt GGG: | Beobachter Mag | Bemerkungen |
|---|---|---|---|
| 2026 09 18.91 | Z 15.9 BG 27.9L 2C360 1.8 | FRI02I C 1.8 | mTSC IMX AIR 5 1.3s 1.3 Location: Koeditz; Comment: CMOS OSC/G, mlim=21.7 |
| 2026 09 22.98 | Z 17.7 BG 27.9L 2C120 0.5 | FRI02I C 0.5 | mTSC IMX AIR 5 1.3s 1.3 Location: Koeditz; Comment: CMOS OSC/G, mlim=21.5, moon 86% dist 85 deg |
| 2026 09 30.92 | Z 17.0 BG 27.9L 2A320 0.5 0.5 m238 | FRI02I C 0.5 | mTSC IMX AIR 5 1.3s 1.3 Location: Koeditz; Comment: CMOS OSC/G, mlim=20.5, moon 79% dist 29 deg |
| 2026 10 05.96 | Z 15.3 BG 27.9L 2C120 1.8 | FRI02I C 1.8 | mTSC IMX AIR 5 1.3s 1.3 Location: Koeditz; Comment: CMOS OSC/G, mlim=22.0 |
| 2026 10 12.92 | Z 14.2 BG 27.9L 2C360 4.2 | FRI02I C 4.2 | mTSC IMX AIR 5 1.3s 1.3 Location: Koeditz; Comment: CMOS OSC/G, mlim=21.8 |
| 2026 10 14.93 | V 16.0 HS 50.8L 5 a20 0.5 3 | KUT 5.8 | |

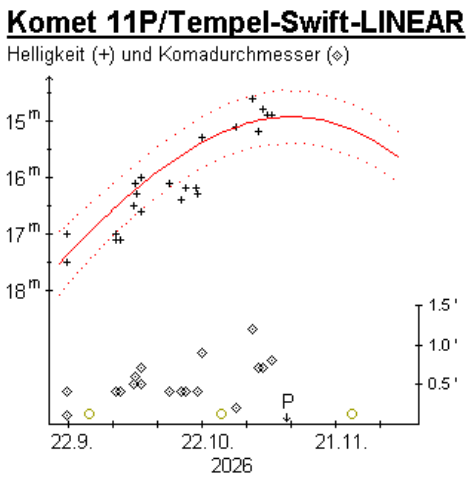


Komet **11P/Tempel-Swift-LINEAR** am 18. September 2026 um 21:17 - 22:15 UT, 14 x 4 Minuten belichtet, Gain 160, Touptek SkyEye 62 AC, RASA 11, Steffen Fritsche



Komet **11P/Tempel-Swift-LINEAR** am 12. Oktober 2026 um 22:15 UT, 11 x 3 Minuten belichtet, 16" f/2,5, ASI6200MM, Roland Fichtl

Der über längere Zeit hinweg verschollene Komet **11P/Tempel-Swift-LINEAR** (P=5,94[a]) erreichte aufgrund seiner Erdnähe (am 12. November näherte er sich der Erde bis auf 0,40 AE) eine maximale Helligkeit von 15,0[m]. Lediglich 23 CCD-Beobachtungen von 8 Beobachtern konnten für die grobe Auswertung verwendet werden. Diese deuten auf die Helligkeitsparameter $m_0 \approx 9{,}8^m$ / $n \approx 20$, d.h. der Komet steigert seine Aktivität extrem rasch.




Der Komadurchmesser vergrößerte sich vor dem Perihel lediglich von 0,4‘ (10.000 km) auf 1,0‘ (18.000 km). Angaben über den Kondensationsgrad wurden nicht publiziert. Auch ein Schweif wurde nicht festgestellt.

Sollte der Komet der skizzierten Helligkeitsentwicklung weiter folgen, wird er Mitte Dezember schwächer als 16[m]. Er steht im Sternbild Widder, und kann somit die ganze Nacht über beobachtet werden. In den Tagen um den 22. November steht die Erde nahe der Kometenbahnebene.

## Komet 14P/Wolf

M. F. J. C. Wolf (Heidelberg) entdeckte den Kometen am 17.09.1884. Unabhängig davon wurde der Komet auch von R. Copeland (Schottland) am 23.09.1884 entdeckt. Die erste elliptische Bahn wurde von C. N. A. Krueger errechnet. Am 02.05.1891 wurde der Komet von R. Spitaler (Wien) wiederentdeckt. Auf der Basis einer umfangreichen Bahnbestimmung von A. K. Thraen wurde der Komet schließlich bei seinem dritten beobachteten Umlauf um die Sonne am 17.06.1898 wiederentdeckt. Der Komet ist der Jupiter-Familie zugeordnet. Siehe Cometography Vol. 2.

Bahnelemente:

| T [UT] | ω [°] | Ω [°] | i [°] | q [AE] | e [AE] | P [a] | Epoche |
|---|---|---|---|---|---|---|---|
| 2026 09 19,0341 | 159,2065 | 202,0071 | 27,9206 | 2,738532 | 0,356339 | 8,78 | 12.11.2026 |

Fotos und Beobachtungen der FG Kometen:

| Zeitpunkt | Details zur Aufnahme |
|---|---|
| 2026 September 08 19.31 UT | 27x100sec. 12" f=4 QHY 600 Michael Jäger, Gerald Rhemann |

Auf der Aufnahme von Michael Jäger und Gerald Rhemann erscheint der etwa 18,8 mag helle Komet stellar.

## Komet 24P/Schaumasse

A. Schaumasse (Frankreich) entdeckte den Kometen am 01.12.1911 mit einer geschätzten Helligkeit von 12,0 mag. G. J. Fayet berechnete eine elliptische Bahn. Fayet konnte den Kometen am 30.10.1919 mit einer Helligkeit von 12,5 mag wiederentdecken. Der Komet gehört der Jupiter-Familie an. Siehe Cometography, Vol. 3.

Bahnelemente:

| T [UT] | ω [°] | Ω [°] | i [°] | q [AE] | e [AE] | P [a] | Epoche |
|---|---|---|---|---|---|---|---|
| 2026 01 8,3456 | 58,4943 | 78,2699 | 11,5013 | 1,184136 | 0,708202 | 8,17 | 12.11.2026 |

Helligkeitsmeldungen der FG Kometen im ICQ-Format:

| Zeitpunkt YYYY MM DD.Dd | Beobachtungsdaten M[mm.m:rfAAA.ATF/xxxx >dd.ddnDC >t.tt GGG: | Beobachter | Mag | Bemerkungen |
|---|---|---|---|---|
| 2026 08 02.76 | Z 15.6 BG 10.6R 5A440 3.4 | LEH02I | C 3.4 | mMC3 IMX AIR 5 1.5s 1.5 Location: Hakos (remote); Comment: CMOS/G, mlim=20.3 |

Fotos liegen seitens der Fachgruppe im Bereichtszeitraum nicht vor.

## Komet 29P/Schwassmann-Wachmann

Im Jahr 1902 entdeckte K. Reinmuth auf einer Aufnahme vom 04.03.1902 einen Kometen der Helligkeit 12,0 mag. L. E. Cunningham fand erst im Jahr 1931 heraus, dass es sich hierbei um den erst später offiziell entdeckten Kometen 29P handelte. Dieser wurde von F. C. A. Schwassmann und A. A. Wachmann (Hamburg) auf einer Aufnahme vom 15.11.1927 mit einer Helligkeit von 13 mag entdeckt. Der Komet gehört der Jupiter-Familie an und ist dank der geringen Exzentrizität seiner Umlaufbahn prinzipiell durchgehend beobachtbar. Der Komet ist bekannt für seine zahlreichen Helligkeitsausbrüche, so dass er immer einen "Blick" wert ist. Siehe Cometography Vol. 3.

Bahnelemente:

| T [UT] | ω [°] | Ω [°] | i [°] | q [AE] | e [AE] | P [a] | Epoche |
|---|---|---|---|---|---|---|---|
| 2034 03 14,4238 | 51,1989 | 312,3991 | 9,3549 | 5,79799 | 0,04291 | 14,91 | 12.11.2026 |

Fotos und Beobachtungen liegen seitens der Fachgruppe im Berichtszeitraum nicht vor.

Der Komet **29P/Schwassmann-Wachmann** (P=14,91[a]) kann wieder am Morgenhimmel aufgesucht werden, wenn auch in nur geringer Horizonthöhe. Er bewegt sich im Grenzbereich der Sternbilder Jungfrau und Rabe. Nachdem seine Helligkeit zwischen Mai und Juli von 11[m] auf 14,5[m] zurückgegangen war, wurde Anfang November ein erneuter Ausbruch gemeldet.

## Komet 63P/Wild

P. Wild (Schweiz) entdeckte den 14,4 mag hellen Kometen auf Aufnahmen vom 26.03.1960. E. Roemer gelang am 08.01.1973 die Wiederentdeckung des etwa 19,5 mag hellen Kometen. Siehe Cometography Vol. 5.

Bahnelemente:

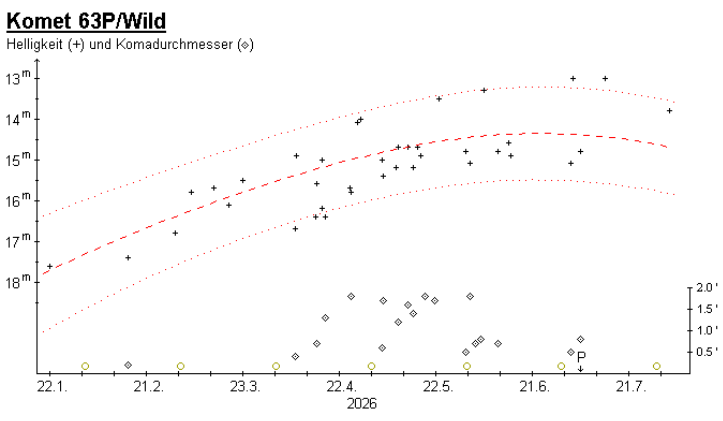
| T [UT] | ω [°] | Ω [°] | i [°] | q [AE] | e [AE] | P [a] | Epoche |
|---|---|---|---|---|---|---|---|
| 2026 07 6,1355 | 168,7388 | 357,7377 | 19,6204 | 1,975 | 0,650575 | 13,44 | 12.11.2026 |

Helligkeitsmeldungen der FG Kometen im ICQ-Format:

| Zeitpunkt YYYY MM DD.Dd | Beobachtungsdaten M[mm.m:rfAAA.ATF/xxxx >dd.ddnDC >t.tt GGG: | Beobachter | Mag | Bemerkungen |
|---|---|---|---|---|
| 2026 08 02.74 | Z 13.8 BG 10.6R 5a960 3.2 | LEH02I | C 3.2 | mMC3 IMX AIR 5 1.5s 1.5 Location: Hakos (remote); Comment: CMOS/G, mlim=18.9 |

Fotos liegen seitens der Fachgruppe im Berichtszeitraum nicht vor.

Eine kleine Zahl zusätzlicher Beobachtungen des Kometen **63P/Wild** (P=13,44[a]) bis Ende Juli bestätigen die Resultate im Sst 207, reduzieren jedoch die Streuung nicht. Basierend auf 47 Beobachtungen von 16 Beobachtern ergeben sich die gemittelten Helligkeitsparameter zu $m_0$ = 0,5[m] / n = 16, wobei diese eine Streuung von ±0,5[m] aufweisen. Damit erreichte der Komet Ende Juni 2026 eine Maximalhelligkeit von etwa 14,3[m] (mit einer Unsicherheit von ±0,5[m]). Im September dürfte er schwächer als 16[m] geworden sein.



# Komet 65P/Gunn

James Edward Gunn (Palomar Observatory) entdeckte den Kometen mit einer Helligkeit von etwa 16 mag auf einer Aufnahme vom 27.10.1970. Nachträglich wurde der Komet von J. Dengel und R. Weinberger im Jahr 1980 auch auf Aufnahmen vom 08.08.1954 identifiziert. Der Komet gehört der Jupiter-Familie an. Siehe Cometography Vol. 4 und 5.

Bahnelemente:

| T [UT] | ω [°] | Ω [°] | i [°] | q [AE] | e [AE] | P [a] | Epoche |
|---|---|---|---|---|---|---|---|
| 2025 06 16,0385 | 213,5859 | 61,9594 | 9,1754 | 2,925359 | 0,248083 | 7,67 | 12.11.2026 |

Fotos und Beobachtungen der FG Kometen:

| Zeitpunkt | Details zur Aufnahme |
|---|---|
| 2026 August 13 18:24 UT | Planewave 20" CDK, FLI Proline 16803, 300s, T 17,8 mag, T59, Siding Spring, Australien, Remote, Michael Hauss |
| 2026 September 06 18:01 UT | Richey-Chrétien 12,5" f/9, Apogee Aspen Alta U16, 4x300s, T 18,2 mag, Siding Spring, Australien, Remote, Michael Hauss |
| 2026 October 13 21.16 UT | 9x120 sec, 0.4-m f/3.8 Orion Optics AG16, SBIG STL6303E, B96 BRIXIIS Observatory Kruibeke Belgium Erik Bryssinck |

Helligkeitsmeldungen der FG Kometen im ICQ-Format:

| Zeitpunkt YYYY MM DD.Dd | Beobachtungsdaten M[mm.m:rfAAA.ATF/xxxx >dd.ddnDC >t.tt GGG: | Beobachter | Mag | Bemerkungen |
|---|---|---|---|---|
| 2026 08 12.04 | Z 18.4 BG 27.9L 2D920 0.5 | LEH02I | C 0.5 | mZCP IMX AIR 5 1.2s 1.2 Location: Weimar; Comment: CMOS OSC/G, mlim=21.2 |

Auf den Aufnahmen der Fachgruppe zeigt der etwa 18 mag helle Komet eine kleine Koma.

# Komet 78P/Gehrels

Ende Oktober 1973 entdeckte T. Gehrels den etwa 15 - 16 mag hellen Kometen auf einer Aufnahme vom 29.09.1973. B.G. Marsden berechnete eine elliptische Bahn des Kometen. Am 08.06.1981 konnten W.D. und A.L. Cochran den Kometen mit einer Helligkeit von 19,5 mag wiederentdecken. Siehe Cometography Vol. 5.

Bahnelemente:

| T [UT] | ω [°] | Ω [°] | i [°] | q [AE] | e [AE] | P [a] | Epoche |
|---|---|---|---|---|---|---|---|
| 2026 06 25,1480 | 192,8166 | 210,4895 | 6,2573 | 2,004608 | 0,462973 | 7,21 | 12.11.2026 |

Fotos und Beobachtungen der FG Kometen:

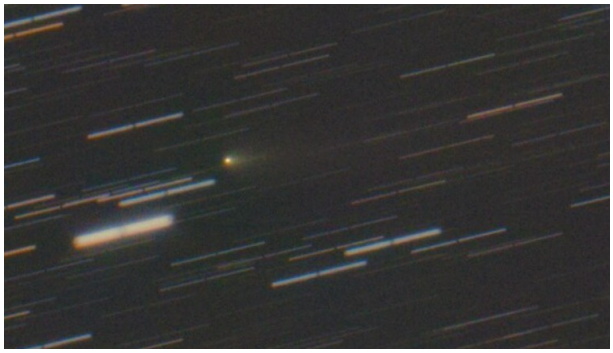
| Zeitpunkt | Details zur Aufnahme |
|---|---|
| 2026 August 11 02.03 UT | 11x80sec. 12" f=4 QHY 600 Michael Jäger, Gerald Rhemann |
| 2026 August 11 02.03 UT | 12x80sec. 12" f=4 QHY 600 Michael Jäger, Gerald Rhemann |
| 2026 August 23 01.55-02.52 UT | 27x2 min, Gain 160, Touptek SkyEye 62 AC, RASA 11, erstellt mit AIRTOOLS, Köditz centered on comet Steffen Fritsche |
| 2026 August 23 01.55-02.52 UT | 27x2 min, Gain 160, Touptek SkyEye 62 AC, RASA 11, erstellt mit AIRTOOLS, NGC 2175, Köditz Steffen Fritsche |
| 2026 August 23 02.33 UT | 8x60sec. 16"/3.2 QHY 600 comet near NGC 2174 Michael Jäger und Gerald Rhemann |
| 2026 September 02 02:20 UT | 10x90sec, 16" f/2.5, ASI6200MC Roland Fichtl |
| 2026 September 02 02.17-03.12 UT | 16x2 min, Gain 160, Touptek SkyEye 62AC, RASA 11, erstellt mit AIRTOOLS, Köditz centered on comet Steffen Fritsche |
| 2026 September 08 02.31 UT | 7x100sec. 12" f=4 QHY 600 Michael Jäger, Gerald Rhemann |
| 2026 September 13 02.20 UT | 4x100sec. 12"/f-3.3 QHY 600 Michael Jäger, Gerald Rhemann |
| 2026 September 16 01.55 UT | 19x90sec. 12"/3.3 QHY 600 Michael Jäger, Gerald Rhemann |
| 2026 September 20 01.58 UT | 6x120sec. 16"/3.2 QHY 600 14m0 coma 1min tail 25min Michael Jäger, Gerald Rhemann |
| 2026 September 23 01:27 UT | Newton 8" f/4, Canon EOS 600D, exp. 72x30s, scale 1.1arcsec/px, North is up. Miroslav Lošťák, Karlovy Vary, Czech Rep., SMPH |
| 2026 September 23 01:33-03:16 UT | 30cm RC+Fuji GFX 50x2min Amateursternwarte Schönebeck Uwe Wohlrab |
| 2026 October 09 11:31 UT | Planewave 17" CDK f/4,5, FLI-PL 6303E, 300s, Koma 20", Schweif 2,7' PA 277°, T 13,8 mag, T21, Utah, USA, Remote, Michael Hauss |
| 2026 October 12 02.48 UT | 6x120sec. 12"/3.3 QHY 600 Michael Jäger, Gerald Rhemann |
| 2026 October 17 01.40 UT | 6x3min 12"/3.3 ASI 2600 MC 1x1 Michael Jäger, Gerald Rhemann |
| 2026 October 17 01.40 UT | 12x180sec. 12"/3.3 ASI 2600 MC Michael Jäger, Gerald Rhemann |
| 2026 October 20 03.00 UT | 22x 30sec. 130mm Newton F3 QHY 290mm Walter Kutschera |

Helligkeitsmeldungen der FG Kometen im ICQ-Format:

| Zeitpunkt YYYY MM DD.Dd | Beobachtungsdaten M[mm.m:rfAAA.ATF/xxxx >dd.ddnDC >t.tt GGG: | Beobachter | Mag | Bemerkungen |
|---|---|---|---|---|
| 2026 08 19.16 | Z 13.5 BG 10.6R 5a960 2.1 0.16 272 | LEH02I | C 2.1 | mMC3 IMX AIR 5 1.5s 1.5 Location: Hakos (remote); Comment: CMOS/G, mlim=19.7 |
| 2026 08 23.10 | Z 13.2 BG 27.9L 2C240 3.0 0.09 271 | FRI02I | C 3.0 | mTSC IMX AIR 5 1.3s 1.3 Location: Koeditz; Comment: CMOS OSC/G, mlim=20.7 |
| 2026 09 02.11 | Z 13.6 BG 27.9L 2C120 2.5 0.08 273 | FRI02I | C 2.5 | mTSC IMX AIR 5 1.3s 1.3 Location: Koeditz; Comment: CMOS OSC/G, mlim=20.6, moon 74% dist 57 deg |
| 2026 09 23.08 | V 14.7 AV 5.0R 5B390 0.6 0.7m274 ICQ XX | MEY I | C 0.6 | 3mS50 IM2 TYT 0 U9*0.05 14.6 2.4s 2.4 |
| 2026 10 13.13 | Z 13.3 BG 27.9L 2B640 4.1 0.73 279 | LEH02I | C 4.1 | mZCP IMX AIR 5 1.2s 1.2 Location: Weimar; Comment: CMOS OSC/G, mlim=21.1 |
| 2026 10 20.22 | V 14.7 AV 50.8L 5 a20 0.7 5 0.016m | KUT | 6.0 | |
| 2026 10 23.15 | Z 14.3 BG 03.5R 4D020 1.5 | PIL01I | C 1.5 | mDW3 IM6 AIR 5 2.8s 2.8 Location: Leipzig; Comment: CMOS OSC/G |
| 2026 10 29.14 | Z 14.3 BG 03.5R 4B340 1.5 | PIL01I | C 1.5 | mDW3 IM6 AIR 5 2.8s 2.8 Location: Leipzig; Comment: CMOS OSC/G, moon 88% dist 44 deg |

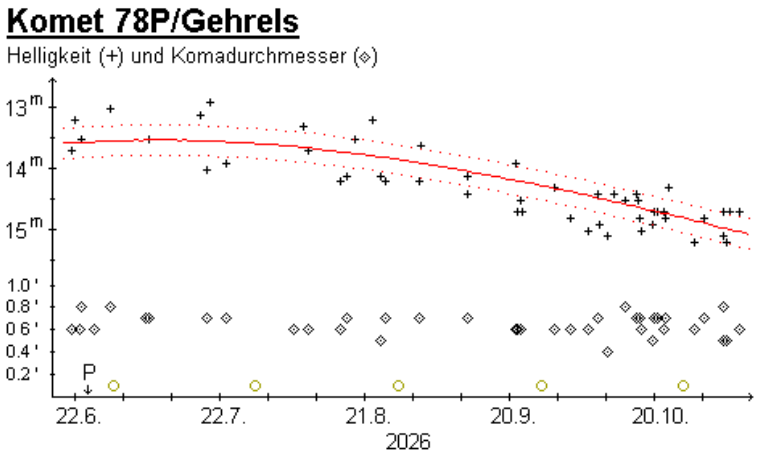


Komet **78P/Gehrels** am 08. September 2026 um 02:31 UT, 7 x 100 Sekunden belichtet, 12" f=4 QHY 600, Michael Jäger und Gerald Rhemann



Komet **78P/Gehrels** am 23. September 2026 um 01:33-03:16 UT, 30cm RC+Fuji GFX, 50 x 2 Minuten belichtet, Amateursternwarte Schönebeck, Uwe Wohlrab

Erst kurz vor seinem Periheldurchgang konnte der Komet **78P/Gehrels** (P=7,21[a]) beobachtet werden. Basierend auf 57 Beobachtungen (fast ausschließlich per CCD) von 18 Beobachtern kann die Helligkeitsentwicklung gut mit den Parametern $m_0$ = -1,5[m] / n = 17 dargestellt werden, was eine Maximalhelligkeit von 13,5[m] zum Perihelzeitpunkt bedeutet. Bis Anfang November war diese wieder auf 15,0[m] zurückgegangen. Während der scheinbare Durchmesser der mäßig (DC 4) verdichteten Koma nur geringfügig zurückging (von 0,7‘ auf 0,6‘) schrumpfte der absolute Komadurchmesser tatsächlich merklich, nämlich von 80.000 km auf 50.000 km. Ein maximal 3‘ (750.000 km) langer, nach West gerichteter Schweif wurde über die gesamte Sichtbarkeit hinweg festgestellt.




Sollte der Komet der skizzierten Helligkeitsentwicklung weiter folgen, wird er Mitte Dezember schwächer als 16[m]. Im Sternbild Krebs positioniert, kann er nahezu die ganze Nacht über beobachtet werden.

## Komet 84P/Giclas

H. L. Giclas (Lowell Observatory) entdeckte den 15,6 mag hellen Kometen am 08.09.1978 mit einem 33-cm Astrographen. Er entdeckte den Kometen nachträglich auch auf einer Aufnahme vom 03.09.1978. S. Nakano errechnete eine elliptische Bahn und E. Verhart (Chamberlin Observatory, Colorado, USA) konnte den 20 mag hellen Kometen auf Aufnahmen von J. W. Briggs vom 22.06.1985 wiederentdecken. Siehe Cometography, Vol. 5 und 6.C. W. Tombaugh entdeckte den 15 mag hellen Kometen D/1931 R1 auf Aufnahmen des Lowell Observatorys ab dem 12.09.1931. Siehe IAUC 6161 (13.04.1995). R. J. Bouma (Groningen, Niederlande) erkannte, dass der Komet D/1931 R1 mit dem Kometen 84P identisch ist. Siehe IAUC 6168 (05.05.1995).

Bahnelemente:

| T [UT] | ω [°] | Ω [°] | i [°] | q [AE] | e [AE] | P [a] | Epoche |
|---|---|---|---|---|---|---|---|
| 2027 02 12,7225 | 281,7381 | 108,0796 | 7,5524 | 1,719934 | 0,515434 | 6,69 | 12.11.2026 |

Fotos und Beobachtungen der FG Kometen:

| Zeitpunkt | Details zur Aufnahme |
|---|---|
| 2026 August 06 16:40 UT | Richey-Chrétien 12,5" f/9, Apogee Aspen Alta U16, 4x300s,T 17,0 mag, T33, Siding Spring, Australien, Remote, Michael Hauss |
| 2026 August 20 11:55 UT | Richey-Chrétien 12,5" f/9, Apogee Aspen Alta U16, 4x300s, T 17,1 mag, T33, Siding Spring, Australien, Remote, Michael Hauss |
| 2026 August 29 12:53 UT | Planewave 20" CDK f/4, FLI PL6303E, 4x300s, T 17,1 mag, Siding Spring, Australien, Remote, Michael Hauss |
| 2026 October 10 11:47 UT | Planewave 20" CDK f/6,8, FLI 16200, 300s, Koma 10", Schweif 22" PA 68°, T 17,3 mag, T32, Siding Spring, Australien, Remote, Michael Hauss |

Auf den Aufnahmen von Michael Hauss zeigt der etwa 17 mag helle Komet einen Schweifansatz.

# Komet 88P/Howell

E.S. Howell (Palomar Observatory) entdeckte den 15 - 16 mag hellen Kometen auf einer Aufnahme vom 29.08.1981. Am 06.03.1987 gelangen A.C. Gilmore und P.M. Kilmartin (Neuseeland) die Wiederentdeckung des Kometen mit einem 61cm-Reflektor. Siehe Cometography Vol. 5.

Bahnelemente:

| T [UT] | ω [°] | Ω [°] | i [°] | q [AE] | e [AE] | P [a] | Epoche |
|---|---|---|---|---|---|---|---|
| 2026 03 18,7452 | 235,8549 | 56,6671 | 4,3821 | 1,3577 | 0,56325 | 5,48 | 12.11.2026 |

Fotos und Beobachtungen der FG Kometen:

| Zeitpunkt | Details zur Aufnahme |
|---|---|
| 2026 August 07 01.42-02.24 UT | 20x2 min, Gain 160, Touptek SkyEye 62 AC, RASA 11, erstellt mit AIRTOOLS, Köditz centered on comet Steffen Fritsche |
| 2026 August 09 00:35 UT | 120x15s, Canon EOS 600D + Samyang T/2.2 135mm @f/2.6, scale 6.7arcsec/px, North is up. Miroslav Lošťák, Karlovy Vary, Czech Rep., SMPH |
| 2026 August 09 01.01 UT | 54x10s, SeeStar S50, Garbsen Volker Kasten |
| 2026 August 09 02.01-02.30 UT | 14x2 min, Gain 160, Touptek SkyEye 62 AC, RASA 11, erstellt mit AIRTOOLS, Köditz centered on comet Steffen Fritsche |
| 2026 August 10 01:20 UT | 6x2min, 16" f/2.5, CDS-5D Roland Fichtl |
| 2026 August 11 01:50 UT | 8x3min, 16" f/2.5, CDS-5D Roland Fichtl |
| 2026 August 11 01.51 UT | 18x10 s, SeeStar S50, Garbsen Volker Kasten |
| 2026 August 12 02:24 UT | 55x30 sec., Seestar S50, Seestar S50, Roßtal Klemens Waldhör |
| 2026 August 13 01:03 UT | 18x10 s, SeeStar S50, Garbsen Volker Kasten |
| 2026 August 13 01:28 UT | 79x30 sec., Seestar S50, Seestar S50, Roßtal Klemens Waldhör |
| 2026 August 13 18:55 UT | Planewave 20" CDK, FLI Proline 16803, 300s, Koma 40", Schweif 47" PA 255°, T 13,5 mag, Siding Spring, Australien, Remote, Michael Hauss |
| 2026 August 14 00:25 UT | 44x30s.,Sigma ART 135mm/1,8, Canon Ra, Gahberg/Oberösterreich Rudolf Conrad |
| 2026 August 15 01:19-02:34 UT | 25cm F/3.3 Deltagraph + Fuji XT30 38x2min Hochgurgl/Ötztaler Alpen Uwe Wohlrab |
| 2026 August 15 01:34 UT | 37x30 sec., Seestar S50, Seestar S50, Roßtal Klemens Waldhör |
| 2026 August 16 03:26 UT | 12min (720x10sec) Seestar S50, Iseltwald, Schweiz, Remote, Martin Bill |
| 2026 August 23 01.03-01.53 UT | 24x2 min, Gain 160, Touptek SkyEye 62 AC, RASA 11, erstellt mit AIRTOOLS, Köditz centered on comet Steffen Fritsche |
| 2026 August 23 02.10 UT | 28x30sec. 130mm Newton F3 QHY 290mm Walter Kutschera |
| 2026 August 31 22.57 UT | (mid time), 328x6 s, C8 (Celestar 8), ZWO ASI 1600MM Pro, Maremma countryside-Italy-Fabrizio Montanucci |
| 2026 September 01 01:12 UT | Planewave CDK24, FLI ProLine KAF-16803, 120s, Koma 16", T 14,2 mag, Teneriffa, Remote, Michael Hauss |
| 2026 September 04 01:31 UT | Planewave CDK24, FLI ProLine KAF-16803, 120s, Koma 25", Schweif 1,1' PA 250°, T 14,2 mag, Open University, ART, Teneriffa, Remote, Michael Hauss |
| 2026 September 06 00.29-01.22 UT | 25x2 min, Gain 160, Touptek SkyEye 62 AC, RASA 11, erstellt mit AIRTOOLS, Köditz centered on comet Steffen Fritsche |
| 2026 September 06 02.12 UT | 21x 30sec. 130mmNewton F3 QHY 290mm Walter Kutschera |
| 2026 September 07 00.42 UT | 15x100sec. 12"/3.3 QHY 600 Michael Jäger, Gerald Rhemann |
| 2026 September 16 00.45 UT | 24x30 sec. 130mm Newton F5 QHY 290mm Walter Kutschera |
| 2026 September 23 00:33 UT | Newton 8" f/4, Canon EOS 600D, exp. 61x30s, scale 1.1arcsec/px, North is up. Miroslav Lošťák, Karlovy Vary, Czech Rep., SMPH |
| 2026 September 25 02:18 UT | 71x30 sec., Seestar S50, Seestar S50, Roßtal Klemens Waldhör |
| 2026 September 26 02:22 UT | 66x30 sec., Seestar S50, Seestar S50, Roßtal Klemens Waldhör |
| 2026 September 26 03:18 UT | 24x30 sec., RASA 8, ZWO ASI2600MC Pro, Roßtal Klemens Waldhör |
| 2026 September 27 02:25 UT | 80x30 sec., Seestar S50, Seestar S50, Roßtal Klemens Waldhör |
| 2026 October 01 01:32 UT | 68x30 sec., Seestar S50, Seestar S50, Roßtal Klemens Waldhör |
| 2026 October 04 02:16 UT | 11x30 sec., RASA 8, ZWO ASI2600MC Pro, Roßtal Klemens Waldhör |
| 2026 October 07 07:42 UT | Planewave 20" CDK f/4,5, FLI ProLine PL11002M, 300s, Koma 30", T 14,2 mag, Utah, USA, Remote, Michael Hauss |
| 2026 October 12 00:14 UT | 1x30 sec., Seestar S50, Seestar S50, Roßtal Klemens Waldhör |
| 2026 October 13 00.56-01.49 UT | 13x4 min, Gain 160, Touptek SkyEye 62 AC, RASA 11, erstellt mit AIRTOOLS, Köditz centered on comet Steffen Fritsche |

Helligkeitsmeldungen der FG Kometen im ICQ-Format:

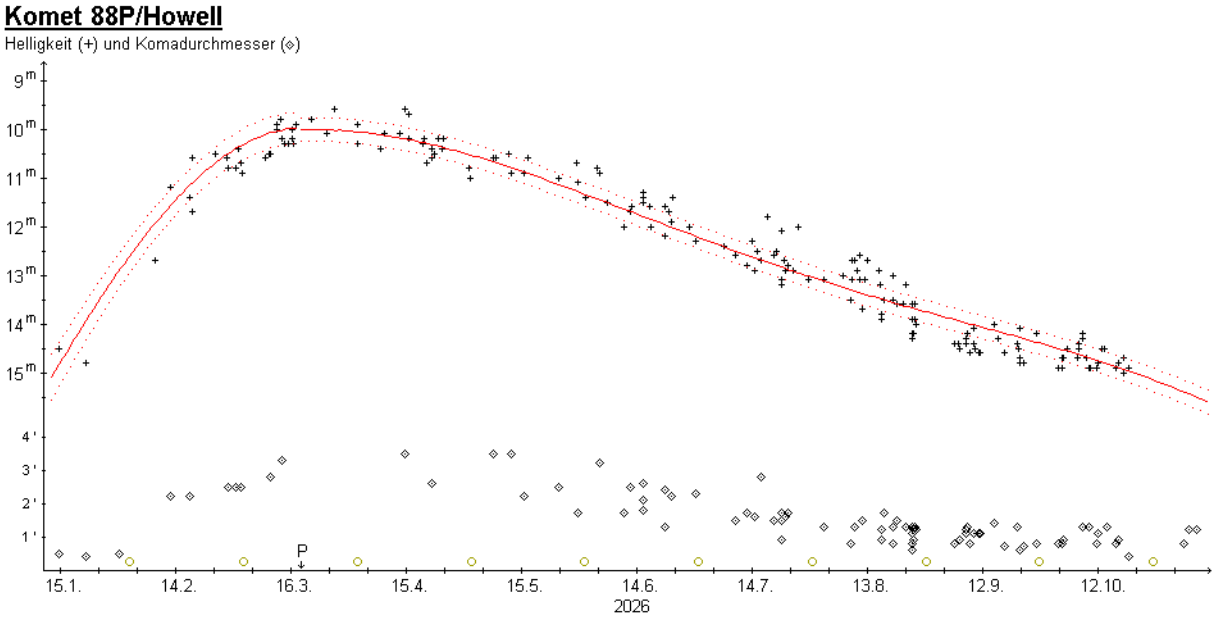
| Zeitpunkt YYYY MM DD.Dd | Beobachtungsdaten M[mm.m:rfAAA.ATF/xxxx | >dd.ddnDC | >t.tt | GGG: | Beobachter | Mag | Bemerkungen |
|---|---|---|---|---|---|---|---|
| 2026 08 07.08 | Z 11.8 BG 27.9L 2B400 | 6.5 | 0.09 | 250 | FRI02I | C 6.5 | mTSC IMX AIR 5 1.3s 1.3 Location: Koeditz; Comment: CMOS OSC/G, mlim=20.5, moon 39% dist 14 deg |
| 2026 08 09.09 | Z 11.8 BG 27.9L 2A680 | 6.5 | 0.11 | 253 | FRI02I | C 6.5 | mTSC IMX AIR 5 1.3s 1.3 Location: Koeditz; Comment: CMOS OSC/G, mlim=20.7, moon 18% dist 40 deg |
| 2026 08 15.14 | Z 12.1 BG 10.6R 5a900 | 6.5 | 0.31 | 251 | LEH02I | C 6.5 | mMC3 IMX AIR 5 1.5s 1.5 Location: Hakos (remote); Comment: CMOS/G, mlim=20.3 |
| 2026 08 23.06 | Z 12.0 BG 27.9L 2B880 | 7.3 | 0.14 | 252 | FRI02I | C 7.3 | mTSC IMX AIR 5 1.3s 1.3 Location: Koeditz; Comment: CMOS OSC/G, mlim=21.4 |
| 2026 08 23.18 | S 13.2 HS 50.8R 5 120 | 1.3 4 | | | KUT | 6.0 | |
| 2026 09 06.18 | V 14.5 HS 50.8L 5 a10 | 0.9 4 | 0.016 | | KUT | 5.5 | |
| 2026 09 09.98 | V 14.5 AV 5.0R 5A 10 | 1.0 | | ICQ XX | MEY I | C 1.0 | 3mS50 IM2 TYT 0 U9*0.07 14.6 2.4s 2.4 |
| 2026 09 10.98 | V 14.3 AV 5.0R 5B750 | 1.0 | 1.0m267 | ICQ XX | MEY I | C 1.0 | 3mS50 IM2 TYT 0 U9*0.05 14.4 2.4s 2.4 |
| 2026 09 11.16 | V 14.6 HS 50.8L 5 a20 | 1.1 5 | 0.03 | | KUT | 6.4 | |
| 2026 09 15.13 | Z 14.0 BG 03.5R 4A320 | 1.4 | | | PIL01I | C 1.4 | mDW3 IM6 AIR 5 2.8s 2.8 Location: Leipzig; Comment: CMOS OSC/G |
| 2026 09 16.11 | V 14.3 HS 50.8L 5 a20 | 1 5 | 0.035 | | KUT | 6.0 | |
| 2026 09 16.96 | V 14.0 AV 5.0R 5B180 | 1.7 | 3.2m257 | ICQ XX | MEY I | C 1.7 | 4mS50 IM2 TYT 0 U9*0.06 14.1 2.4s 2.4 |
| 2026 09 21.10 | Z 14.4 BG 03.5R 4D140 | 1.3 | | | PIL01I | C 1.3 | mDW3 IM6 AIR 5 2.8s 2.8 Location: Leipzig; Comment: CMOS OSC/G |
| 2026 09 23.00 | V 14.3 AV 5.0R 5B330 | 1.1 | 0.8m262 | ICQ XX | MEY I | C 1.1 | 1mS50 IM2 TYT 0 U9*0.04 14.3 2.4s 2.4 |
| 2026 09 23.01 | Z 13.1 BG 27.9L 2B760 | 4.2 | 0.45 | 251 | LEH02I | C 4.2 | mZCP IMX AIR 5 1.2s 1.2 Location: Weimar; Comment: CMOS OSC/G, mlim=21.2, moon 86% dist 95 deg |
| 2026 09 25.99 | V 15.0 AV 5.0R 5B360 | 0.7 | | ICQ XX | MEY I | C 0.7 | 1mS50 IM2 TYT 0 U9*0.06 15.1 2.4s 2.4 |
| 2026 10 12.98 | Z 14.1 BG 27.9L 2B880 | 2.3 | 0.66 | 249 | LEH02I | C 2.3 | mZCP IMX AIR 5 1.2s 1.2 Location: Weimar; Comment: CMOS OSC/G, mlim=21.3 |
| 2026 10 13.06 | Z 13.0 BG 27.9L 2C120 | 4.5 | 0.21 | 246 | FRI02I | C 4.5 | mTSC IMX AIR 5 1.3s 1.3 Location: Koeditz; Comment: CMOS OSC/G, mlim=21.8 |



Komet **88P/Howell** am 10. August 2026 um 01:20 UT, 6 x 2 Minuten belichtet, 16" f/2,5, CDS-5D, Roland Fichtl



Komet **88P/Howell** am 15. August 2026 um 01:19-02:34 UT, 25cm F/3,3 Deltagraph + Fuji XT30 38 x 2 Minuten belichtet, Hochgurgl/Ötztaler Alpen, Uwe Wohlrab




Obwohl sich die Anzahl der für die Auswertung verwendeten Beobachtungen des Kometen **88P/Howell** (P=5,48[a]) im Vergleich zu Sst 207 nahezu verdoppelte, ergeben sich die gleichen Helligkeitsparameter. Der Komet zeigte vor dem Perihel eine fast explosionsartige Aktivitätszunahme, während die Abnahme nach dem Perihel deutlich langsamer, aber immer noch überdurchschnittlich erfolgte. Auf der Basis von 208 Beobachtungen (mehrheitlich per CCD) von 33 Beobachtern ergeben sich folgende Parameter:

vor dem Perihel: $m_0 = -3{,}8^m$ / n = 37
nach dem Perihel: $m_0 = 5{,}7^m$ / n = 8,5

Damit erreichte der Komet in den Tagen des Periheldurchgangs (Mitte März 2026) eine Maximalhelligkeit von $10{,}0^m$. Ende Oktober war die Helligkeit auf $15{,}0^m$ zurückgegangen und dürfte Mitte November $16{,}0^m$ betragen. Der Komadurchmesser nahm vor dem Perihel rasch von 0,5‘ (50.000 km) auf 3,3‘ (290.000 km) zu. Diese Werte blieben bis Ende Mai konstant. Danach ging der Durchmesser bis Anfang August auf 1,2‘ (90.000 km) zurück, wo er seitdem verharrt. Die Koma war anfangs ziemlich diffus (DC 2-3), zeigte sich aber im Mai/Juni mäßig verdichtet (DC 4). Danach wurde die Koma langsam wieder diffuser (Ende Oktober: DC 2-3). CCD-Beobachter registrierten zwischen Mai und Oktober einen maximal 7‘ (1,2 Mill. km) langen Schweif, der konstant nach WSW wies.

## Komet 112P/Urata-Niijima

Im Rahmen eines Asteroiden Suchprogramms entdeckten T. Urata und T. Niijima (Japan) das 16 mag helle Objekt als 1986 UD auf Aufnahmen vom 30.10.1986. Die kometaren Eigenschaften des Objekts wurden von T. Seki (Japan) am 03.11.1986 erkannt. Unabhängig davon entdeckte M. Lovas den Kometen auf Aufnahmen vom 04.11.1986. Nachträglich konnte der Komet auch auf einer Aufnahme vom 29.10.1986 von K. Augustesen identifiziert werden. Zudem erkannte S. Nakano im August 1987, dass der Komet identisch zum Objekt 1986 TD4 ist, welches am 04.10.1986 von E. F. Helin entdeckt wurde.

Auf der Basis der Bahnberechnunge von S. Nakano konnte J. V. Scotti (Kitt Peak) den Kometen auf Aufnahmen vom 20.10.1993 als 22,7 mag helles Objekt wiederentdeckt werden. Siehe Cometography Vol. 6.

Bahnelemente:

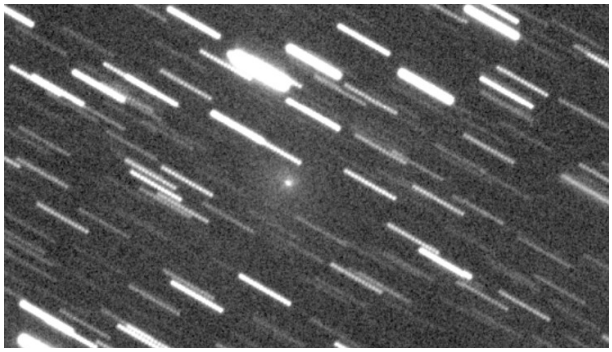
| T [UT] | ω [°] | Ω [°] | i [°] | q [AE] | e [AE] | P [a] | Epoche |
|---|---|---|---|---|---|---|---|
| 2026 09 21,8540 | 21,5758 | 31,7935 | 24,2041 | 1,441202 | 0,590763 | 6,61 | 12.11.2026 |

Fotos und Beobachtungen der FG Kometen:

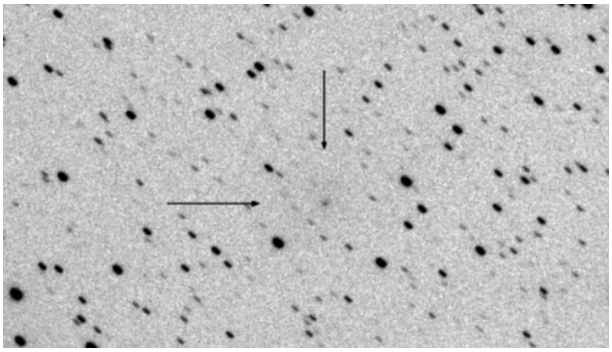
| Zeitpunkt | Details zur Aufnahme |
|---|---|
| 2026 August 23 01.15 UT | 15x120sec. 16"/3.2 QHY 600 Michael Jäger, Gerald Rhemann |
| 2026 September 07 01.52 UT | 16x100sec. 12"/3.3 QHY 600 Michael Jäger, Gerald Rhemann |
| 2026 September 08 10:12 UT | Planewave DeltaRho 500mm f/3,0, ZWO ASI 6200, 300s, T 16,1 mag, Utah, USA, Remote, Michael Hauss |
| 2026 September 15 01:10 UT | 8x2min, 16" f/2.5, ASI6200MM Roland Fichtl |
| 2026 September 16 01.40 UT | 5x90sec. 12"/3.3 QHY 600 Michael Jäger, Gerald Rhemann |
| 2026 September 19 00.47-01.47 UT | 28x2 min, Gain 160, Touptek SkyEye 62 AC, RASA 11, erstellt mit AIRTOOLS, Köditz centered on comet Steffen Fritsche |
| 2026 September 20 01.40 UT | 9x120sec. 16"/3.2 QHY 600 Michael Jäger, Gerald Rhemann |
| 2026 October 06 01:26-03:26 UT | 30cm RC+Fuji GFX 119x1min Amateursternwarte Schönebeck Uwe Wohlrab |
| 2026 October 06 01.16 UT | 10x120sec. 16"/3.2 QHY 600 Michael Jäger, Gerald Rhemann |
| 2026 October 14 23:50 UT | 42x2min, 16" f/2.5, ASI6200MM Roland Fichtl |
| 2026 October 23 03.03 UT | 10x120sec. 12"/3.3 QHY 600 Michael Jäger, Gerald Rhemann |

Helligkeitsmeldungen der FG Kometen im ICQ-Format:

| Zeitpunkt YYYY MM DD.Dd | Beobachtungsdaten M[mm.m:rfAAA.ATF/xxxx >dd.ddnDC >t.tt GGG: | Beobachter | Mag | Bemerkungen |
|---|---|---|---|---|
| 2026 09 19.05 | Z 14.1 BG 27.9L 2C360 3.5 | FRI02I | C 3.5 | mTSC IMX AIR 5 1.3s 1.3 Location: Koeditz; Comment: CMOS OSC/G, mlim=21.1 |
| 2026 09 23.09 | Z 14.0 BG 27.9L 2C360 3.5 | LEH02I | C 3.5 | mZCP IMX AIR 5 1.2s 1.2 Location: Weimar; Comment: CMOS OSC/G, mlim=21.4 |
| 2026 09 29.11 | Z 16.4 BG 03.0R 5E850 0.5 | PIL01I | C 0.5 | mDW3 IM6 AIR 5 4.0s 4.0 Location: Leipzig; Comment: CMOS OSC/G, moon 93% dist 64 deg |
| 2026 10 06.08 | Z 16.2 BG 03.0R 5E940 2.1 | PIL01I | C 2.1 | mDW3 IM6 AIR 5 4.0s 4.0 Location: Leipzig; Comment: CMOS OSC/G, moon 23% dist 33 deg |
| 2026 10 13.16 | Z 13.8 BG 27.9L 2B640 4.7 | LEH02I | C 4.7 | mZCP IMX AIR 5 1.2s 1.2 Location: Weimar; Comment: CMOS OSC/G, mlim=21.2 |



Komet **112P/Urata-Niijima** am 23. August 2026 um 01:15 UT, 15 x 120 Sekunden belichtet, 16"/3,2 QHY 600, Michael Jäger, Gerald Rhemann



Komet **112P/Urata-Niijima** am 08. September 2026 um 10:12 UT, Planewave DeltaRho 500mm f/3,0, ZWO ASI 6200, 300 Sekunden belichtet, Michael Hauss

## Komet 114P/Wiseman-Skiff

Entdeckt wurde der 14 mag helle Komet von J. Wiseman auf Aufnahmen von B. A. Skiff vom 28.12.1986 mit einem 33-cm Teleskop am Lowell Observatory. Auf Basis der Bahnberechnung von S. Nakano konnte der Komet dann im Februar 1993 von B. P. Schmidt wiederentdeckt werden. Siehe Cometography Vol. 6.

Bahnelemente:

| T [UT] | ω [°] | Ω [°] | i [°] | q [AE] | e [AE] | P [a] | Epoche |
|---|---|---|---|---|---|---|---|
| 2026 09 15,0012 | 172,8529 | 271,0206 | 18,3029 | 1,570689 | 0,556198 | 6,66 | 12.11.2026 |

Fotos und Beobachtungen der FG Kometen:

| Zeitpunkt | Details zur Aufnahme |
|---|---|
| 2026 August 23 01.52 UT | 14x90sec. 16"/3.2 QHY 600 Michael Jäger, Gerald Rhemann |
| 2026 September 15 02:40 UT | 12x2min, 16" f/2.5, ASI6200MM Roland Fichtl |
| 2026 September 16 02.24 UT | 14x90sec. 12"/3.3 QHY 600 Michael Jäger, Gerald Rhemann |
| 2026 September 20 02.12 UT | 8x100sec. 16"/3.2 QHY 600 Michael Jäger, Gerald Rhemann |
| 2026 October 09 11:47 UT | Planewave 17" CDK f/4,5, FLI-PL 6303E, 300s, T 16,9 mag, T21, Utah, USA, Remote, Michael Hauss |
| 2026 October 20 02:04-03:10 UT | 30cm RC+FujiGFX 65x1min Amateursternwarte Schönebeck Uwe Wohlrab |

Auf den Aufnahmen der Fachgruppe zeigt der etwa 17 mag helle Komet einen kurzen Schweif.

## Komet 123P/West-Hartley

Bei der Begutachtung von Aufnahmen vom 14.03.1989 von G. Pizarro mit dem 1-m Schmidt Teleskop am La Silla Observatory (Chile) entdeckte R. M. West (ESO) den 17,5 mag hellen diffusen Kometen. Eine Bestätigung der Beobachtung blieb zunächst erfolglos, bis M. Hartley einen Kometen der Helligkeit von 17,0 mag auf einer Aufnahme vom 28.05.1989 mit dem 122-cm Schmidt Teleskop am Siding Spring Observatory entdeckte, der schnell mit der Entdeckung von R. M. West in Verbindung gebracht wurde. Die erste elliptische Bahn wurde von B. Marsden berechnet. J. V. Scotti konnte den 18,5 mag hellen Kometen am 21.09.1995 wiederentdecken. Siehe Cometography (Vol. 6) und Schweifstern 62.

Bahnelemente:

| T [UT] | ω [°] | Ω [°] | i [°] | q [AE] | e [AE] | P [a] | Epoche |
|---|---|---|---|---|---|---|---|
| 2026 09 21,8584 | 103,8743 | 45,845 | 15,2817 | 2,158738 | 0,444641 | 7,66 | 12.11.2026 |

Fotos und Beobachtungen der FG Kometen:

| Zeitpunkt | Details zur Aufnahme |
|---|---|
| 2026 October 12 03.27 UT | 4x80sec. 12"/3.2 QHY 600 Michael Jäger, Gerald Rhemann |

Auf der Aufnahme von Michael Jäger und Gerald Rhemann zeigt der etwa 15,9 mag helle Komet einen kurzen Schweif.

Der Komet **123P/West-Hartley** (P=7,66[a]) erreichte in den Tagen um sein Perihel lediglich eine Maximalhelligkeit von 16[m].

## Komet 139P/Vaisala-Oterma

Ursprünglich wurde dieser Komet als 15,8 mag helles asteroidales Objekt mit der Bezeichnung 1939 TN am 07.10.1939 von Yrjö Väisälä entdeckt. Erst im Jahr 1979 wurden die genauen Positionen des Kometen von Liisi Oterma veröffentlicht, der das Objekt als möglichen Kometen vorschlug. Im Rahmen des LINEAR-Programms wurde das asteroidale Objekt 1998 WG22 am 18.11.1998 entdeckt. S. Nakano erkannte, dass es sich bei 1939 TN und 1998 WG22 um ein und dasselbe Objekt handelte. Im Dezember konnten kometaren Eigenschaften des Objekts beobachtet werden. Siehe Schweifstern 80.

Bahnelemente:

| T [UT] | ω [°] | Ω [°] | i [°] | q [AE] | e [AE] | P [a] | Epoche |
|---|---|---|---|---|---|---|---|
| 2027 07 23,4399 | 166,1405 | 242,1091 | 2,3384 | 3,3925 | 0,247876 | 9,58 | 12.11.2026 |

Fotos und Beobachtungen der FG Kometen:

| Zeitpunkt | Details zur Aufnahme |
|---|---|
| 2026 October 18 21.04 UT | 20x100sec. 16"/3.2 QHY 600 Michael Jäger, Gerald Rhemann |

Auf der Aufnahme von Michael Jäger und Gerald Rhemann erscheint der etwa 19,2 mag helle Komet nahezu sternförmig.

## Komet 161P/Hartley-IRAS

M. Hartley (Australien) entdeckte den 15 mag hellen Kometen auf einer Aufnahme vom 04.11.1983. Noch bevor die Entdeckung bestätigt wurde, meldeten J. Davies und S. F. Green (England) die Entdeckung eines 15,5 mag hellen Kometen auf einer Aufnahme mit dem Satelliten IRAS vom 10.11.1983. K. S. Russell (Australien) erkannte die Identität beider Objekte und bestätigte diese auch am 23.11.1983. R. H. McNaught gelang die Wiederentdeckung des 18 mag hellen Kometen auf Aufnahmen vom 3. und 5. November 2004. Siehe Cometography Vol. 6 und Schweifstern 109.

Bahnelemente:

| T [UT] | ω [°] | Ω [°] | i [°] | q [AE] | e [AE] | P [a] | Epoche |
|---|---|---|---|---|---|---|---|
| 2026 11 27,1784 | 47,0653 | 1,4736 | 95,7921 | 1,265109 | 0,836171 | 21,46 | 12.11.2026 |

Fotos und Beobachtungen der FG Kometen:

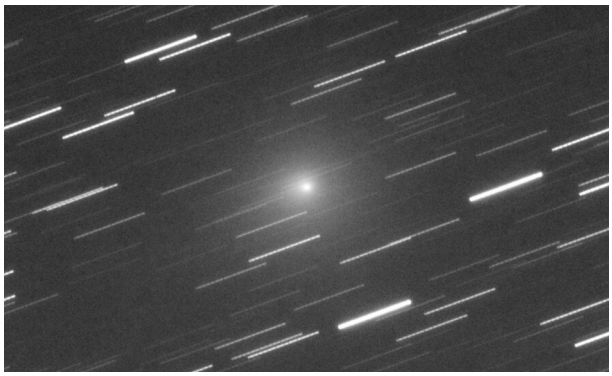
| Zeitpunkt | Details zur Aufnahme |
|---|---|
| 2026 August 13 18:37 UT | Planewave 20" CDK, FLI Proline 16803, 300s, T 15,8 mag, T59, Siding Spring, Australien, Remote, Michael Hauss |
| 2026 August 15 18:31 UT | Richey-Chrétien 12,5" f/9, Apogee Aspen Alta U16, 4x300s, T 15,7 mag, T33, Siding Spring, Australien, Remote, Michael Hauss |
| 2026 August 24 02.01-02.58 UT | 26x2 min, Gain 160, Touptek SkyEye 62 AC, RASA 11, erstellt mit AIRTOOLS, Köditz centered on comet Steffen Fritsche |
| 2026 September 04 18:01 UT | Richey-Chrétien 12,5" f/9, Apogee Aspen Alta U16, 4x300s, Koma 18", Schweifansatz PA 273°, T 13,9 mag, Siding Spring, Australien, Remote, Michael Hauss |
| 2026 September 06 01.36-02.05 UT | 26x2 min, Gain 160, Touptek SkyEye 62 AC, RASA 11, erstellt mit AIRTOOLS, Köditz centered on comet Steffen Fritsche |

| Zeitpunkt | Details zur Aufnahme |
|---|---|
| 2026 September 06 02:30 UT | 11x2min, 16" f/2.5, ASI6200MC Roland Fichtl |
| 2026 September 07 01.00 UT | 12x100sec. 12"/3.3 QHY 600 Michael Jäger, Gerald Rhemann |
| 2026 September 09 01.30 UT | 12x180sec. RGB 12" f=4 QHY 600 Michael Jäger, Gerald Rhemann |
| 2026 September 13 00.58 UT | (mid time), 83x30 s, C11, ZWO ASI 1600MM Pro, Rome-Italy-Fabrizio Montanucci |
| 2026 September 14 21:14 UT | ASA Astrograph 12" f=3.6 Kamera: ZWO ASI 6200 MM Pro Bel.: LRGB 36/12/12/12 min., Remote, Gerald Rhemann, Michael Jäger |
| 2026 September 15 22.47 UT | 23x80sec. 12"/3.3 QHY 600 Michael Jäger, Gerald Rhemann |
| 2026 September 16 17:04 UT | Richey-Chrétien 12,5" f/9, Apogee Aspen Alta U16, 300s, 55", T 11,9 mag, Siding Spring, Australien, Remote, Michael Hauss |
| 2026 September 18 23.20-23.44 UT | 39x30 s, Gain 160, Touptek SkyEye 62 AC, RASA 11, erstellt mit AIRTOOLS, Köditz centered on comet Steffen Fritsche |
| 2026 September 20 00.05 UT | 8x120sec. 16"/3.2 QHY 600 Michael Jäger, Gerald Rhemann |
| 2026 September 20 00.08 UT | 22x1min, Hypergraph8, Canon Ra, 30% crop, St. Ulrich 500m, Austria centered on comet Helmut Dannbauer |
| 2026 September 23 00.07-00.39 UT | 54x30 s, Gain 160, Touptek SkyEye 62 AC, RASA 11, erstellt mit AIRTOOLS, Köditz centered on comet Steffen Fritsche |
| 2026 September 30 19:42 UT | am Gahberg (nahe Sternwarte) Kamera: Canon EOS 600D Teleobjektiv: Sigma ART 135mm/1,8 Nachführung:Star-Adventurer-Montierung Belichtungszeit: 405 sec. Komposit: 27 Aufnahmen Empfindlichkeit: 800 ISO Kometen-Helligkeit: +11,2 Mag Entfernung: 56 Mill.Km Rudolf Conrad |
| 2026 September 30 20.10 UT | 200x30 s, C11, ZWO ASI 1600MM Pro, Rome-Italy-Fabrizio Montanucci |
| 2026 September 30 20.10 UT | (mid time), 12x30 s (each frame, animation, H264 codec), C11, ZWO ASI 1600MM Pro, Rome-Italy-Fabrizio Montanucci |
| 2026 September 30 20.10 UT | (mid time), 12x30 s (each frame, animation, H264 codec, satellites interpolated), C11, ZWO ASI 1600MM Pro, Rome-Italy-Fabrizio Montanucci |
| 2026 September 30 21:20 UT | 4 min a 10sec-subs, Seestar S50, Eurasburg Augsburg Markus Büchler |
| 2026 October 01 00.06-00.39 UT | 72x20 s, Gain 160, Touptek SkyEye 62 AC, RASA 11, erstellt mit AIRTOOLS, Köditz centered on comet Steffen Fritsche |
| 2026 October 02 20.44 UT | 20x1min., Takahashi Epsilon 130D, ASI2600mc pro Kamila Cymorek |
| 2026 October 03 20:10 UT | 4 min a 10sec-subs, Seestar S50, Eurasburg Augsburg Markus Büchler |
| 2026 October 03 21:06 UT | 46x30 sec., Seestar S50, Seestar S50, Roßtal Klemens Waldhör |
| 2026 October 04 20:27-20:58 UT | 61x30,APO 150mm (f/7.3),Altair Hypercam A26M + IR-blocking filter,L30 Lohbach-Observatory T. Zilch |
| 2026 October 04 20.24 UT | (mid time), 179x30 s, C11, ZWO ASI 1600MM Pro, Rome-Italy-Fabrizio Montanucci |
| 2026 October 04 20.24 UT | (mid time), 12x30 s (each frame, animation, H264 codec), C11, ZWO ASI 1600MM Pro, Rome-Italy-Fabrizio Montanucci |
| 2026 October 04 20.38 UT | Skywatcher Esprit 100 EDX Touptek 2600 MP ,LRGB 15/5/5/5 Norbert Mrozek |
| 2026 October 05 18:51-21:08 UT | 30cm RC+Fuji GFX 133x30s Amateursternwarte Schönebeck Uwe Wohlrab |
| 2026 October 05 19:30-20:55 UT | 41x90 s, VMC200 Reducer, ASI585mc, Karlsruhe Harald Kaiser |
| 2026 October 05 19.28 UT | 21x1 min, Hypergraph8, Canon Ra, 30% crop, St. Ulrich 500m, Austria centered on comet Helmut Dannbauer |
| 2026 October 05 21.11 UT | 26x90sec., Takahashi Epsilon 130D, ASI2600mc pro Kamila Cymorek |
| 2026 October 05 21.30 UT | 72x1sec. eaa 130mm Newton F3 QHY 290mm Walter Kutschera |
| 2026 October 05 22.26 UT | 11x100min 16"/3.2 QHY 600 Michael Jäger, Gerald Rhemann |
| 2026 October 05 23.39-00.09 UT | 49x30 s, Gain160, Touptek SkyEye 62 AC, RASA 11, erstellt mit AIRTOOLS, Köditz centered on comet Steffen Fritsche |
| 2026 October 05 23.39-00.09 UT | 49x30 s, Gain160, Touptek SkyEye 62 AC, RASA 11, erstellt mit AIRTOOLS, Köditz Steffen Fritsche |
| 2026 October 06 19:50 UT | 20x60sec, Takahashi E130D, ZWO ASI 533mc-pro, Gahberg, Österreich Oliver Schneider |
| 2026 October 06 19:55 UT | Canon 600D, Sigma ART F=135mm/1,8 ISO 1600, BZ: 28x13 Sek. Gahberg (OÖ) Rudof Conrad |
| 2026 October 06 20:37 UT | 141x15s, Canon EOS 600D + Samyang T/2.2 135mm @f/2.6, centered on comet, North is up. Miroslav Lošťák, Karlovy Vary, Czech Rep., SMPH |
| 2026 October 06 20.05 UT | 2x 30sec. 130mm Newton F3 QHY 290mm Walter Kutschera |
| 2026 October 07 20.00 UT | LRGB 20/5/5/5min 12" f=4 QHY 600 Michael Jäger, Gerald Rhemann |
| 2026 October 08 12:35 UT | Richey-Chrétien 12,5" f/9, Apogee Aspen Alta U16, 2x300s, Koma 3,5‘, T 10,5 mag, Siding Spring, Australien, Remote, Michael Hauss |
| 2026 October 08 20.29 UT | 36x10 s, SeeStar S50, Garbsen Volker Kasten |
| 2026 October 11 12:52 UT | Planewave 20" CDK, FLI Proline 16803, 300s, Koma 3‘, schwacher Schweif 2,3‘ PA 94°, T 10,2 mag, Siding Spring, Australien, Remote, Michael Hauss |
| 2026 October 11 18.36 UT | 12x10 s, SeeStar S50, Garbsen Volker Kasten |
| 2026 October 11 19:50 UT | 18x45sec, 16" f/2.5, ASI6200MM Roland Fichtl |
| 2026 October 11 19:55 UT | 1x30 sec., Seestar S50, Seestar S50, Roßtal Klemens Waldhör |
| 2026 October 12 18.57 UT | 36x10 s, SeeStar S50, Garbsen Volker Kasten |
| 2026 October 12 19:36 UT | Canon 600D, Sigma Art 135/f1.8, Iso 3200, BZ: 29x13s, Gahberg, Rudolf Conrad Rudolf Conrad |
| 2026 October 12 19.12 UT | 8" / 3.0 Newton Touptek 2600 MP ,LRGB 30/5/5/5 Norbert Mrozek |
| 2026 October 12 19.25 UT | Lacerta 30012c DSPro 2600M L41x40s, ASA N10 DSPro 2600C 39x40s, total: 53min, ASA DDM85, Crop 100% Sternwarte Gahberg Günter Kerschhuber |
| 2026 October 12 19.40-20.14 UT | 57x30s, Gain 160, Touptek SkyEye 62 AC, RASA 11, erstellt mit AIRTOOLS, Köditz centered on comet Steffen Fritsche |
| 2026 October 13 19.27 UT | 11x100sec. 12"/3.3 QHY 600 Michael Jäger, Gerald Rhemann |
| 2026 October 13 19.52 UT | (mid time), 201x30 s, C11, ZWO ASI 1600MM Pro, Rome-Italy-Fabrizio Montanucci |
| 2026 October 13 19.52 UT | (mid time), 12x30 s (each frame, animation, H264 codec), C11, ZWO ASI 1600MM Pro-Rome-Italy-Fabrizio Montanucci |
| 2026 October 14 20:00 UT | 4 min. a 10sec-subs, Seestar S50, Eurasburg Augsburg Markus Büchler |
| 2026 October 14 20:30 UT | je 6x2min RGB, 16" f/2.5, ASI6200MM Roland Fichtl |
| 2026 October 14 20.44 UT | 10x90 sec., Takahashi Epsilon 130D, ASI2600mc pro Kamila Cymorek |
| 2026 October 15 20:35 UT | 1x30 sec., Seestar S50, Seestar S50, Roßtal Klemens Waldhör |
| 2026 October 16 19:25-19:35 UT | 5x1 min, RASA 20 cm F 400 mm, ASI 2600 C Dídac Mesa Romeu, Comiols, Lleida |
| 2026 October 16 19:25-20:05 UT | 30x1 min, RASA 20 cm F 400 mm, ASI 2600 C Dídac Mesa Romeu, Comiols, Lleida |
| 2026 October 24 18.51 UT | (mid time), 121x30 s, C11, ZWO ASI 1600MM Pro, Rome-Italy-Fabrizio Montanucci |
| 2026 October 27 18.44-19.31 UT | 28x1 min, Gain 160, Touptek SkyEye 62 AC, RASA 11, erstellt mit AIRTOOLS, Köditz centered on comet Steffen Fritsche |
| 2026 October 29 18.22-18.28 UT | 5x1 min, Gain 160, Touptek SkyEye 62 AC, RASA 11, erstellt mit AIRTOOLS, Köditz centered on comet Steffen Fritsche |
| 2026 October 30 18.20 UT | 8" / 3.0 Newton Touptek 2600 MP , L 7x180 s. Norbert Mrozek |
| 2026 October 30 18.20 UT | 8" / 3.0 Newton Touptek 2600 MP , LRGB 30/6/6/6 min. Norbert Mrozek |
| 2026 October 30 18:35-19:05 UT | 60x30,APO 150mm (f/7.3),Altair Hypercam A26M + IR-blocking filter,L30 Lohbach-Observatory T. Zilch |
| 2026 October 30 18:41-21:24 UT | 141x60 s, motion 2.0 arcmin/h NW, Reflector 8" f/4.0, Atik 460EXm, Erding 11.9 E 48.4 N Rolf Stadelmaier |

## Helligkeitsmeldungen der FG Kometen im ICQ-Format:

| Zeitpunkt | Beobachtungsdaten | | | Bemerkungen |
|---|---|---|---|---|
| YYYY MM DD.Dd | M[mm.m:rfAAA.ATF/xxxx | >dd.ddnDC >t.tt GGG: | Beobachter Mag | |
| 2026 08 09.06 | Z 13.9 BG 10.6R 5A260 4.7 | | LEH02I C 4.7 | mMC3 IMX AIR 5 1.5s 1.5 Location: Hakos (remote); Comment: CMOS/G, mlim=20.1 |
| 2026 08 18.14 | Z 13.4 BG 10.6R 5A080 5.8 | | LEH02I C 5.8 | mMC3 IMX AIR 5 1.5s 1.5 Location: Hakos (remote); Comment: CMOS/G, mlim=20.6 |
| 2026 08 24.10 | Z 13.5 BG 27.9L 2C120 3.3 | | FRI02I C 3.3 | mTSC IMX AIR 5 1.3s 1.3 Location: Koeditz; Comment: CMOS OSC/G, mlim=20.4 |
| 2026 09 06.08 | V 13.7 AV 5.0R 5A350 1.7 | ICQ XX MEY I | C 1.7 | 4mS50 IM2 TYT 0 U9*0.08 13.6 2.4s 2.4 |
| 2026 09 11.08 | V 12.7 AV 5.0R 5B660 3.3 | ICQ XX MEY I | C 3.3 | 2mS50 IM2 TYT 0 U9*0.03 12.8 2.4s 2.4 |
| 2026 09 17.04 | V 12.0 AV 5.0R 5B330 4.0 | ICQ XX MEY I | C 4.0 | 4mS50 IM2 TYT 0 U9*0.04 11.9 2.4s 2.4 |
| 2026 09 18.98 | Z 10.9 BG 27.9L 2A170 9.9 | | FRI02I C 9.9 | mTSC IMX AIR 5 1.3s 1.3 Location: Koeditz; Comment: CMOS OSC/G, mlim=20.4 |
| 2026 09 19.02 | Z 13.2 BG 03.5R 4B670 1.8 | | PIL01I C 1.8 | mDW3 IM6 AIR 5 2.8s 2.8 Location: Leipzig; Comment: CMOS OSC/G |
| 2026 09 21.01 | Z 13.2 BG 03.5R 4B400 1.3 | | PIL01I C 1.3 | mDW3 IM6 AIR 5 2.8s 2.8 Location: Leipzig; Comment: CMOS OSC/G |
| 2026 09 22.98 | Z 10.6 BG 27.9L 2A770 10 | | LEH02I C10 | mZCP IMX AIR 5 1.2s 1.2 Location: Weimar; Comment: CMOS OSC/G, mlim=20.2, moon 86% dist 53 deg |
| 2026 09 23.02 | Z 10.4 BG 27.9L 2A620 12 | | FRI02I C12 | mTSC IMX AIR 5 1.3s 1.3 Location: Koeditz; |

| Zeitpunkt<br>YYYY MM DD.Dd | Beobachtungsdaten<br>M[mm.m:rfAAA.ATF/xxxx >dd.ddnDC >t.tt GGG: | Beobachter | Mag | Bemerkungen |
|---|---|---|---|---|
| | | | | Comment: CMOS OSC/G, mlim=20.6, moon 86% dist 53 deg |
| 2026 09 23.04 | V 11.3 AV 5.0R 5B200 4.2 ICQ XX | MEY I | C 4.2 | 0mS50 IM2 TYT 0 U9*0.03 10.8 2.4s 2.4 |
| 2026 10 01.02 | Z 9.9 BG 27.9L 2A440 15 | FRI02I | C15 | mTSC IMX AIR 5 1.3s 1.3 Location: Koeditz; Comment: CMOS OSC/G, mlim=20.0, moon 78% dist 74 deg |
| 2026 10 04.77 | S 11.5 TK 32.0L 5 144 1.5 1/ | PIL01 | 20.7 | |
| 2026 10 04.87 | Z 11.2 BG 03.5R 4E040 4.8 | PIL01I | C 4.8 | mDW3 IM6 AIR 5 2.8s 2.8 Location: Leipzig; Comment: CMOS OSC/G |
| 2026 10 05.77 | S 11.2 TK 44.0L5 100 1.2 4 ICQXXX | HAS02 | | |
| 2026 10 05.88 | Z 11.6 BG 03.5R 4E370 3.6 | PIL01I | C 3.6 | mDW3 IM6 AIR 5 2.8s 2.8 Location: Leipzig; Comment: CMOS OSC/G |
| 2026 10 05.90 | S 11.1 TK 50.8L 5 80 2.4 4 | KUT | 5.8 | |
| 2026 10 06.00 | Z 9.9 BG 27.9L 2A470 17 | FRI02I | C17 | mTSC IMX AIR 5 1.3s 1.3 Location: Koeditz; Comment: CMOS OSC/G, mlim=20.9, moon 24% dist 154 deg |
| 2026 10 06.91 | S 10.9 TK 25.0L 5 60 2.2 4 | KUT | 6.0 | |
| 2026 10 12.81 | Z 10.2 BG 27.9L 2B220 14 | LEH02I | C14 | mZCP IMX AIR 5 1.2s 1.2 Location: Weimar; Comment: CMOS OSC/G, mlim=20.9 |
| 2026 10 12.83 | Z 10.2 BG 27.9L 2A710 12 | FRI02I | C12 | mTSC IMX AIR 5 1.3s 1.3 Location: Koeditz; Comment: CMOS OSC/G, mlim=21.0 |
| 2026 10 27.79 | Z 10.6 BG 27.9L 2A680 9.2 | FRI02I | C 9.2 | mTSC IMX AIR 5 1.3s 1.3 Location: Koeditz; Comment: CMOS OSC/G, mlim=20.1, moon 96% dist 103 deg |
| 2026 10 27.79 | Z 10.6 BG 27.9L 2A680 9.2 | FRI02I | C 9.2 | mTSC IMX AIR 5 1.3s 1.3 Location: Koeditz; Comment: CMOS OSC/G, mlim=20.1, moon 96% dist 103 deg |
| 2026 10 29.77 | Z 10.8 BG 27.9L 2a300 5.5 | FRI02I | C 5.5 | mTSC IMX AIR 5 1.3s 1.3 Location: Koeditz; Comment: CMOS OSC/G, mlim=19.5, moon 83% dist 126 deg |

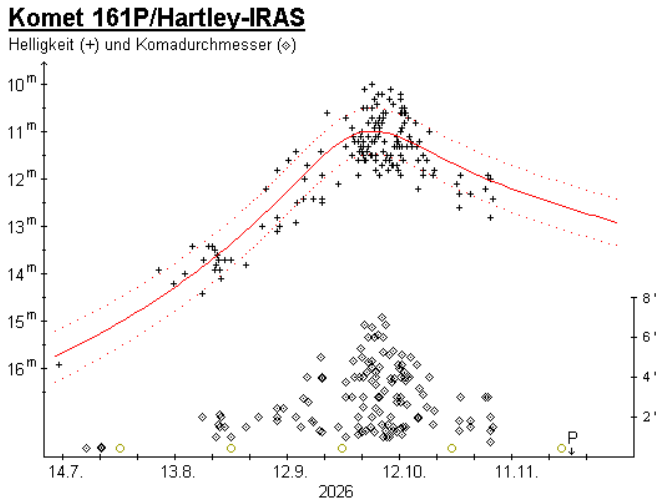


Komet **161P/Hartley-IRAS** am 05. Oktober 2026 um 23.39 - 00.09 UT, 49 x 30 Sekunden belichtet, Gain160, Touptek SkyEye 62 AC, RASA 11, Steffen Fritsche



Komet **161P/Hartley-IRAS** am 14. Oktober 2026 um 20:30 UT, je 6 x 2 Minuten belichtet, RGB, 16" f/2,5, ASI6200MM, Roland Fichtl

Kein leichtes Objekt war der Komet **161P/Hartley-IRAS** (P=21,46[a]) in dieser Sichtbarkeit, weshalb auch nur 185 Beobachtungen von 44 Beobachtern für die Auswertung verwendet werden können. Auf deren Basis kann die Helligkeitsentwicklung leidlich gut mit den Parametern $m_0$ = 11,0[m] / n = 3,5 dargestellt werden, was eine Maximalhelligkeit von etwa 11,0[m] (evtl. bis 10,7[m]) in den Tagen der größten Erdnähe (am 2. Oktober mit 0,53 AE) ergibt.




Der Komadurchmesser maß zu Sichtbarkeitsbeginn lediglich 0,4‘ (40.000 km), nahm aber bis zum 7. Oktober bis auf 6.5‘ (140.000 km) zu. Anfang November war er wieder auf 2‘ (100.000 km) zurückgegangen. Dabei zeigte sie sich ziemlich diffus. Der Kondensationsgrad ging von DC 3 auf DC 2 zurück. Ein Schweif wurde nicht gemeldet.

Der Komet passiert am 27. November sein Perihel in der Sonnendistanz von 1,27 AE. Er wechselt Anfang Januar 2027 vom Abend- an den Morgenhimmel. Er bewegt sich durch die Sternbilder Pfeil, Füchschen und Leier. Seine Helligkeit dürfte zwischen Mitte November 2026 und Mitte Februar 2027 von 12,5[m] auf 14,0[m] zurückgehen. Mit dem TRAPPIST-Teleskop wurden am 20. Oktober 2026 (r = 1,37 AE, ΔT = –37[d]) die folgenden Produktionsraten (Moleküle/s) festgestellt: OH: $2{,}5\cdot10^{27}$, CN: $5{,}8\cdot10^{24}$, $C_2$: $6{,}2\cdot10^{24}$, $C_3$: $1{,}6\cdot10^{24}$, Staub: 90 cm (ATel 18116).

## Komet 162P/Siding-Spring

Ein scheinbar asteroidales Objekt, das am 10.10.2004 im Rahmen des Siding Spring Surveys entdeckt wurde (2004 TU12, siehe MPEC 2004-T55), zeigte bald nach der Entdeckung kometare Eigenschaften Da der Komet nachträglich auch auf Aufnahmen zwischen 1990 und 2004 nachgewiesen werden konnte, erhielt er bald die Bezeichnung 162P/Siding Spring. Siehe IAUC 8436 und Schweifstern 110.

Bahnelemente:

| T [UT] | ω [°] | Ω [°] | i [°] | q [AE] | e [AE] | P [a] | Epoche |
|---|---|---|---|---|---|---|---|
| 2026 05 17,8630 | 357,2707 | 30,8594 | 27,5517 | 1,2896 | 0,582903 | 5,44 | 12.11.2026 |

Fotos und Beobachtungen der FG Kometen:

| Zeitpunkt | Details zur Aufnahme |
|---|---|
| 2026 August 23 02.18 UT | 12x60sec. 16"/3.2 QHY600 Michael Jäger, Gerald Rhemann |
| 2026 September 13 02.27 UT | 7x90sec. 12"/3.3 QHY 600 Michael Jäger, Gerald Rhemann |

Auf den Aufnahmen von Michael Jäger und Gerald Rhemann erscheint der etwa 18 mag helle Komet praktisch sternförmig.

## Komet 169P/NEAT

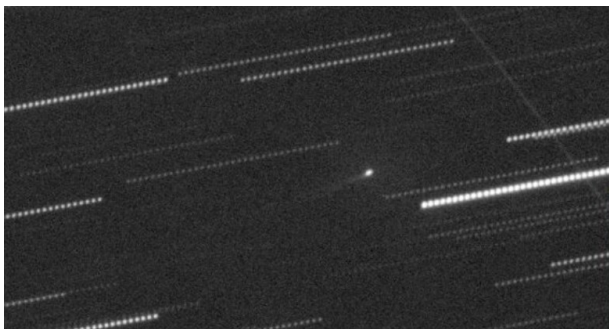
Das bereits am 15.03.2002 vom NEAT-Team entdeckte asteroidale Objekt 2002 EX12 zeigte Ende Juli 2005 kometare Eigenschaften. Nachträglich wurde der Komet von F. Anzellini auch auf einer Aufnahme vom 07.03.1989 identifiziert. Siehe Schweifstern 113 und Cometography Vol. 6.

Bahnelemente:

| T [UT] | ω [°] | Ω [°] | i [°] | q [AE] | e [AE] | P [a] | Epoche |
|---|---|---|---|---|---|---|---|
| 2026 09 21,3873 | 218,1418 | 176,0253 | 11,2863 | 0,6044 | 0,767911 | 4,2 | 12.11.2026 |

Fotos und Beobachtungen der FG Kometen:

| Zeitpunkt | Details zur Aufnahme |
|---|---|
| 2026 August 02 21:25-22:05 UT | 70x2 sec, RASA 20 cm F 400 mm, ASI 2600 C Dídac Mesa Romeu, Agramunt (Lleida) |
| 2026 August 02 21:25-22:05 UT | 70x2 sec, RASA 20 cm F 400 mm, ASI 2600 C Dídac Mesa Romeu, Agramunt (Lleida) |
| 2026 August 02 21:25-22:05 UT | 70x2 sec, RASA 20 cm F 400 mm, ASI 2600 C Dídac Mesa Romeu, Agramunt (Lleida) |
| 2026 August 02 21:36 UT | 85x30 sec., Seestar S50, Sony IMX, Roßtal Klemens Waldhör |
| 2026 August 02 22.30-23.03 UT | 54x30 s, Gain 160, Touptek SkyEye 62 AC, RASA 11, erstellt mit AIRTOOLS, Köditz Steffen Fritsche |
| 2026 August 02 22.30-23.03 UT | 54x30 s, Gain 160, Touptek SkyEye 62 AC, RASA 11, erstellt mit AIRTOOLS, M13, Köditz centered on star Steffen Fritsche |
| 2026 August 02 22.30-23.03 UT | 54x30 s, Gain 160, Touptek SkyEye 62 AC, RASA 11, erstellt mit AIRTOOLS, M13, Köditz Steffen Fritsche |
| 2026 August 03 20.40 UT | LRGB 30min 8" RASA QHY 600 Michael Jäger, Gerald Rhemann |
| 2026 August 04 20.40 UT | RGB 30min 8" RASA QHY 600 Michael Jäger, Gerald Rhemann |
| 2026 August 05 20.22 UT | (start), 120x30 s, C11, ZWO ASI 1600MM Pro, Rome-Italy-Fabrizio Montanucci |
| 2026 August 05 20.22 UT | (start), 1x30 s (each frame, animation, H264 codec), C11, ZWO ASI 1600MM Pro, Rome-Italy-Fabrizio Montanucci |
| 2026 August 06 20:54-22:05 UT | 30cm RC + Fuji XT20 101x20s Amateursternwarte Schönebeck Uwe Wohlrab |
| 2026 August 06 21:16 UT | 40x30 sec., Seestar S50, Seestar S50, Roßtal Klemens Waldhör |
| 2026 August 06 21:30 UT | 24x25 sec, 16" f/2.5, ASI6200MM Roland Fichtl |
| 2026 August 06 21.17 UT | 40x30 sec, 0.4-m f/3.8 Orion Optics AG16, SBIG STL-6303E, B96 BRIXIIS Observatory Kruibeke Belgium Erik Bryssinck |
| 2026 August 06 21.17 UT | 40x30 sec, 0.4-m f/3.8 Orion Optics AG16, SBIG STL6303E, B96 BRIXIIS observatory Kruibeke Belgium Erik Bryssinck |
| 2026 August 06 21.54-22.22 UT | 48x30 s, Gain 160, Touptek SkyEye 62 AC, RASA 11, erstellt mit AIRTOOLS, Köditz centered on comet Steffen Fritsche |
| 2026 August 07 05:52 UT | Planewave DeltaRho 500mm f/3,0, ZWO ASI 6200, 300s, Koma 17", Schweif 1,1‘ PA 114°, T 13,1 mag, Utah, USA, Remote, Michael Hauss |
| 2026 August 07 20.57 UT | 35x30 sec, 0.4-m f/3.8 Orion Optics AG16, SBIG STL6303E, B96 BRIXIIS observatory Kruibeke Belgium Erik Bryssinck |
| 2026 August 08 20.20 UT | 38x1min, Hypergraph8, Canon Ra, 20% crop, St. Ulrich 500m, Austria centered on comet Helmut Dannbauer |
| 2026 August 08 21.10 UT | 28x60sec. 16"/3.2 ASI 2600MC Michael Jäger, Gerald Rhemann |
| 2026 August 08 21.11-21.37 UT | 60x20 s, Gain 160, Touptek SkyEye 62 AC, RASA 11, erstellt mit AIRTOOLS, Köditz centered on comet Steffen Fritsche |
| 2026 August 08 21.11-21.37 UT | 60x20 s, Gain 160, Touptek SkyEye 62 AC, RASA 11, erstellt mit AIRTOOLS, Köditz Steffen Fritsche |
| 2026 August 08 23:03 UT | 1x30 sec., RASA 8, ZWO ASI2600MC Pro, Roßtal Klemens Waldhör |
| 2026 August 09 21:25 UT | 20x25sec, 16" f/2.5, CDS-5D Roland Fichtl |
| 2026 August 10 20:54 UT | 26x60 sec., RASA 8, ZWO ASI2600MC Pro, Roßtal Klemens Waldhör |
| 2026 August 11 20:14 UT | 33x30 sec., RASA 8, ZWO ASI2600MC Pro, Roßtal Klemens Waldhör |
| 2026 August 11 21.13 UT | 10x70sec. 16"/3.2 QHY 600 Michael Jäger und Gerald Rhemann |
| 2026 August 12 20.07 UT | 42x1min, Canon EF 500/4.5L, Canon 5Da Mk2, 30% crop, St. Ulrich 500m, Austria centered on comet Helmut Dannbauer |
| 2026 August 12 21:56-22:25 UT | 25cm F/3.3 Deltagraph + Fuji XT30 86x20s Tiefenbachgletscher/Ötztaler Alpen Uwe Wohlrab |
| 2026 August 12 21.53 UT | 28x30sec. 130mm Newton F3 QHY290mm Walter Kutschera |
| 2026 August 13 21:04 UT | 25x30 sec., RASA 8, ZWO ASI2600MC Pro, Roßtal Klemens Waldhör |
| 2026 August 14 21:21 UT | 29x30 sec., RASA 8, ZWO ASI2600MC Pro, Roßtal Klemens Waldhör |
| 2026 August 15 19.51 UT | 19x90sec. 16"/f-3.2 QHY 600 color 18x120sec. 8" RASA ASI 2600MC Michael Jäger, Gerald Rhemann |
| 2026 August 15 19.51 UT | 19x90sec. 16"/3.2 QHY 600 Michael Jäger, Gerald Rhemann |
| 2026 August 15 20.00 UT | 18x2min 8" RASA ASI 2600MC Michael Jäger, Gerald Rhemann |
| 2026 September 11 03.09 UT | 25x30sec. 12"/3.3 QHY 600 Michael Jäger, Gerald Rhemann |
| 2026 September 13 02.55 UT | 16x20sec. 12"/3.3 QHY 600 Michael Jäger, Gerald Rhemann |
| 2026 September 15 03.55 UT | 30x25sec. 8x60sec. green+BR 12”/3.3 QHY 600 Michael Jäger, Gerald Rhemann |
| 2026 September 16 03.05 UT | 15x30sec. 12”/3.3 QHY 600 Michael Jäger, Gerald Rhemann |
| 2026 September 18 03.09 UT | 25x30sec. 12"/f-3.3 QHY 600 Michael Jäger, Gerald Rhemann |
| 2026 September 19 03.00 UT | 11x55sec12"/3.3 QHY 600 Michael Jäger, Gerald Rhemann |
| 2026 September 29 03.15 UT | 21x40sec. 12"/3.3 QHY 600 Michael Jäger, Gerald Rhemann |
| 2026 October 01 02.55-03.54 UT | 28x2 min, Gain 160, Touptek SkyEye 62 AC, RASA 11, erstellt mit AIRTOOLS, Köditz centered on comet Steffen Fritsche |
| 2026 October 06 03.07-03.56 UT | 23x2 min, Gain160, Touptek SkyEye 62 AC, RASA 11, erstellt mit AIRTOOLS, Köditz centered on comet Steffen Fritsche |
| 2026 October 12 03.04 UT | 13x70sec. 12"/3.2 QHY 600 Michael Jäger, Gerald Rhemann |
| 2026 October 13 03.36-04.24 UT | 23x2 min, Gain 160, Touptek SkyEye 62 AC, RASA 11, erstellt mit AIRTOOLS, Köditz centered on comet Steffen Fritsche |



Komet **169P/NEAT** am 06. August 2026 um 21:17 UT, 40 x 30 Sekunden belichtet, 0,4-m f/3,8 Orion Optics AG16, SBIG STL6303E, B96 BRIXIIS Observatory Kruibeke Belgium, Erik Bryssinck

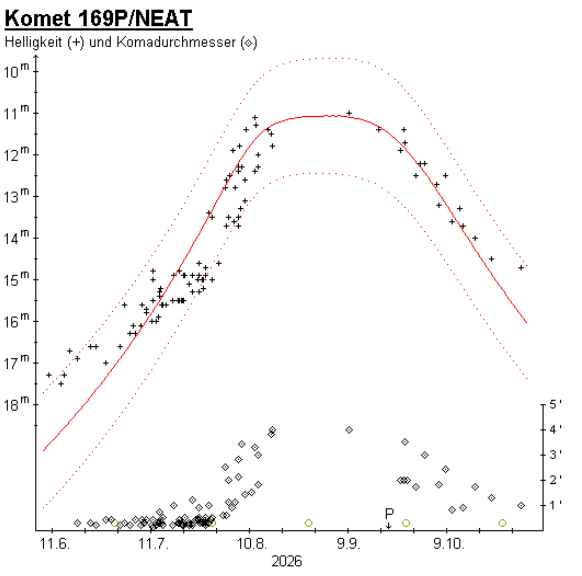


Komet **169P/NEAT** am 08. August 2026 um 21:10 UT, 28 x 60 Sekunden belichtet, 16"/3,2 ASI 2600MC, Michael Jäger und Gerald Rhemann

Helligkeitsmeldungen der FG Kometen im ICQ-Format:

| Zeitpunkt YYYY MM DD.Dd | Beobachtungsdaten M[mm.m:rfAAA.ATF/xxxx | >dd.ddnDC | >t.tt | GGG: | | Beobachter | Mag | Bemerkungen |
|---|---|---|---|---|---|---|---|---|
| 2026 08 02.80 | Z 11.9 BG 10.6R 5a660 | 8.7 | 1.3 m128 | | | LEH02I | C 8.7 | mMC3 IMX AIR 5 1.5s 1.5 Location: Hakos (remote); Comment: CMOS/G, mlim=20.0 |
| 2026 08 02.88 | S 12.8 TK 23.5T10 181 | 2.5 2/ | | | | SCH19 | 5.4M | Location: Ostfildern. |
| 2026 08 02.94 | V 15.0 AV 5.0R 5B 60 | 0.47 | | ICQ XX | MEY I | C | 0.4 | 7mS50 IM2 TYT 0 U9*0.03 15.0 2.4s 2.4 |
| 2026 08 02.95 | Z 11.8 BG 27.9L 2A620 | 7.9 | 1.5 m130 | | | FRI02I | C 7.9 | mTSC IMX AIR 5 1.3s 1.3 Location: Koeditz; Comment: CMOS OSC/G, mlim=20.6, moon 82% dist 104 deg |
| 2026 08 04.89 | Z 14.7 BG 03.5R 4C960 | 0.9 | | | | PIL01I | C 0.9 | mDW3 IM6 AIR 5 2.8s 2.8 Location: Leipzig; Comment: CMOS OSC/G, moon 63% dist 115 deg |
| 2026 08 06.90 | Z 11.4 BG 27.9L 2A890 | 11 | 2.3 m114 | | | LEH02I | C11 | mZCP IMX AIR 5 1.2s 1.2 Location: Weimar; Comment: CMOS OSC/G, mlim=21.0, moon 41% dist 116 deg |
| 2026 08 06.90 | V 12.4 AV 5.0R 5B310 | 4.0 | | ICQ XX | MEY I | C | 3.9 | 5mS50 IM2 TYT 0 U9*0.03 12.5 2.4s 2.4 |
| 2026 08 06.92 | Z 11.3 BG 27.9L 2A440 | 12 | 1.2 m111 | | | FRI02I | C12 | mTSC IMX AIR 5 1.3s 1.3 Location: Koeditz; Comment: CMOS OSC/G, mlim=21.2, moon 41% dist 116 deg |
| 2026 08 08.86 | S 12.6 TK 23.5T10 112 | 1.4 2/ | | | | SCH19 | 5.8 | Location: Ostfildern. |
| 2026 08 08.87 | Z 11.0 BG 27.9L 2A800 | 14 | 2.1 m105 | | | LEH02I | C14 | mZCP IMX AIR 5 1.2s 1.2 Location: Weimar; Comment: CMOS OSC/G, mlim=21.0 |
| 2026 08 08.87 | S 13.1 AV 44.0L5 200 | 0.2 6 | | ICQXXX | HAS02 | | | |
| 2026 08 08.89 | Z 11.1 BG 27.9L 2A200 | 11 | 1.8 m107 | | | FRI02I | C11 | mTSC IMX AIR 5 1.3s 1.3 Location: Koeditz; Comment: CMOS OSC/G, mlim=20.8 |
| 2026 08 08.92 | V 11.9 AV 5.0R 5D450 | 5.5 | | ICQ XX | MEY I | C | 5.4 | 6mS50 IM2 TYT 0 U9*0.02 12.0 2.4s 2.4 |
| 2026 08 09.92 | V 12.3 AV 5.0R 5C340 | 3.8 | | ICQ XX | MEY I | C | 3.8 | 0mS50 IM2 TYT 0 U9*0.02 12.4 2.4s 2.4 |
| 2026 08 11.90 | Z 10.8 BG 27.9L 2B220 | 13 | 0.08 93 | | | LEH02I | C13 | mZCP IMX AIR 5 1.2s 1.2 Location: Weimar; Comment: CMOS OSC/G, mlim=21.0 |
| 2026 08 12.97 | S 12.0 HS 50.8L 5 180 | 1.8 4 | | | | KUT | 6.4 | Sternpunkt mit diffuser Koma |
| 2026 09 23.14 | S 10.9 TK 12.5R 6 38 | 2.0 3 | | | | GUT | | |
| 2026 09 25.15 | Z 11.9 BG 03.5R 4a210 | 2.0 | | | | PIL01I | C 2.0 | mDW3 IM6 AIR 5 2.8s 2.8 Location: Leipzig; Comment: CMOS OSC/G |
| 2026 10 01.14 | Z 12.2 BG 27.9L 2C360 | 4.0 | 0.07 278 | | | FRI02I | C 4.0 | mTSC IMX AIR 5 1.3s 1.3 Location: Koeditz; Comment: CMOS OSC/G, mlim=19.4, moon 77% dist 84 deg |
| 2026 10 06.15 | Z 12.7 BG 27.9L 2B760 | 3.5 | 0.05 279 | | | FRI02I | C 3.5 | mTSC IMX AIR 5 1.3s 1.3 Location: Koeditz; Comment: CMOS OSC/G, mlim=20.0, moon 22% dist 19 deg |
| 2026 10 13.17 | Z 13.3 BG 27.9L 2B760 | 3.6 | 0.06 281 | | | FRI02I | C 3.6 | mTSC IMX AIR 5 1.3s 1.3 Location: Koeditz; Comment: CMOS OSC/G, mlim=19.9 |

Komet **169P/NEAT** (P=4,20[a]) war kein einfaches Objekt, obwohl er der Erde am 15. August bis auf 0,17 AE nahekam. Zwischen Mitte August und Mitte September stand er der Sonne für Beobachtungen zu nahe. Auf der Basis von 123 Beobachtungen von 39 Beobachtern kann die Helligkeitsentwicklung mäßig gut mit den Parametern $m_0$ = 15,0$^m$ / n = 6 dargestellt werden. Damit ergibt sich eine Maximalhelligkeit von 11,0$^m$ um den 5. September. Allerdings blieb die scheinbare Helligkeit zwischen dem 20. August und 20. September nahezu konstant bei etwa 11,0$^m$. Mitte November wurde der Komet wieder schwächer als 16$^m$.




Der scheinbare Komadurchmesser vergrößerte sich bis Ende Juli nur geringfügig von 0,3‘ auf 0,7‘. Bis Mitte August kam es dann zu einer raschen Vergrößerung bis auf knapp 4‘. Dieser Wert blieb bis Mitte September konstant. Danach schrumpfte er, und maß Anfang November nur noch 1‘. Der absolute

Komadurchmesser blieb bis Anfang August nahezu konstant bei etwa 10.000 km, dehnte sich dann aber bis Ende September bis auf 95.000 km aus. Anfang November maß er nur noch 45.000 km. Der Kondensationsgrad lag bei etwa DC 4. Zwischen dem 25. Juli und Mitte August wurde ein Schweifansatz beobachtet, der seine Orientierung von Südost auf ONO änderte. Ein bis zu 5‘ (200.000 km) langer, konstant nach West gerichteter, Schweif wurde dann zwischen Mitte September und Mitte Oktober festgestellt.

## Komet 188P/LINEAR-Mueller

Am 17.10.1998 meldete Jean Mueller die Entdeckung eines 17 mag hellen Kometen. In der Folge wurde erkannt, dass es sich dabei um ein bereits am 26.09.1998 vom LINEAR-Team entdeckten asteroidalen Objekt handelte, das die vorläufigen Bezeichnung P/1998 S1 (LINEAR-Mueller) erhielt. Der Komet, der der Jupiter-Familie zugeordnet wird, wurde unter der Bezeichnung P/2007 J7 unabhängig voneinander auf Aufnahmen vom 23.05.2017 von R. H. McNaught (Siding Spring) und vom 26.06.2017 von J. V. Scotti (Spacewatch) wiederentdeckt. Siehe Schweifstern 79 und 123.

Bahnelemente:

| T [UT] | ω [°] | Ω [°] | i [°] | q [AE] | e [AE] | P [a] | Epoche |
|---|---|---|---|---|---|---|---|
| 2026 04 13,4271 | 26,8802 | 358,9091 | 10,5261 | 2,5463 | 0,416405 | 9,11 | 12.11.2026 |

Fotos und Beobachtungen der FG Kometen:

| Zeitpunkt | Details zur Aufnahme |
|---|---|
| 2026 September 18 01.46 UT | 15x90sec. 12"/3.3 QHY 600 Michael Jäger, Gerald Rhemann |

Auf der Aufnahme von Michael Jäger und Gerald Rhemann erscheint der etwa 18,9 mag helle Komet fast sternförmig.

## Komet 220P/McNaught

R.H. McNaught entdeckte den 18,0 mag hellen Kometen auf Aufnahmen vom 20.05.2004. Der Komet konnte auf Aufnahmen vom 28.04.2009 mit Spacewatch wiederentdeckt werden. Siehe Schweifstern 107 und 131.

Bahnelemente:

| T [UT] | ω [°] | Ω [°] | i [°] | q [AE] | e [AE] | P [a] | Epoche |
|---|---|---|---|---|---|---|---|
| 2026 06 14,1129 | 180,5604 | 150,0842 | 8,1208 | 1,5593 | 0,50028 | 5,51 | 12.11.2026 |

Fotos und Beobachtungen der FG Kometen:

| Zeitpunkt | Details zur Aufnahme |
|---|---|
| 2026 August 01 00.42 UT | (start), 50x30 s, Borg 101ED, ZWO ASI 1600MM Pro, Rome-Italy-Fabrizio Montanucci |
| 2026 August 06 17:00 UT | Planewave 20" CDK f/6,8, FLI 16200, 300s, Koma 9min , Schweif mind. 15min PA 250°, T32, Siding Spring, Australien, Remote, Michael Hauss |
| 2026 August 06 17:33 UT | Planewave 20" CDK f/4, FLI PL6303E, 300s, Koma 5‘, Schweif 13‘ PA 250°, T30, Siding Spring, Australien, Remote, Michael Hauss |
| 2026 August 06 23:48-00:35 UT | 30cm RC + Fuji XT20 47x30s Amateursternwarte Schönebeck Uwe Wohlrab |
| 2026 August 06 23:58-00:06 UT | 8x60sec, 12 " Newton, 860mm Brennweite, ZWO ASI 533mmpro, Bad Salzuflen Oliver Schneider |
| 2026 August 07 00.30-01:30 UT | 84x30sec, ZWO SeeStar s30pro, Bad Salzuflen Oliver Schneider |
| 2026 August 07 00.49-01.41 UT | 25x2 min, Gain 160, Touptek SkyEye 62 AC, RASA 11, erstellt mit AIRTOOLS, Köditz centered on comet Steffen Fritsche |
| 2026 August 07 00.49-01.41 UT | 25x2 min, Gain 160, Touptek SkyEye 62 AC, RASA 11, erstellt mit AIRTOOLS, Köditz Steffen Fritsche |
| 2026 August 07 00.49-01.41 UT | 25x2 min, Gain 160, Touptek SkyEye 62 AC, RASA 11, erstellt mit AIRTOOLS, Köditz Steffen Fritsche |
| 2026 August 07 01:21 UT | Teleskop: ASA Astrograph 12" f=3.6 Kamera: ZWO ASI 6200 MM Pro Bel.: LRGB 24/9/9/9 min., Remote, Gerald Rhemann und Michael Jäger |
| 2026 August 07 01:40 UT | 20x1 min, 16" f/2.5, ASI6200MM Roland Fichtl |
| 2026 August 07 01.27 UT | 12x120 sec, 0.4-m f/3.8 Orion Optics AG16, SBIG STL6303E, B96 BRIXIIS observatory Kruibeke Belgium Erik Bryssinck |
| 2026 August 07 01.47 UT | 12x120 sec, 0.4-m f/3.8 Orion Optics AG16, SBIG STL- 6303E, B96 BRIXIIS Observatory Kruibeke Belgium Erik Bryssinck |
| 2026 August 07 01.47 UT | 12x120 sec, 0.4-m f/3.8 Orion Optics AG16, SBIG STL- 6303E, B96 BRIXIIS Observatory Kruibeke Belgium Erik Bryssinck |
| 2026 August 07 21.17 UT | 12x120 sec, 0.4-m f/3.8 Orion Optics AG16, SBIG STL6303E, B96 BRIXIIS observatory Kruibeke Belgium Erik Bryssinck |
| 2026 August 07 23:50-23:58 UT | Animation 27x15sec, C11 HyperStar, QHYminicam8mm, Bad Salzuflen Oliver Schneider |
| 2026 August 08 00:00 UT | 6 Min a 10sec-subs, Seestar S50, Eurasburg Augsburg Markus Büchler |
| 2026 August 08 00:00-00:10 UT | 26x30sec, ZWO SeeStar s30pro, Bad Salzuflen Oliver Schneider |
| 2026 August 08 00:49 UT | ASA Astrograph 12" f=3.6 Kamera: ZWO ASI 6200 MM Pro Bel.: LRGB 24/9/9/9 min., Remote, Gerald Rhemann und Michael Jäger |
| 2026 August 08 00:49 UT | mit Schockfront Teleskop: ASA Astrograph 12" f=3.6 Kamera: ZWO ASI 6200 MM Pro Bel.: LRGB 24/9/9/9 min., Remote, Gerald Rhemann und Michael Jäger |
| 2026 August 08 00.16 UT | (start), 102x30 s, C11, ZWO ASI 294MC Pro, Rome-Italy-Fabrizio Montanucci |
| 2026 August 08 00.16 UT | (start), 6x30 s (each frame, animation, H264 codec), C11, ZWO ASI 294MC Pro, Rome-Italy-Fabrizio Montanucci |
| 2026 August 08 00.27 UT | 10" RC f/6.4 6x30s ISO 1600 Canon EOS Ra Untermaßfeld Thomas Grimm |
| 2026 August 08 01:13-01:58 UT | 80x30s,Mamiya f=80mm (f/2.8),ATIK 314-LC + IR-blocking filter,Dortmund,Germany T. Zilch |
| 2026 August 08 01.02 UT | Aufnahme mit Newton 8" / 3.0 und Touptek 2600 MP LRGB 10/6/6/6 min. Norbert Mrozek |
| 2026 August 08 23:50 UT | 120x15s, Canon EOS 600D + Samyang T/2.2 135mm @f/2.6, scale 13.4arcsec/px, North is up. Miroslav Lošťák, Karlovy Vary, Czech Rep., SMPH |
| 2026 August 08 UT | New 360mm F 1850+sbig st10xme Jose Carrillo Fuensanta Jaen España |
| 2026 August 08 UT | New 150mm f2.8+RisingCam Jose Carrillo Fuensanta Jaen España |
| 2026 August 09 00:16-02:00 UT | 30cm RC + Fuji GFX 103x60s Amateursternwarte Schönebeck Uwe Wohlrab |
| 2026 August 09 00:49-02:19 UT | L 34x1min RGB 11x1min each, Alluna RC 16", QHY 268M, Nussbach, Austria Bernhard Hubl |
| 2026 August 09 00:58-02:09 UT | 130x30s,Mamiya f=80mm (f/2.8),ATIK 314-LC + IR-blocking filter,Dortmund,Germany T. Zilch |

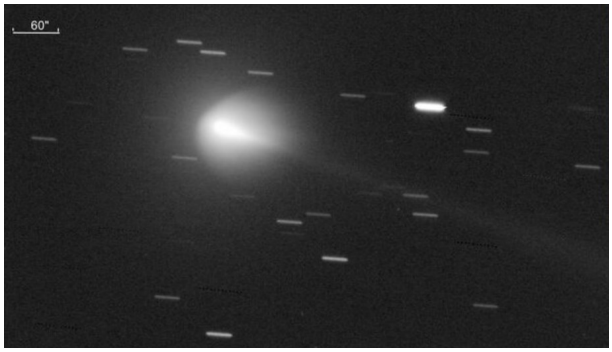
| | |
|---|---|
| 2026 August 09 00.01 UT | 21" Dobson, V 194x Christian Harder |
| 2026 August 09 00.29 UT | (mid time), 120x30 s, C11, ZWO ASI 1600MM Pro, Rome-Italy-Fabrizio Montanucci |
| 2026 August 09 00.29 UT | (mid time), 5x30 s (each frame, animation, H264 codec), C11, ZWO ASI 1600MM Pro, Rome-Italy-Fabrizio Montanucci |
| 2026 August 09 01.12-01.39 UT | 12x2min, 10" f4.6, QHY268M, Ampflwang, Animation Thomas Schönpos |
| 2026 August 09 01.12-01.39 UT | 36x2min, 10" f4.6, 8" f4.6, QHY268M, QHY268C, Ampflwang Thomas Schönpos |
| 2026 August 09 01.15 UT | 18x10s, SeeStar S50, Garbsen Volker Kasten |
| 2026 August 09 01.17-01.59 UT | 20x2 min, Gain 160, Touptek SkyEye 62 AC, RASA 11, erstellt mit AIRTOOLS, Köditz centered on comet Steffen Fritsche |
| 2026 August 09 01.17-01.59 UT | 20x2 min, Gain 160, Touptek SkyEye 62 AC, RASA 11, erstellt mit AIRTOOLS, Köditz Steffen Fritsche |
| 2026 August 09 01.22 UT | ASA N10 DSPro 2600m L29x120s, ASK8/f/3 Nexus DSPro 2600C 29x120s ASA DDM85, Gahberg Günter Kerschhuber |
| 2026 August 09 01.30 UT | 36x2min, 10" f4.6, 8" f4.6, QHY 268M, QHY 268C, Ampflwang Thomas Schönpos |
| 2026 August 09 02.30 UT | 18x30sec. 130mm Newton F3 ASI 224 mc (Helle Dämmerung) Walter Kutschera |
| 2026 August 09 04.13 UT | 18x30sec. 130mm Newton F3 QHY 290mm (dämmerung) Walter Kutschera |
| 2026 August 10 00:55-02:14 UT | 149x30s,Mamiya f=80mm (f/2.8),ATIK 314-LC + IR-blocking filter,Dortmund,Germany T. Zilch |
| 2026 August 10 01:50 UT | 96x30 sec., Seestar S50, Seestar S50, Roßtal Klemens Waldhör |
| 2026 August 11 00:57-01:20 UT | 45x30s,Mamiya f=80mm (f/2.8),ATIK 314-LC + IR-blocking filter,Dortmund,Germany T. Zilch |
| 2026 August 11 00.22 UT | Aufnahme mit Takahashi Epsilon 130D und Touptek 2600 MP LRGB 30/9/9/9 min. Der galaktische Staub hat dem schwachen Schweif etwas zugesetzt und die Position war noch tief am Himmel. Norbert Mrozek |
| 2026 August 11 00.22 UT | Takahashi Epsilon 130D und Touptek 2600 MP LRGB 30/9/9/9 min. Crop Norbert Mrozek |
| 2026 August 11 00.24 UT | 18x10 s, SeeStar S50, Garbsen, durch dünne Wolken Volker Kasten |
| 2026 August 11 01:10 UT | ASA Astrograph 12" f=3.6 Kamera: ZWO ASI 6200 MM Pro Bel.: LRGB 48/21/21/21 min., Remote, Gerald Rhemann und Michael Jäger |
| 2026 August 11 01:20 UT | 8x3min, 16" f/2.5, CDS-5D Roland Fichtl |
| 2026 August 11 01.45-02.27 UT | 18x2min, 10" f4.6, QHY268M, Ampflwang, Animation Thomas Schönpos |
| 2026 August 11 02:14 UT | 78x30 sec., Seestar S50, Seestar S50, Roßtal Klemens Waldhör |
| 2026 August 11 02.00 UT | 11.-13.08.2026, 3 Folgetage jeweils 8x2min, 10" f4.6, QHY268M, Ampflwang Thomas Schönpos |
| 2026 August 12 00:55-01:55 UT | 115x30s,Mamiya f=80mm (f/2.8),ATIK 314-LC + IR-blocking filter,Dortmund,Germany T. Zilch |
| 2026 August 12 00.37 UT | (mid time), 161x30 s, C11, ZWO ASI 294MC Pro, Rome-Italy-Fabrizio Montanucci |
| 2026 August 12 00.37 UT | (mid time), 6x30 s (each frame, animation, H264 codec), C11, ZWO ASI 294MC Pro, Rome-Italy-Fabrizio Montanucci |
| 2026 August 12 01:05 UT | 59x30 sec., Seestar S50, Seestar S50, Roßtal, Remote, Klemens Waldhör |
| 2026 August 12 01:08 UT | ASA Astrograph 12" f=3.6 Kamera: ZWO ASI 6200 MM Pro Bel.: LRGB 48/21/21/21 min., Remote, Gerald Rhemann und Michael Jäger |
| 2026 August 12 01:08 UT | Teleskop: ASA Astrograph 12" f=3.6 Kamera: ZWO ASI 6200 MM Pro Bel.: LRGB 48/21/21/21 min., Remote, Gerald Rhemann und Michael Jäger |
| 2026 August 12 01:12-02:32 UT | Fuji GFX+4/250 20x2min Hochgurgl/Ötztaler Alpen Uwe Wohlrab |
| 2026 August 12 01:15-02:30 UT | 25cm F/3.3 Deltagraph + FujiXT30 37x2min Hochgurgl/Ötztaler Alpen Uwe Wohlrab |
| 2026 August 12 01:16 UT | (SLOAN g) und 02:12 UT, (SLOAN r), 120x15 s und 294x15 s, Newton-Reflektor 150/600 mm, QHY1253P, Wetter (Ruhr) Christian Wöhler |
| 2026 August 12 01:20 UT | 5 min a 10sec-subs, Seestar S50, Eurasburg Augsburg Markus Büchler |
| 2026 August 12 01.50 UT | 8x30sec. 130mm Newton F3 QHY 290mm Walter Kutschera |
| 2026 August 12 01.59 UT | 15x120 sec, 0.4-m f/3.8 Orion Optics AG16, SBIG STL6303E, B96 BRIXIIS observatory Kruibeke Belgium Erik Bryssinck |
| 2026 August 12 01.59 UT | 15x120 sec, 0.4-m f/3.8 Orion Optics AG16, SBIG STL6303E, B96 BRIXIIS observatory Kruibeke Belgium Erik Bryssinck |
| 2026 August 12 23:41 UT | Fuji XF10 30s ISO 6400 Tiefenbachgletscher/Ötztaler Alpen Uwe Wohlrab |
| 2026 August 12 23.17 UT | 24x2min, Canon EF 500/4.5L, Canon 5Da Mk2, 50% crop, Glasenberg 770m, Austria centered on comet Helmut Dannbauer |
| 2026 August 12 UT | 5 days,Mamiya f=80mm (f/2.8),ATIK 314-LC + IR-blocking filter,Dortmund,Germany T. Zilch |
| 2026 August 13 01:05 UT | 67x30 sec., Seestar S50, Seestar S50, Roßtal Klemens Waldhör |
| 2026 August 13 01:11 UT | 30x10 s, SeeStar S50, Garbsen Volker Kasten |
| 2026 August 13 01:17 UT | 118x15s, Canon EOS 600D + Samyang T/2.2 135mm @f/2.6, scale 13.4arcsec/px, North is up. Miroslav Lošťák, Karlovy Vary, Czech Rep., SMPH |
| 2026 August 13 01:18 UT | (SLOAN r) und 02:32 UT, (SLOAN i), 298x15 s und 222x15 s, irr-Farbkomposit, r-Band, i-Band, Newton-Reflektor 150/600 mm, QHY1253P, Wetter (Ruhr) Christian Wöhler |
| 2026 August 13 18:46 UT | Planewave 20" CDK, FLI Proline 16803, 300s, Koma 3,3‘, Schweif 15‘ PA 254°, T 9,4 mag, T59, Siding Spring, Australien, Remote, Michael Hauss |
| 2026 August 14 00.25 UT | Skywatcher Esprit 100 / 4.1 und Touptek 2600 MP, LRGB 20/10/10/10 min. Norbert Mrozek |
| 2026 August 14 01:29 UT | 89x30 sec., Seestar S50, Seestar S50, Roßtal Klemens Waldhör |
| 2026 August 14 01:50 UT | 527x15 s, SLOAN r, Newton-Reflektor 150/600 mm, QHY1253P, Wetter (Ruhr) Christian Wöhler |
| 2026 August 14 01.20 UT | LRGB 40/10/10/10 min. 16"/3.2 QHY 600 Michael Jäger, Gerald Rhemann |
| 2026 August 14 02:45 UT | Fujinon 25x150 EM, Komet länglich oval ohne weitere Details, mitten aus Ingolstadt beobachtet. Jürgen Breitung |
| 2026 August 14 02.05 UT | 10x30sec. 80mm Apo F7 ASI 224mc Walter Kutschera |
| 2026 August 15 00:23 UT | 44x30 sec., Seestar S50, Seestar S50, Roßtal Klemens Waldhör |
| 2026 August 15 00.34 UT | (mid time), 143x30 s, C11, ZWO ASI 1600MM Pro, Rome-Italy-Fabrizio Montanucci |
| 2026 August 15 00.34 UT | (mid time), 6x15 s (each frame, animation, H264 codec), C11, ZWO ASI 1600MM Pro-Rome-Italy-Fabrizio Montanucci |
| 2026 August 15 01:48 UT | 530x15 s, SLOAN i, Newton-Reflektor 150/600 mm, QHY1253P, Wetter (Ruhr) Christian Wöhler |
| 2026 August 15 01:49 UT | Takahashi Epsilon 130D, DSPro 2600C, Gain 0, Offset 100, 27x150s iOptron HAE43, Gahberg 20260815 Günter Kerschhuber |
| 2026 August 15 01.04-02.34 UT | 24x2min, 10" f4.6, QHY268M, Ampflwang, Animation Thomas Schönpos |
| 2026 August 15 01.50 UT | 12x2min, 10" f4.6, 8" f4.6, QHY268M, QHY268C, Ampflwang Thomas Schönpos |
| 2026 August 15 02:15 UT | ASA N10 DSPro 2600m L10x100s, ASK8/f/3 Nexus DSPro 2600C 8x150s total: 36min ASA DDM85, Gahberg Günter Kerschhuber |
| 2026 August 15 UT | Animation Christian Harder |
| 2026 August 16 00.18 UT | (mid time), 145x30 s, C8, ZWO ASI 1600MM Pro, Rome-Italy-Fabrizio Montanucci |
| 2026 August 16 00.18 UT | (mid time), 6x30 s (each frame, animation, H264 codec), C8, ZWO ASI 1600MM Pro-Rome-Italy-Fabrizio Montanucci |
| 2026 August 16 01.30 UT | 5x4min 8" RASA ASI 2600MC Baader UHC-L Michael Jäger, Gerald Rhemann |
| 2026 August 16 01.30 UT | 16"/3.2 QHY 600 12x2min and 5x4min 8" RASA ASI 2600 MC Baader UHC-L Michael Jäger, Gerald Rhemann |
| 2026 August 16 02:53 UT | 12min (720x10sec) Seestar S50, Iseltwald, Schweiz, Remote, Martin Bill |
| 2026 August 18 01:36 UT | ASA Astrograph 12" f=3.6 Kamera: ZWO ASI 6200 MM Pro Bel.: LRGB 48/21/21/21 min., Remote, Gerald Rhemann und Michael Jäger |
| 2026 August 20 23.58 UT | 10" Dobson V 92x Christian Harder |
| 2026 August 21 00.44 UT | Aufnahme mit Takahashi Epsilon 130D und Touptek 2600 MP LRGB 30/3/3/3 min. Norbert Mrozek |
| 2026 August 21 01.41-02.19 UT | 18x2 min, Gain 160, Touptek SkyEye 62 AC, RASA 11, erstellt mit AIRTOOLS, Köditz centered on comet Steffen Fritsche |
| 2026 August 21 01.41-02.19 UT | 18x2 min, Gain 160, Touptek SkyEye 62 AC, RASA 11, erstellt mit AIRTOOLS, Köditz Steffen Fritsche |
| 2026 August 22 00.40 UT | 10" Dobson, V 80x Christian Harder |
| 2026 August 23 00:35 UT | 42x30 s Canon 200mm/f1.8 Canon Eos Ra ISO 4000 IDAS-NBZII in WIEN Rudolf Conrad |
| 2026 August 23 00.16-01.00 UT | 16x2 min, Gain 160, Touptek SkyEye 62 AC, RASA 11, erstellt mit AIRTOOLS, Köditz Steffen Fritsche |
| 2026 August 23 00.16-01.00 UT | 16x2 min, Gain 160, Touptek SkyEye 62 AC, RASA 11, erstellt mit AIRTOOLS, Köditz Steffen Fritsche |
| 2026 August 23 00.42 UT | 9x4min 8" RASA ASI 2600 MC UHC-L-Filter Michael Jäger, Gerald Rhemann |
| 2026 August 23 00.46 UT | (mid time), 542x6 s, C8 (Celestar 8), ZWO ASI 1600MM Pro-Rome-Italy-Fabrizio Montanucci |
| 2026 August 23 00.46 UT | (mid time), 15x6 s (each frame, animation, MP4 codec), Celestar 8, ZWO ASI 1600MM Pro, Maremma countryside-Italy-Fabrizio Montanucci |
| 2026 August 23 00.50 UT | 10x180 sec., Takahashi Epsilon 130D, ASI2600mc pro Kamila Cymorek |
| 2026 August 23 00.56 UT | Aufnahme mit Takahashi Epsilon 130D und Touptek 2600 MP LRGB 30/6/6/6 min. Norbert Mrozek |
| 2026 August 23 00.56 UT | Takahashi Epsilon 130D und Touptek 2600 MP LRGB 60/6/6/6 min. Norbert Mrozek |
| 2026 August 23 01:46 UT | 60x10sec, Seestar S50, Iseltwald, Schweiz, Remote, Martin Bill |
| 2026 August 23 01.12 UT | 20x30sec. 80mm Apo F7 ASI 224mm Walter Kutschera |
| 2026 August 23 02:00 UT | 10 min.-Bel. a 10sec-subs, Seestar S50, Eurasburg Augsburg Markus Büchler |
| 2026 August 23 02:02 UT | 555x15 s, Newton-Reflektor 150/600 mm, QHY1253P, SLOAN r, Wetter (Ruhr) Christian Wöhler |
| 2026 August 23 02.16-02.54 UT | 14x2min, 10" f4.6, QHY268M, Ampflwang, Animation Thomas Schönpos |
| 2026 August 23 23:32-01:36 UT | 30cm RC + Fuji GFX 62x2min Amateursternwarte Schönebeck Uwe Wohlrab |

| | |
|---|---|
| 2026 August 24 00.38 UT | (mid time), (251+268)x6 s, C8 (Celestar 8), ZWO ASI 1600MM Pro, Maremma countryside-Italy-Fabrizio Montanucci |
| 2026 August 24 01:58 UT | 613x15 s, Newton-Reflektor 150/600 mm, QHY1253P, SLOAN r, Wetter (Ruhr) Christian Wöhler |
| 2026 August 24 01.06-01.58 UT | 25x2 min, Gain 160, Touptek SkyEye 62 AC, RASA 11, erstellt mit AIRTOOLS, Köditz centered on comet Steffen Fritsche |
| 2026 August 24 01.06-01.58 UT | 25x2 min, Gain 160, Touptek SkyEye 62 AC, RASA 11, erstellt mit AIRTOOLS, Köditz Steffen Fritsche |
| 2026 August 24 01.30 UT | 12x4min 8" RASA ASI 2600 MC UHC-L-Filter Michael Jäger, Gerald Rhemann |
| 2026 August 24 04.56 UT | Takahashi Epsilon 160ED, Lacerta DeepSkyPro2600c, Antlia Triband RGB Ultra 2" Filter, 41x30 s, Astrofarm Hakos, Namibia, Remote, Kai-Oliver Detken |
| 2026 August 30 01.14 UT | (mid time), 352x6 s, C8 (Celestar 8), ZWO ASI 1600MM Pro, Maremma countryside-Italy-Fabrizio Montanucci |
| 2026 August 31 23.45 UT | (mid time), 306x6 s, C8 (Celestar 8), ZWO ASI 1600MM Pro, Maremma countryside-Italy-Fabrizio Montanucci |
| 2026 September 01 01.30 UT | 22x180sec. 8" RASA ASI 2600 MC UHC-L Michael Jäger, Gerald Rhemann |
| 2026 September 01 01.30 UT | 11x180sec. 8" RASA ASI 2600MC UHC-L, bright moonlight Michael Jäger und Gerald Rhemann |
| 2026 September 02 01.13-02.15 UT | 56x1 min, Gain 160, Touptek SkyEye 62AC, RASA 11, erstellt mit AIRTOOLS, Köditz centered on comet Steffen Fritsche |
| 2026 September 03 02.10 UT | 24x30sec. 130mm Newton F3 QHY 290mm (64% Mond) Walter Kutschera |
| 2026 September 06 00:50 UT | 16x3min, 16" f/2.5, ASI6200MC Roland Fichtl |
| 2026 September 06 01.50 UT | 12x 30sec. 130mmNewton F3 QHY 290mm Walter Kutschera |
| 2026 September 06 02:16 UT | 661x15 s, Newton-Reflektor 150/600 mm, QHY1253P, SLOAN r, Wetter (Ruhr) Christian Wöhler |
| 2026 September 06 02.08-03.22 UT | 35x2 min, Gain 160, Touptek SkyEye 62 AC, RASA 11, erstellt mit AIRTOOLS, Köditz centered on comet Steffen Fritsche |
| 2026 September 06 02.08-03.22 UT | 35x2 min, Gain 160, Touptek SkyEye 62 AC, RASA 11, erstellt mit AIRTOOLS, Köditz Steffen Fritsche |
| 2026 September 06 03.22 UT | 7x 4min., Takahashi Epsilon 130D, ASI2600mc pro Kamila Cymorek |
| 2026 September 07 01.35 UT | 11x120sec. 12"/3.3 QHY 600 Michael Jäger, Gerald Rhemann |
| 2026 September 07 23:10 UT | 118x15s, Canon EOS 600D + Samyang T/2.2 135mm @f/2.6, scale 9.1arcsec/px, North is up. Miroslav Lošťák, Karlovy Vary, Czech Rep., SMPH |
| 2026 September 08 02.08 UT | 9x120sec. 12" f=4 QHY 600 Michael Jäger, Gerald Rhemann |
| 2026 September 09 02.35 UT | 10x120sec. 12" f=4 QHY 600 Michael Jäger, Gerald Rhemann |
| 2026 September 09 02.35 UT | LRGB 20/5/5/5 min 12" f=4 QHY600 Michael Jäger und Gerald Rhemann |
| 2026 September 10 01.30 UT | 20x30sec. 130mm Newton F3 QHY 290mm Walter Kutschera |
| 2026 September 10 23:44 UT | ASA Astrograph 12" f=3.6 Kamera: ZWO ASI 6200 MM Pro Bel.: LRGB 48/21/21/21 min., Remote, Gerald Rhemann und Michael Jäger |
| 2026 September 12 22.29-23.14 UT | 27x90s, VMC200-Reducer, Sony a7II, Harald Kaiser |
| 2026 September 12 23.39 UT | (mid time), 140x30 s, C11, ZWO ASI 1600MM Pro, Rome-Italy-Fabrizio Montanucci |
| 2026 September 13 01.13 UT | 3x2min 12"/f-3.3 Deltagraph QHY 600 Michael Jäger, Gerald Rhemann |
| 2026 September 14 17:39 UT | Planewave 20" CDK, FLI Proline 16803, 300s, Koma 2,3‘, Schweif 14‘ PA 259°, T 12,4 mag, Siding Spring, Australien, Remote, Michael Hauss |
| 2026 September 14 23.05 UT | Aufnahme mit Takahashi Epsilon 130D und Touptek 2600 MP Luminanz 7x200s. Norbert Mrozek |
| 2026 September 15 01:12 UT | 957x20 s, Newton-Reflektor 150/600 mm, QHY1253P, SLOAN r, Florémont, Frankreich Christian Wöhler |
| 2026 September 16 23:35 UT | ASA Astrograph 12" f=3.6 Kamera: ZWO ASI 6200 MM Pro Bel.: LRGB 36/12/12/12 min., Remote, Gerald Rhemann, Michael Jäger |
| 2026 September 18 23.46-00.43 UT | 14x4 min, Gain 160, Touptek SkyEye 62 AC, RASA 11, erstellt mit AIRTOOLS, Köditz centered on comet Steffen Fritsche |
| 2026 September 18 23.46-00.43 UT | 14x4 min, Gain 160, Touptek SkyEye 62 AC, RASA 11, erstellt mit AIRTOOLS, Köditz Steffen Fritsche |
| 2026 September 20 00.43 UT | 36x2min, Hypergraph8, Canon Ra, 50% crop, St. Ulrich 500m, Austria centered on comet Helmut Dannbauer |
| 2026 September 20 00.45 UT | L-24x120sec. + RGB 16"/3.2 QHY 600 Michael Jäger, Gerald Rhemann |
| 2026 September 21 00.04 UT | (mid time), 174x30 s, C11, ZWO ASI 1600MM Pro, Rome-Italy-Fabrizio Montanucci |
| 2026 September 23 00.45-01.39 UT | 13x4 min, Gain 160, Touptek SkyEye 62 AC, RASA 11, erstellt mit AIRTOOLS, Köditz centered on comet Steffen Fritsche |
| 2026 September 23 00.45-01.39 UT | 13x4 min, Gain 160, Touptek SkyEye 62 AC, RASA 11, erstellt mit AIRTOOLS, Köditz Steffen Fritsche |
| 2026 September 23 02:00 UT | 745x20 s, Newton-Refractor 150/600 mm, QHY1253P, SLOAN-r-Filter, Wetter (Ruhr) Christian Wöhler |
| 2026 September 23 02:18 UT | Newton 8" f/4, Canon EOS 600D, exp. 73x30s, scale 2.2arcsec/px, North is up. Miroslav Lošťák, Karlovy Vary, Czech Rep., SMPH |
| 2026 September 23 02:34 UT | 70x30 sec., Seestar S50, Seestar S50, Roßtal Klemens Waldhör |
| 2026 September 23 02.15 UT | 60x10s, SeeStar S50, Garbsen Volker Kasten |
| 2026 September 25 00:03 UT | 64x30 sec., Seestar S50, Seestar S50, Roßtal Klemens Waldhör |
| 2026 September 26 01:34 UT | 60x30 sec., Seestar S50, Seestar S50, Roßtal Klemens Waldhör |
| 2026 September 26 01:39 UT | 820x20 s, Newton-Reflektor 150/600 mm, QHY1253P, SLOAN-r-Filter, Wetter (Ruhr) Christian Wöhler |
| 2026 September 27 01:26 UT | 61x30 sec., Seestar S50, Seestar S50, Roßtal Klemens Waldhör |
| 2026 September 28 01:45 UT | 61x30 sec., Seestar S50, Seestar S50, Roßtal Klemens Waldhör |
| 2026 September 29 01:27 UT | 58x30 sec., Seestar S50, Seestar S50, Roßtal Klemens Waldhör |
| 2026 October 01 00:22 UT | 63x30 sec., Seestar S50, Seestar S50, Roßtal Klemens Waldhör |
| 2026 October 01 00.59-01.48 UT | 23x2 min, Gain 160, Touptek SkyEye 62 AC, RASA 11, erstellt mit AIRTOOLS, Köditz centered on comet Steffen Fritsche |
| 2026 October 04 00:38 UT | 53x30 sec., Seestar S50, Seestar S50, Roßtal Klemens Waldhör |
| 2026 October 05 00:45 UT | 666x20 s, Newton-Reflektor 150/600 mm, QHY1253P, Wetter (Ruhr) Christian Wöhler |
| 2026 October 05 22.29 UT | 26x2 min, Hypergraph8, Canon Ra, 50% crop, St. Ulrich 500m, Austria centered on comet Helmut Dannbauer |
| 2026 October 06 00.30 UT | 23x30sec. 130mm Newton F3 QHY 290mm Walter Kutschera |
| 2026 October 06 01:39 UT | 832x20 s, Newton-Reflektor 150/600 mm, QHY1253P, Wetter (Ruhr) Christian Wöhler |
| 2026 October 06 02.06-03.03 UT | 14x4 min, Gain160, Touptek SkyEye 62 AC, RASA 11, erstellt mit AIRTOOLS, Köditz centered on comet Steffen Fritsche |
| 2026 October 06 02.06-03.03 UT | 14x4 min, Gain160, Touptek SkyEye 62 AC, RASA 11, erstellt mit AIRTOOLS, Köditz Steffen Fritsche |
| 2026 October 09 02:48 UT | 83x30 sec., Seestar S50, Seestar S50, Roßtal Klemens Waldhör |
| 2026 October 09 08:42 UT | Planewave 17" CDK f/4,5, FLI-PL 6303E, 300s, Koma 30", Schweif 2‘ PA 265°, T 13,1 mag, T21, Utah, USA, Remote, Michael Hauss |
| 2026 October 12 01:39 UT | 1x30 sec., Seestar S50, Seestar S50, Roßtal Klemens Waldhör |
| 2026 October 12 02:15 UT | 824x20 s, Newton-Reflektor 150/600 mm, QHY1253P, SLOAN r, Wetter (Ruhr) Christian Wöhler |
| 2026 October 12 22.19 UT | (mid time), 182x30 s, C11, ZWO ASI 1600MM Pro, Rome-Italy-Fabrizio Montanucci |
| 2026 October 12 23.36 UT | 16x120sec. 12"/3.3 Deltagraph QHY 600 Michael Jäger, Gerald Rhemann |
| 2026 October 12 23.50 UT | 16x120sec. 12"/3.3 Deltagraph QHY 600 Michael Jäger, Gerald Rhemann |
| 2026 October 13 01.50-02.44 UT | 13x4 min, Gain 160, Touptek SkyEye 62 AC, RASA 11, erstellt mit AIRTOOLS, Köditz centered on comet Steffen Fritsche |
| 2026 October 13 01.50-02.44 UT | 13x4 min, Gain 160, Touptek SkyEye 62 AC, RASA 11, erstellt mit AIRTOOLS, Köditz Steffen Fritsche |
| 2026 October 13 23.30 UT | 22x30sec. 130mm Newton F3 QHY 290mm Walter Kutschera |
| 2026 October 18 00.10 UT | 23x30sec. 130mm Newton F3 QHY 290mm Walter Kutschera |
| 2026 October 19 21.53 UT | (mid time), 131x30 s, C11, ZWO ASI 1600MM Pro, Rome-Italy-Fabrizio Montanucci |

## Helligkeitsmeldungen der FG Kometen im ICQ-Format:

| Zeitpunkt | Beobachtungsdaten | | |

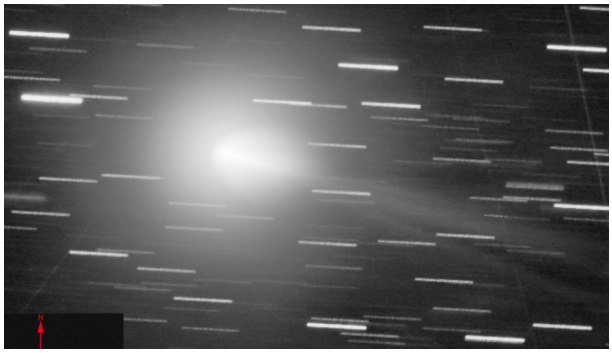
| Zeitpunkt YYYY MM DD.Dd | Beobachtungsdaten M[mm.m:rfAAA.ATF/xxxx >dd.ddnDC >t.tt GGG: | Beobachter | Mag | Bemerkungen |
|---|---|---|---|---|
| 2026 08 09.07 | Z 7.3 BG 03.5R 4C060 11 | PIL01I | C11 | mDW3 IM6 AIR 5 2.8s 2.8 Location: Leipzig; Comment: CMOS OSC/G, moon 18% dist 45 deg |
| 2026 08 09.07 | Z 7.0 BG 27.9L 2B400 23 0.25 253 | FRI02I | C23 | mTSC IMX AIR 5 1.3s 1.3 Location: Koeditz; Comment: CMOS OSC/G, mlim=21.0, moon 18% dist 45 deg, plasma tail 0.67 deg at pa=258 |
| 2026 08 09.07 | Z 7.0 BG 27.9L 2B400 23 | LEH02I | C23 | mZCP IMX AIR 5 1.2s 1.2 Location: Weimar; Comment: CMOS OSC/G, mlim=20.8, moon 18% dist 45 deg, plasma tail 1.6 deg at pa=257 |
| 2026 08 11.04 | S 7.8 TK 5.0B 15 5.3 3/ | KAS01 | | |
| 2026 08 12.03 | B 7.3 TK 10.0R5 20 3.9 4 0.09 240 ICQXXX | HAS02 | | |
| 2026 08 12.09 | Z 7.9 BG 27.9L 2B340 20 0.52 252 | LEH02I | C20 | mZCP IMX AIR 5 1.2s 1.2 Location: Weimar; Comment: CMOS OSC/G, mlim=20.9 |
| 2026 08 12.16 | S 7.4 TK 8.0R 7 17 6.8 4 0.13 | KUT | 5.8 | Ausgeprägte Koma mit Streamern |
| 2026 08 13.01 | B 8.0 TK 5.0B 10 3.2 4 ICQXXX | HAS02 | | |
| 2026 08 14.17 | S 8.8 TK 8.0R 7 17 5.2 5 0.3 | KUT | 5.8 | |
| 2026 08 16.08 | Z 10.2 BG 03.5R 4A020 2.7 | PIL01I | C 2.7 | mDW3 IM6 AIR 5 2.8s 2.8 Location: Leipzig; Comment: CMOS OSC/G |
| 2026 08 21.08 | Z 9.5 BG 27.9L 2B160 11 0.77 251 | FRI02I | C11 | mTSC IMX AIR 5 1.3s 1.3 Location: Koeditz; Comment: CMOS OSC/G, mlim=21.3 |
| 2026 08 23.03 | Z 9.7 BG 27.9L 2A920 12 0.91 252 | FRI02I | C12 | mTSC IMX AIR 5 1.3s 1.3 Location: Koeditz; Comment: CMOS OSC/G, mlim=20.6 |
| 2026 08 23.13 | S 8.7:TK 8.0R 7 17 2.5 5 10.2 | KUT | 6.0 | Komet direkt am 10m Stern |
| 2026 08 24.05 | V 10.7 AV 5.0R 5C360 4.0 20.2m255 ICQ XX | MEY I | C 3.9 | 6mS50 IM2 TYT 0 U9*0.03 11.0 2.4s 2.4 |
| 2026 08 24.06 | Z 9.8 BG 27.9L 2C000 11 0.90 253 | FRI02I | C11 | mTSC IMX AIR 5 1.3s 1.3 Location: Koeditz; Comment: CMOS OSC/G, mlim=21.3 |
| 2026 09 02.07 | Z 10.7 BG 27.9L 2C360 7.5 0.83 257 | FRI02I | C 7.5 | mTSC IMX AIR 5 1.3s 1.3 Location: Koeditz; Comment: CMOS OSC/G, mlim=20.6, moon 75% dist 17 deg |
| 2026 09 03.17 | S 10.7:TK 50.8L 5 120 > 1.4 4 > 0.10 | KUT | 5.0 | Direkt bei 11m Stern + 64% Mond |
| 2026 09 06.04 | V 11.7 AV 5.0R 5A800 3.1 17.9m258 ICQ XX | MEY I | C 3.0 | 9mS50 IM2 TYT 0 U9*0.03 11.8 2.4s 2.4 |
| 2026 09 06.13 | S 10.8:TK 50.8L 5 80 > 3.1 5 > 0.12 | KUT | 5.5 | Mond 31% |
| 2026 09 10.10 | S 11.1 TK 50.8L 5 80 3.3 5 0.09 | KUT | 6.0 | |
| 2026 09 11.02 | V 11.5 AV 5.0R 5A890 2.8 14.5m258 ICQ XX | MEY I | C 2.7 | 7mS50 IM2 TYT 0 U9*0.03 11.5 2.4s 2.4 |
| 2026 09 15.06 | Z 11.6 BG 03.5R 4A350 3.3 | PIL01I | C 3.3 | mDW3 IM6 AIR 5 2.8s 2.8 Location: Leipzig; Comment: CMOS OSC/G |
| 2026 09 16.15 | S 11.5:TK 50.8L 5 80 2.8 4 0.060 | KUT | 6.0 | Komet bedeckt 11m Stern direkt |
| 2026 09 17.12 | V 12.0 AV 5.0R 5A770 3.2 13.7m260 ICQ XX | MEY I | C 3.2 | 5mS50 IM2 TYT 0 U9*0.09 11.9 2.4s 2.4 |
| 2026 09 19.01 | Z 10.8 BG 27.9L 2C360 9.8 1.17 260 | FRI02I | C 9.8 | mTSC IMX AIR 5 1.3s 1.3 Location: Koeditz; Comment: CMOS OSC/G, mlim=21.4 |
| 2026 09 23.05 | Z 11.1 BG 27.9L 2C120 8.2 1.34 261 | FRI02I | C 8.2 | mTSC IMX AIR 5 1.3s 1.3 Location: Koeditz; Comment: CMOS OSC/G, mlim=21.7 |
| 2026 09 26.03 | V 12.7 AV 5.0R 5B210 1.6 2.3m261 ICQ XX | MEY I | C 1.5 | 8mS50 IM2 TYT 0 U9*0.03 12.7 2.4s 2.4 |
| 2026 10 01.06 | Z 11.7 BG 27.9L 2B760 6.8 0.28 262 | FRI02I | C 6.8 | mTSC IMX AIR 5 1.3s 1.3 Location: Koeditz; Comment: CMOS OSC/G, mlim=20.6, moon 77% dist 22 deg |
| 2026 10 06.04 | Z 10.8 BG 03.5R 4C720 7.6 | PIL01I | C 7.6 | mDW3 IM6 AIR 5 2.8s 2.8 Location: Leipzig; Comment: CMOS OSC/G, moon 23% dist 83 deg |
| 2026 10 06.10 | S 12.0 TK 50.8L 5 80 1.2 4 0.0608 | KUT | 5.8 | Visuell längliches Nebelfleckchen |
| 2026 10 06.10 | S 12.0 TK 50.8L 5 80 1.2 4 0.0608 | KUT | 5.8 | Visuell längliches Nebelfleckchen |
| 2026 10 06.11 | Z 11.2 BG 27.9L 2C360 8.5 0.60 262 | FRI02I | C 8.5 | mTSC IMX AIR 5 1.3s 1.3 Location: Koeditz; Comment: CMOS OSC/G, mlim=21.6, moon 23% dist 84 deg |
| 2026 10 13.02 | Z 11.6 BG 27.9L 2B640 6.1 1.53 264 | LEH02I | C 6.1 | mZCP IMX AIR 5 1.2s 1.2 Location: Weimar; Comment: CMOS OSC/G, mlim=21.2 |
| 2026 10 13.07 | S 12.5 HS 50.8L 5 80 1.8 4 | KUT | 6.0 | |
| 2026 10 13.09 | Z 11.2 BG 27.9L 2C120 8.7 0.87 264 | FRI02I | C 8.7 | mTSC IMX AIR 5 1.3s 1.3 Location: Koeditz; Comment: CMOS OSC/G, mlim=21.7 |
| 2026 10 15.02 | Z 13.2 BG 03.5R 4A650 1.4 | PIL01I | C 1.3 | mDW3 IM6 AIR 5 2.8s 2.8 Location: Leipzig; Comment: CMOS OSC/G |
| 2026 10 18.09 | S 12.8 HS 50.8L 5 120 1.5 4 | KUT | 6.0 | Elongiertes Nebelfleckchen P2026R2 2026 10 05.76 Z 11.0 BG 27.9L 2A540 10 0.05 74 FRI02I C10 mTSC IMX AIR 5 1.3s 1.3 Location: Koeditz; Comment: CMOS OSC/G, mli |




Komet **220P/McNaught** am 07. August 2026 um 01:47 UT, 12 x 120 Sekunden belichtet, 0,4-m f/3,8 Orion Optics AG16, SBIG STL- 6303E, B96 BRIXIIS Observatory Kruibeke Belgium, Erik Bryssinck



Komet **220P/McNaught** am 07. August 2026 um 01:40 UT, 20 x 1 Minuten belichtet, 16" f/2,5, ASI6200MM, Roland Fichtl



Komet **220P/McNaught** am 08. August 2026, New 360mm F 1850+sbig st10xme, Jose Carrillo, Fuensanta Jaen España



Komet **220P/McNaught** am 12. August 2026 um 01:15-02:30 UT, 25cm F/3,3 Deltagraph + FujiXT30, 37 x 2 Minuten belichtet, Hochgurgl/Ötztaler Alpen, Uwe Wohlrab



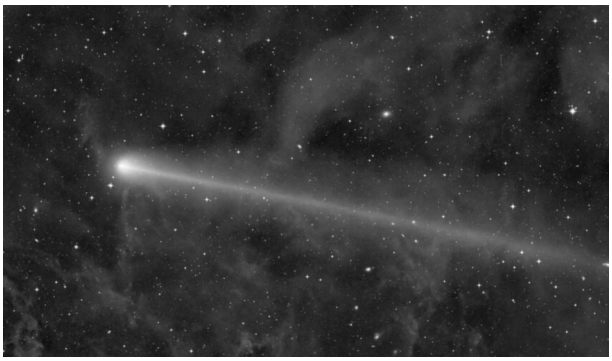
Komet **220P/McNaught** am 18. August 2026 um 01:36 UT, ASA Astrograph 12" f=3,6, ZWO ASI 6200 MM Pro, LRGB 48/21/21/21 Minuten belichtet, Gerald Rhemann und Michael Jäger



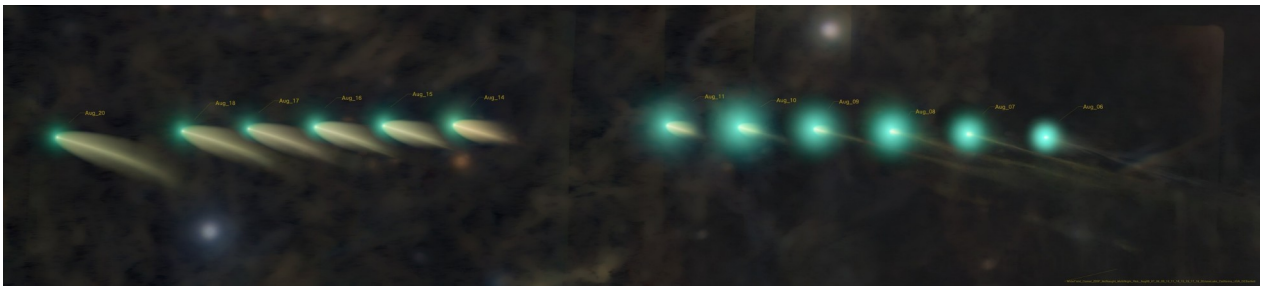
Komet **220P/McNaught** am 23. August 2026 um 00:56 UT. Takahashi Epsilon 130D und Touptek 2600 MP LRGB 60/6/6/6 Minuten belichtet, Norbert Mrozek



Komet **220P/McNaught** am 24. August 2026 um 01.06 - 01.58 UT, 25 x 2 Minuten belichtet, Gain 160, Touptek SkyEye 62 AC, RASA 11, Köditz, Steffen Fritsche



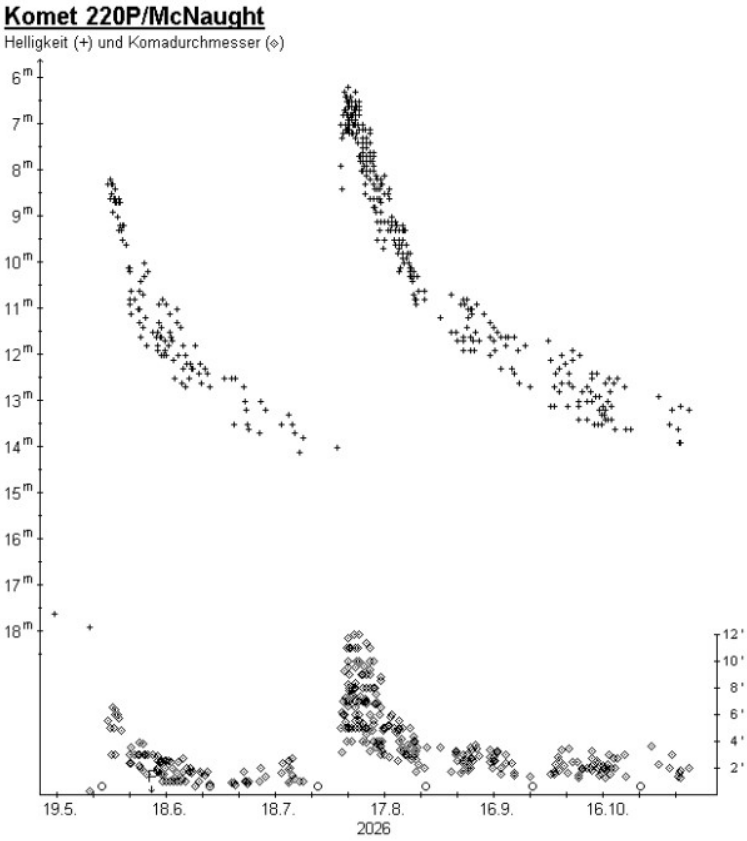
Komet **220P/McNaught** am 09. September 2026 um 02:35 UT, 10 x 120 Sekunden belichtet, 12" f=4 QHY 600, Michael Jäger und Gerald Rhemann



Mosaik der Entwicklung des Kometen **220P/McNaught** zwischen dem 6. und 20. August 2026 (Dan Bartlett)

Nachdem der Komet **220P/McNaught** (P=5,51[a]) im Juni bereits mit einem großen Ausbruch (mit einer Amplitude von fast 10 Magnituden) überraschte, erstaunte er die Beobachter mit einem weiteren Ausbruch Anfang August. Basierend auf 464 Beobachtungen von 74 Beobachtern erreichte der Komet im ersten Ausbruch am 3. Juni eine Maximalhelligkeit von 8,3[m]. Danach ging die Helligkeit bis Anfang August bis auf

14$^m$ zurück. Am 5. August ereignete sich dann der zweite Ausbruch, bei dem die Helligkeit des Kometen innerhalb von 48 Stunden um 8$^m$ anstieg. Die größte Helligkeit von 6,3$^m$ wurde am 7. August erreicht. Bis Anfang November war die Helligkeit wieder auf 13,5$^m$ zurückgegangen.




Parallel zur Helligkeit entwickelte sich der Komadurchmesser. Maß dieser im Mai lediglich 0,3‘ (20.000 km) so erreichte er im ersten Ausbruch einen maximalen Wert von 6,5‘ (425.000 km). Danach ging er bis Anfang Juli wieder auf 1,5‘ (90.000 km) zurück. Im zweiten Ausbruch wurden sogar 12‘ (625.000 km) erreicht. Erneut verkleinerte sich die Koma im Anschluss wieder und maß Anfang November nur noch 3‘ (125.000 km). Bei jedem Ausbruch zeigte der Komet zunächst eine hochverdichtete Koma. Der Kondensationsgrad erreichte im ersten Ausbruch kurzfristig DC 6, im zweiten sogar DC 7-8. Zwischen den Ausbrüchen war der Kondensationsgrad wieder bis auf DC 2 zurückgegangen. Diesen Wert wies der Komet auch Ende September auf (danach wurden keine DC-Schätzungen mehr publiziert). Im ersten Ausbruch wurde kurzfristig ein Schweif mit einer maximalen Länge von 0,5° (20. Juni) erzeugt (der zwischen dem 10. und 30. Juni länger als 0,2° war), was einer absoluten Länge von 3 Mill. km entspricht. Im zweiten Ausbruch erreichte der Schweif eine Länge von 1,0° = 5 Mill. km (am 25. August; länger als 0,2° war dieser zwischen dem 10. August und Mitte Oktober). Der Schweif war konstant nach Westen gerichtet.

Mit dem TRAPPIST-Teleskop wurden am 20. Oktober 2026 (r = 1,96 AE, ΔT = +128$^d$) die folgenden Produktionsraten (Moleküle/s) festgestellt: CN: 1,3·10$^{24}$, $C_2$: 2,5·10$^{24}$, Staub: 56 cm (ATel 18116).

Die weitere Entwicklung des Kometen ist unklar. Im Winter 2026/27 kann er im Sternbild Walfisch gefunden werden, ist somit ein Objekt des Abendhimmels. Am 14. Februar kreuzt die Erde die Kometenbahnebene.

## Komet 235P/LINEAR

Das zunächst scheinbar asteroidale Objekt wurde auf Aufnahmen vom 16.03.2002 im Rahmen des LINEAR-Surveys entdeckt und erhielt die Bezeichnung 2002 FA9. Rob McNaught konnte das Objekt mit dem 0,5m Uppsala Teleskop am 20.03.2010 wiederentdecken und erkannte dabei kometare Eigenschaften. Der Komet gehört der Jupiter-Familie an. Siehe Schweifstern 135.

Bahnelemente:

| T [UT] | ω [°] | Ω [°] | i [°] | q [AE] | e [AE] | P [a] | Epoche |
|---|---|---|---|---|---|---|---|
| 2025 12 22,7367 | 352,2247 | 200,1641 | 9,8125 | 1,978 | 0,426161 | 6,4 | 12.11.2026 |

Fotos und Beobachtungen der FG Kometen:

| Zeitpunkt | Details zur Aufnahme |
|---|---|
| 2026 August 05 10:34 UT | Planewave 20" CDK f/4, FLI PL6303E, 300s, Koma 12", breiter Schweifansatz PA 120°, T 16,1 mag, T30, Siding Spring, Australien, Remote, Michael Hauss |

Helligkeitsmeldungen der FG Kometen im ICQ-Format:

| Zeitpunkt YYYY MM DD.Dd | Beobachtungsdaten M[mm.m:rfAAA.ATF/xxxx | >dd.ddnDC | >t.tt GGG: | Beobachter | Mag | Bemerkungen |
|---|---|---|---|---|---|---|
| 2026 08 01.77 | Z 15.0 BG 10.6R 5A260 | 2.0 | 0.09 256 | LEH02I | C 2.0 | mMC3 IMX AIR 5 1.5s 1.5 Location: Hakos (remote); Comment: CMOS/G, mlim=20.4 |
| 2026 08 12.76 | Z 15.3 BG 10.6R 5A260 | 1.9 | 0.18 266 | LEH02I | C 1.9 | mMC3 IMX AIR 5 1.5s 1.5 Location: Hakos (remote); Comment: CMOS/G, mlim=20.6 |

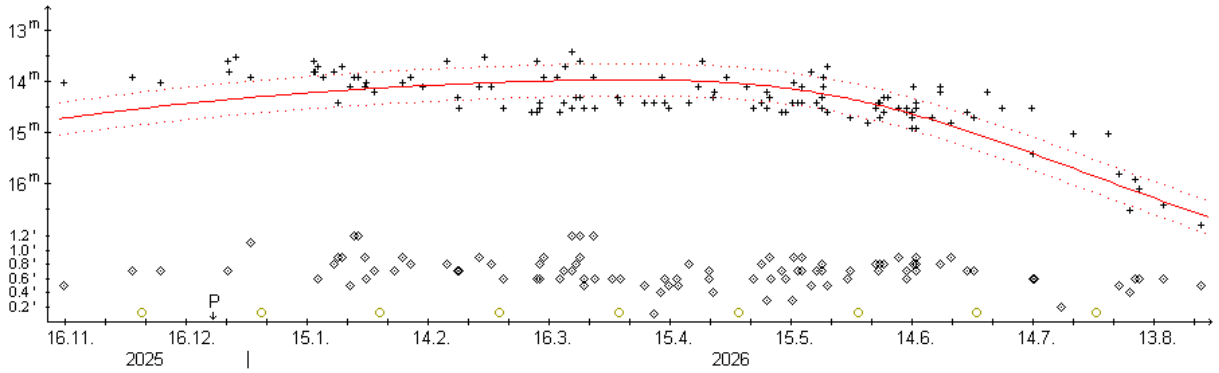
| Zeitpunkt<br>YYYY MM DD.Dd | Beobachtungsdaten<br>M[mm.m:rfAAA.ATF/xxxx >dd.ddnDC >t.tt GGG: | Beobachter | Mag | Bemerkungen |
|---|---|---|---|---|
| 2026 08 23.88 | Z 17.9:BG 27.9L 2a960 0.3 | FRI02I | C 0.3 | mTSC IMX AIR 5 1.3s 1.3 Location: Koeditz; Comment: CMOS OSC/G, mlim=18.9, moon 83% dist 32 deg |

Auf der Aufnahme von Michael Hauss zeigt der etwa 16 mag helle Komet einen breiten Schweifansatz.

Eine Neubewertung der Beobachtungen des Kometen **235P/LINEAR** (P=6,40[a]) und geringe Verlängerung der Beobachtungsdauer ergibt nahezu gleiche Ergebnisse im Vergleich zu Sst 207. Auf der Basis von 143 Beobachtungen (überwiegend per CCD) von 27 Beobachtern kann die Helligkeitsentwicklung gut mit den Parametern $m_0$ = 7,3[m] / n = 7 dargestellt werden, was eine Maximalhelligkeit von 14,0[m] Anfang April 2026 ergibt. Anfang August wurde er schwächer als 16,0[m]. Weitere Ergebnisse entnehme man Sst 207.

**Komet 235P/LINEAR**

Helligkeit (+) und Komadurchmesser (◇)




# Komet 260P/McNaught

McNaught meldete die Entdeckung des 17,3 mag hellen Kometen P/2005 K3 auf einer Aufnahme vom 20.05.2005 im Rahmen des Siding Spring Surveys. Siehe IAUC 8535. Martin Masek gelang am 08.05.2012 die Wiederentdeckung des Kometen als P/2012 K2 mit einem remote-betriebenen 30cm-Reflektor in Argentinien. Siehe Schweifstern 146.

Bahnelemente:

| T [UT] | ω [°] | Ω [°] | i [°] | q [AE] | e [AE] | P [a] | Epoche |
|---|---|---|---|---|---|---|---|
| 2026 08 5,0016 | 18,5085 | 349,2712 | 15,0395 | 1,417982 | 0,608608 | 6,9 | 12.11.2026 |

Fotos und Beobachtungen der FG Kometen:

| Zeitpunkt | Details zur Aufnahme |
|---|---|
| 2026 August 03 01.28-02.12 UT | 40x1 min, Gain 160, Touptek SkyEye 62 AC, RASA 11, erstellt mit AIRTOOLS, Köditz centered on comet Steffen Fritsche |
| 2026 August 07 02.16 UT | 12x120 sec, 0.4-m f/3.8 Orion Optics AG16, SBIG STL6303E, B96 BRIXIIS observatory Kruibeke Belgium Erik Bryssinck |
| 2026 August 09 00.15-01.05 UT | 24x2 min, Gain 160, Touptek SkyEye 62 AC, RASA 11, erstellt mit AIRTOOLS, Köditz Steffen Fritsche |
| 2026 August 09 01.10 UT | 26x30sec. 130mm Newton F3 QHY 290mm Walter Kutschera |
| 2026 August 10 01:00 UT | 8x2min, 16" f/2.5, CDS-5D Roland Fichtl |
| 2026 August 12 01.43 UT | 11x120sec. 16"/3.2 QHY600 Michael Jäger, Gerald Rhemann |
| 2026 August 13 00:15-02:01 UT | Fuji GFX + 4/250 52x60s Tiefenbachgletscher/Ötztaler Alpen Uwe Wohlrab |
| 2026 August 13 00:22-01:50 UT | 25cm F/3.3 Deltagraph + Fuji XT30 88x1min Tiefenbachgletscher/Ötztaler Alpen Uwe Wohlrab |
| 2026 August 16 12:16 UT | Planewave 24" CDK f/6,5, FLI 16200, T 14,2 mag, 300s, T24, California, USA, Remote, Michael Hauss |
| 2026 August 21 02.21-02.43 UT | 20x1 min, Gain 160, Touptek SkyEye 62 AC, RASA 11, erstellt mit AIRTOOLS, Köditz centered on comet Steffen Fritsche |
| 2026 August 23 00.30 UT | 20x100sec. 16"/3.2 QHY600 Michael Jäger und Gerald Rhemann |
| 2026 August 23 00.30 UT | 10x4min 8" RASA ASI 2600 MC UHC-L Michael Jäger und Gerald Rhemann |
| 2026 August 23 01.51 UT | (mid time), 256x6 s, C8 (Celestar 8), ZWO ASI 1600MM Pro, Maremma countryside-Italy-Fabrizio Montanucci |
| 2026 August 24 00.20-00.58 UT | 34x1 min, Gain 160, Touptek SkyEye 62 AC, RASA 11, erstellt mit AIRTOOLS, Köditz centered on comet Steffen Fritsche |
| 2026 August 24 00.20-00.58 UT | 34x1 min, Gain 160, Touptek SkyEye 62 AC, RASA 11, erstellt mit AIRTOOLS, NGC 1514, Köditz Steffen Fritsche |
| 2026 August 24 02.23 UT | 4x4min 8" RASA ASI 2600 MC UHC-L-Filter Michael Jäger, Gerald Rhemann |
| 2026 August 29 23.51 UT | (mid time), 196x6 s, C8 (Celestar 8), ZWO ASI 1600MM Pro, Maremma countryside-Italy-Fabrizio Montanucci |
| 2026 September 04 23.35 UT | 10x3min 12"/f-3.3 ASI 2600MC Michael Jäger, Gerald Rhemann |
| 2026 September 07 00.12 UT | 6x120sec. 12"/f-3.3 Deltagraph QHY 600 Michael Jäger, Gerald Rhemann |
| 2026 September 07 00.17 UT | 5x120sec. 12"/3.3 QHY 600 Michael Jäger, Gerald Rhemann |
| 2026 September 08 01.14 UT | 5x120sec. 12" f=4 QHY 600 Michael Jäger, Gerald Rhemann |
| 2026 September 12 22.31 UT | 11x100sec. 12"/3.3 QHY 600 Michael Jäger, Gerald Rhemann |
| 2026 September 16 23.50 UT | 26x30 sec. 130mm Newton F5 QHY 290mm Walter Kutschera |
| 2026 September 18 01.30 UT | 5x100sec. 12"/3.3 QHY 600 Michael Jäger, Gerald Rhemann |
| 2026 September 19 01.58-02.45 UT | 22x2 min, Gain 160, Touptek SkyEye 62 AC, RASA 11, erstellt mit AIRTOOLS, Köditz centered on comet Steffen Fritsche |
| 2026 September 20 01.15 UT | 8x120sec. 16"/3.2 QHY 600 Michael Jäger, Gerald Rhemann |
| 2026 October 05 00.18 UT | 15x120sec. 16"/3.2 QHY 600 Michael Jäger, Gerald Rhemann |
| 2026 October 06 21.55 UT | 22x 30sec. 130mm Newton F3 QHY 290mm Walter Kutschera |
| 2026 October 08 23:23-00:51 UT | 30cm RC+Fuji GFX 43x2min Amateursternwarte Schönebeck Uwe Wohlrab |
| 2026 October 12 23.55-00.48 UT | 13x4 min, Gain 160, Touptek SkyEye 62 AC, RASA 11, erstellt mit AIRTOOLS, Köditz centered on comet Steffen Fritsche |
| 2026 October 13 00.10 UT | 13x120sec. 12"/3.3 QHY 600 Michael Jäger, Gerald Rhemann |
| 2026 October 13 22.39 UT | 2x120 sec, 0.4-m f/3.8 Orion Optics AG16, SBIG STL6303E, B96 BRIXIIS Observatory Kruibeke Belgium Erik Bryssinck |
| 2026 October 15 00.15 UT | 24x30sec. 13mm Newton F3 QHY 290mm Walter Kutschera |

| Zeitpunkt | Details zur Aufnahme |
|---|---|
| 2026 October 23 02.33 UT | 11x120sec. 12"/3.3 QHY 600 Michael Jäger, Gerald Rhemann |

Helligkeitsmeldungen der FG Kometen im ICQ-Format:

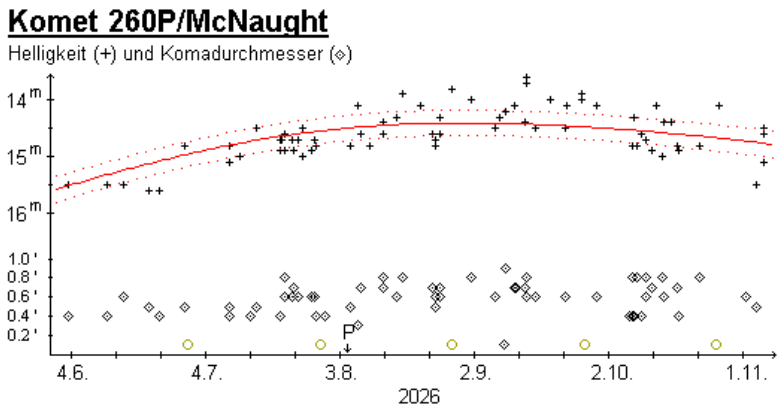
| Zeitpunkt YYYY MM DD.Dd | Beobachtungsdaten M[mm.m:rfAAA.ATF/xxxx | >dd.ddnDC | >t.tt GGG: | Beobachter | Mag | Bemerkungen |
|---|---|---|---|---|---|---|
| 2026 08 03.08 | Z 14.4 BG 27.9L 2B400 | 0.9 | 0.05 250 | FRI02I | C 0.9 | mTSC IMX AIR 5 1.3s 1.3 Location: Koeditz; Comment: CMOS OSC/G, mlim=20.2, moon 81% dist 48 deg |
| 2026 08 09.03 | Z 14.1 BG 27.9L 2B880 | 1.7 | 0.11 252 | FRI02I | C 1.7 | mTSC IMX AIR 5 1.3s 1.3 Location: Koeditz; Comment: CMOS OSC/G, mlim=20.9, moon 19% dist 30 deg |
| 2026 08 09.04 | Z 13.8 BG 27.9L 2A920 | 2.5 | 0.18 253 | LEH02I | C 2.5 | mZCP IMX AIR 5 1.2s 1.2 Location: Weimar; Comment: CMOS OSC/G, mlim=20.8, moon 18% dist 30 deg |
| 2026 08 21.11 | Z 14.1 BG 27.9L 2A200 | 1.3 | 0.09 258 | FRI02I | C 1.3 | mTSC IMX AIR 5 1.3s 1.3 Location: Koeditz; Comment: CMOS OSC/G, mlim=20.8 |
| 2026 08 24.03 | Z 13.8 BG 27.9L 2B040 | 2.5 | 0.09 258 | FRI02I | C 2.5 | mTSC IMX AIR 5 1.3s 1.3 Location: Koeditz; Comment: CMOS OSC/G, mlim=21.0 |
| 2026 09 08.02 | Z 14.3 BG 27.9L 2A680 | 1.1 | 0.21 264 | LEH02I | C 1.1 | mZCP IMX AIR 5 1.2s 1.2 Location: Weimar; Comment: CMOS OSC/G, mlim=20.6 |
| 2026 09 11.10 | V 14.1 HS 50.8L 5 a20 | 0.7 7 | 0.03 | KUT | 6.4 | |
| 2026 09 16.08 | V 14.5 HS 50.8L 5 a20 | 0.6 7 | 0.016 | KUT | 6.0 | |
| 2026 09 19.10 | Z 14.0 BG 27.9L 2B640 | 1.6 | 0.07 267 | FRI02I | C 1.6 | mTSC IMX AIR 5 1.3s 1.3 Location: Koeditz; Comment: CMOS OSC/G, mlim=21.2 |
| 2026 09 23.05 | Z 14.1 BG 27.9L 2B880 | 1.6 | 0.19 267 | LEH02I | C 1.6 | mZCP IMX AIR 5 1.2s 1.2 Location: Weimar; Comment: CMOS OSC/G, mlim=21.3 |
| 2026 09 26.13 | Z 14.0 BG 03.5R 4B730 | 1.6 | | PIL01I | C 1.6 | mDW3 IM6 AIR 5 2.8s 2.8 Location: Leipzig; Comment: CMOS OSC/G, moon 100% dist 89 deg |
| 2026 10 07.00 | S 15.2 AV 50.8L 5 a20 | 0.4 6 | 0.016m | KUT | 6.0 | |
| 2026 10 13.01 | Z 14.1 BG 27.9L 2C120 | 2.1 | 0.14 272 | FRI02I | C 2.1 | mTSC IMX AIR 5 1.3s 1.3 Location: Koeditz; Comment: CMOS OSC/G, mlim=21.6 |
| 2026 10 13.06 | Z 14.6 BG 27.9L 2B880 | 1.1 | 0.23 273 | LEH02I | C 1.1 | mZCP IMX AIR 5 1.2s 1.2 Location: Weimar; Comment: CMOS OSC/G, mlim=21.3 |
| 2026 10 15.10 | V 14.2 HS 50.8L 5 a20 | 0.6 7 | 0.018m | KUT | 6.0 | |
| 2026 10 16.12 | Z 14.4 BG 03.5R 4C630 | 1.4 | | PIL01I | C 1.4 | mDW3 IM6 AIR 5 2.8s 2.8 Location: Leipzig; Comment: CMOS OSC/G |



Komet **260P/McNaught** am 13. August 2026 um 00:22-01:50 UT, 25cm F/3,3 Deltagraph + Fuji XT30, 88 x 1 Minuten belichtet, Tiefenbachgletscher/Ötztaler Alpen, Uwe Wohlrab



Komet **260P/McNaught** am 08. September 2026 um 01:14 UT, 5 x 120 Sekunden belichtet, 12" f=4 QHY 600, Michael Jäger und Gerald Rhemann




Der Komet **260P/McNaught** (P=6,90ª) erreichte Ende August / Anfang September 2026 eine maximale Helligkeit von 14,5$^m$, wie 81 Beobachtungen (überwiegend per CCD) von 28 Beobachtern ausweisen. Die Helligkeitsentwicklung kann gut mit den Parametern $m_0$ = 13,0$^m$ / n = 3 simuliert werden. Der Durchmesser der eher gering verdichteten (DC 3-4) Koma nahm im Verlauf der Sichtbarkeit leicht von 0,4‘ auf 0,7‘ Mitte Oktober zu, was einem ziemlich konstanten absoluten Durchmesser von 30.000 km entspricht. Ein Schweifansatz von maximal 2‘ (knapp 200.000 km) Länge wurde zwischen August und Ende Oktober von den CCD-Beobachtern festgestellt. Dabei veränderte sich dessen Orientierung von PW=245° auf PW=280°.

Sollte der Komet der skizzierten Helligkeitsentwicklung weiter folgen, würde er Anfang Januar schwächer als 16$^m$. Bis zu diesem Zeitpunkt kann er im nördlichen Teil des Sternbilds Fuhrmann gefunden werden, so dass er praktisch die ganze Nacht über beobachtbar sein wird.

## Komet 266P/Christensen

Am 27.10.2006 entdeckte E. J. Christensen im Rahmen des Catalina Sky Surveys den 18 mag hellen Kometen. Am 15. und 28.08.2012 gelang Artyom Novichonok und Otabek Burhonov (Usbekistan) die Wiederentdeckung des 21,5 mag hellen Kometen mit einem 1,5m-Reflektor. Siehe Schweifstern 119 und 147.

Bahnelemente:

| T [UT] | ω [°] | Ω [°] | i [°] | q [AE] | e [AE] | P [a] | Epoche |
|---|---|---|---|---|---|---|---|
| 2026 12 7,3397 | 97,8085 | 4,9779 | 3,4285 | 2,324187 | 0,341176 | 6,63 | 12.11.2026 |

Fotos und Beobachtungen der FG Kometen:

| Zeitpunkt | Details zur Aufnahme |
|---|---|
| 2026 October 08 00.47 UT | UT, 24x120sec. 12" f=4 QHY 600 Michael Jäger, Gerald Rhemann |

Auf der Aufnahme von Michael Jäger und Gerald Rhemann zeigt der etwa 19,2 mag helle Komet eine kleine Koma.

## Komet 311P/PANSTARRS

Der etwa 20,5 mag helle Komet wurde am 15.08.2013 vom PANSTARRS-Team entdeckt. Dieser Hauptgürtelkomet erhielt die Bezeichnung 311P. Siehe Schweifstern 152 und 157.

Bahnelemente:

| T [UT] | ω [°] | Ω [°] | i [°] | q [AE] | e [AE] | P [a] | Epoche |
|---|---|---|---|---|---|---|---|
| 2027 03 29,9636 | 144,3774 | 279,1644 | 4,971 | 1,9363 | 0,11529 | 3,24 | 12.11.2026 |

Fotos und Beobachtungen der FG Kometen:

| Zeitpunkt | Details zur Aufnahme |
|---|---|
| 2026 September 14 20:45 UT | 13x4min, 16" f/2.5, ASI6200MM Roland Fichtl |
| 2026 October 11 21:40 UT | 10x5min, 16" f/2.5, ASI6200MM Roland Fichtl |

Auf den Aufnahmen von Roland Fichtl zeigt sich der etwa 21 mag helle Komet sternförmig.

## Komet 315P/LONEOS

Ein scheinbar 17,6 mag helles asteroidales Objekt, das vom LONEOS-Team auf einer Aufnahme vom 03.11.2004 entdeckt wurde und die Bezeichnung 2004 VR8 bekam, konnte auf einer Aufnahme von C. W. Hergenrother vom 19.11.2004 als Komet identifiziert werden. M. Micheli berichtete im Dezember 2014 über die Wiederentdeckung des Kometen P/2004 VR8 auf Aufnahmen vom 06.11.2013 von Y. Fernandez, C. Lisse und H. Weaver als Objekt der Helligkeit 21,6 mag. Der Komet wird der Jupiter-Familie zugeordnet. Siehe IAUC 8451 und CBET 4038.

Bahnelemente:

| T [UT] | ω [°] | Ω [°] | i [°] | q [AE] | e [AE] | P [a] | Epoche |
|---|---|---|---|---|---|---|---|
| 2027 11 16,5035 | 66,0281 | 68,6099 | 17,741 | 2,3561 | 0,522345 | 10,96 | 12.11.2026 |

Fotos und Beobachtungen der FG Kometen:

| Zeitpunkt | Details zur Aufnahme |
|---|---|
| 2026 October 18 22.23 UT | 23x100sec. 16"/3.2 QHY 600 Michael Jäger, Gerald Rhemann |

Auf der Aufnahme von Michael Jäger und Gerald Rhemann erscheint der etwa 18,8 mag helle Komet praktisch sternförmig.

## Komet 346P/Catalina

Ein scheinbar asteroidales Objekt der Helligkeit 17,8 mag, das auf Aufnahmen im Rahmen des Catalina Sky Surveys vom 13.10.2007 entdeckt wurde, zeigte auf Aufnahmen vom 14.10.2007 von J. W. Young kometare Eigenschaften. K. Sarneczky und P. Szekely entdeckten den Kometen mit einer Helligkeit von 20,0 mag am 01.09.2016 wieder. Der Komet wird der Jupiter-Familie zugeordnet und bekam die permanente Bezeichnung 346P/Catalina (MPC 101220). Siehe IAUC 8881 und CBET 4315.

Bahnelemente:

| T [UT] | ω [°] | Ω [°] | i [°] | q [AE] | e [AE] | P [a] | Epoche |
|---|---|---|---|---|---|---|---|
| 2026 08 1,3609 | 336,1201 | 102,4565 | 22,2175 | 2,2159 | 0,504202 | 9,45 | 12.11.2026 |

Fotos und Beobachtungen der FG Kometen:

| Zeitpunkt | Details zur Aufnahme |
|---|---|
| 2026 September 19 02.44 UT | 6x90sec. 12"/3.3 QHY 600 Michael Jäger, Gerald Rhemann |

Auf der Aufnahme von Michael Jäger und Gerald Rhemann zeigt der etwa 17,6 mag helle Komet eine kleine Koma.

## Komet 491P/Spacewatch-PANSTARRS

Ein am 20. Juni 2014 vom Spacewatch-Team im Sternbild Steinbock entdecktes, 19,5 mag helles asteroidales Objekt zeigte bei Nachfolge-Beobachtungen mit dem PanSTARRS-Teleskop am 25. Juli 2014 seine kometare Natur. R. Weryk meldete die Wiederentdeckung des ca. 21,5 mag hellen Kometen auf Aufnahmen vom 17. und 18.04.2024 und vom 7. und 30.05.2024 mit dem PanSTARRS-1-Teleskop. Siehe Schweifstern 157. CBET 5431. Die finale Bezeichnung wurde in MPC 175764 veröffentlicht.

Bahnelemente:

| T [UT] | ω [°] | Ω [°] | i [°] | q [AE] | e [AE] | P [a] | Epoche |
|---|---|---|---|---|---|---|---|
| 2024 09 5,5117 | 298,7795 | 311,6818 | 9,3664 | 3,7145 | 0,258865 | 11,22 | 12.11.2026 |

Fotos und Beobachtungen der FG Kometen:

| Zeitpunkt | Details zur Aufnahme |
|---|---|
| 2026 September 08 20.23 UT | 25x100sec. 12" f=4 QHY 600 Michael Jäger, Gerald Rhemann |

Auf der Aufnahme von Michael Jäger und Gerald Rhemann zeigt der Komet einen kurzen Schweif.

## Komet 512P/PANSTARRS

Richard Wainscoat und Heny Hsieh meldeten die Entdeckung des 21,1 mag hellen Kometen P/2012 T2 auf Aufnahmen vom 10.10.2012 mit dem Pan-STARRS1-Teleskop. R. Weryk entdeckte einen 21,0 mag hellen Kometen auf Aufnahmen vom 17.08.2025. Am MPC erkannte man die Identität zum Kometen P/2012 T2. Weryk meldete eine weitere Kometenentdeckung auf Aufnahmen dem Pan-STARRS1-Teleskop vom 18.09.2025, die sich erneut als Komet P/2012 T2 herausstellte. Siehe CBET 3254 und CBET 5609. Die finale Bezeichnung wurde im MPC 187072 und in CBET 5699 publiziert.

Bahnelemente:

| T [UT] | ω [°] | Ω [°] | i [°] | q [AE] | e [AE] | P [a] | Epoche |
|---|---|---|---|---|---|---|---|
| 2026 12 3,8344 | 308,6026 | 73,7282 | 12,5704 | 4,8026 | 0,156574 | 13,59 | 12.11.2026 |

Fotos und Beobachtungen der FG Kometen:

| Zeitpunkt | Details zur Aufnahme |
|---|---|
| 2026 October 18 21.43 UT | 21x100sec. 16"/3.2 QHY 600 Michael Jäger, Gerald Rhemann |

Auf der Aufnahme von Michael Jäger und Gerald Rhemann zeigt der etwa 19,4 mag helle Komet einen Schweifansatz.

## Komet 514P/Lemmon-PANSTARRS = P/2015 TO19 = P/2025 S4 (neu)

Ein auf LINEAR-Aufnahmen vom 10.10.2015 entdecktes asteroidales Objekt der Helligkeit 19,5 mag zeigte bei Nachfolgebeobachtungen seine kometare Natur. John Maikner gelang die Wiederentdeckung des Kometen P/2015 TO19 am 17.10.2025 (19,4 mag). Nachträglich identifizierte er den Kometen auch auf eigenen Aufnahmen vom 19.09.2025 (19,9 mag). Siehe Schweifstern 163 und CBET 5633. Siehe auch Sst205.

Die finale Bezeichnung wurde im MPC 188984 und in CBET 5699 publiziert.

Bahnelemente:

| T [UT] | ω [°] | Ω [°] | i [°] | q [AE] | e [AE] | P [a] | Epoche |
|---|---|---|---|---|---|---|---|
| 2025 11 24,7727 | 89,6044 | 321,5922 | 6,5062 | 2,9117 | 0,361537 | 9,74 | 12.11.2026 |

Fotos und Beobachtungen seitens der Fachgruppe liegen im aktuellen Berichtszeitraum nicht vor.

## Komet 515P/PANSTARRS = P/2017 B4 = P/2026 AH_19 (neu)

Der Komet P/2017 B4 wurde von Eva Lilly, Richard Wainscoat und Rob Weryk vom Institute for Astronomy (University of Hawaii) auf Fotos vom 28.01.2017 mit einer Helligkeit von 21,2 mag mit dem Pan-STARRS1-Teleskop entdeckt. Am 15.01.2026 meldete Kacper Wierzchos die Entdeckung eines 20,9 mag hellen Kometen mit dem Bok-Reflektor, der unabhängig einen Tag zuvor auch mit dem Pan-STARRS1-Teleskop abgelichtet wurde. Weryk erkannte am 15.01.2026, dass es sich dabei um die Wiederentdeckung des Kometen P/2017 B4 handelte. Am MPC wurde dem Objekt die Bezeichnung 2026 AH19 verliehen. Siehe CBET 4355 und CBET 5676. Siehe auch Sst207.

Die finale Bezeichnung wurde im MPC 192010 und in CBET 5699 publiziert.

Bahnelemente:

| T [UT] | ω [°] | Ω [°] | i [°] | q [AE] | e [AE] | P [a] | Epoche |
|---|---|---|---|---|---|---|---|
| 2025 12 1,7662 | 11,4121 | 119,4717 | 21,0565 | 2,8163 | 0,354322 | 9,11 | 12.11.2026 |

Fotos und Beobachtungen seitens der Fachgruppe liegen im aktuellen Berichtszeitraum nicht vor.

## Komet 516P/PANSTARRS = P/2026 B1 = P/2013 G10 = P/2018 X4 (neu)

R. Weryk meldete die Entdeckung des 21 mag hellen Kometen auf Aufnahmen mit dem Pan-STARRS2-Teleskop vom 17.01.2026. Nachträglich konnte R. Weryk dem Kometen auf weiteren Aufnahmen bis zurück zum 23.11.2025 identifiziert. Mit den dann verfügbaren Bahnelementen gelang es R. Weryk, den Kometen auf weiteren Aufnahmen bis zurück zum 15.04.2013 zu identifizieren (als P/2013 G10), wobei auch Beobachtungen in 2018/19 vorhanden sind (als P/2018 X4). S. Deen identifizierte den Kometen im Anschluss sogar auf Aufnahmen bis zurück zum 06.01.2006. Siehe CBET 5659 und CBET 5678. Siehe auch Sst207.

Die finale Bezeichnung wurde im MPC 192010 und in CBET 5699 publiziert.

Bahnelemente:

| T [UT] | ω [°] | Ω [°] | i [°] | q [AE] | e [AE] | P [a] | Epoche |
|---|---|---|---|---|---|---|---|
| 2026 08 14,7378 | 72,7253 | 104,6587 | 4,0212 | 2,5122 | 0,31393 | 7,01 | 12.11.2026 |

Fotos und Beobachtungen seitens der Fachgruppe liegen im aktuellen Berichtszeitraum nicht vor.

# Teil 3: Kleinplaneten mit kometaren Eigenschaften

## (3200) Phaethon

Der Asteroid (3200) Phaethon wurde am 11.10.1983 vom Infrarot-Satelliten IRAS entdeckt. Die kometaren Eigenschaften des Objekts wurden in den Jahren 2009 und 2012 entdeckt (siehe "The Dust Tail of Asteroid (3200) Phaethon" von David Jewitt et. al.).

Bahnelemente:

| T [UT] | ω [°] | Ω [°] | i [°] | q [AE] | e [AE] | P [a] | Epoche |
|---|---|---|---|---|---|---|---|
| 2026 09 02,1164 | 322,3002 | 265,0988 | 22,3105 | 0,1403 | 0,88967 | 1,43 | 09.06.2026 |

Fotos und Beobachtungen der FG Kometen:

| Zeitpunkt | Details zur Aufnahme |
|---|---|
| 2026 October 05 18.40 UT | 18x30sec. 16"/3.2 QHY 600 Michael Jäger, Gerald Rhemann |
| 2026 October 05 18.51 UT | 24x20sec. 16"/3.2 QHY 600 Michael Jäger, Gerald Rhemann |

Auf den Aufnahmen von Michael Jäger und Gerald Rhemann erscheint der etwa 15,5 mag helle Komet sternförmig.

# Helligkeitsmessungen nach der Multiapertur-Methode

Im Beobachtungszeitraum des vorliegenden Schweifsterns liegen seitens der FG Kometen die folgenden Multiaperturmessungen von Kometen vor:

| COMET | UTC | 10x10 +/- | 20x20 +/- | 30x30 +/- | 40x40 +/- | 50x50 +/- | 60x60 +/- | SNR N | SB FWHM | COD CAT |
|---|---|---|---|---|---|---|---|---|---|---|
| 2P | 05/09/2026 18:06:41 | 18.74 | 18.25 | | | | | 0.4 | 18.9 | Q62 |
| 2P | 05/09/2026 18:06:41* | 0.00 | 0.00 | | | | | 1 | 2.2 | USN |
| 2P | 10/09/2026 06:36:59 | 18.42 | 18.07 | 17.87 | | | | 2.7 | 19.4 | U94 |
| 2P | 10/09/2026 06:36:59* | 0.00 | 0.00 | 0.00 | | | | 1 | 2.6 | CMC |
| 2P | 15/09/2026 16:13:59 | 18.37 | 18.45 | 18.39 | 18.40 | | | 4.8 | 18.8 | Q62 |
| 2P | 15/09/2026 16:13:59* | 0.00 | 0.00 | 0.00 | 0.00 | | | 1 | 1.3 | USN |
| 2P | 09/10/2026 08:59:04 | 17.02 | 16.65 | 16.02 | 15.71 | 15.53 | 15.42 | 12.1 | 19.3 | U94 |
| 2P | 09/10/2026 08:59:04* | 0.00 | 0.00 | 0.00 | 0.00 | 0.00 | 0.00 | 1 | 3.0 | USN |
| 10P | 04/08/2026 13:02:51 | 11.68 | 10.88 | 10.48 | 10.21 | 10.01 | 9.85 | 9.0 | 19.2 | Q62 |
| 10P | 04/08/2026 13:02:51* | 0.02 | 0.00 | 0.01 | 0.01 | 0.01 | 0.01 | 4 | 1.8 | CMC |
| 10P | 14/08/2026 15:22:23 | 11.57 | 10.83 | 10.42 | 10.13 | 9.92 | 9.75 | 15.5 | 18.9 | Q62 |
| 10P | 14/08/2026 15:22:23* | 0.00 | 0.00 | 0.00 | 0.00 | 0.00 | 0.00 | 1 | 1.4 | CMC |
| 10P | 22/08/2026 14:48:25 | 11.75 | 10.85 | 10.39 | 10.09 | 9.87 | 9.69 | 11.3 | 18.4 | Q62 |
| 10P | 22/08/2026 14:48:25* | 0.01 | 0.03 | 0.03 | 0.03 | 0.03 | 0.03 | 4 | 1.7 | CMC |
| 10P | 01/09/2026 12:56:16 | 12.15 | 11.34 | 10.87 | 10.56 | 10.32 | 10.14 | 11.7 | 19.2 | Q62 |
| 10P | 01/09/2026 12:56:16* | 0.01 | 0.02 | 0.03 | 0.04 | 0.04 | 0.04 | 4 | 1.4 | CMC |
| 10P | 11/09/2026 10:31:05 | 12.57 | 11.74 | 11.25 | 10.93 | 10.68 | 10.49 | 19.7 | 19.4 | Q62 |
| 10P | 11/09/2026 10:31:05* | 0.01 | 0.00 | 0.01 | 0.00 | 0.00 | 0.00 | 4 | 1.8 | CMC |
| 10P | 10/10/2026 11:38:28 | 13.95 | 13.10 | 12.59 | 12.23 | 11.97 | 11.75 | 35.6 | 20.3 | Q62 |
| 10P | 10/10/2026 11:38:28* | 0.00 | 0.00 | 0.00 | 0.00 | 0.00 | 0.00 | 1 | 1.6 | USN |
| 11P | 09/10/2026 08:51:24 | 16.95 | 16.46 | 16.21 | 16.09 | 15.95 | 15.77 | 10.4 | 19.6 | U94 |
| 11P | 09/10/2026 08:51:24* | 0.00 | 0.00 | 0.00 | 0.00 | 0.00 | 0.00 | 1 | 2.9 | USN |
| 65P | 13/08/2026 18:24:40 | 17.85 | 17.36 | 17.09 | | | | 3.1 | 19.1 | Q62 |
| 65P | 13/08/2026 18:24:40* | 0.00 | 0.00 | 0.00 | | | | 1 | 1.4 | CMC |
| 65P | 06/09/2026 18:01:09 | 18.81 | 18.23 | 18.18 | | | | 2.5 | 19.3 | Q62 |
| 65P | 06/09/2026 18:01:09* | 0.19 | 0.13 | 0.08 | | | | 4 | 1.8 | CMC |
| 78P | 09/10/2026 11:31:09 | 15.61 | 14.95 | 14.66 | 14.46 | 14.27 | 14.09 | 10.6 | 19.4 | U94 |
| 78P | 09/10/2026 11:31:09* | 0.00 | 0.00 | 0.00 | 0.00 | 0.00 | 0.00 | 1 | 2.9 | USN |
| 84P | 06/08/2026 16:39:38 | 17.42 | 16.97 | 16.96 | 17.05 | 17.14 | 17.20 | 6.7 | 19.2 | Q62 |
| 84P | 06/08/2026 16:39:38* | 0.03 | 0.05 | 0.11 | 0.15 | 0.17 | 0.40 | 4 | 1.8 | CMC |
| 84P | 20/08/2026 11:55:26 | 17.54 | 17.09 | 17.15 | 16.98 | | | 3.7 | 18.2 | Q62 |
| 84P | 20/08/2026 11:55:26* | 0.06 | 0.06 | 0.06 | 0.29 | | | 4 | 1.8 | CMC |
| 84P | 29/08/2026 12:53:39 | 17.47 | 17.14 | 17.23 | | | | 5.5 | 18.2 | Q62 |
| 84P | 29/08/2026 12:53:39* | 0.10 | 0.11 | 0.11 | | | | 4 | 2.4 | USN |
| 84P | 10/10/2026 11:47:54 | 17.93 | 17.55 | 17.38 | 17.34 | 17.36 | 17.43 | 5.8 | 20.2 | Q62 |
| 84P | 10/10/2026 11:47:54* | 0.00 | 0.00 | 0.00 | 0.00 | 0.00 | 0.00 | 1 | 1.5 | USN |
| 88P | 13/08/2026 18:55:55 | 15.78 | 14.62 | 14.05 | 13.73 | 13.51 | 13.33 | 5.5 | 18.6 | Q62 |
| 88P | 13/08/2026 18:55:55* | 0.00 | 0.00 | 0.00 | 0.00 | 0.00 | 0.00 | 1 | 1.4 | CMC |
| 88P | 01/09/2026 01:12:14 | 15.89 | 15.19 | 14.83 | 14.56 | 14.38 | 14.24 | 20.3 | 17.3 | J54 |
| 88P | 01/09/2026 01:12:14* | 0.00 | 0.00 | 0.00 | 0.00 | 0.00 | 0.00 | 1 | 3.0 | CMC |
| 88P | 04/09/2026 01:31:46 | 15.90 | 15.16 | 14.80 | 14.57 | 14.39 | 14.25 | 34.4 | 18.3 | J54 |
| 88P | 04/09/2026 01:31:46* | 0.00 | 0.00 | 0.00 | 0.00 | 0.00 | 0.00 | 1 | 2.4 | CMC |
| 88P | 07/10/2026 07:41:42 | 16.03 | 15.33 | 14.86 | 14.58 | 14.38 | 14.21 | 7.7 | 19.0 | U94 |
| 88P | 07/10/2026 07:41:42* | 0.00 | 0.00 | 0.00 | 0.00 | 0.00 | 0.00 | 1 | 2.3 | CMC |
| 112P | 08/09/2026 10:11:58 | 17.40 | 16.60 | 16.14 | 15.86 | 15.57 | 15.36 | 5.9 | 19.0 | U94 |
| 112P | 08/09/2026 10:11:58* | 0.00 | 0.00 | 0.00 | 0.00 | 0.00 | 0.00 | 1 | 2.8 | CMC |
| 114P | 09/10/2026 11:47:27 | 17.29 | 16.90 | | | | | 7.1 | 18.9 | U94 |
| 114P | 09/10/2026 11:47:27* | 0.00 | 0.00 | | | | | 1 | 3.4 | USN |
| 161P | 13/08/2026 18:37:48 | 17.40 | 16.43 | 16.10 | 15.85 | 15.74 | 15.78 | 1.3 | 18.6 | Q62 |
| 161P | 13/08/2026 18:37:48* | 0.00 | 0.00 | 0.00 | 0.00 | 0.00 | 0.00 | 1 | 1.4 | CMC |
| 161P | 15/08/2026 18:31:13 | 17.24 | 16.40 | 15.97 | 15.71 | 15.49 | 15.33 | 5.3 | 19.2 | Q62 |
| 161P | 15/08/2026 18:31:13* | 0.07 | 0.03 | 0.06 | 0.04 | 0.03 | 0.03 | 4 | 1.8 | CMC |
| 161P | 04/09/2026 18:01:50 | 15.71 | 14.90 | 14.44 | 14.14 | 13.88 | 13.52 | 7.8 | 18.7 | Q62 |
| 161P | 04/09/2026 18:01:50* | 0.10 | 0.09 | 0.10 | 0.10 | 0.09 | 0.21 | 4 | 1.7 | CMC |
| 161P | 16/09/2026 17:04:39 | 14.30 | 13.31 | 12.80 | 12.42 | 11.89 | | 4.8 | 18.3 | Q62 |
| 161P | 16/09/2026 17:04:39* | 0.11 | 0.10 | 0.11 | 0.09 | 0.07 | | 2 | 1.4 | CMC |
| 161P | 08/10/2026 12:34:50 | 13.59 | 12.54 | 12.05 | 11.71 | 11.46 | 11.25 | 7.2 | 18.1 | Q62 |
| 161P | 08/10/2026 12:34:50* | 0.21 | 0.15 | 0.14 | 0.13 | 0.13 | 0.13 | 2 | 1.9 | CMC |

| | | | | | | | | | | | |
|---|---|---|---|---|---|---|---|---|---|---|---|
| 161P | 11/10/2026 12:51:50 | 13.32 | 12.24 | 11.63 | 11.21 | 10.89 | 10.62 | 12.3 | 18.4 | Q62 |
| 161P | 11/10/2026 12:51:50* | 0.00 | 0.00 | 0.00 | 0.00 | 0.00 | 0.00 | 1 | 1.4 | CMC |
| 169P | 07/08/2026 05:52:17 | 13.66 | 13.37 | 13.15 | 12.97 | 12.79 | 12.65 | 28.7 | 17.8 | U94 |
| 169P | 07/08/2026 05:52:17* | 0.00 | 0.00 | 0.00 | 0.00 | 0.00 | 0.00 | 1 | 2.7 | USN |
| 220P | 13/08/2026 18:46:00 | 12.56 | 11.26 | 10.67 | 10.30 | 10.03 | 9.82 | 6.9 | 18.7 | Q62 |
| 220P | 13/08/2026 18:46:00* | 0.00 | 0.00 | 0.00 | 0.00 | 0.00 | 0.00 | 1 | 1.2 | CMC |
| 220P | 14/09/2026 17:38:52 | 15.69 | 14.46 | | | | | 6.1 | 19.9 | Q62 |
| 220P | 14/09/2026 17:38:52* | 0.00 | 0.00 | | | | | 1 | 1.5 | CMC |
| 220P | 09/10/2026 08:42:30 | 16.02 | 15.11 | 14.50 | 14.06 | 13.73 | 13.46 | 6.5 | 19.4 | U94 |
| 220P | 09/10/2026 08:42:30* | 0.00 | 0.00 | 0.00 | 0.00 | 0.00 | 0.00 | 1 | 3.0 | USN |
| 235P | 05/08/2026 10:33:59 | 17.24 | 16.53 | 16.16 | 15.87 | 15.66 | 15.51 | 10.0 | 20.3 | Q62 |
| 235P | 05/08/2026 10:33:59* | 0.00 | 0.00 | 0.00 | 0.00 | 0.00 | 0.00 | 1 | 2.5 | CMC |
| 260P | 16/08/2026 12:15:56 | 15.23 | 14.63 | 14.38 | 14.26 | 14.19 | 14.20 | 14.3 | 17.1 | U69 |
| 260P | 16/08/2026 12:15:56* | 0.00 | 0.00 | 0.00 | 0.00 | 0.00 | 0.00 | 1 | 0.9 | USN |
| C/2014 UN271 | 14/08/2026 18:17:35 | 15.87 | 14.89 | 14.43 | 14.16 | 13.98 | 13.84 | 5.0 | 19.3 | Q62 |
| C/2014 UN271 | 14/08/2026 18:17:35* | 0.00 | 0.00 | 0.00 | 0.00 | 0.00 | 0.00 | 1 | 1.3 | USN |
| C/2014 UN271 | 07/09/2026 18:01:29 | 15.29 | 14.38 | 13.95 | 13.67 | 13.42 | 13.03 | 2.7 | 18.9 | Q62 |
| C/2014 UN271 | 07/09/2026 18:01:29* | 0.00 | 0.00 | 0.00 | 0.00 | 0.00 | 0.00 | 1 | 1.4 | USN |
| C/2014 UN271 | 10/10/2026 16:15:08 | 15.44 | 14.64 | 14.20 | 13.91 | 13.72 | 13.58 | 8.6 | 19.6 | Q62 |
| C/2014 UN271 | 10/10/2026 16:15:08* | 0.00 | 0.00 | 0.00 | 0.00 | 0.00 | 0.00 | 1 | 1.5 | USN |
| C/2021 G2 | 11/08/2026 23:39:16 | 16.96 | 16.18 | 15.82 | 15.57 | 15.43 | 15.34 | 14.2 | 20.2 | J54 |
| C/2021 G2 | 11/08/2026 23:39:16* | 0.00 | 0.00 | 0.00 | 0.00 | 0.00 | 0.00 | 1 | 1.9 | CMC |
| C/2021 G2 | 19/08/2026 21:49:40 | 17.00 | 16.22 | 15.84 | 15.60 | 15.47 | 15.39 | 16.0 | 19.5 | J54 |
| C/2021 G2 | 19/08/2026 21:49:40* | 0.00 | 0.00 | 0.00 | 0.00 | 0.00 | 0.00 | 1 | 2.3 | CMC |
| C/2021 G2 | 23/08/2026 21:23:09 | 17.07 | 16.48 | 16.19 | 16.06 | 16.11 | | 20.7 | 18.6 | J54 |
| C/2021 G2 | 23/08/2026 21:23:09* | 0.00 | 0.00 | 0.00 | 0.00 | 0.00 | | 1 | 2.3 | CMC |
| C/2021 G2 | 31/08/2026 21:46:56 | 17.01 | 16.25 | 15.79 | 15.44 | 15.24 | 15.05 | 13.9 | 19.3 | J54 |
| C/2021 G2 | 31/08/2026 21:46:56* | 0.00 | 0.00 | 0.00 | 0.00 | 0.00 | 0.00 | 1 | 2.2 | CMC |
| C/2022 N2 | 03/09/2026 04:39:30 | 16.77 | 16.19 | 16.00 | | | | 8.4 | 18.4 | J54 |
| C/2022 N2 | 03/09/2026 04:39:30* | 0.00 | 0.00 | 0.00 | | | | 1 | 3.4 | CMC |
| C/2022 N2 | 09/10/2026 11:39:37 | 17.05 | 16.32 | 15.97 | 15.88 | 15.94 | | 8.2 | 19.5 | U94 |
| C/2022 N2 | 09/10/2026 11:39:37* | 0.00 | 0.00 | 0.00 | 0.00 | 0.00 | | 1 | 2.5 | USN |
| C/2023 R1 | 01/08/2026 09:40:53 | 14.78 | 14.18 | 13.91 | 13.76 | 13.67 | 13.61 | 16.6 | 19.7 | Q62 |
| C/2023 R1 | 01/08/2026 09:40:53* | 0.00 | 0.02 | 0.03 | 0.03 | 0.03 | 0.03 | 4 | 1.8 | CMC |
| C/2023 R1 | 13/08/2026 10:51:44 | 15.18 | 14.51 | 14.21 | 14.05 | 13.95 | 13.89 | 9.4 | 19.0 | Q62 |
| C/2023 R1 | 13/08/2026 10:51:44* | 0.01 | 0.03 | 0.02 | 0.02 | 0.01 | 0.01 | 4 | 1.8 | CMC |
| C/2023 R1 | 28/08/2026 09:53:31 | 15.39 | 14.68 | 14.41 | 14.27 | 14.19 | 14.15 | 5.9 | 17.4 | Q62 |
| C/2023 R1 | 28/08/2026 09:53:31* | 0.05 | 0.06 | 0.06 | 0.07 | 0.09 | 0.09 | 3 | 1.5 | USN |
| C/2024 G4 | 15/08/2026 13:59:40 | 18.34 | 17.83 | 17.91 | | | | 7.6 | 19.9 | Q62 |
| C/2024 G4 | 15/08/2026 13:59:40* | 0.00 | 0.00 | 0.00 | | | | 1 | 1.5 | CMC |
| C/2024 G4 | 31/08/2026 22:12:17 | 18.38 | 18.03 | 18.11 | | | | 9.1 | 19.3 | J54 |
| C/2024 G4 | 31/08/2026 22:12:17* | 0.00 | 0.00 | 0.00 | | | | 1 | 2.3 | CMC |
| C/2024 G4 | 10/10/2026 11:56:15 | 18.60 | 18.25 | 18.04 | | | | 1.9 | 19.9 | Q62 |
| C/2024 G4 | 10/10/2026 11:56:15* | 0.00 | 0.00 | 0.00 | | | | 1 | 1.5 | USN |
| C/2024 G6 | 17/08/2026 22:49:19 | 17.77 | 17.32 | 17.28 | 17.37 | | | 18.3 | 19.5 | J54 |
| C/2024 G6 | 17/08/2026 22:49:19* | 0.00 | 0.00 | 0.00 | 0.00 | | | 1 | 2.6 | CMC |
| C/2024 G6 | 23/08/2026 21:07:03 | 17.86 | 17.61 | | | | | 15.1 | 18.6 | J54 |
| C/2024 G6 | 23/08/2026 21:07:03* | 0.00 | 0.00 | | | | | 1 | 3.0 | CMC |
| C/2024 J3 | 07/08/2026 05:44:36 | 14.99 | 14.21 | 13.87 | 13.70 | 13.59 | 13.51 | 22.2 | 19.6 | U94 |
| C/2024 J3 | 07/08/2026 05:44:36* | 0.00 | 0.00 | 0.00 | 0.00 | 0.00 | 0.00 | 1 | 2.5 | USN |
| C/2024 J3 | 27/08/2026 02:02:04 | 15.04 | 14.31 | 13.99 | 13.82 | 13.72 | 13.65 | 44.9 | 18.1 | J54 |
| C/2024 J3 | 27/08/2026 21:37:52 | 15.05 | 14.32 | 13.96 | 13.75 | 13.60 | 13.49 | 33.9 | 18.2 | J54 |
| C/2024 J3 | 27/08/2026 02:02:04* | 0.00 | 0.00 | 0.00 | 0.00 | 0.00 | 0.00 | 1 | 2.2 | CMC |
| C/2024 J3 | 27/08/2026 21:37:52* | 0.00 | 0.00 | 0.00 | 0.00 | 0.00 | 0.00 | 1 | 2.0 | CMC |
| C/2024 J3 | 31/08/2026 22:50:06 | 15.08 | 14.32 | 13.96 | 13.80 | 13.72 | 13.66 | 52.0 | 19.4 | J54 |
| C/2024 J3 | 31/08/2026 22:50:06* | 0.00 | 0.00 | 0.00 | 0.00 | 0.00 | 0.00 | 1 | 2.1 | CMC |
| C/2024 J3 | 03/09/2026 02:03:35 | 15.04 | 14.29 | 13.95 | 13.78 | 13.68 | 13.62 | 35.0 | 18.8 | J54 |
| C/2024 J3 | 03/09/2026 02:03:35* | 0.00 | 0.00 | 0.01 | 0.02 | 0.01 | 0.01 | 2 | 2.5 | CMC |
| C/2024 R4 | 07/08/2026 06:20:22 | 14.89 | 14.49 | 14.37 | 14.35 | 14.39 | 14.48 | 15.4 | 19.0 | U94 |
| C/2024 R4 | 07/08/2026 06:20:22* | 0.00 | 0.00 | 0.00 | 0.00 | 0.00 | 0.00 | 1 | 3.3 | USN |
| C/2024 R4 | 27/08/2026 09:15:12 | 15.37 | 15.06 | 15.06 | | | | 4.5 | 16.5 | U94 |
| C/2024 R4 | 27/08/2026 09:15:12* | 0.06 | 0.10 | 0.07 | | | | 3 | 2.6 | CMC |
| C/2024 T5 | 14/08/2026 18:34:52 | 14.88 | 14.29 | 14.09 | 13.99 | 13.93 | 13.88 | 13.4 | 19.9 | Q62 |
| C/2024 T5 | 14/08/2026 18:34:52* | 0.00 | 0.00 | 0.00 | 0.00 | 0.00 | 0.00 | 1 | 1.5 | USN |

| | | | | | | | | | | | |
|---|---|---|---|---|---|---|---|---|---|---|---|
| C/2024 T5 | 05/09/2026 18:11:38 | 14.35 | 13.41 | 13.12 | 12.96 | 12.84 | 12.75 | 3.7 | 18.5 | Q62 |
| C/2024 T5 | 05/09/2026 18:11:38* | 0.04 | 0.03 | 0.06 | 0.06 | 0.06 | 0.07 | 4 | 1.5 | CMC |
| C/2024 T5 | 17/09/2026 18:11:24 | 14.35 | 13.75 | 13.53 | 13.39 | 13.29 | 13.22 | 8.7 | 19.4 | Q62 |
| C/2024 T5 | 17/09/2026 18:11:24* | 0.00 | 0.01 | 0.01 | 0.01 | 0.01 | 0.01 | 4 | 1.8 | CMC |
| C/2024 T5 | 09/10/2026 11:23:23 | 14.54 | 13.94 | 13.73 | 13.63 | 13.58 | 13.53 | 12.0 | 19.6 | U94 |
| C/2024 T5 | 09/10/2026 11:23:23* | 0.00 | 0.00 | 0.00 | 0.00 | 0.00 | 0.00 | 1 | 2.9 | USN |
| | | | | | | | | | | |
| C/2025 B2 | 07/08/2026 06:00:47 | 17.97 | 18.06 | 17.65 | 17.60 | 17.67 | 17.52 | 2.8 | 19.4 | U94 |
| C/2025 B2 | 07/08/2026 06:00:47* | 0.00 | 0.00 | 0.00 | 0.00 | 0.00 | 0.00 | 1 | 3.0 | USN |
| | | | | | | | | | | |
| C/2025 M2 | 30/08/2026 09:20:19 | 16.75 | 16.42 | 16.48 | | | | 4.5 | 19.3 | Q62 |
| C/2025 M2 | 30/08/2026 09:20:19* | 0.09 | 0.07 | 0.08 | | | | 3 | 1.7 | CMC |
| | | | | | | | | | | |
| C/2026 A2 | 25/08/2026 06:07:03 | 15.92 | 15.53 | 15.63 | | | | 9.5 | 17.4 | U94 |
| C/2026 A2 | 25/08/2026 06:07:03* | 0.03 | 0.06 | 0.06 | | | | 4 | 2.3 | USN |
| | | | | | | | | | | |
| C/2026 AZ17 | 07/08/2026 06:08:49 | 17.60 | 17.14 | 16.91 | 16.76 | 16.63 | 16.65 | 6.8 | 19.3 | U94 |
| C/2026 AZ17 | 07/08/2026 06:08:49* | 0.00 | 0.00 | 0.00 | 0.00 | 0.00 | 0.00 | 1 | 3.2 | USN |
| | | | | | | | | | | |
| C/2026 P2 | 09/10/2026 09:06:33 | 17.30 | 17.02 | | | | | 5.0 | 19.3 | U94 |
| C/2026 P2 | 09/10/2026 09:06:33* | 0.00 | 0.00 | | | | | 1 | 3.0 | USN |
| | | | | | | | | | | |
| P/2026 T1 | 16/10/2026 05:08:47 | 14.57 | 13.74 | 13.71 | | | | 0.3 | 17.0 | U69 |
| P/2026 T1 | 16/10/2026 05:08:47* | 0.00 | 0.00 | 0.00 | | | | 1 | 0.7 | CMC |

Eine Beschreibung zur Gewinnung der Multiaperturmessungen ist im Schweifstern 170 nachzulesen. Weitere aktuelle Multiaperturmessungen internationaler Beobachter sind unter dem Link http://astrosurf.com/cometas-obs/ zugänglich.

# Impressum / FG Kometen

**Redaktion** Michael Hauss, Fasanenweg 34, 65835 Liederbach am Taunus, e-Mail: hauss-michael@t-online.de
**Beiträge** Textbeiträge werden jeweils bis zum 1., Beobachtungen bis zum 5. des Erscheinungsmonats (Februar, Mai, August, November) erbeten. Die Textbeiträge, Grafiken, Fotos, CCD-Aufnahmen und Zeichnungen sind Eigentum der Autoren. Alle Rechte vorbehalten.
**FG Kometen** Leitung: Uwe Pilz, Pöppigstraße 35, 04349 Leipzig, e-Mail: piu58@gmx.de
Internet-Seiten: **http://kometen.fg-vds.de (betreut von Uwe Pilz, Stefan Beck, Andreas Kammerer u.a.)**

Namenskürzel und Bedeutung der Beobachtungsdetails der Helligkeitsmeldungen der Fachgruppe:

| Kürzel | Name |
|---|---|
| Becaa | Andreas Beck |
| BUEaa | Michael Büchner |
| FICaa | Roland Fichtl |
| FRIaa | Steffen Fritsche |
| GEIaa | Alexander Geiss |
| GUT | Otto Guthier |
| HAE | Bernhard Häusler |
| HAHab | Michael Hahn |
| HAR01 | Christian Harder |
| HAS02 | Werner Hasubick |
| HEG01 | Robin Hegenbarth |
| JAE | Michael Jäger |
| KAM01 | Andreas Kammerer |
| KAS01 | Volker Kasten |
| KOHaa | Johannes Kohr |
| KUT | Walter Kutschera |
| LEHaa | Thomas Lehmann |
| MEY | Maik Meyer |
| PIEaa | Georg Piehler |
| PIL01 | Uwe Pilz |
| SCHaa | Gerhard Scheerle |
| VOL | Wolfgang Vollmann |

| Kürzel | Bedeutung |
|---|---|
| III | Periodic Comet Code (see table below) |
| YYYY | Year of discovery |
| Mn | Half-month designation (letter and numerical) |
| L | Fragment to which the observation refers |
| JJJJ | Year of the observation |
| MM | Month of the observation |
| DD.DDd | Day and fraction of day (in UT) of the observation (d optional) |
| e | Extinction notes: |
| M | Magnitude method: |
| [mm.m: | Total visual magnitude of the coma ([ = fainter than, : = approximate estimate) |
| rf | Reference or source of comparison stars used for making the magnitude estimate. Selection: |
| AAA.A | Aperture of instrument |
| T | Type of instrument: |
| F/ | focal ratio of instrument |
| VVVV | magnification |
| >dd.dd | coma diameters in arcminutes (> = greater than, < = less than, & = approximate estimate) |
| n | Special note concerning the appearance of a central condensation |
| DC | Degree of condensation (0 = completely diffuse coma, 9 = stellar coma, 5/ means DC 5-6) |
| >t.tt | Tail lenth in degrees (> = greater than, < = less than, & = approximate estimate) |
| GGG: | Position Angle (0 = north, 90 = east, 180 = south, 270 = west, : = approximate estimate) |
| Beob. | name or ICQ-code of observer |
| Mag: | Faintest Star Magnitude, visible to the naked eye in the direction of the comet: |

# Literatur

[1] IAU Central Bureau for Astronomical Telegrams (CBAT) – Most recent CBETs.
Link: http://www.cbat.eps.harvard.edu/cbet/RecentCBETs.html

[2] The International Astronomical Union (IAU) – Minor Planet Center: Recent MPECs.
Link: http://www.minorplanetcenter.net/mpec/RecentMPECs.html

[3] Jet Propulsion Laboratory (JPL) Small-Body Database Browser.
Link: https://ssd.jpl.nasa.gov/tools/sbdb_lookup.html#/?sstr=

[4] Cometography – A Catalog of Comets, Volume 1 – Volume 4 (alle Gary W. Kronk), Volume 5 (Gary W. Kronk und Maik Meyer), Volume 6 (Gary W. Kronk, Maik Meyer und David A. Seargent)

[5] „British Astronomical Association Comet Section“. Link: https://people.ast.cam.ac.uk/~jds/

[6] “The Astronomer’s Telegram”. Link: https://www.astronomerstelegram.org/?displaydefault